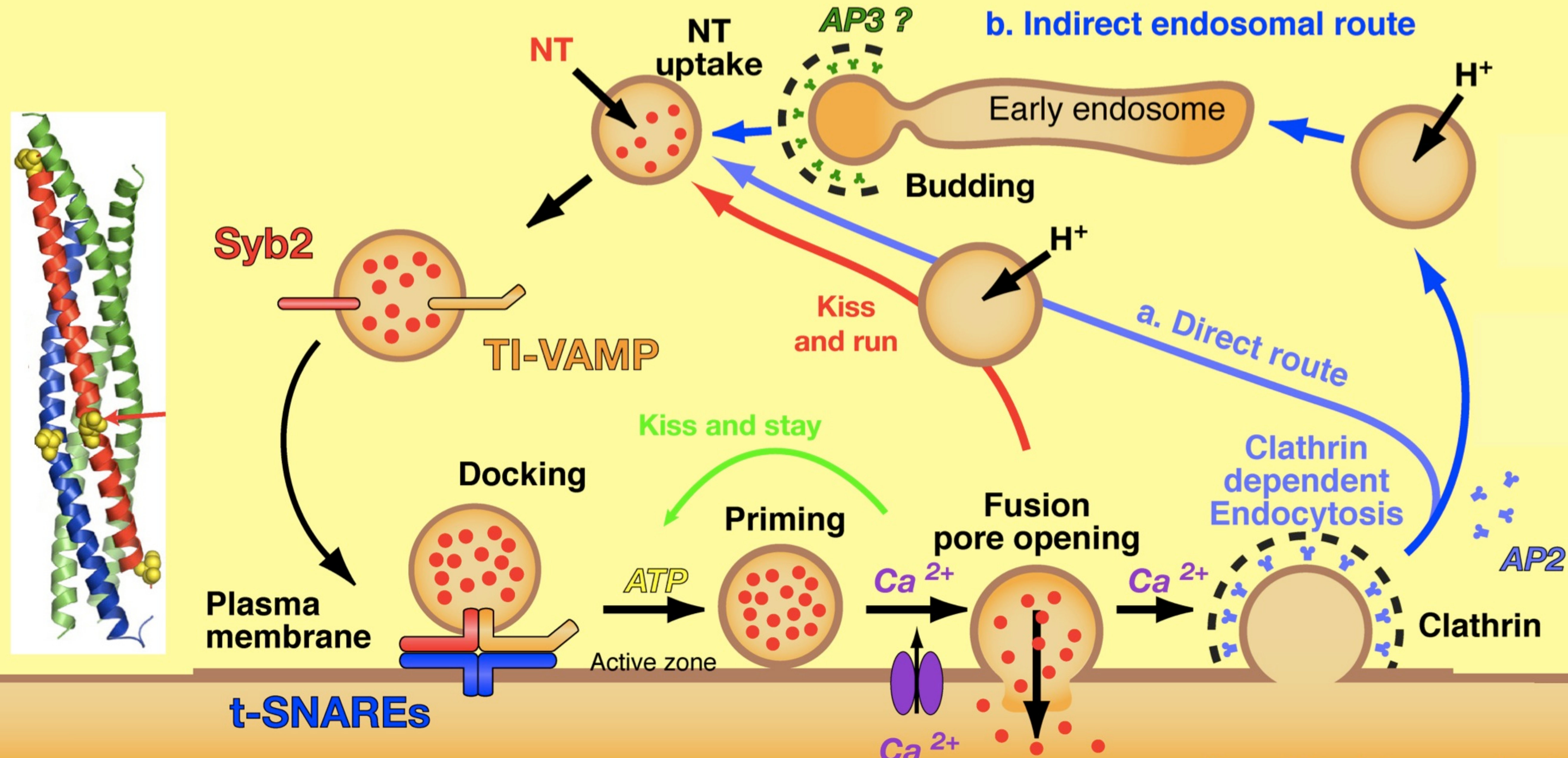


Complexe SNARE et communication cellulaire



Lydia Danglot

INSTITUT JACQUES MONOD



PARIS
DIDEROT



Inserm

Télécharger le cours sur <http://lydia.danglot.free.fr>

Master de Neurosciences, Module « Communication cellulaire »

Université Pierre et Marie Curie (Paris 6), 7 Novembre 2014

Institut Jacques Monod

Université Paris Diderot-CNRS UMR7592- Inserm ERL950 - Building Buffon - 15 rue Hélène Brion - Paris

Tel.: +33 (0)1 57 27 80 37 - lydia.danglot@inserm.fr

Le complexe SNARE et la communication cellulaire

1. Exocytose et complexe SNARE

- Les voies d'exocytose régulée
- Définition du complexe SNARE
- Nomenclature v/t-SNARE et R/Q-SNARE

2. Exemple de la synapse

- Découverte de NSF et SNAP
- Isolement des SNARE
- Rôle de NSF & SNAP dans la fusion

3. Le cycle des vésicules synaptiques

- Voie lente: endocytose médiée par la clathrine
- Voie courte: kiss and run
- Les différents « pool » vésiculaires

4. Comment mesurer l'exocytose ?

- Capacitance
- Ampérométrie
- GFP pH sensible: la Phluorin
- Utilisation des SNARE inversée

5. Comment mesurer le recyclage ?

- Utilisation des anti-synaptotagmine
- Sondes fluorescentes de type FM

6. Roles des vSNAREs et souris KO

- KO de la synaptobrevine
- Mutants de l'adaptateur AP-3: les mocha

7. Régulation de l'exocytose

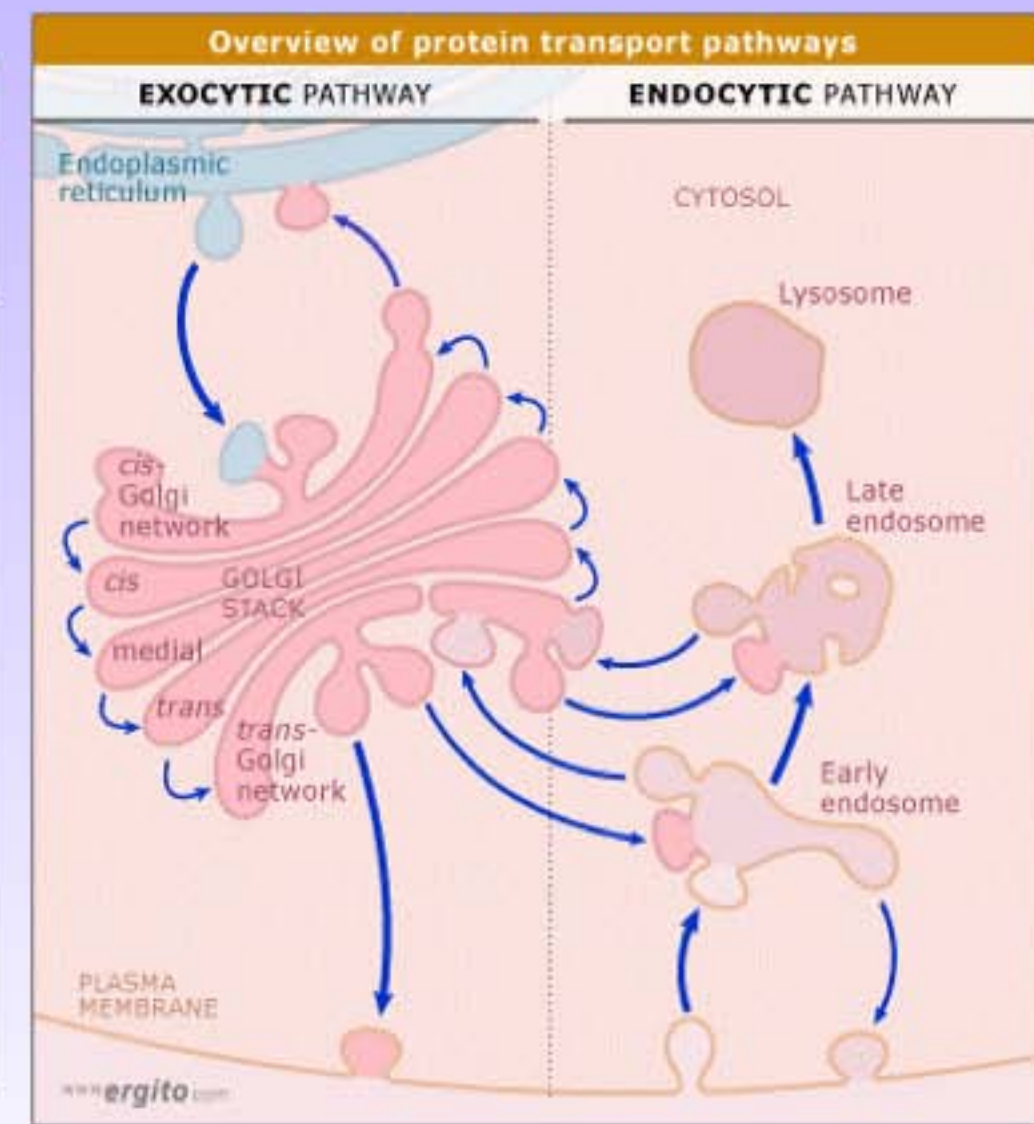
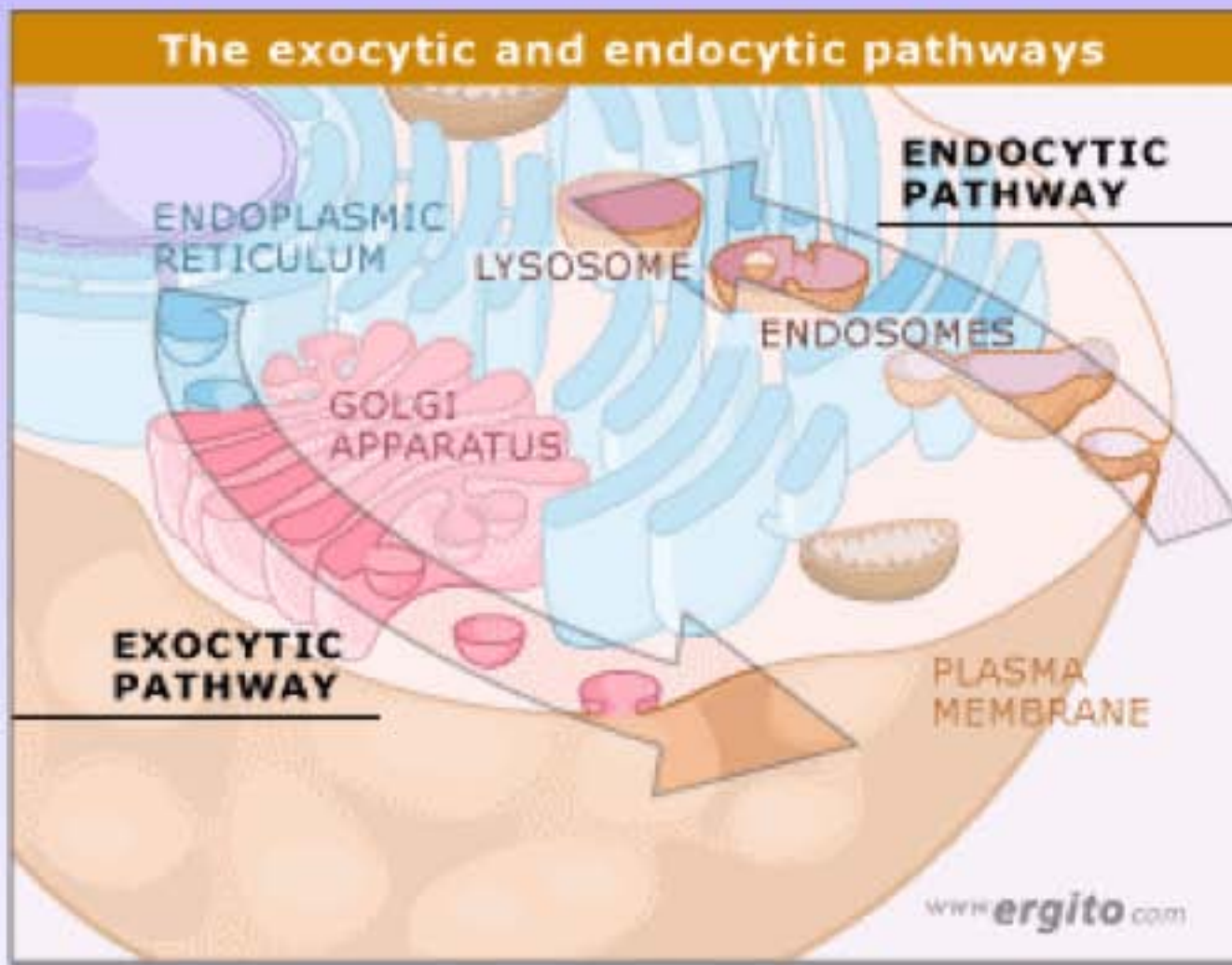
- Rôle de la complexine, synaptotagmine et du calcium
- Munc-18 et les protéines SM
- Munc 13, RIM et Rab3

Dr Lydia Danglot

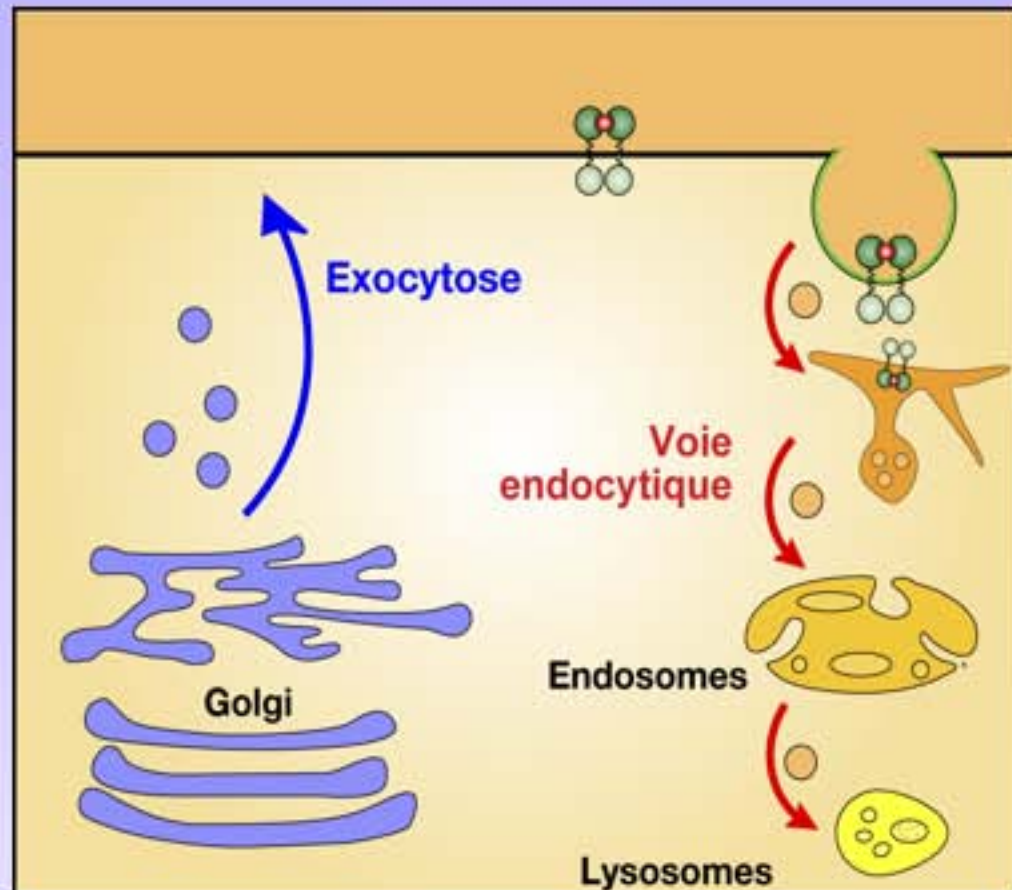
Institut Jacques Monod

Lydia.danglot@inserm.fr

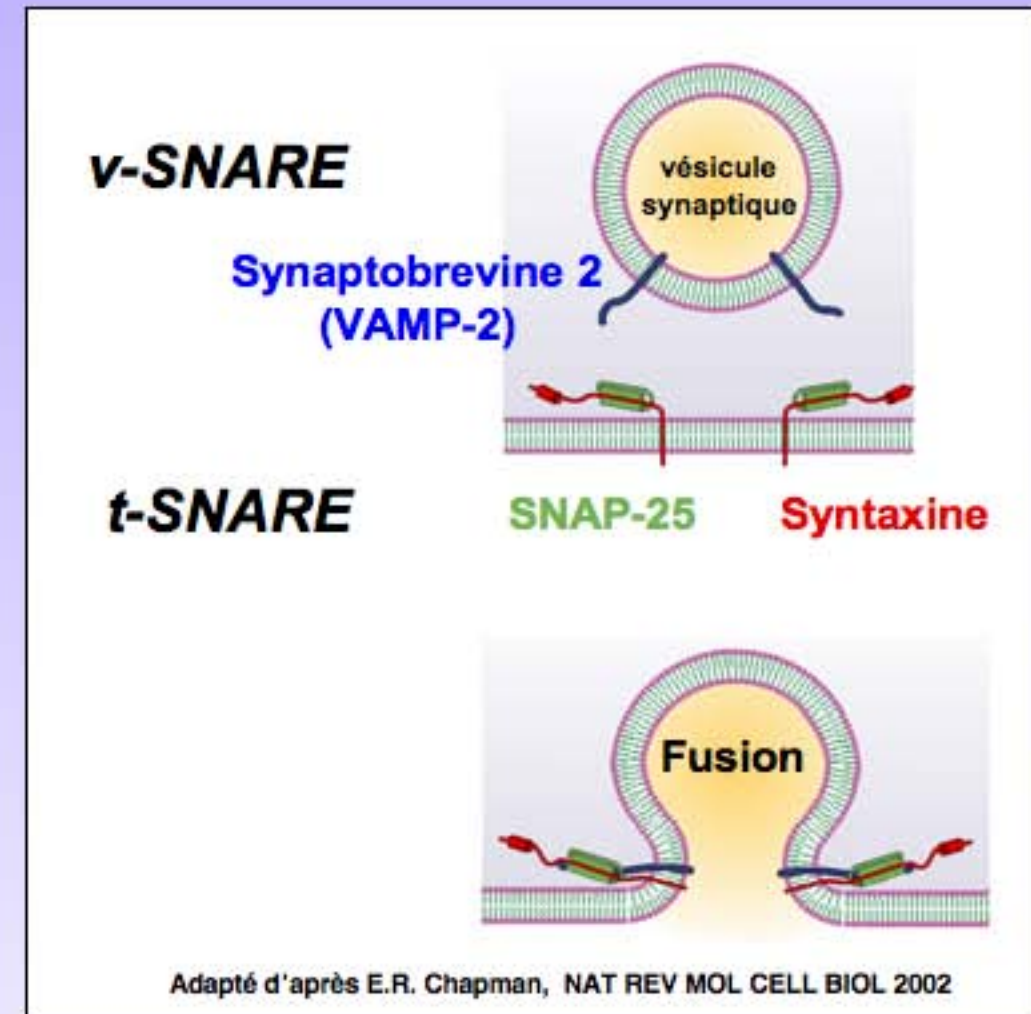
Exo-endocytose



Rôle central des protéines SNARE dans la fusion membranaire



Transport intracellulaire:
Processus d'Exocytose et
endocytose



Machinerie de fusion:
Les protéines SNARE

Role centrale de l'exocytose dans la croissance membranaire et le remodelage

- Exocytose au pôle apical pole des cellules épithéliales**

(Galli et al., 1998; Lafont et al., 1999; Pocard et al. 2007)

- Sécretion des lysosomes (réparation, migration)**

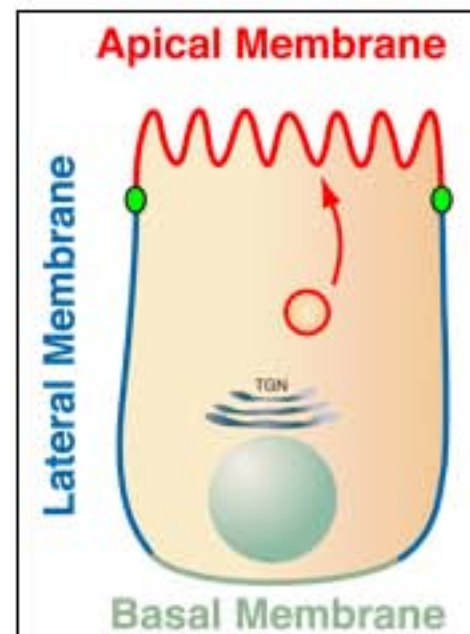
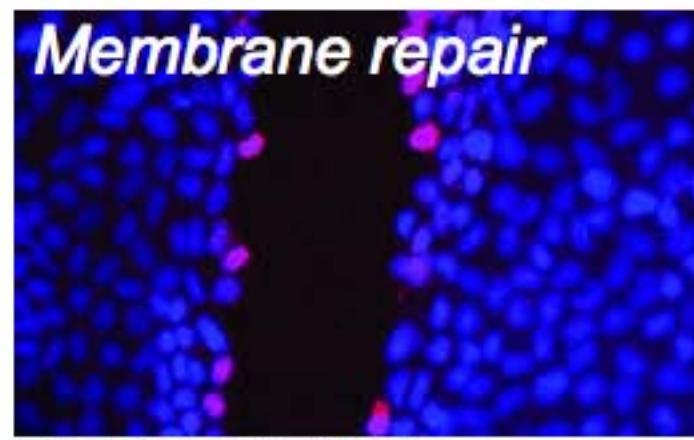
(Pryor et al., 2004; Proux-Gillardeaux 2007)

- Croissance neuritique**

(Martinez-Arca et al., 2003)

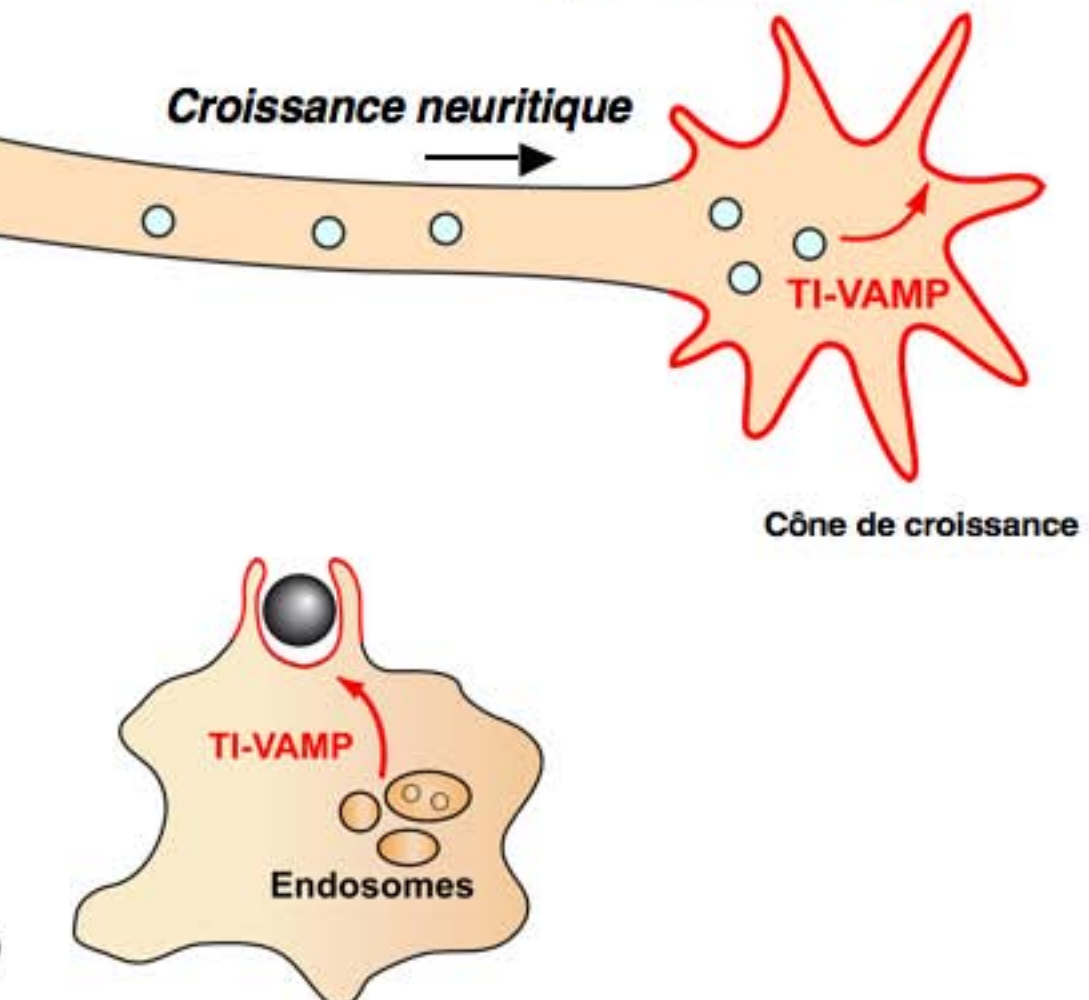
- Exocytose synaptique : libération de NT**

(Danglot et al. PNAS 2006)



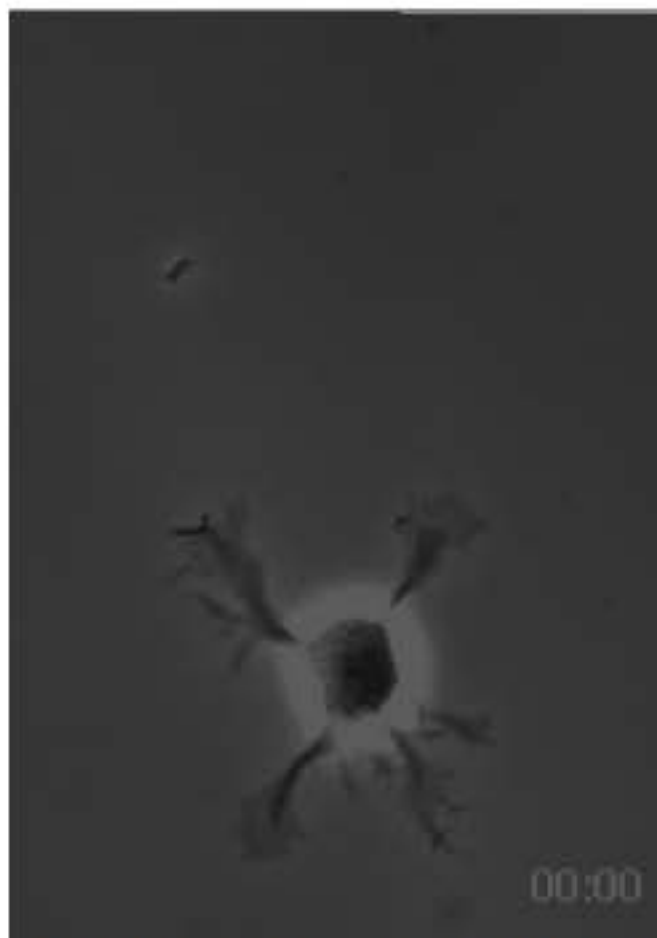
- Phagocytose**

(Braun and Niedergang., EMBO J, 2004)



- Degradation de la matrice dans les métastases (invadopodia)**

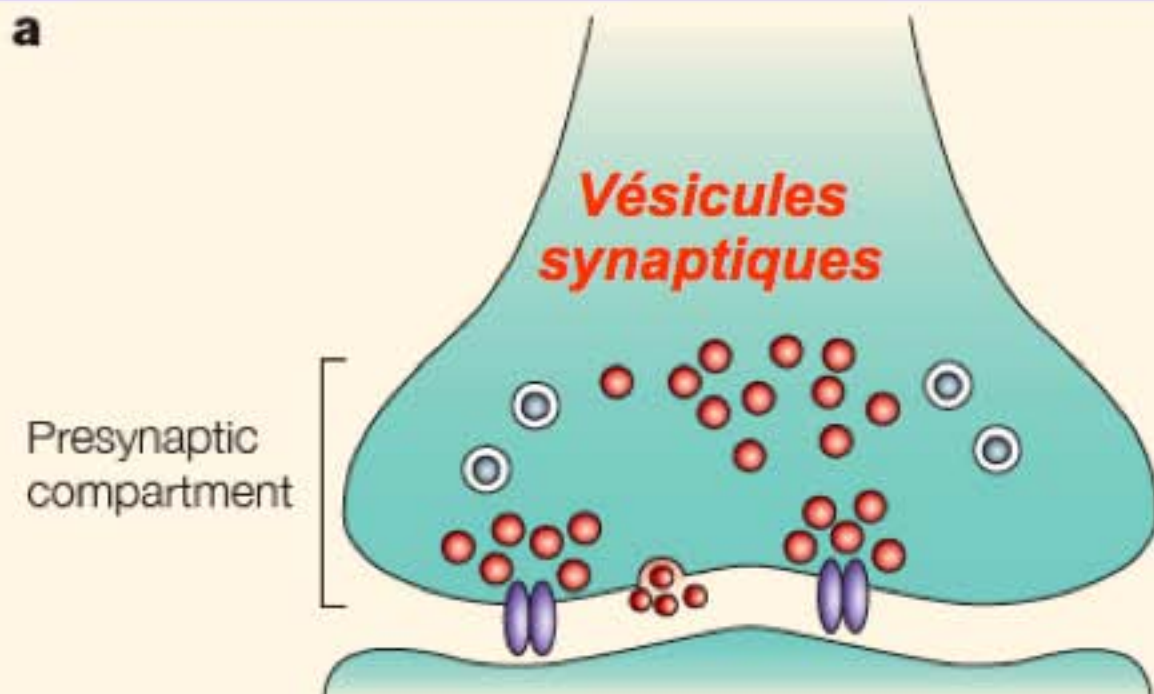
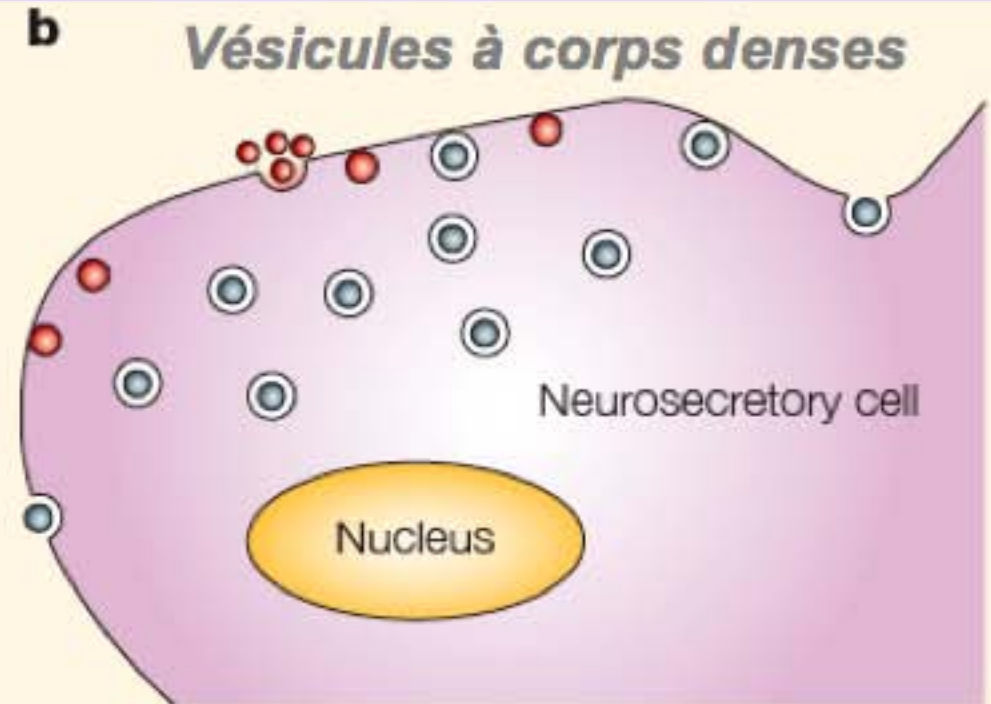
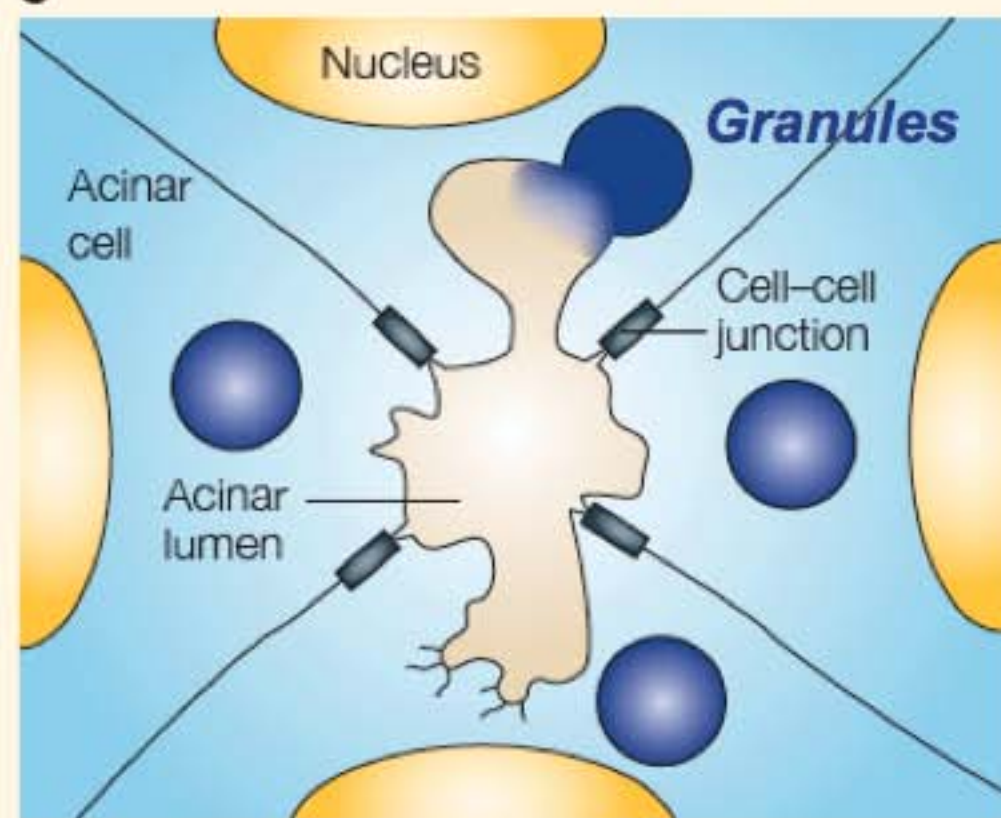
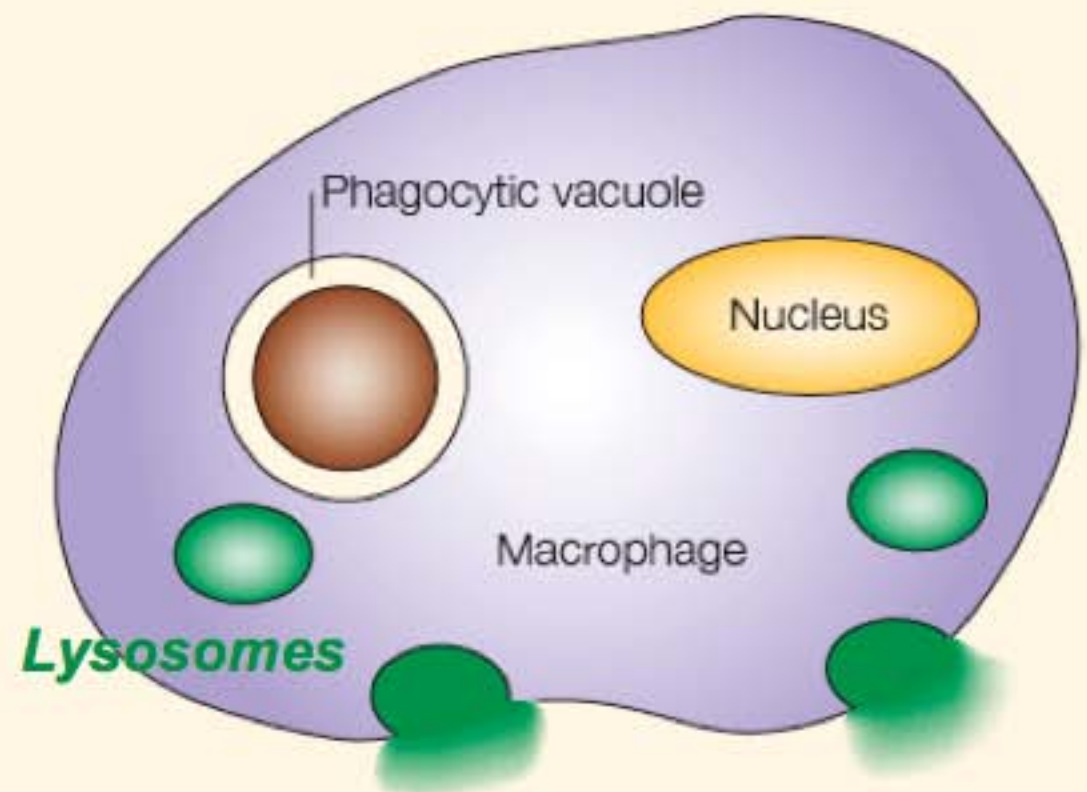
(Steffen and Chavrier, Curr Biol, 2008)



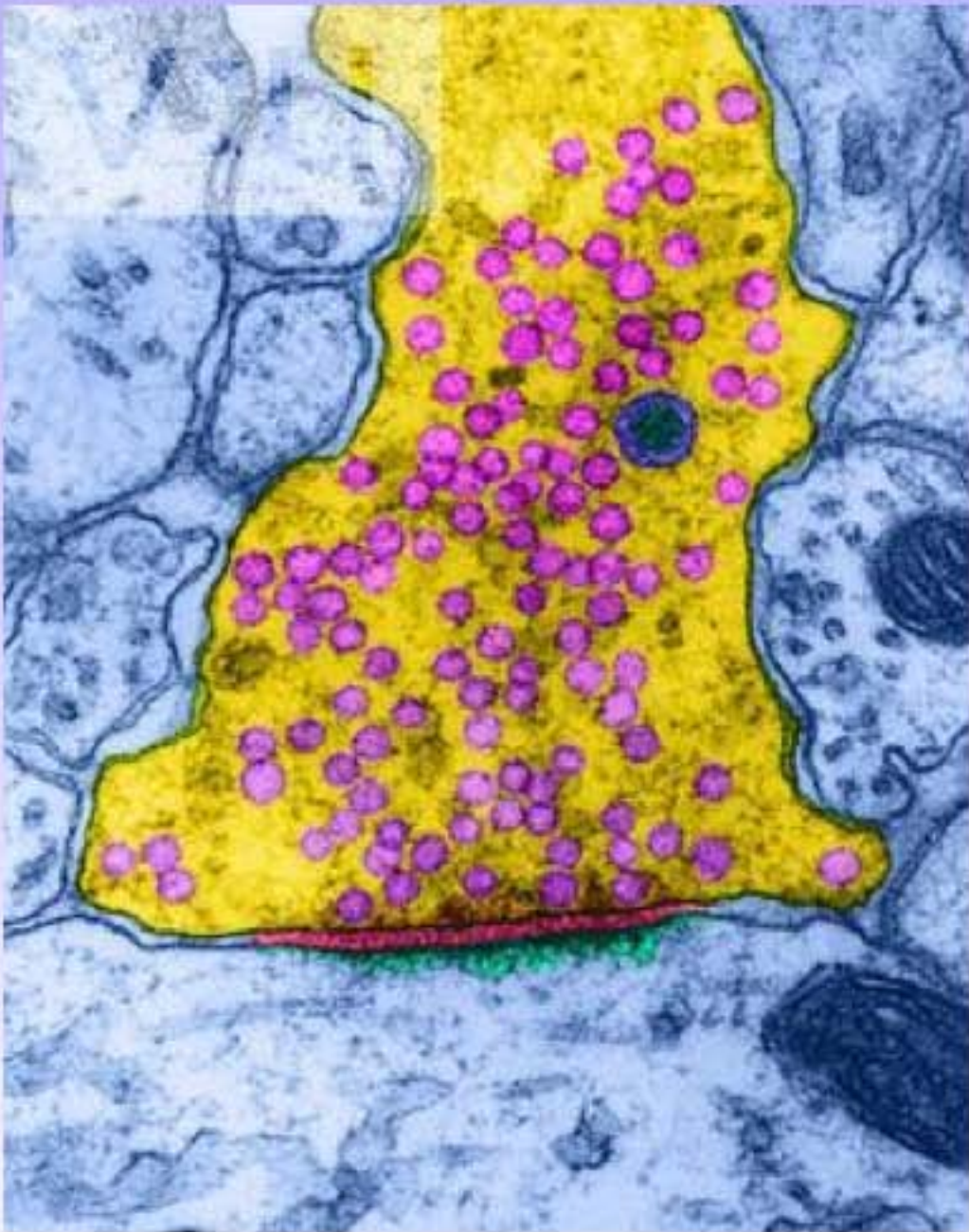
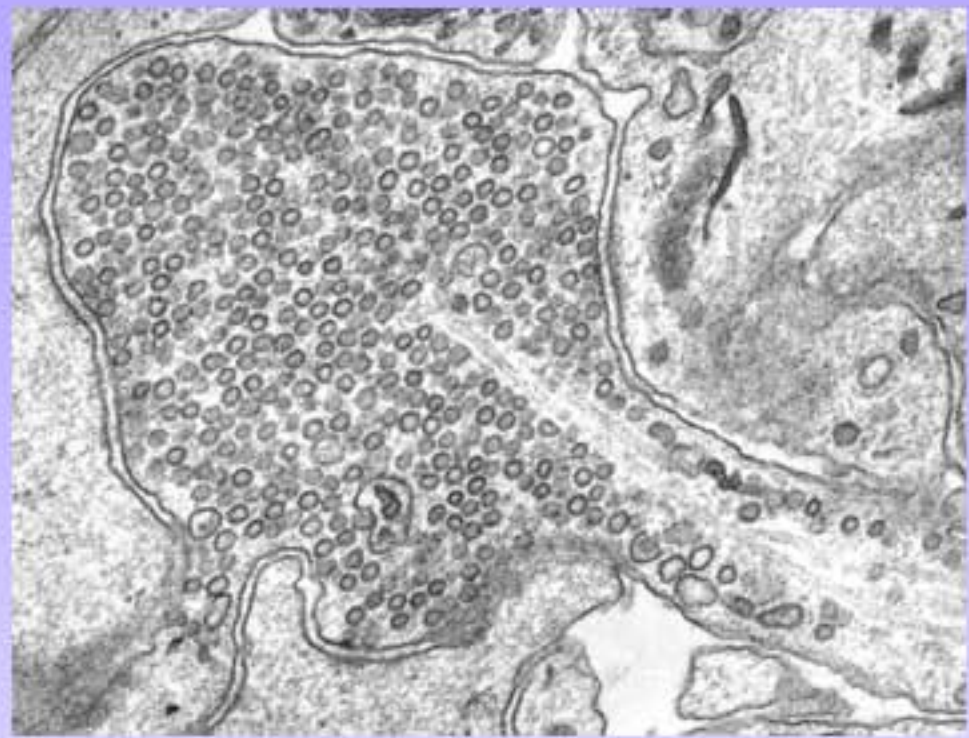
00:00
Croissance neuritique

<http://www.silvermanlab.org/>

Exocytose régulée

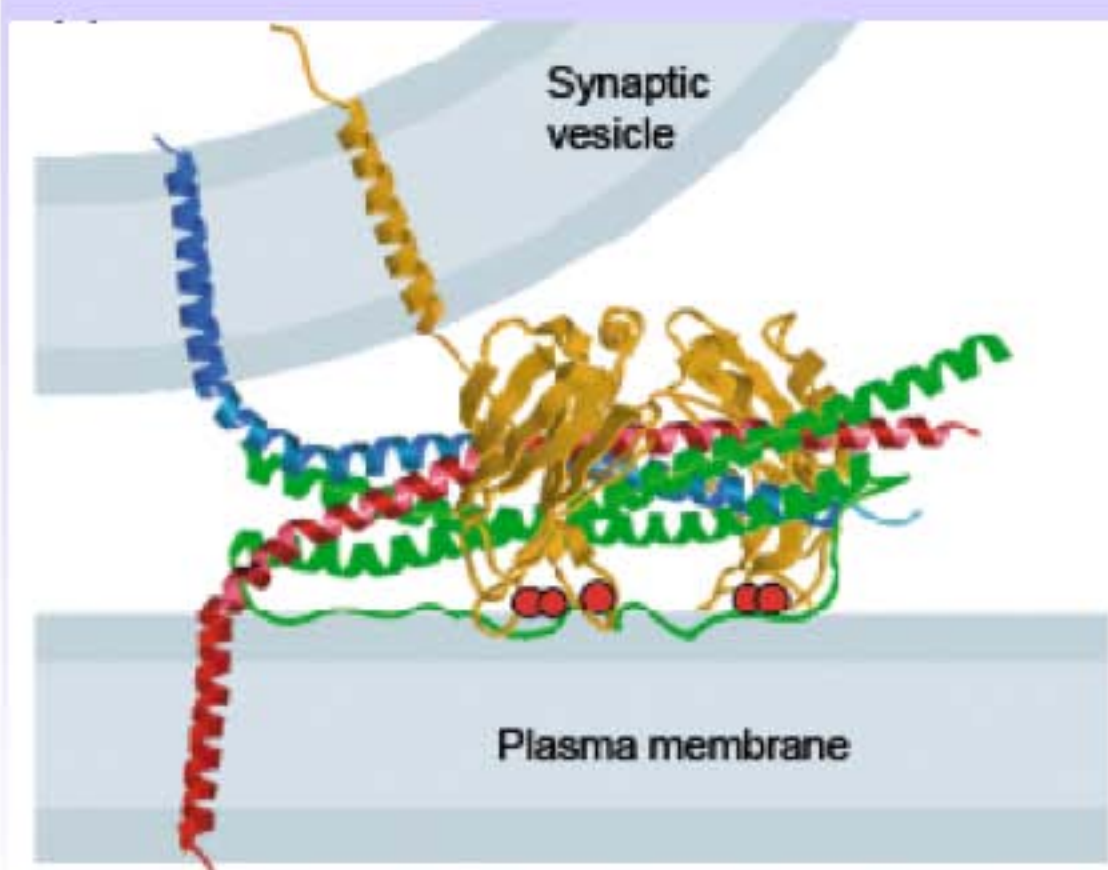
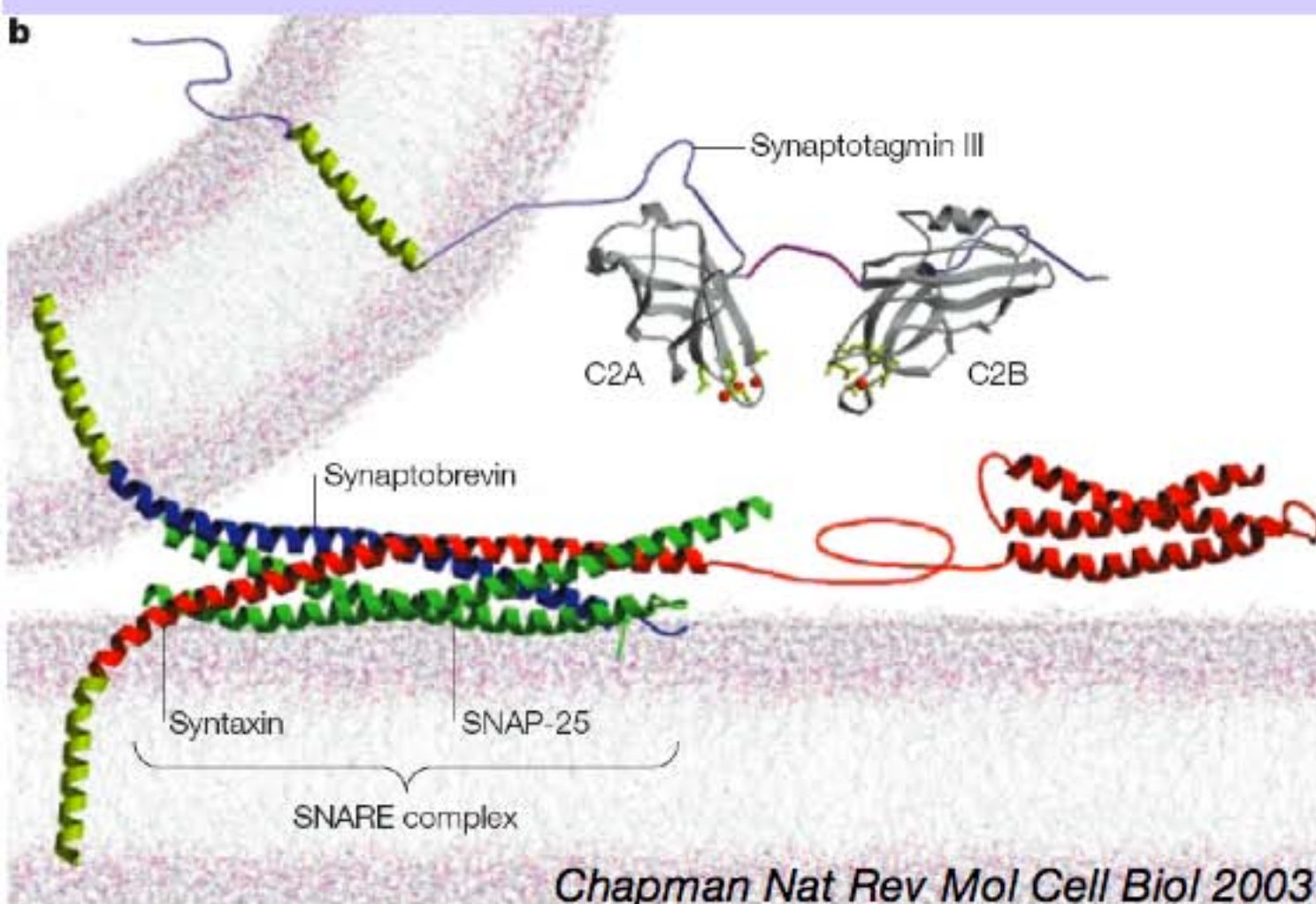
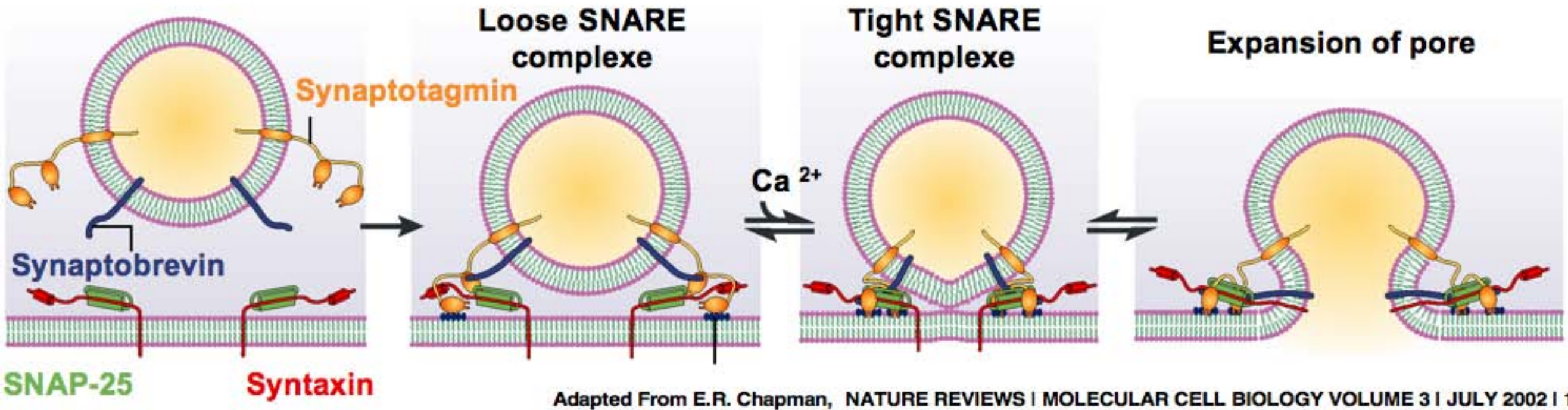
a**Synapse****b****Vésicules à corps denses****c****Glandes exocrines****d****Macrophages**

Les vésicules synaptiques



- 50 nm de diamètre
- 500 VS/terminaison
 - $\times 10\ 000 \text{ contacts} = 10^6 \text{ à } 10^7 \text{ VS/neurone}$
 - $\times 10^{11} \text{ neurones} = 10^{17} \text{ VS/SNC}$
- cholestérol:phospholipides = 1:2
- 12000 molécules de phospholipides / VS
- phospholipides:protéines = 1:1
- 20 à 40 protéines différentes / VS
- synaptophysine= 7% protéine VS = 0,3% protéines totales

Les protéines SNARE et l'exocytose



Le complexe SNARE

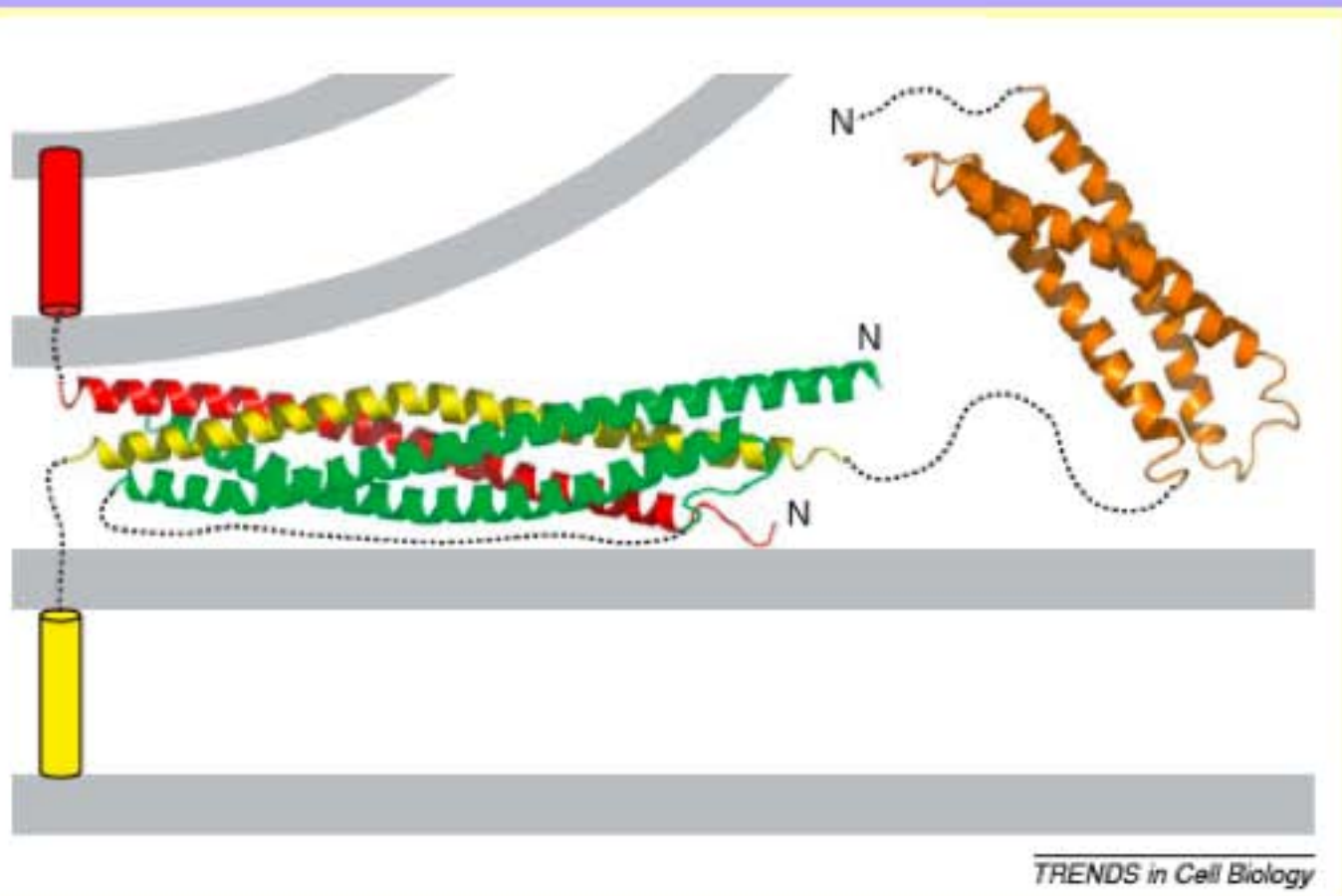
Synaptobrevin



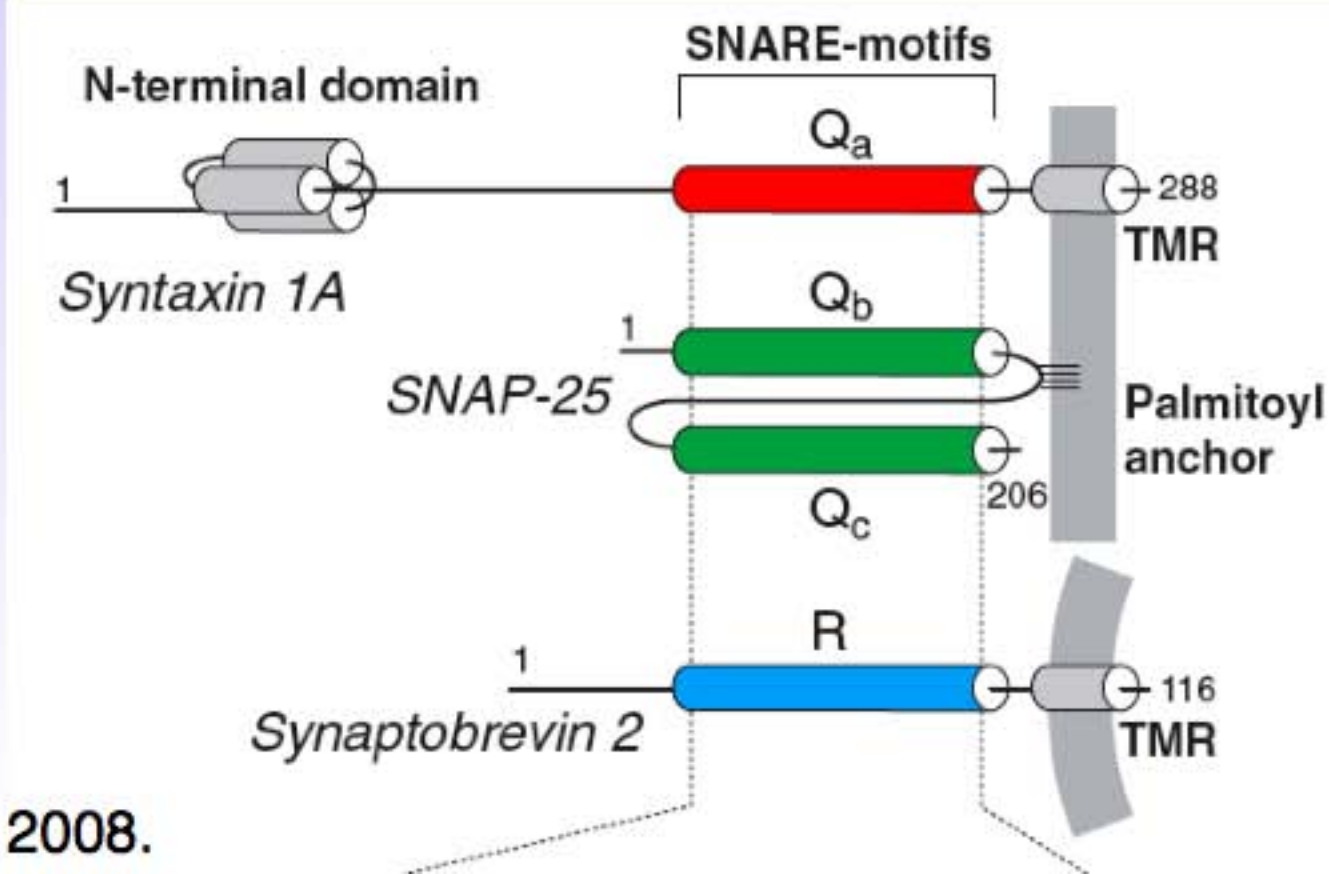
Syntaxin



SNAP-25



Rizo, Chen et d'Areç, Tins 2006.

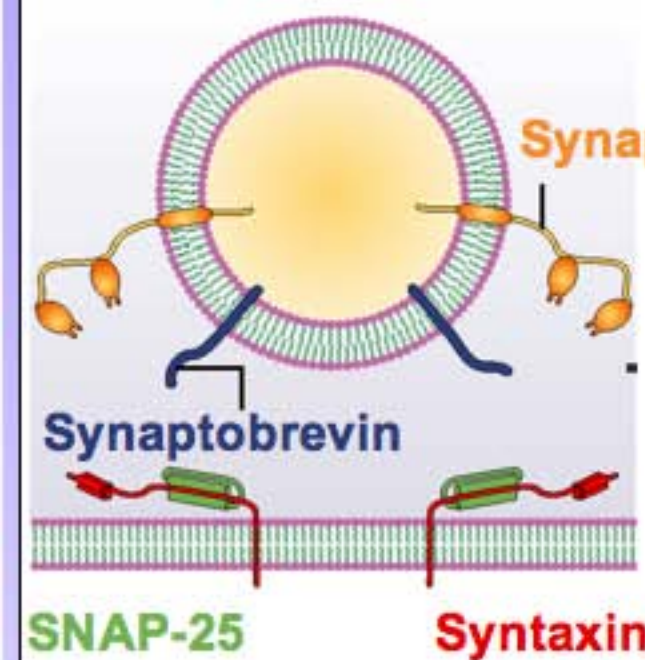


Core Proteins of the Secretory

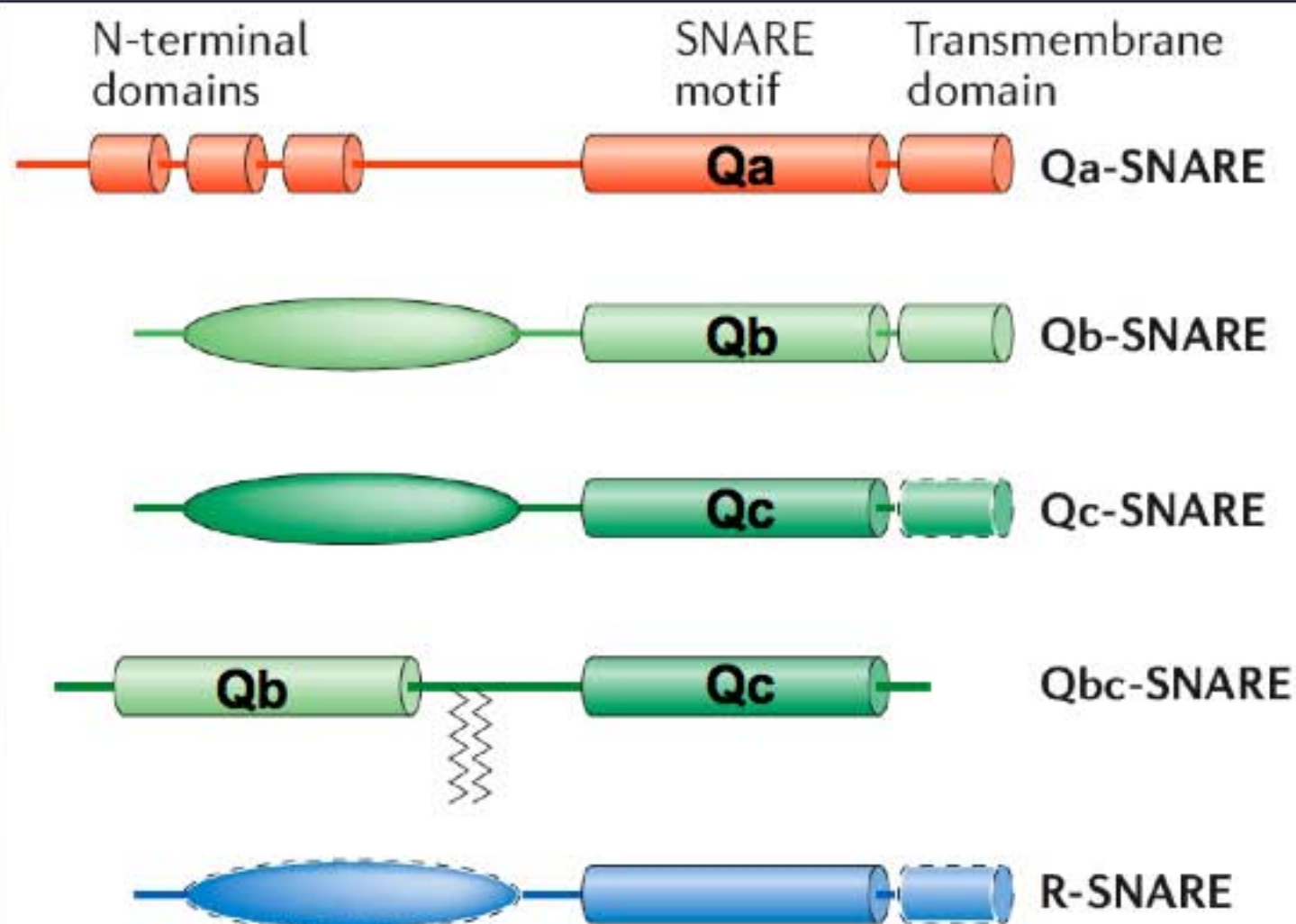
Lang and Jahn, Pharmacology of NT release, 2008.

Les protéines SNARE et l'exocytose

- **v-SNARE:** sur la vesicule (vesicle)
- **t-SNARE:** sur la membrane cible (target)



- **1 complexe SNARE = 1 motif SNARE sur la vesicule (R)**
+ 3 motifs SNAREs sur la membrane cible (Q)
- **Les 3 motifs t-SNARE peuvent venir de :**
 - **2 t-SNAREs :** 1 SNARE avec 1 motif (Qa), 1 SNARE avec 2 motifs (Qbc)
 - **3 t-SNAREs:** 3 SNARES différents avec 1 motif chacun (Qa, Qb, Qc).



ex: **Syntaxin 1 à 5, 11, 13, 16, 17, 18.**

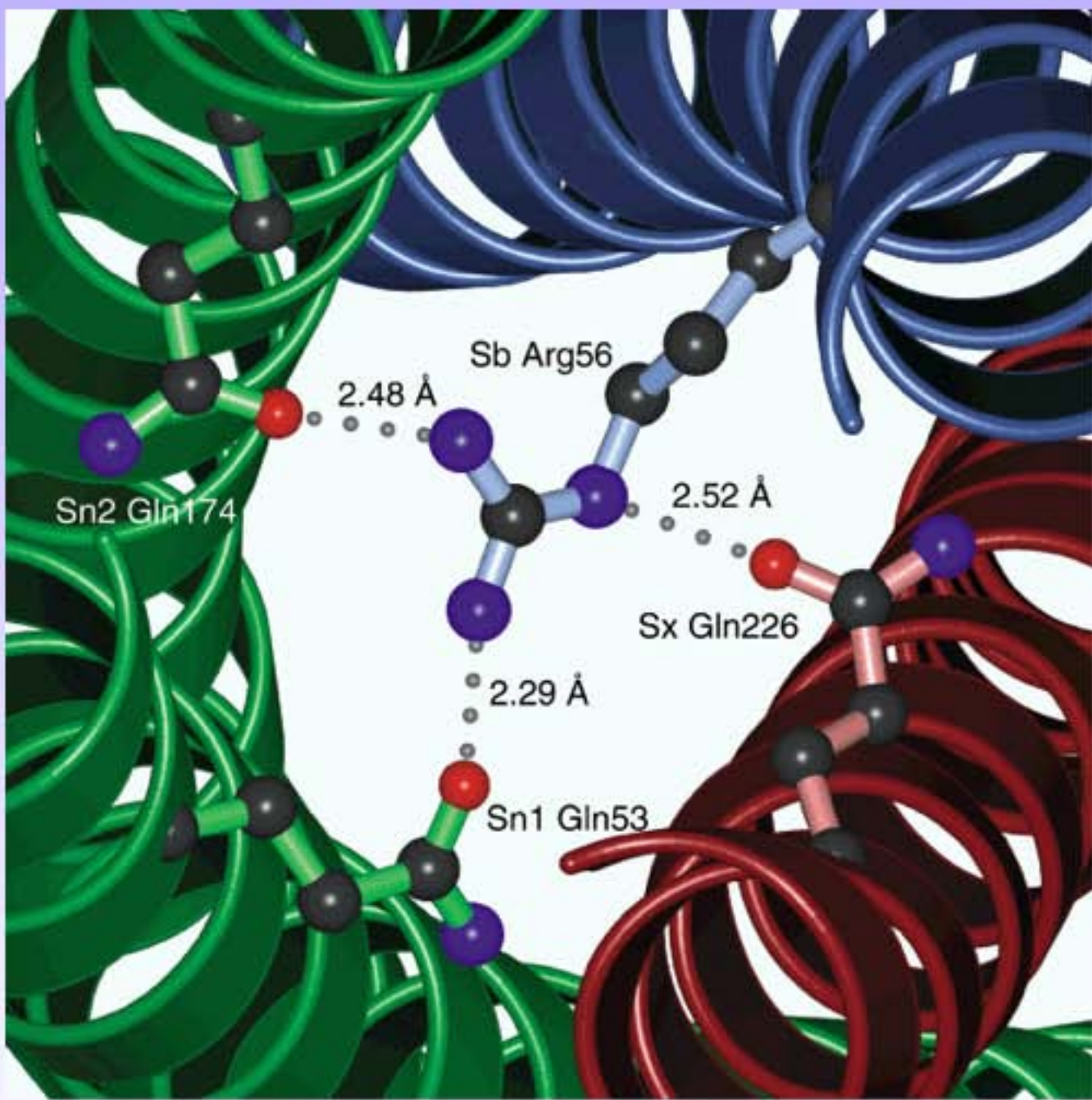
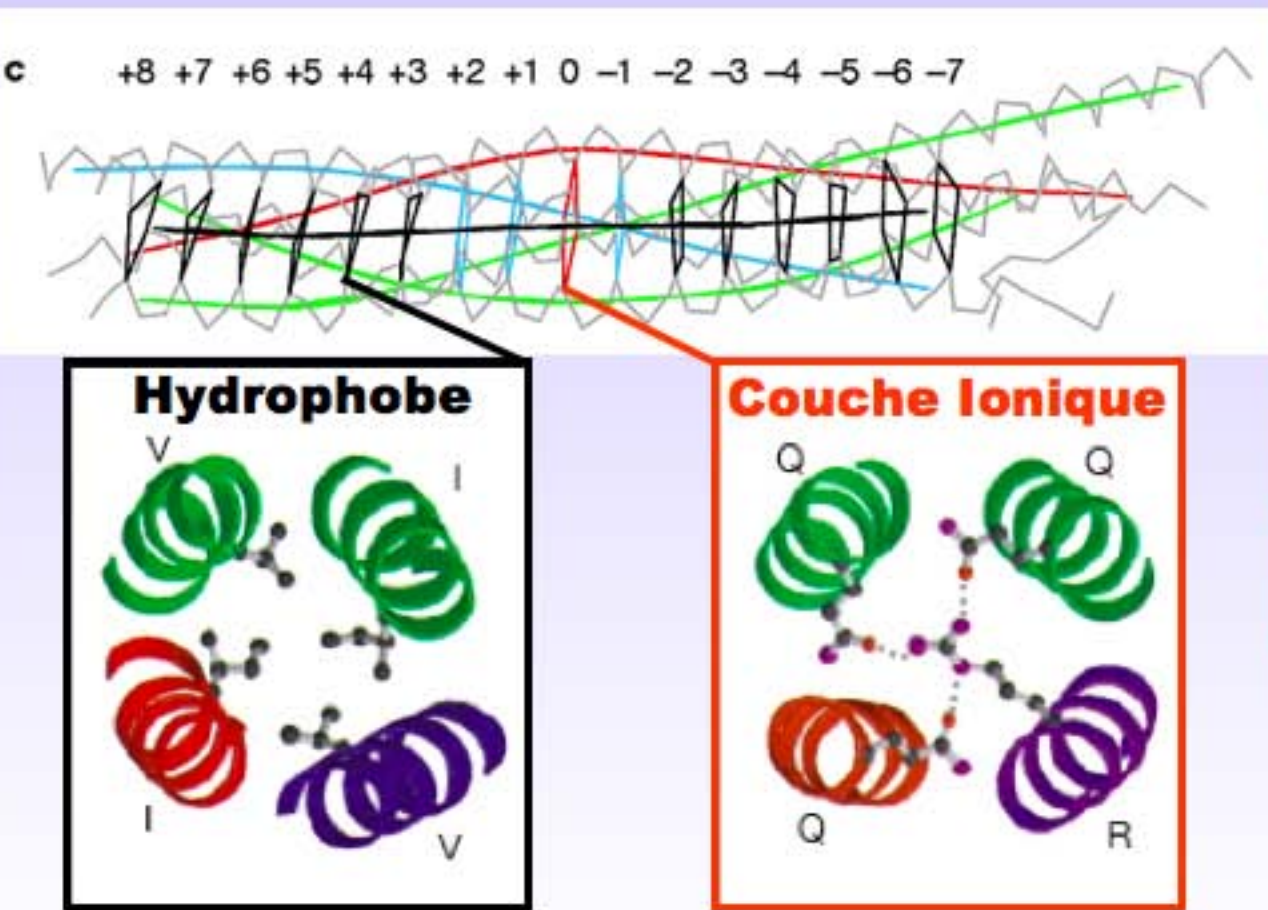
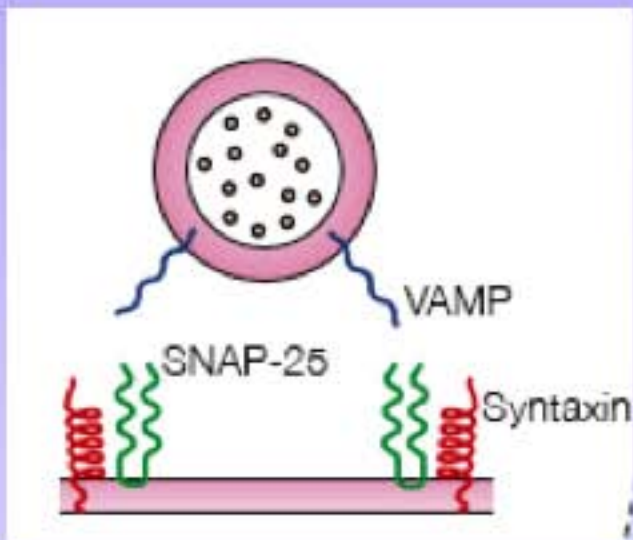
ex: **Vti1a, Vti1b, GS27, GS28**

ex: **Bet21, GS15, stx6, stx8, stx10**

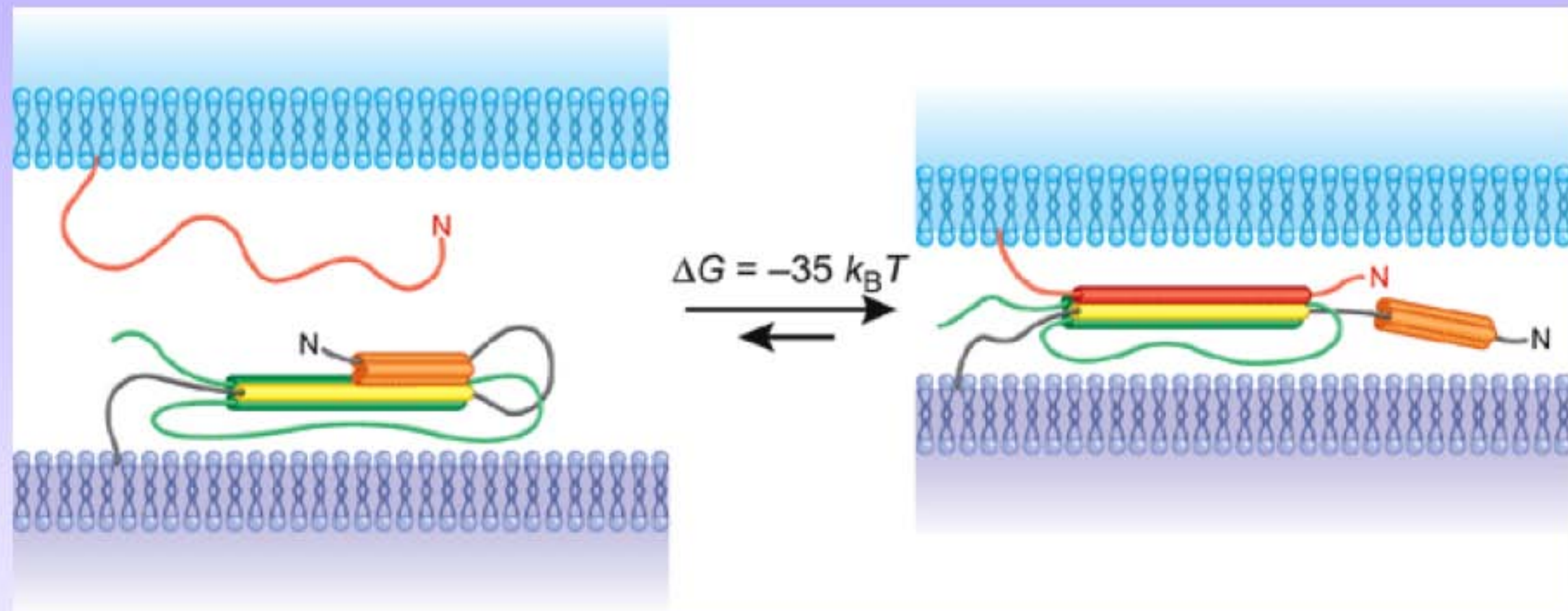
ex: **SNAP-25, SNAP-23, SNAP-29**

ex: **Syb2, TI-VAMP, Sec22, YKT6
VAMP1 à VAMP8**

Le complexe SNARE : Q-SNARE & R-SNARE



(Sutton et al., Nature 1998)

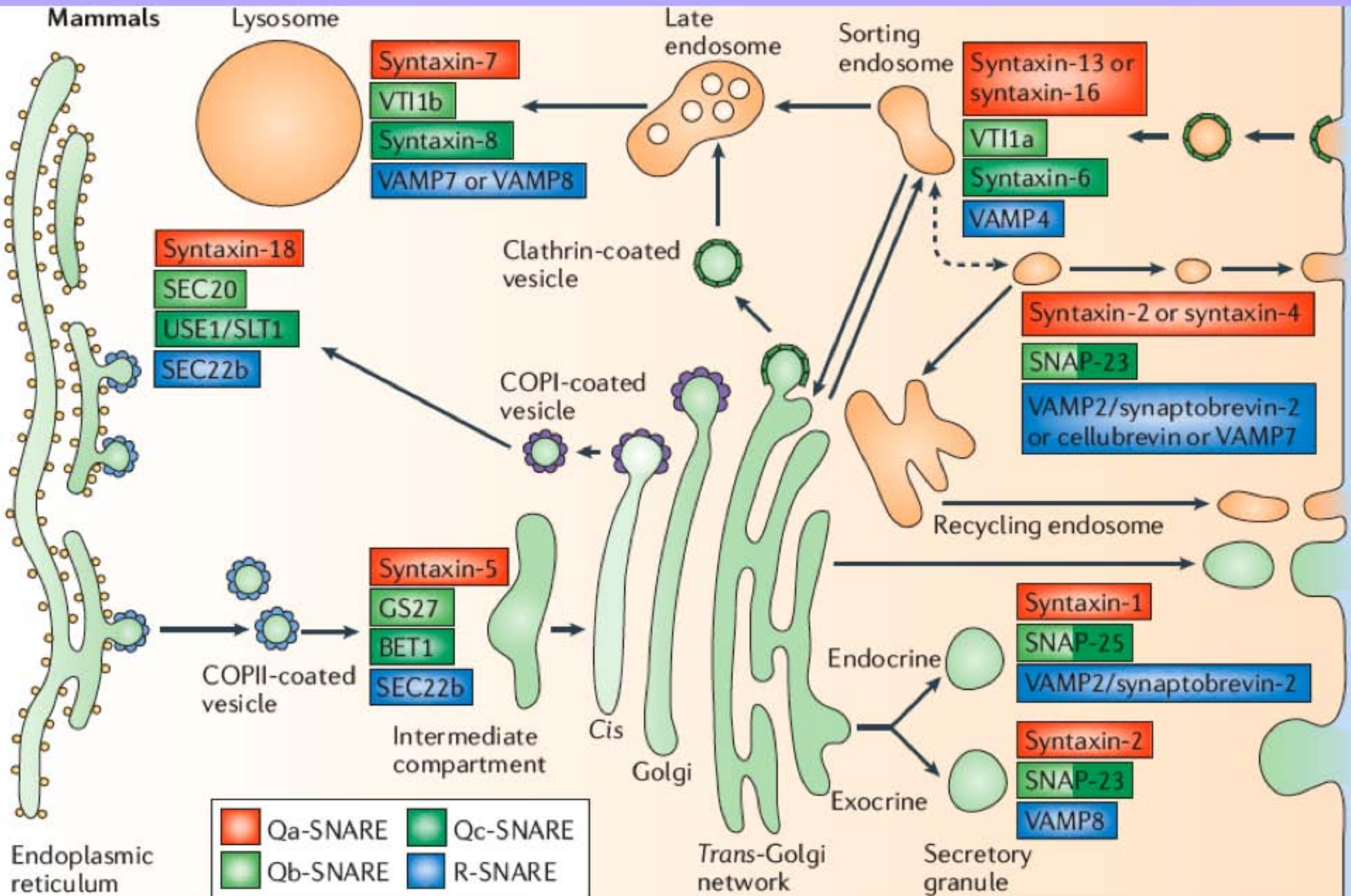


La haute stabilité du complexe SNARE est probablement cruciale pour leur rôle dans la fusion membranaire. L'énergie de stabilisation du complexe SNARE est de 35 kBT (cf. Li. et al. Nat. Struct. Mol. Biol. (2007): 14, 890–896) soit une des plus grande énergie de repliement mesurée.

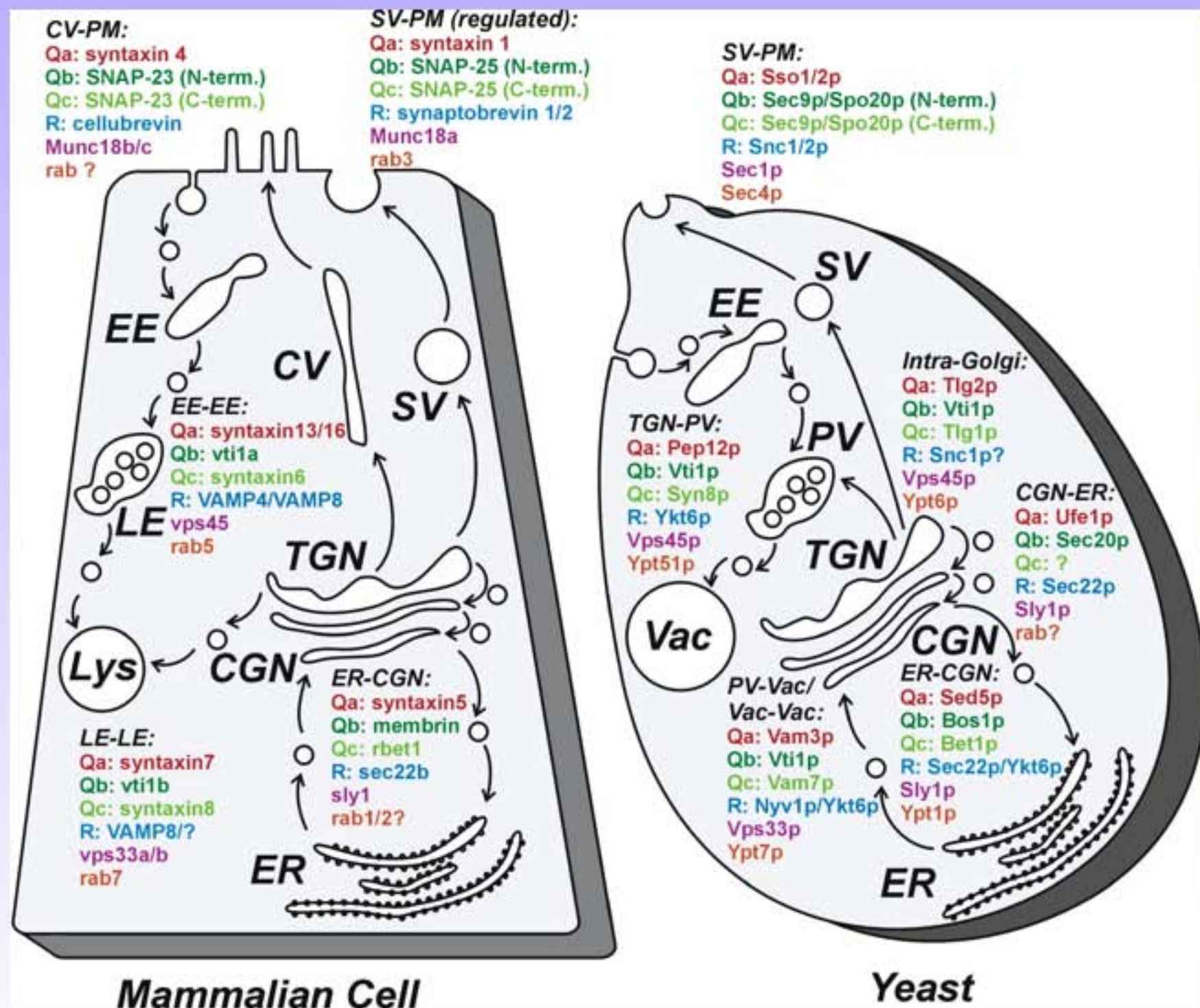
SNARE & compartiments

Chaîne	Levure	Nématode	Drosophile	Mammifères
SNAREs	21	23	20	35
Qa Syntaxines	7	9	7	12
Qb Nter SNAP25	5	7	5	9
Qc Cter SNAP25	6	4	5	8
R V-SNARE	5	6	5	9
Sec1	4	6	5	7
Rab	11	29	26	60

Les protéines SNARE et le trafic membranaire dans la cellule

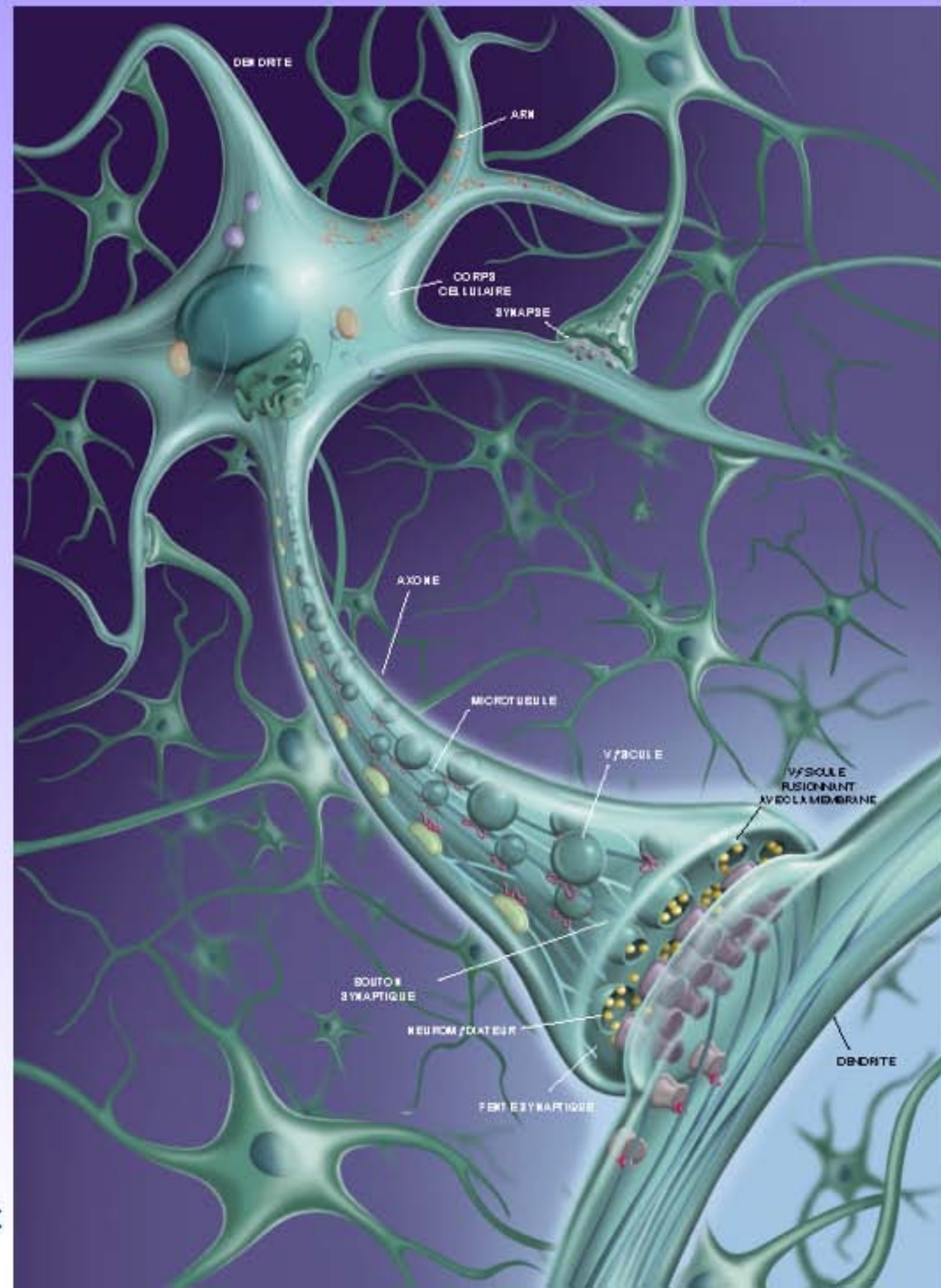


SNARE & compartments

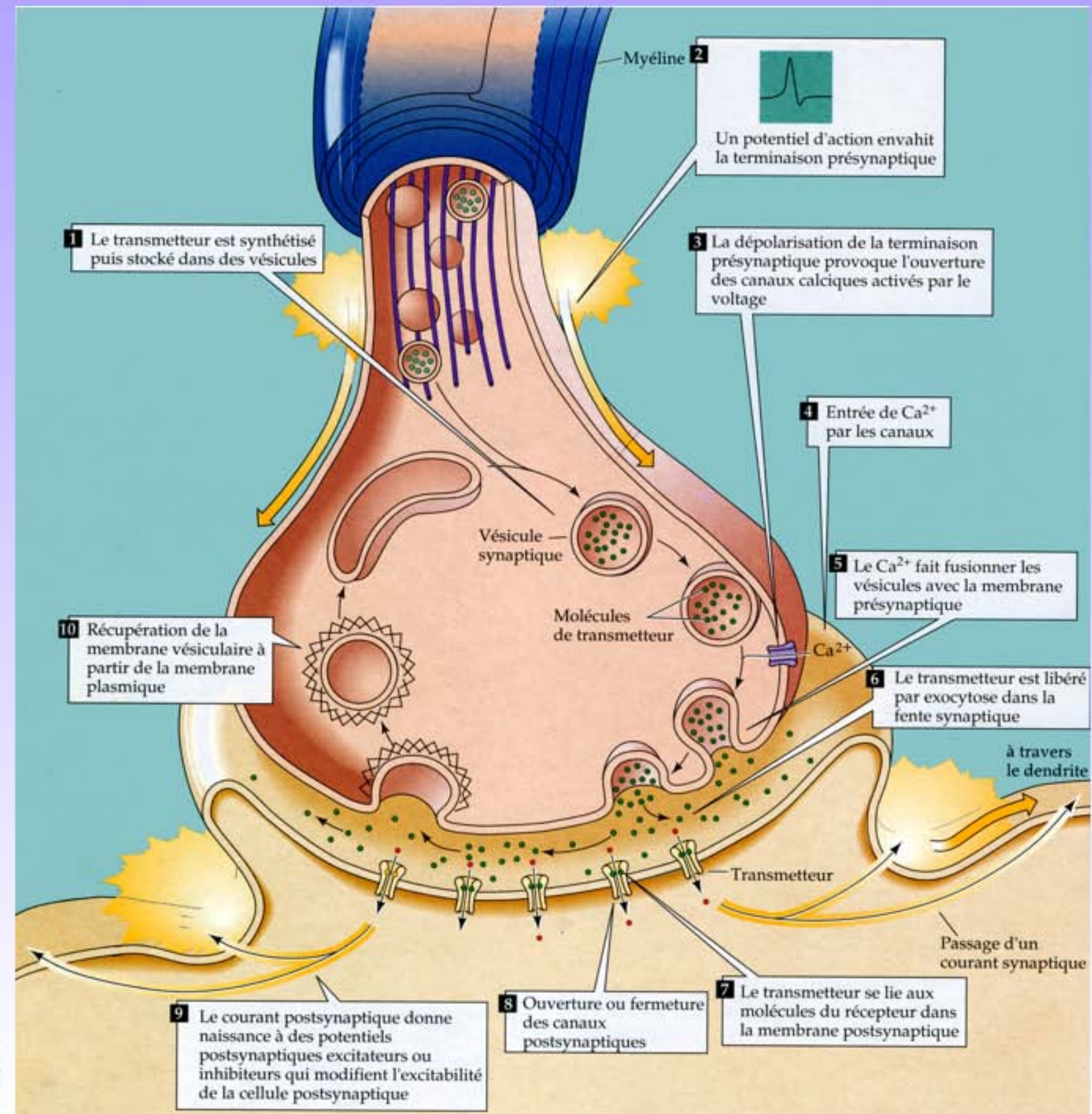


Machinerie d'exocytose: le modèle neuronal : l'exocytose synaptique

La fusion vésiculaire entre les vésicules synaptiques et la membrane présynaptique permet la libération des neurotransmetteur.

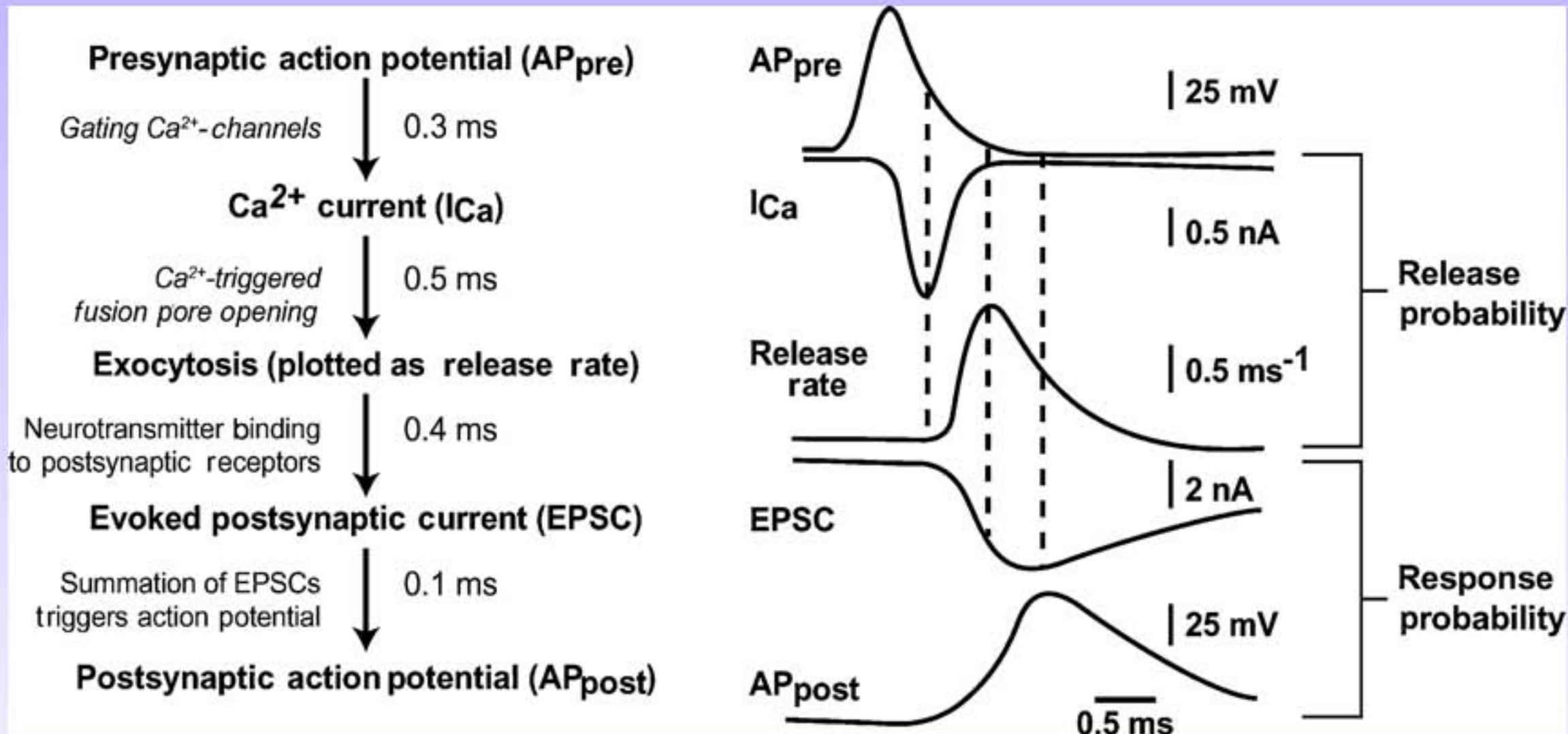


L'exocytose synaptique



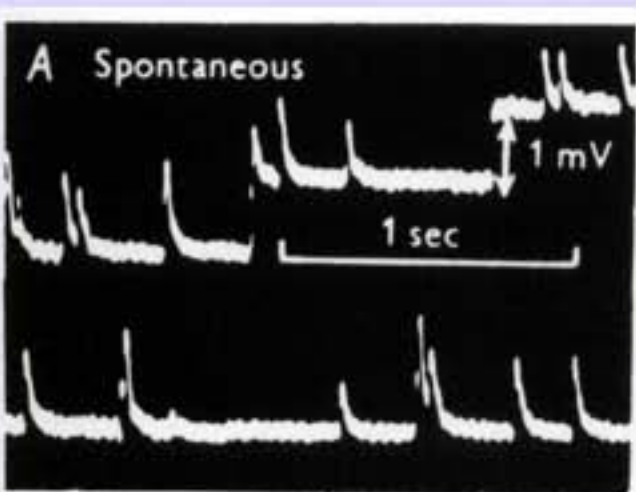
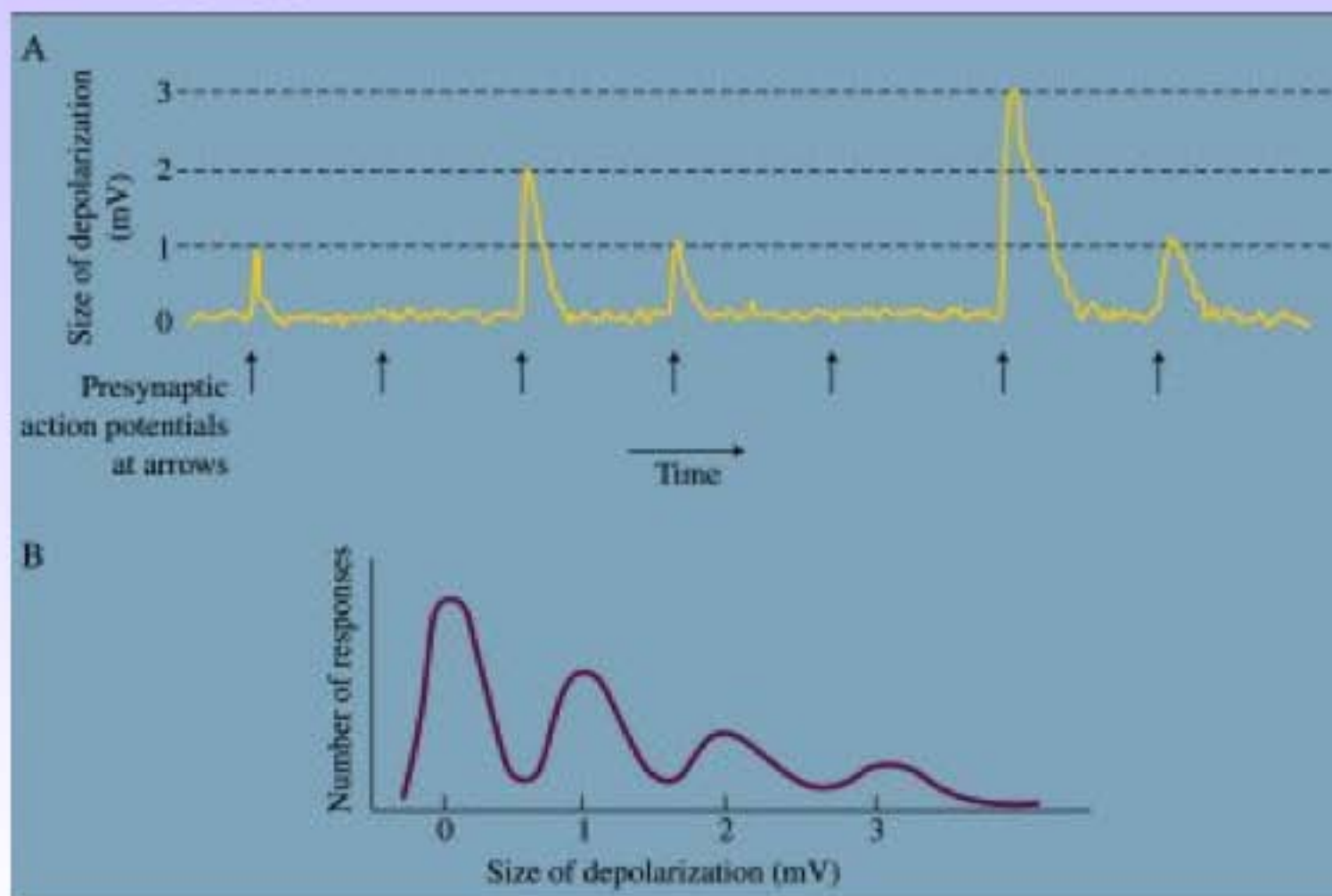
D'après Neurosciences,
à la découverte du cerveau
M. F. Bear

Chronologie: rapidité! Et rôle du calcium



Libération de l'acétylcholine

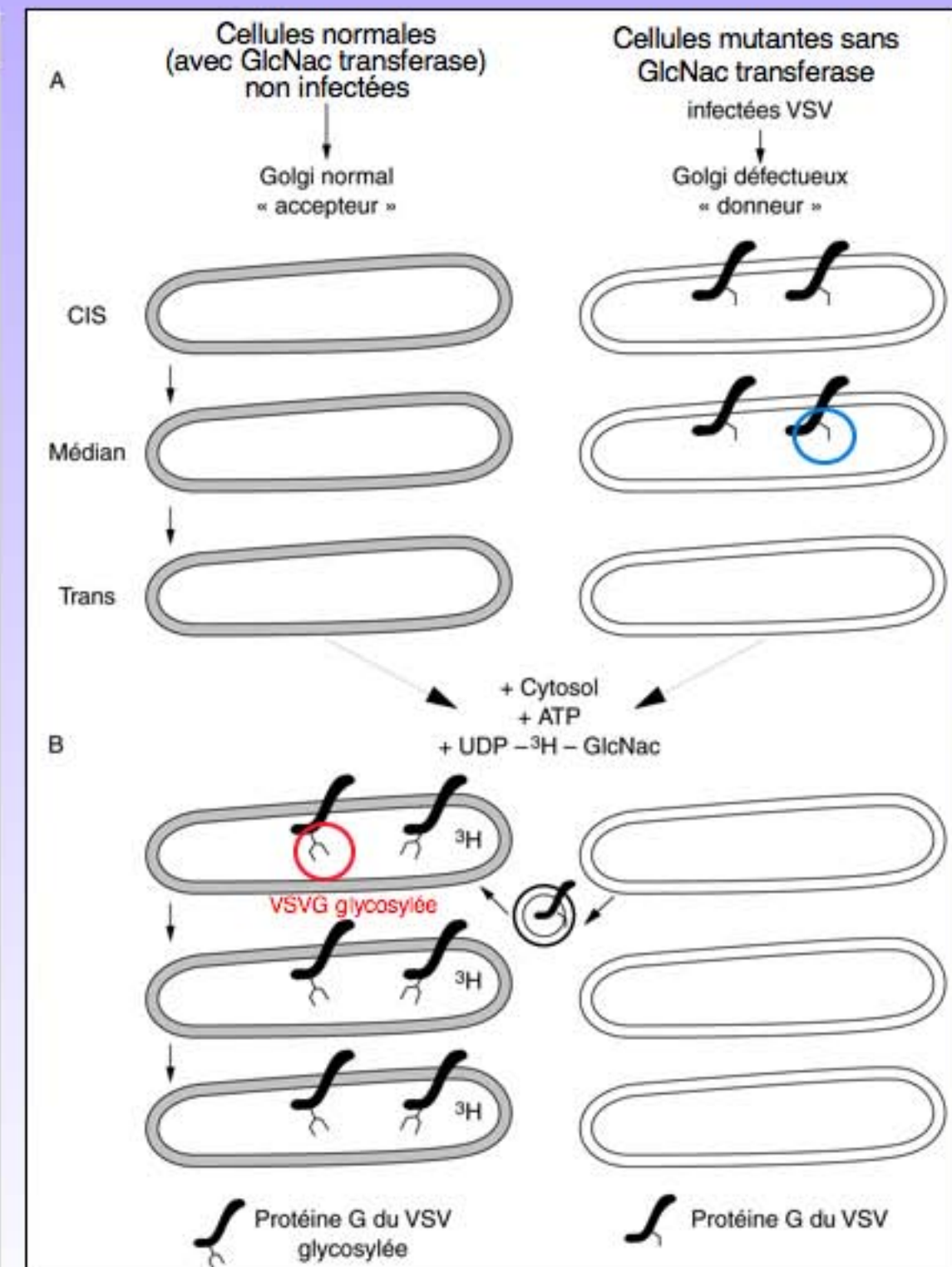
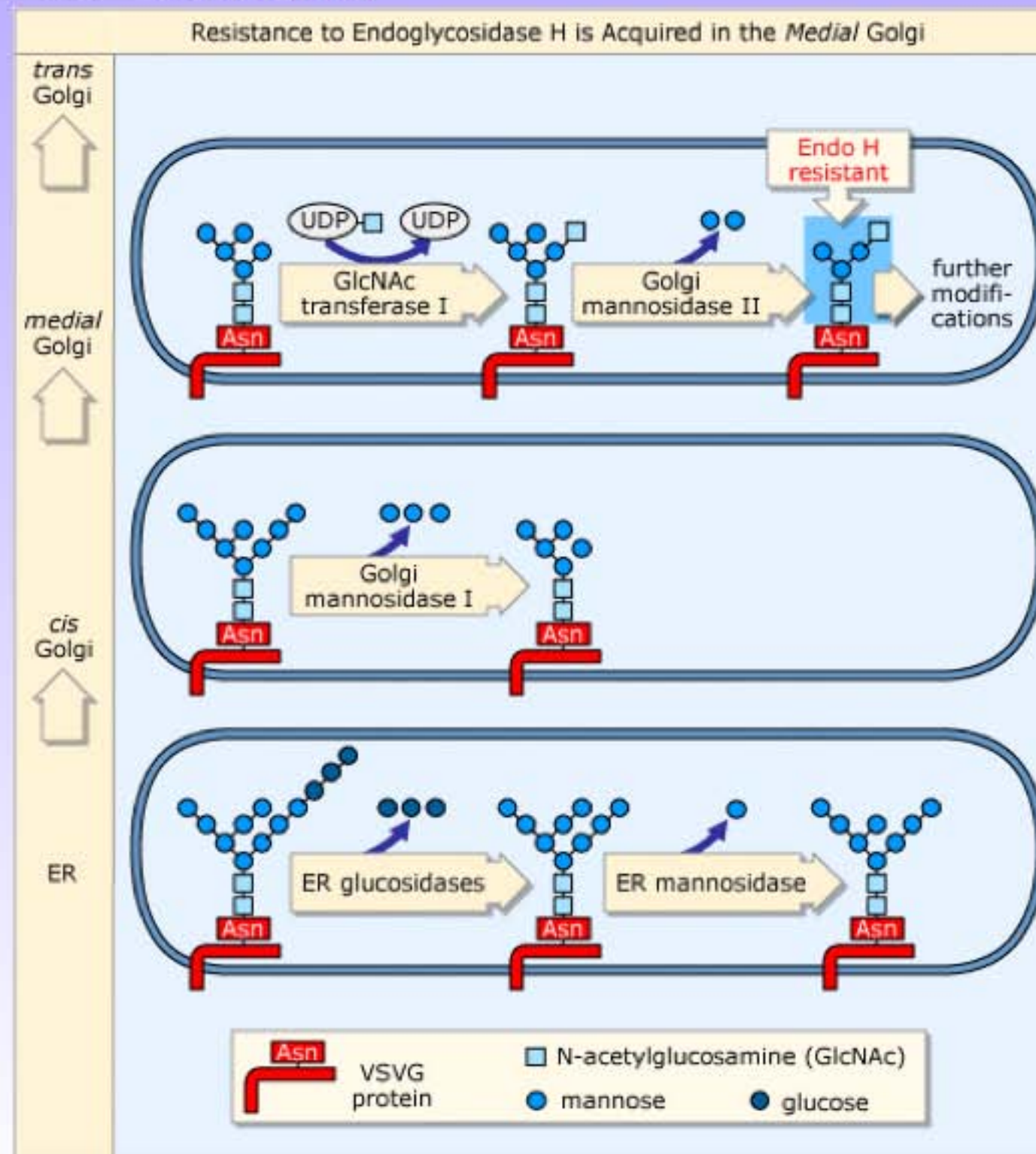
- Théorie quantique: Prix Nobel pour Katz
 - Nt libéré par paquet de taille définie
 - 10,000 molécules d'ACh
- Libération en “tout ou rien”
 - Calcium extracellulaire réduit, seuls quelques quanta sont libérés



Test in vitro de transport membranaire

(Balch et Rothman, Cell (1984))

Jim Rothman

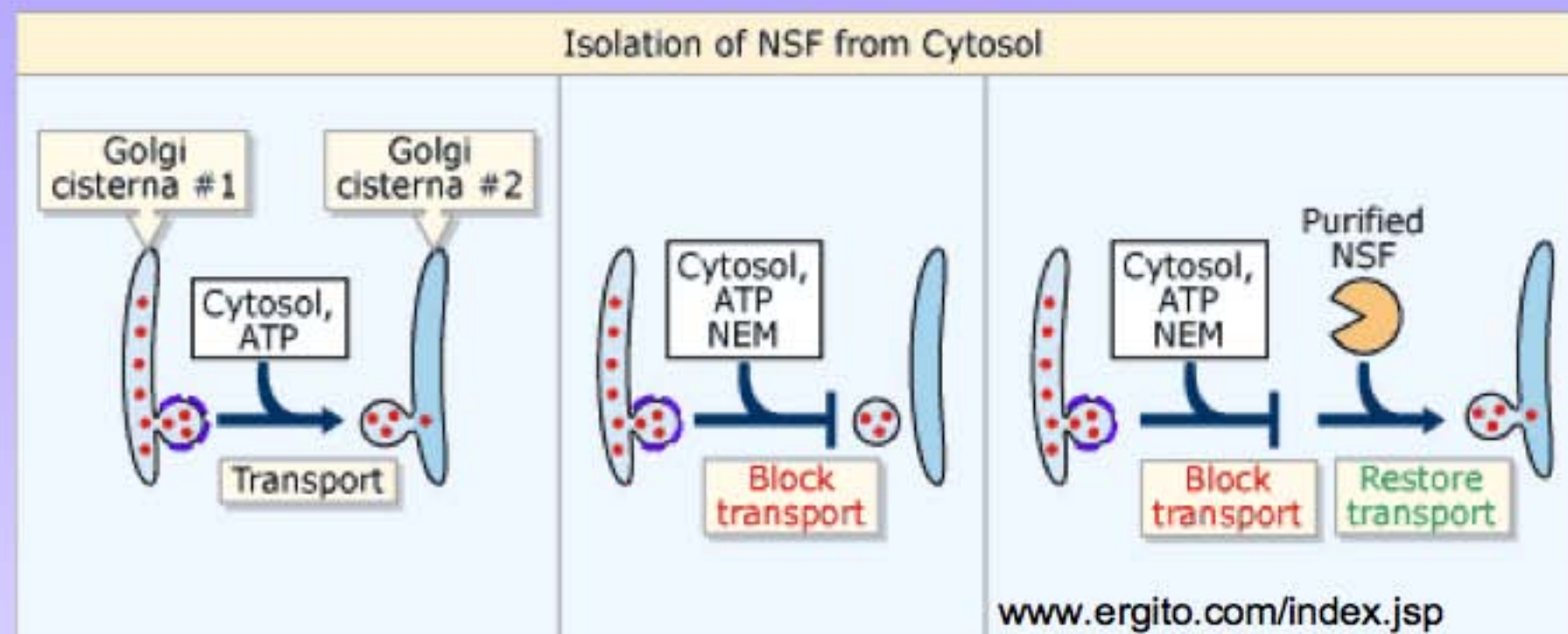


Les citernes restent distinctes, VSVG a été transportée : les auteurs formulent l'hypothèse du **transport vésiculaire**.

Découverte historique de NSF & SNAPs



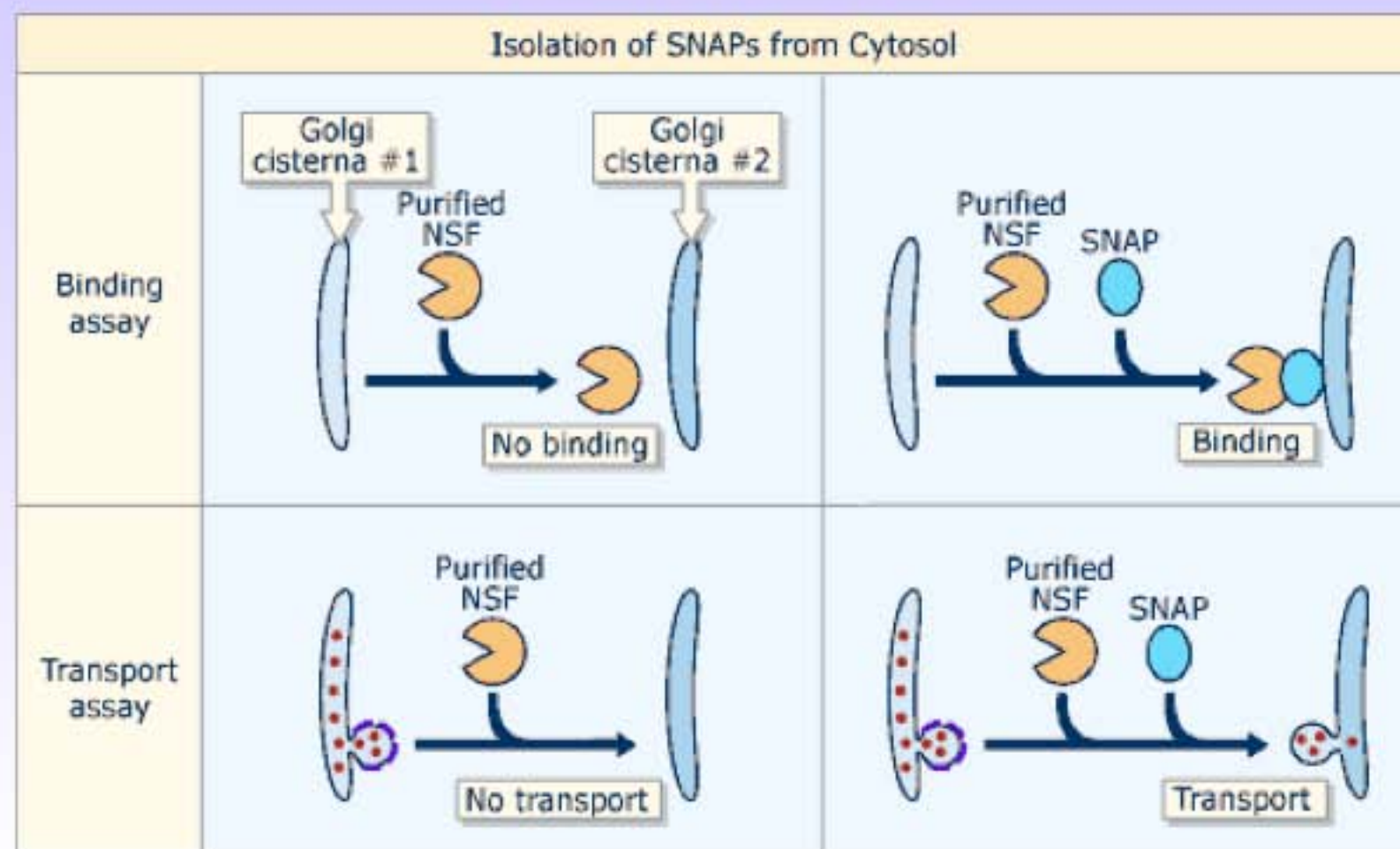
Jim Rothman



NEM: N-Ethyl-Maleimide
NSF: NEM sensitive factor

NSF est nécessaire à la fusion.

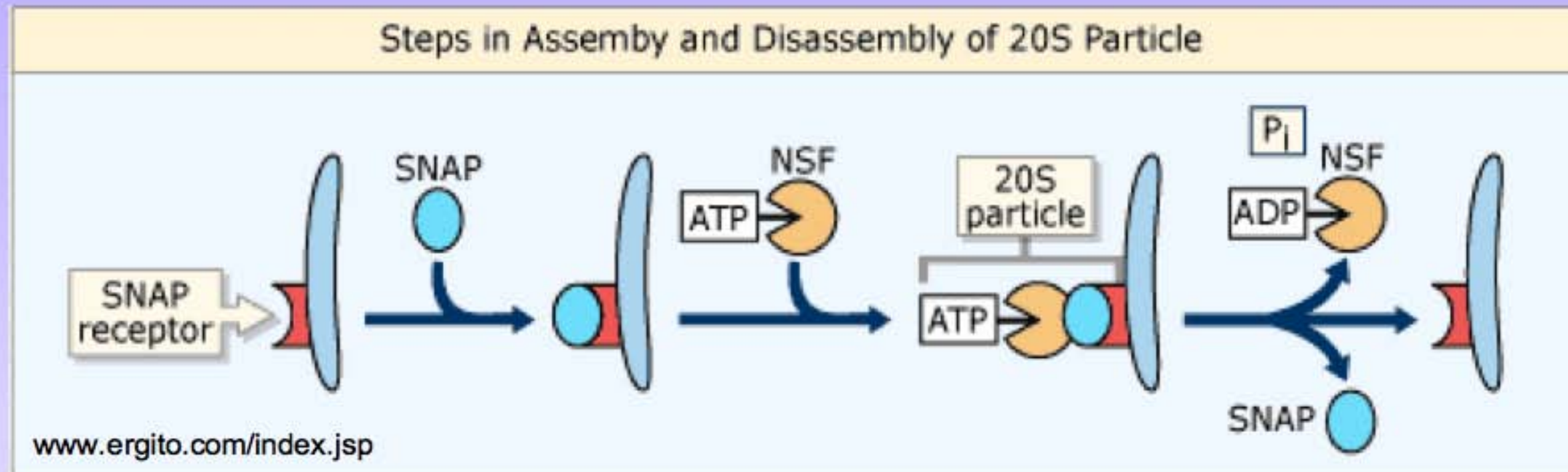
NSF est inhibée par le NEM.



SNAP:
Soluble NSF Attachment Factor

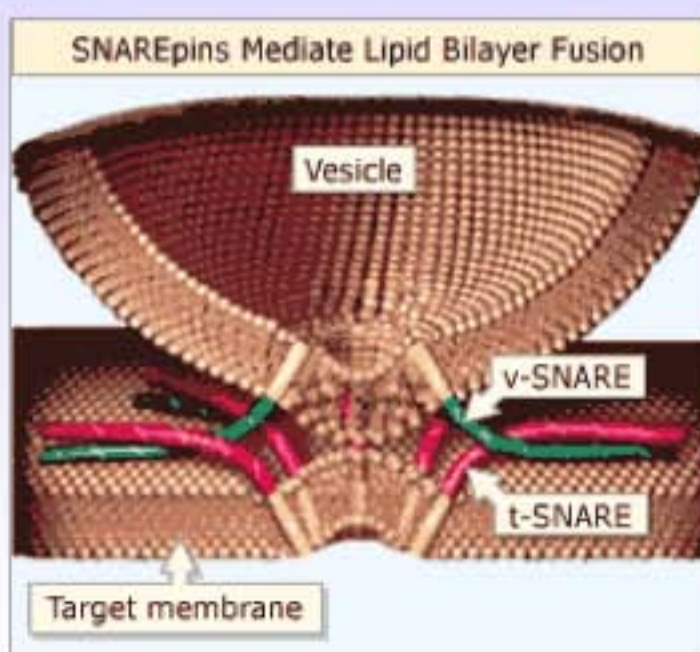
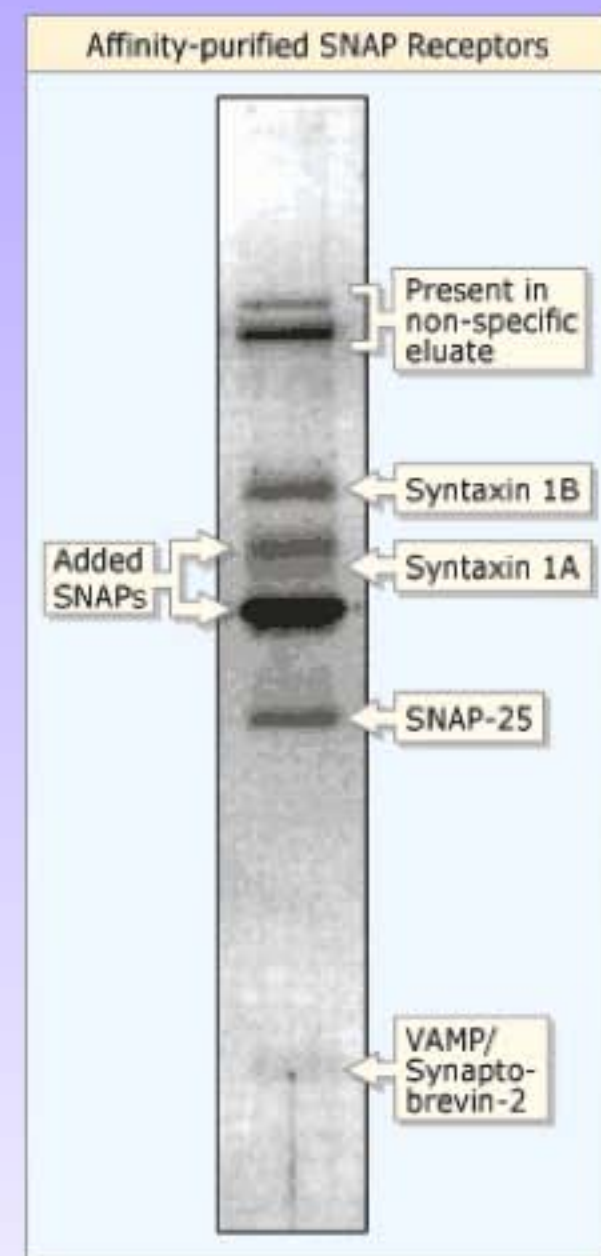
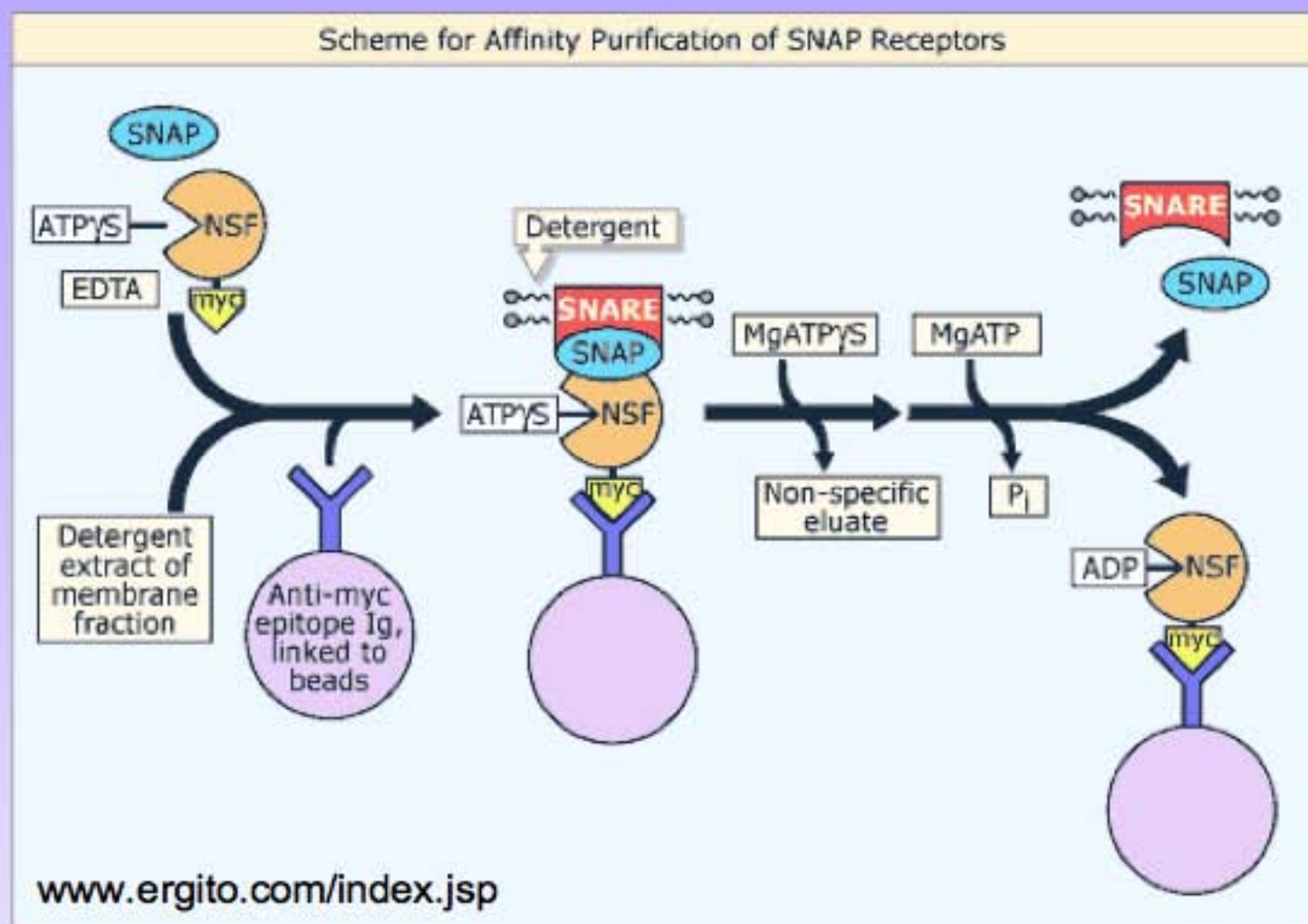
NSF est une protéine soluble qui ne peut se lier aux membranes que grâce aux SNAPs (3 isoformes α, β, γ).

Découverte historique des récepteurs de SNAP: les SNARE

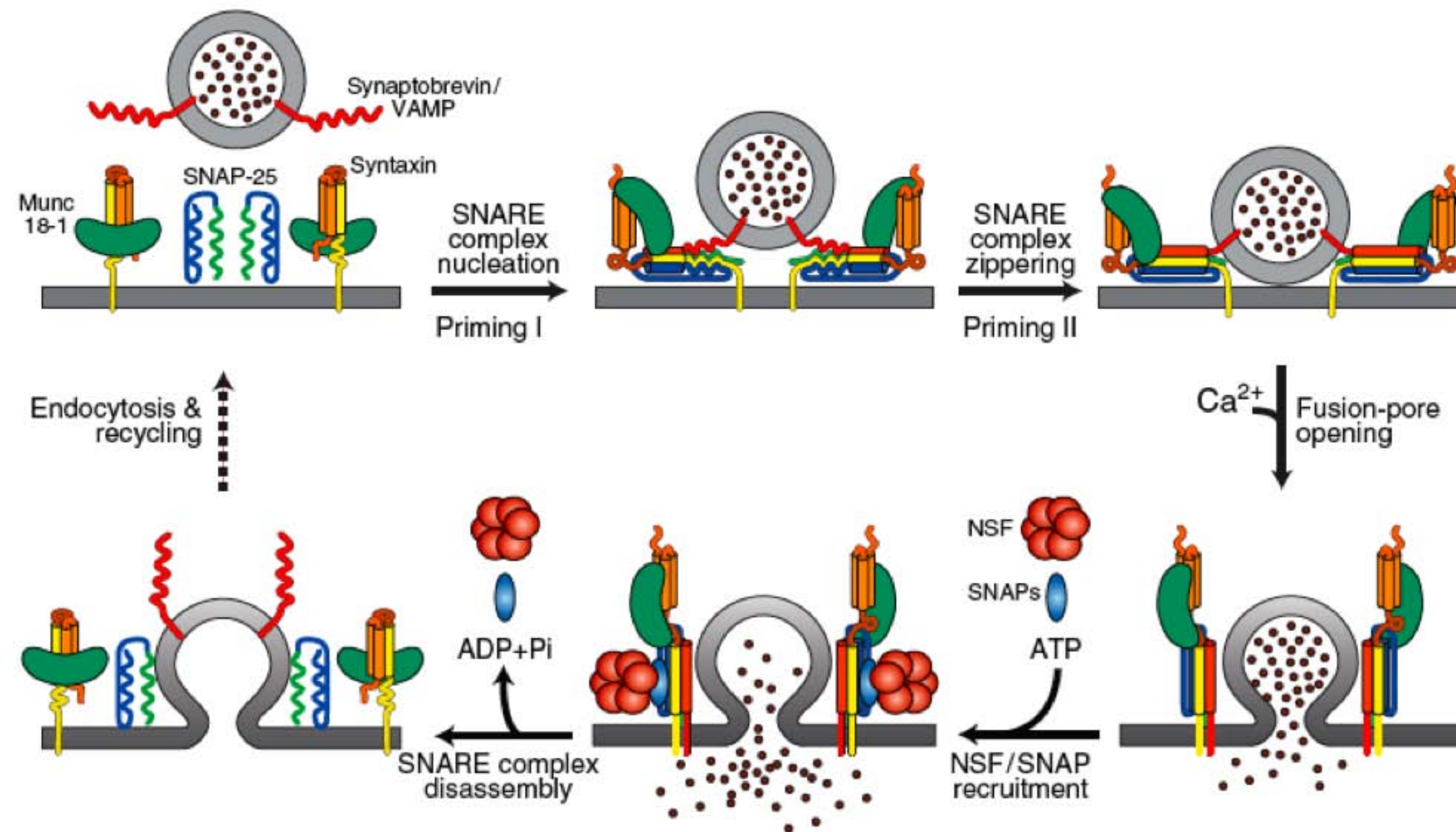


Comment isoler les récepteurs de SNAPS: les SNARE?

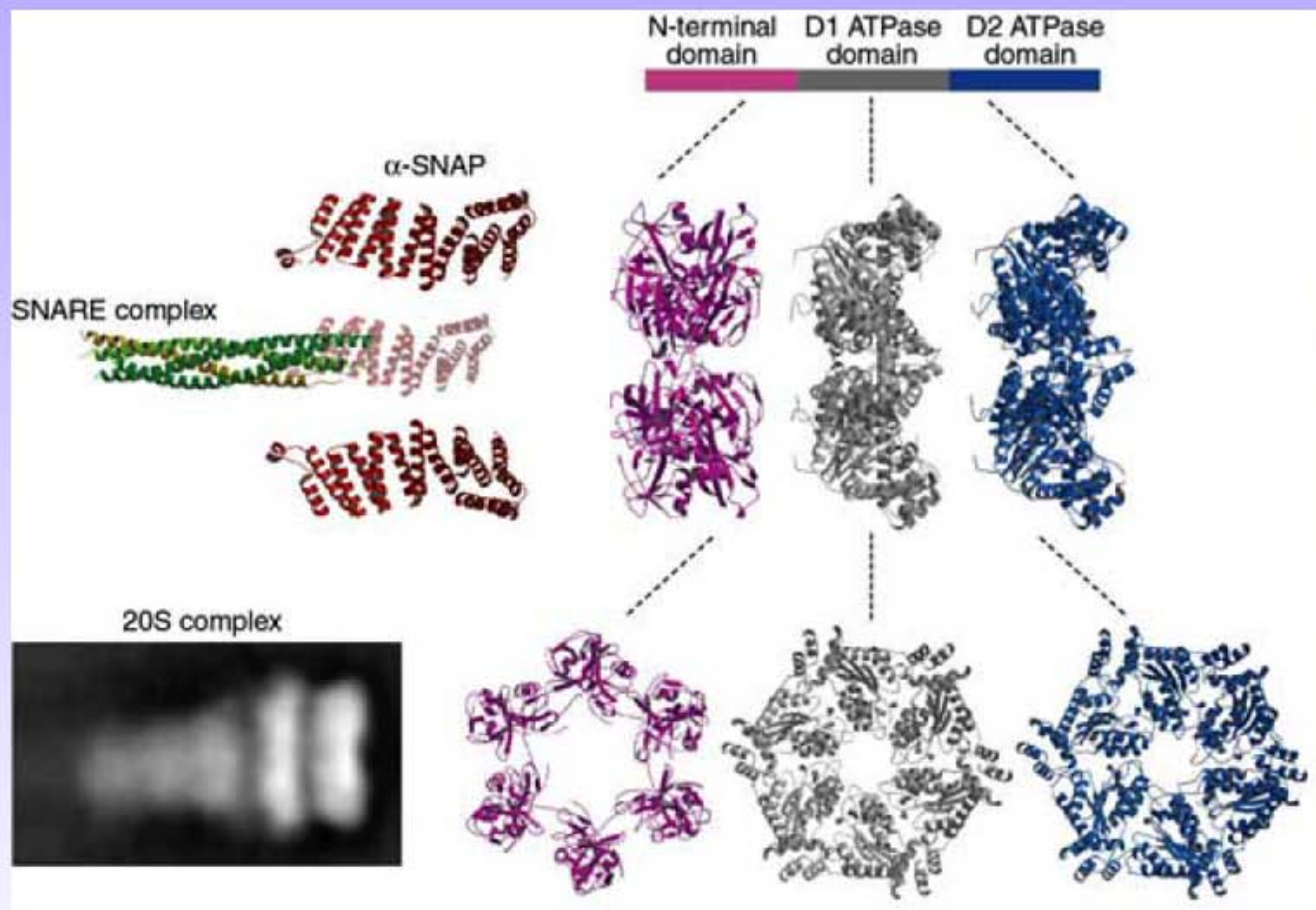
Isolement des SNAREs



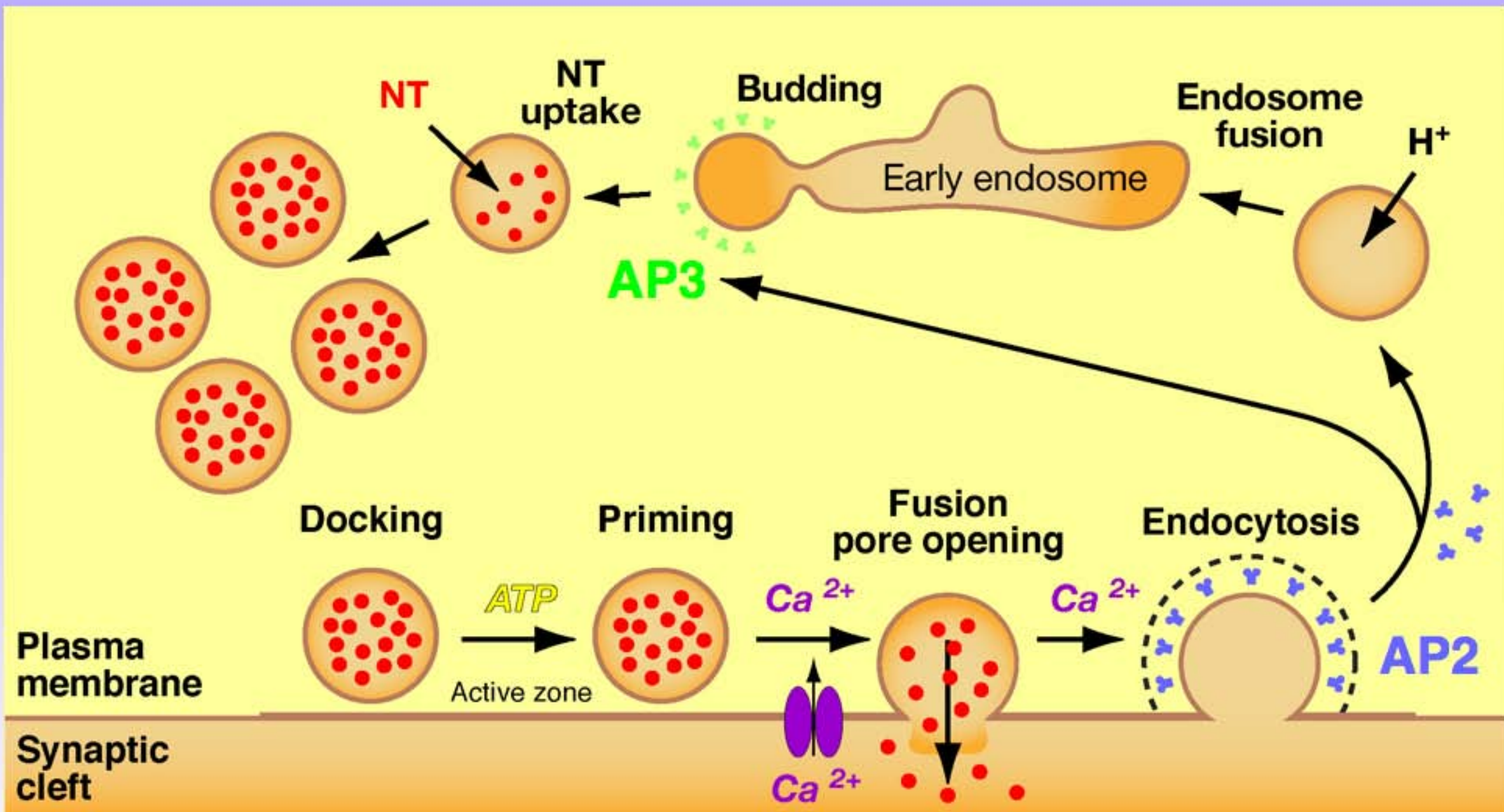
Dissociation des SNARE par NSF



Structure de l'ATPase NSF

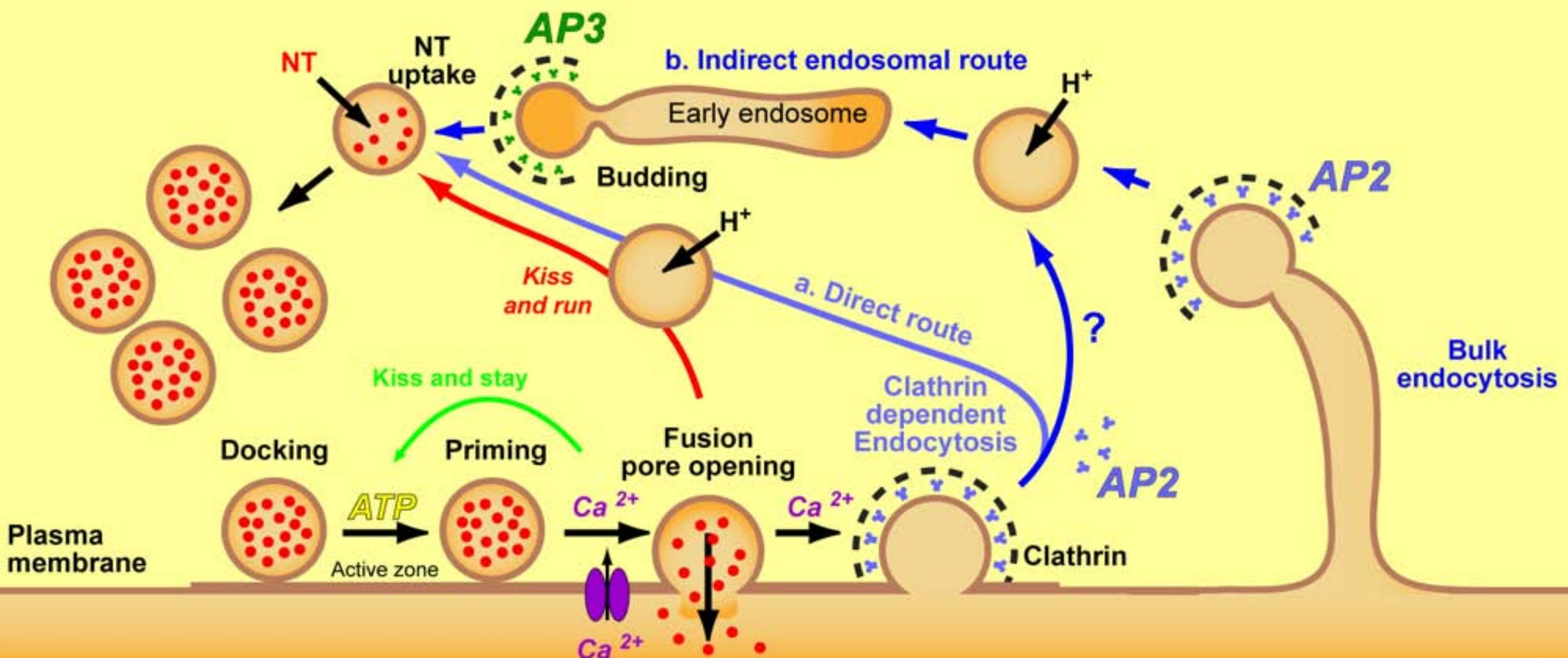


Recyclage des vésicules synaptiques



Danglot & Galli, Biology of the cell, 2003.

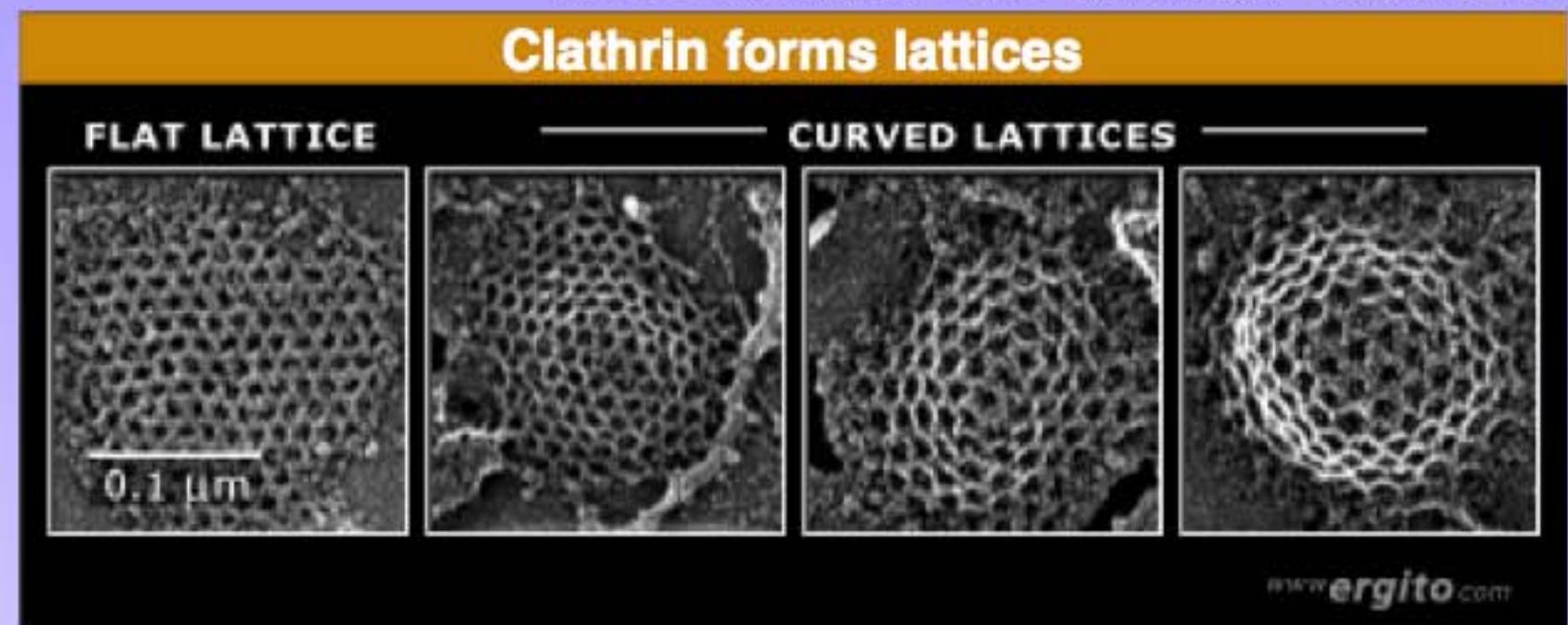
Recyclage des vésicules synaptiques



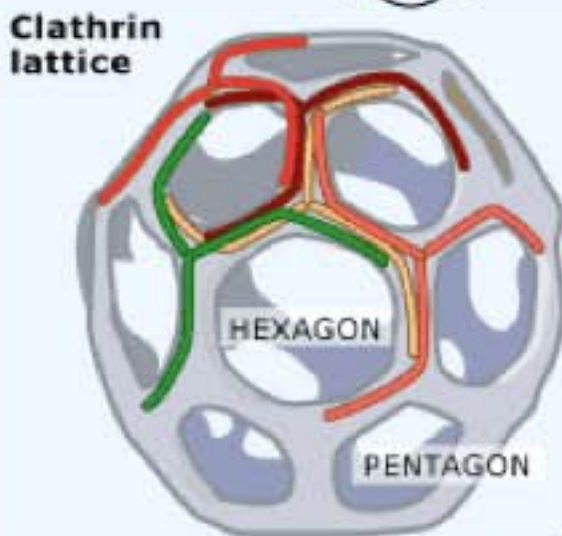
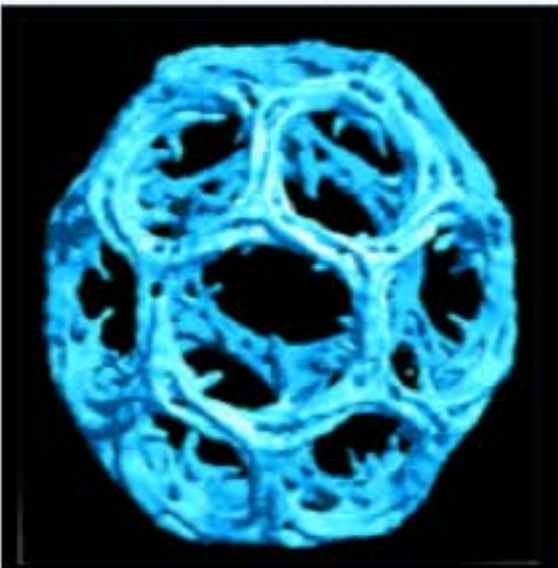
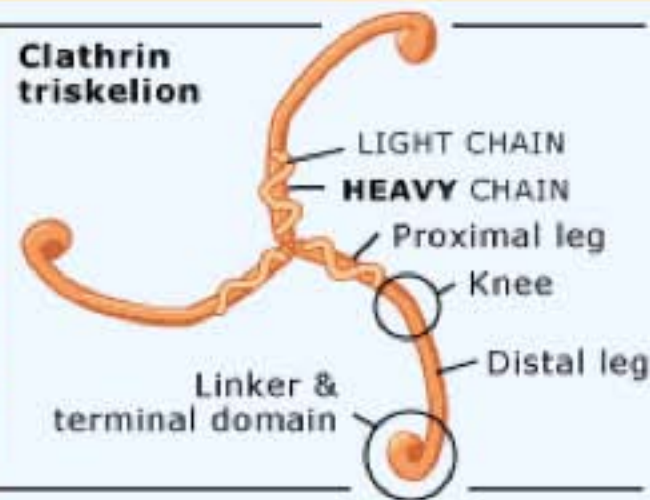
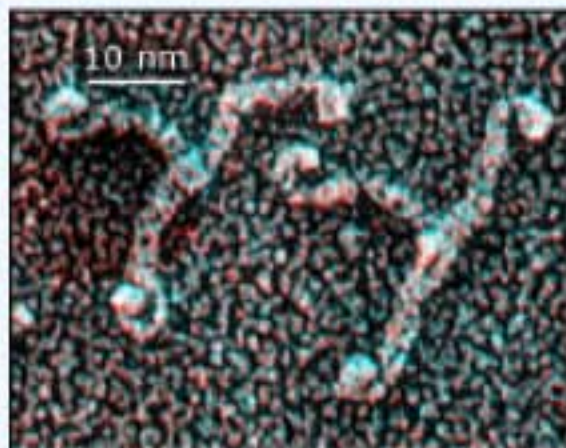
Danglot & Galli, Biology of the cell, 2003.

Clathrine

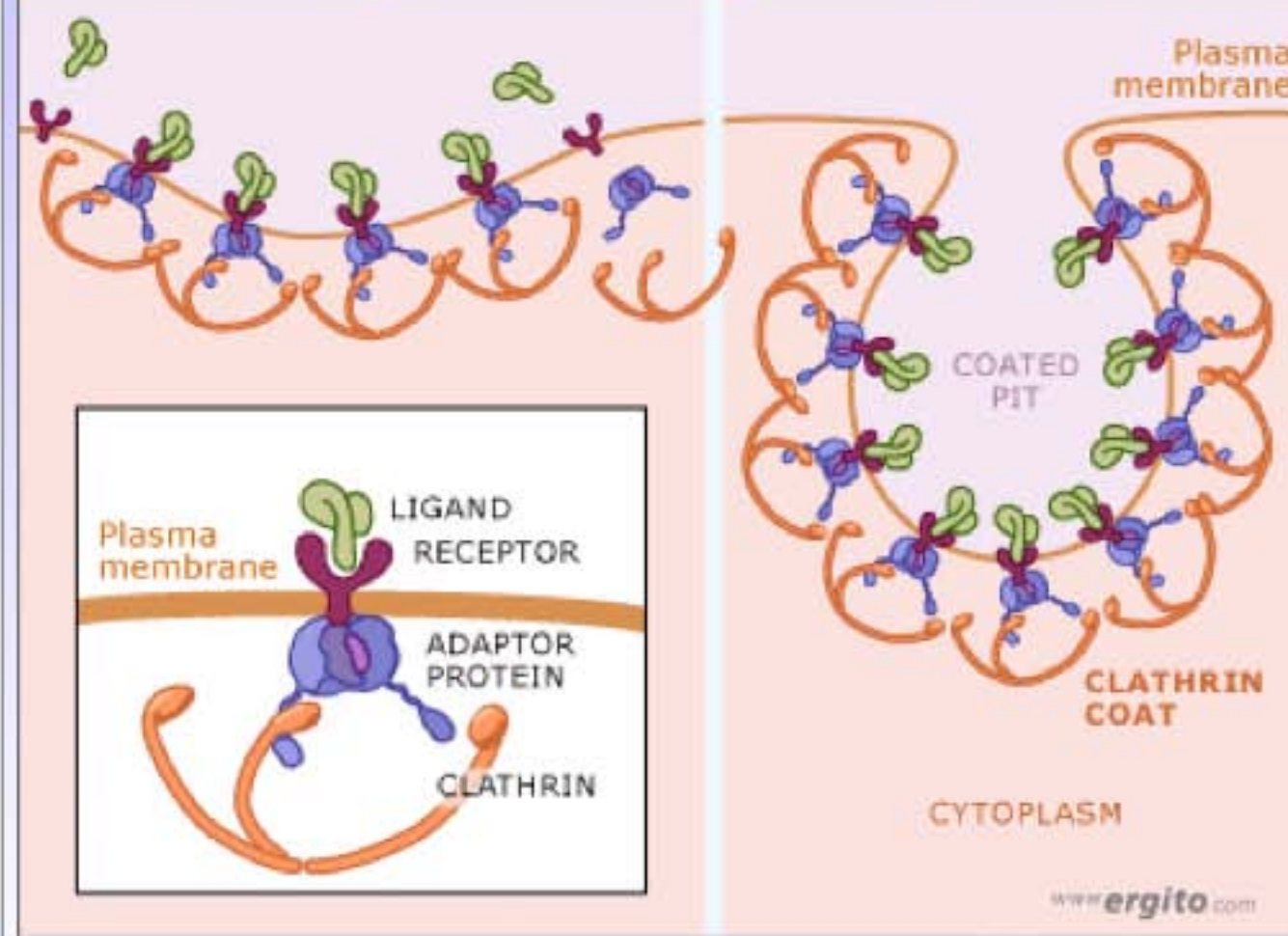
Clathrin forms lattices



Structure of clathrin



Adapters links cargo & clathrin

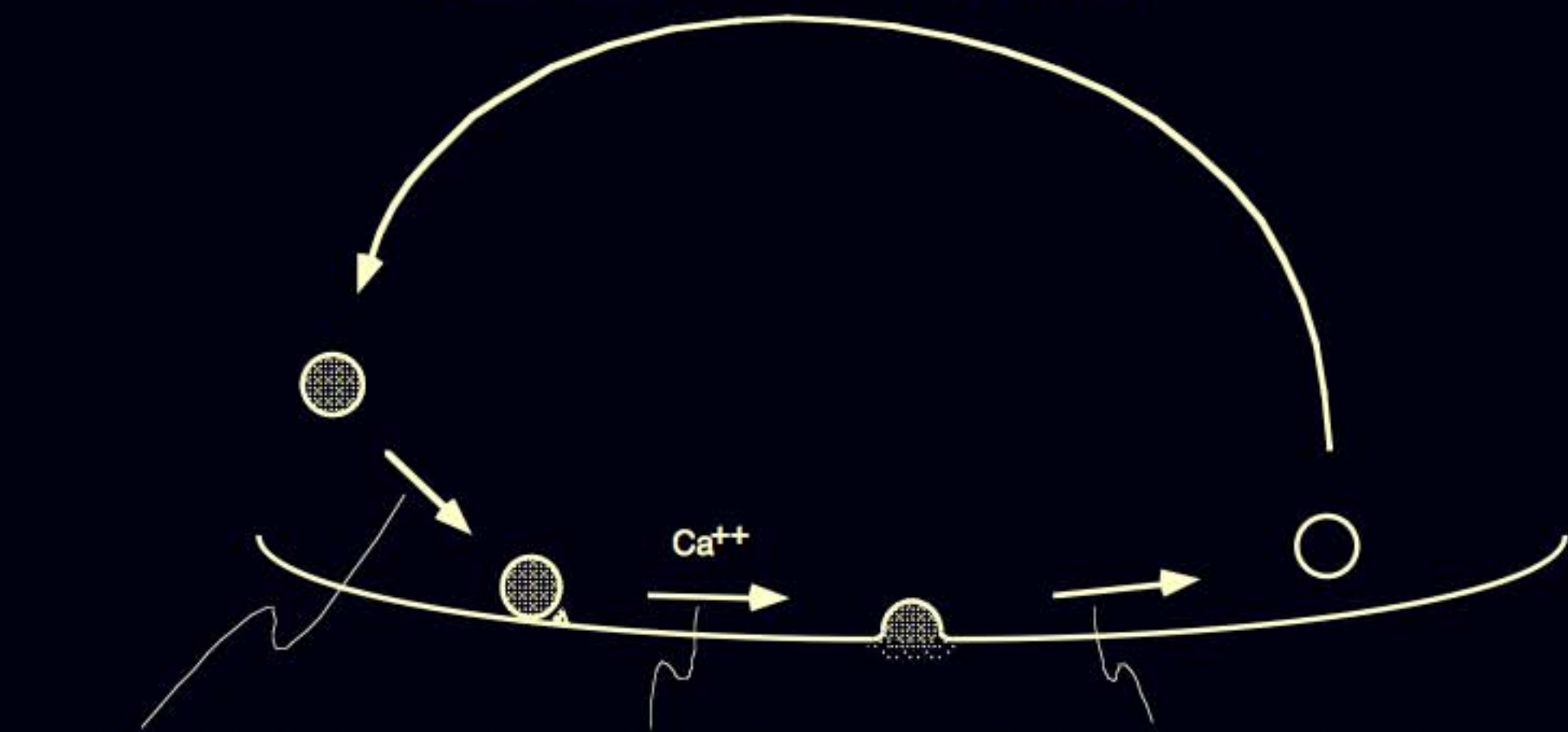


Recyclage des vésicules synaptiques

RECYCLING TIME

less than 60 s

(Betz and Bewick, 1993; Ryan *et al.*, 1995)



DOCKING and PRIMING
~ 10 s

(Stevens and Tsujimoto, 1995)

SYNAPTIC DELAY
~ 0.2 ms

(Katz, 1969)

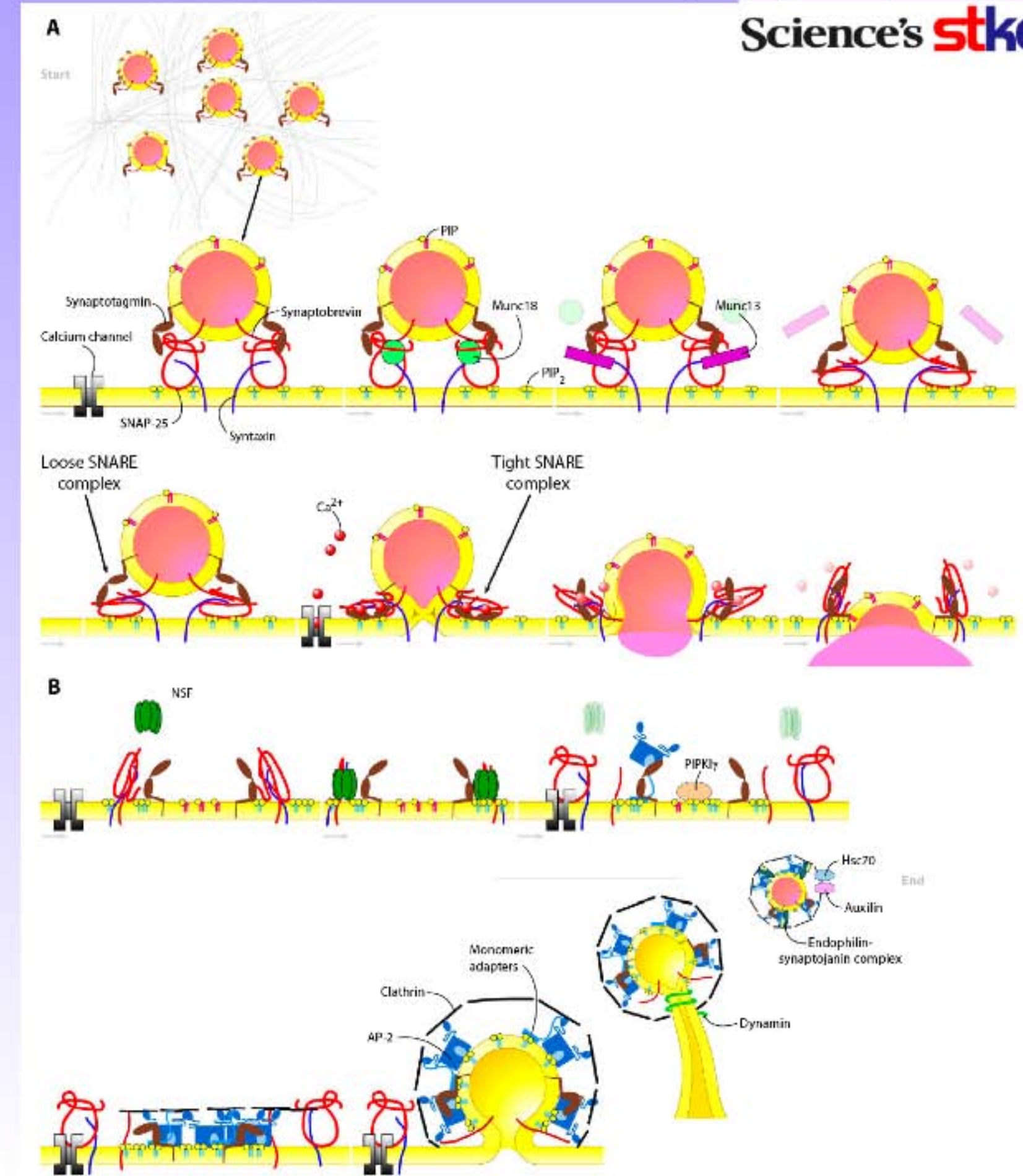
ENDOCYTOSIS
~ 2 s

(von Gersdorff and Matthews, 1994)

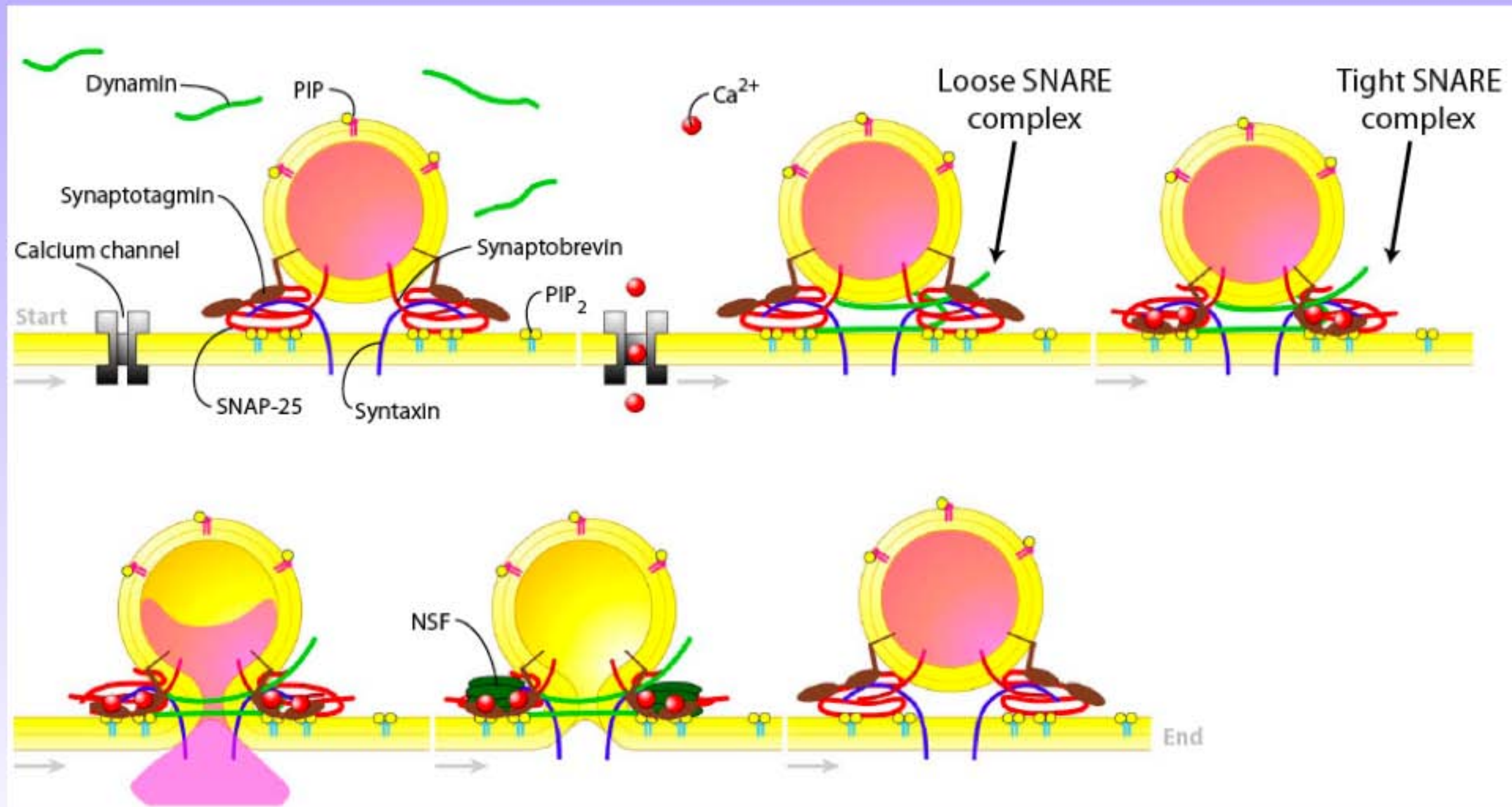
1/2 ~ 20 s

(Ryan *et al.*, 1995)

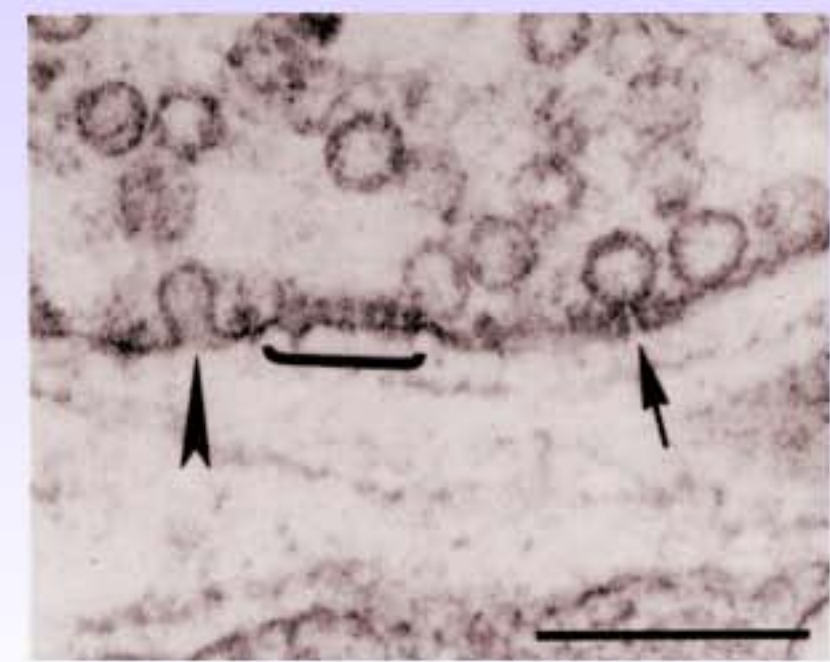
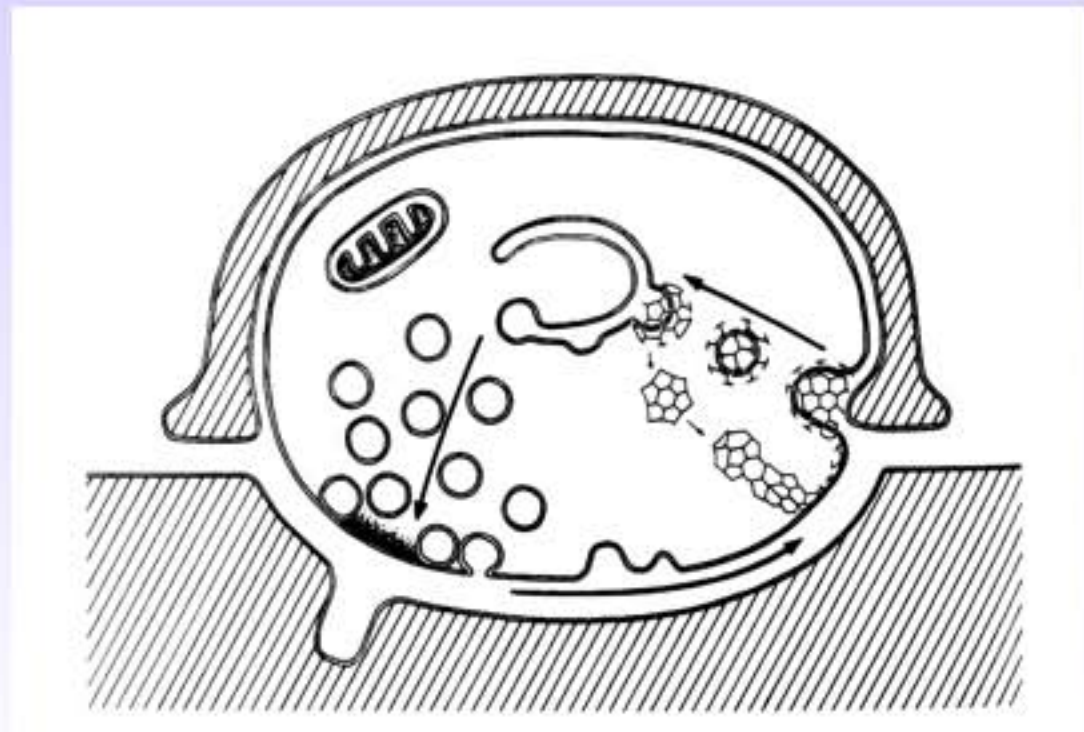
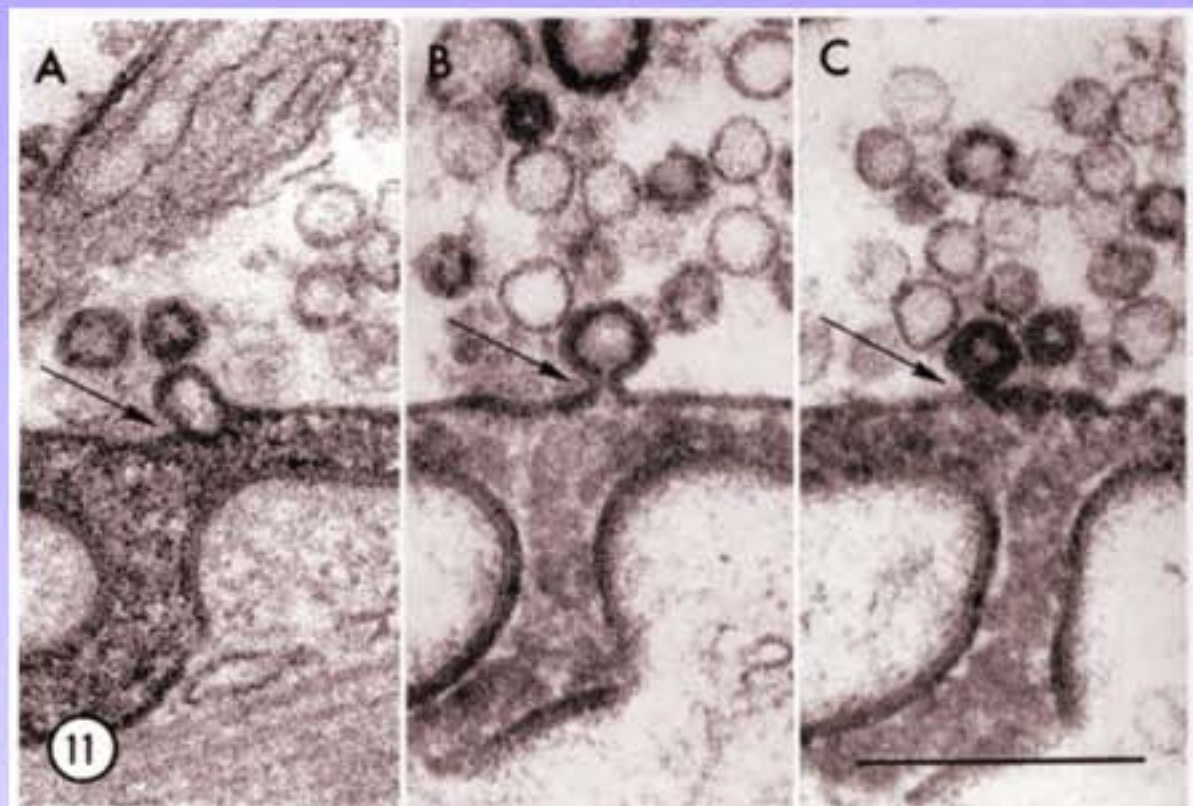
Recyclage des Vésicules synaptiques: endocytose mediée par la clathrine (la voie lente)



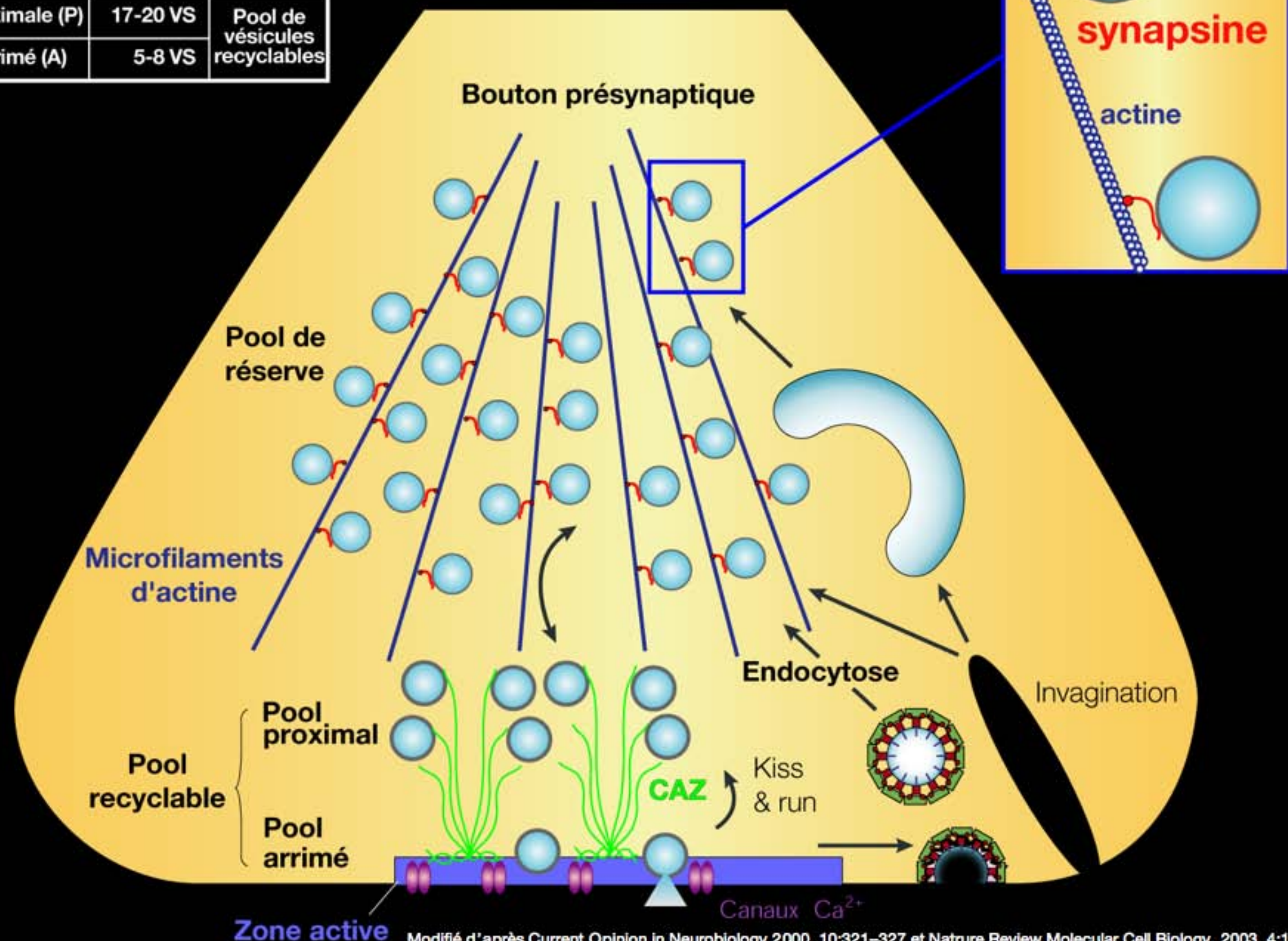
Kiss and Run ?



**Et en microscopie
électronique ?**



Type de pool	Nombre de vésicules	
de réserve (R)	180 VS	
proximale (P)	17-20 VS	Pool de vésicules recyclables
arrimé (A)	5-8 VS	



Comment mesurer l'exocytose ?

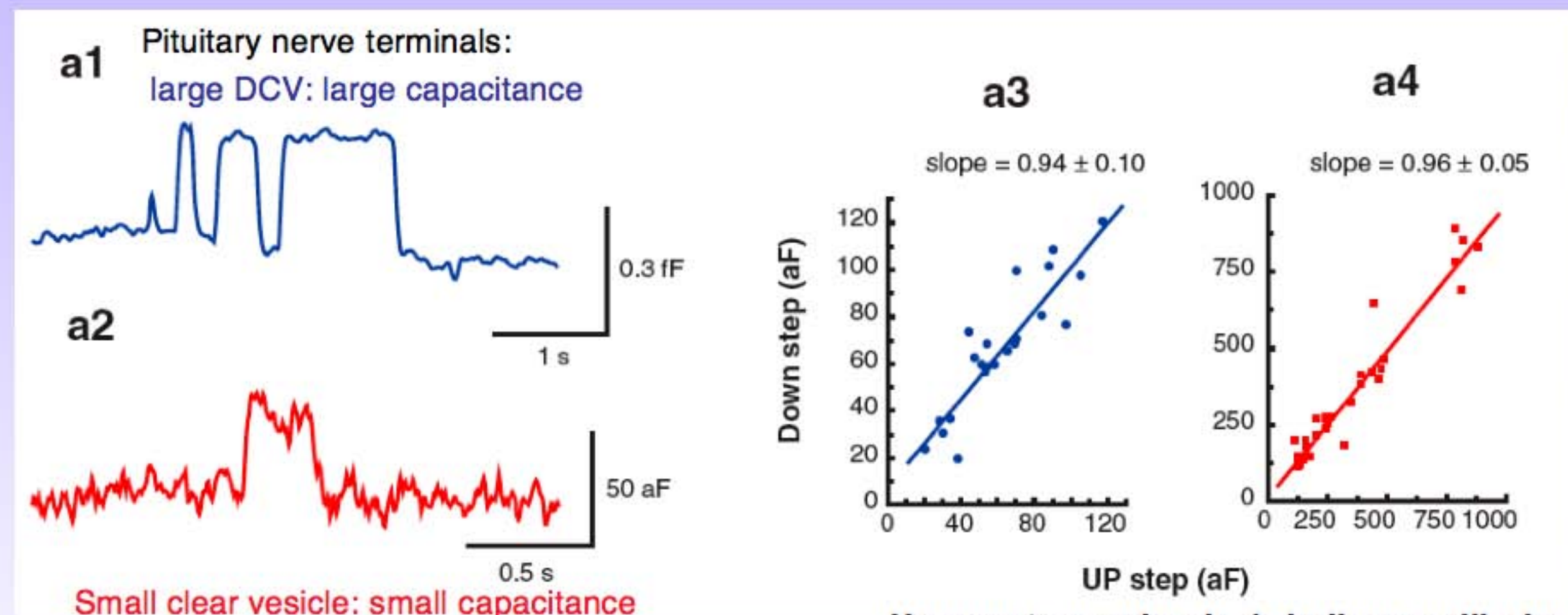
1) Capacitance:

La mesure de la capacitance de la cellule est proportionnelle à la surface de la membrane.

L'enregistrement de la capacitance permet de mesurer l'addition de membrane provoquée lors d'un évènement de fusion membranaire.

Cellules chromaffines (medullosurrénales): la fusion d'une vésicule produit une augmentation de la capacitance de 1fF (Neher, PNAS 1982).

Mastocytes : ont des vésicules + larges: augmentation de 16fF

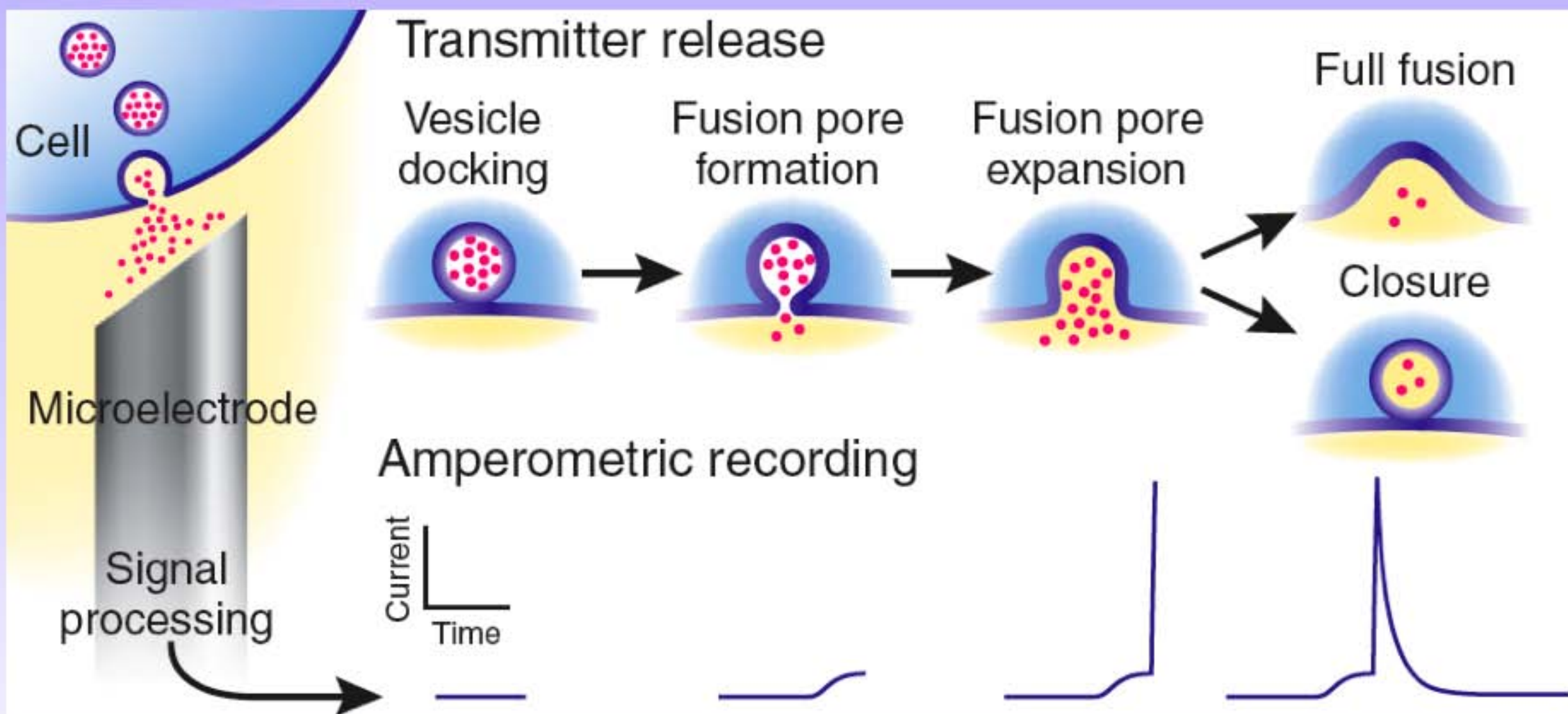


Une pente proche de 1, indique qu'il n'y a pas de transfert de membrane et indique plutôt un événement de type kiss-and-run.

Comment mesurer l'exocytose ?

2) L'ampérométrie à fibre de carbone (5-10 microns de diamètre):

On stimule les cellules par une dépolarisation. La cellule secrète alors des molécules. En présence d'un potentiel approprié, les molécules (catécholamines, indolamines) secrétées s'oxydent et libèrent des électrons. La mesure du courant d'oxydation donne accès à la quantité de molécules secrétées par événement unitaire d'exocytose.



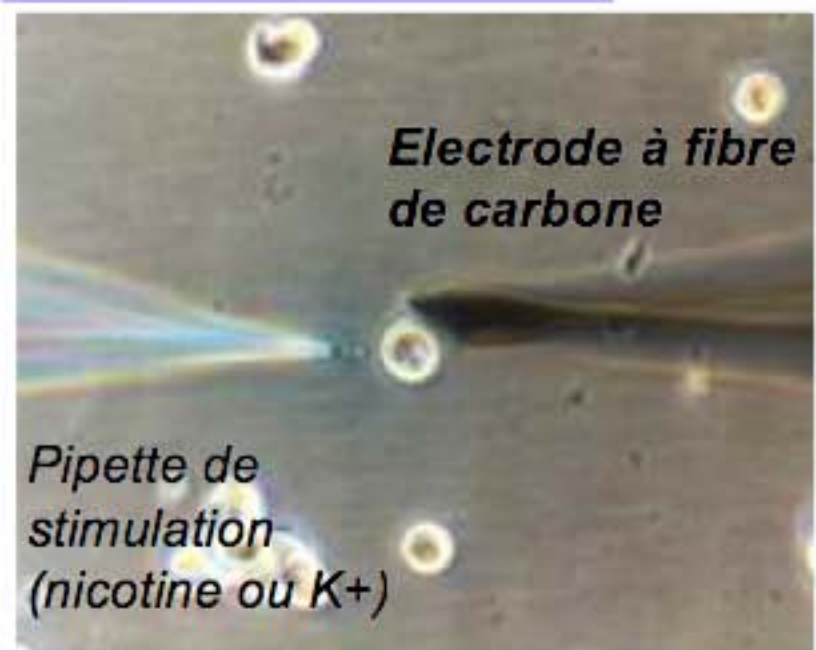
Cellules mesurées: cellules chromaffines (noradrénaline,adrénaline), mastocytes (histamines, serotonines), et cellules β du pancréas (insuline).

Résolution temporelle: <1ms

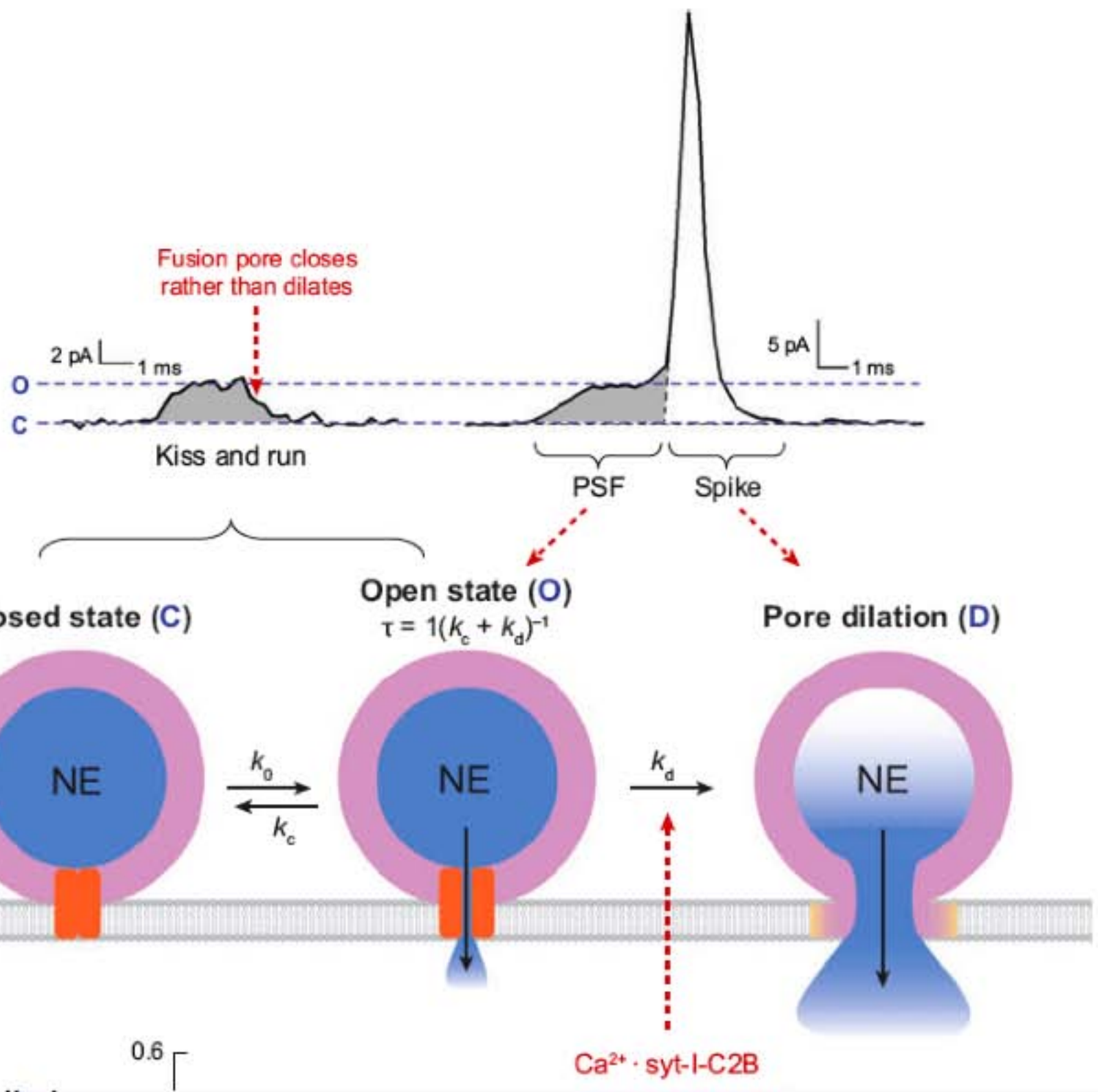
Sensibilité de détection: quelques milliers de molécules (Chen et al., 1994)

Comment mesurer l'exocytose ?

2) L'ampérométrie à fibre de carbone:

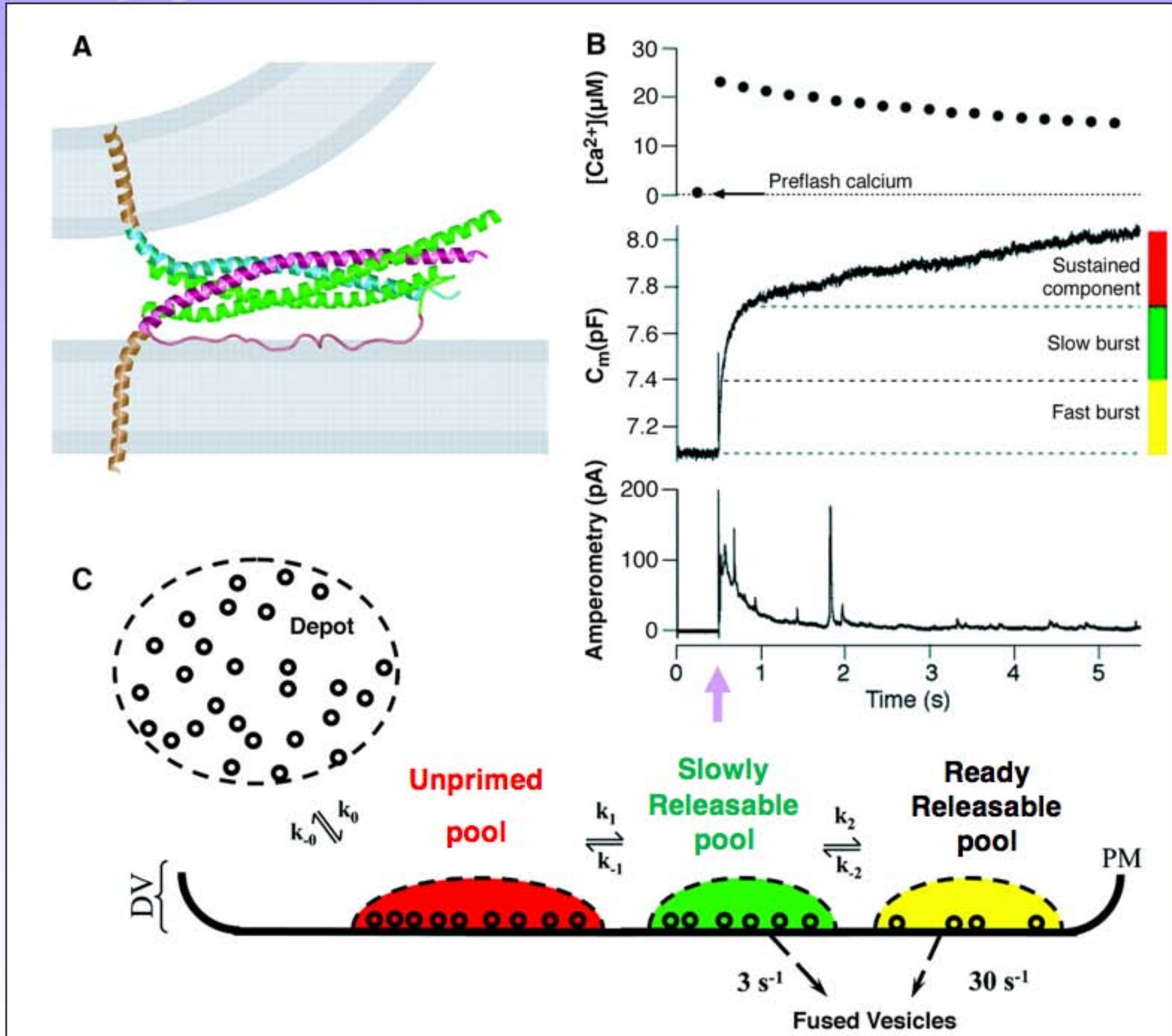


F. Darchen (UPR1929)



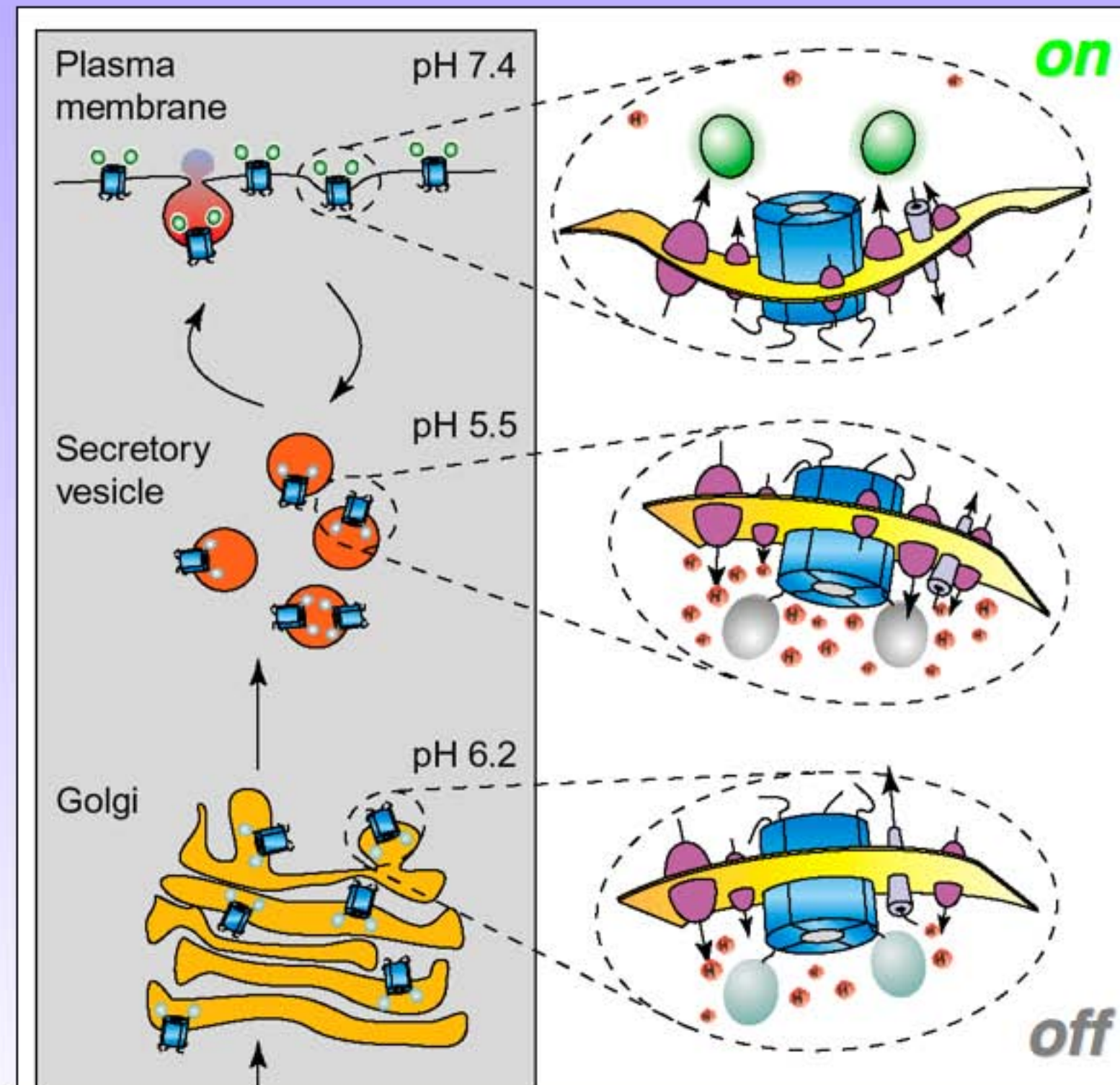
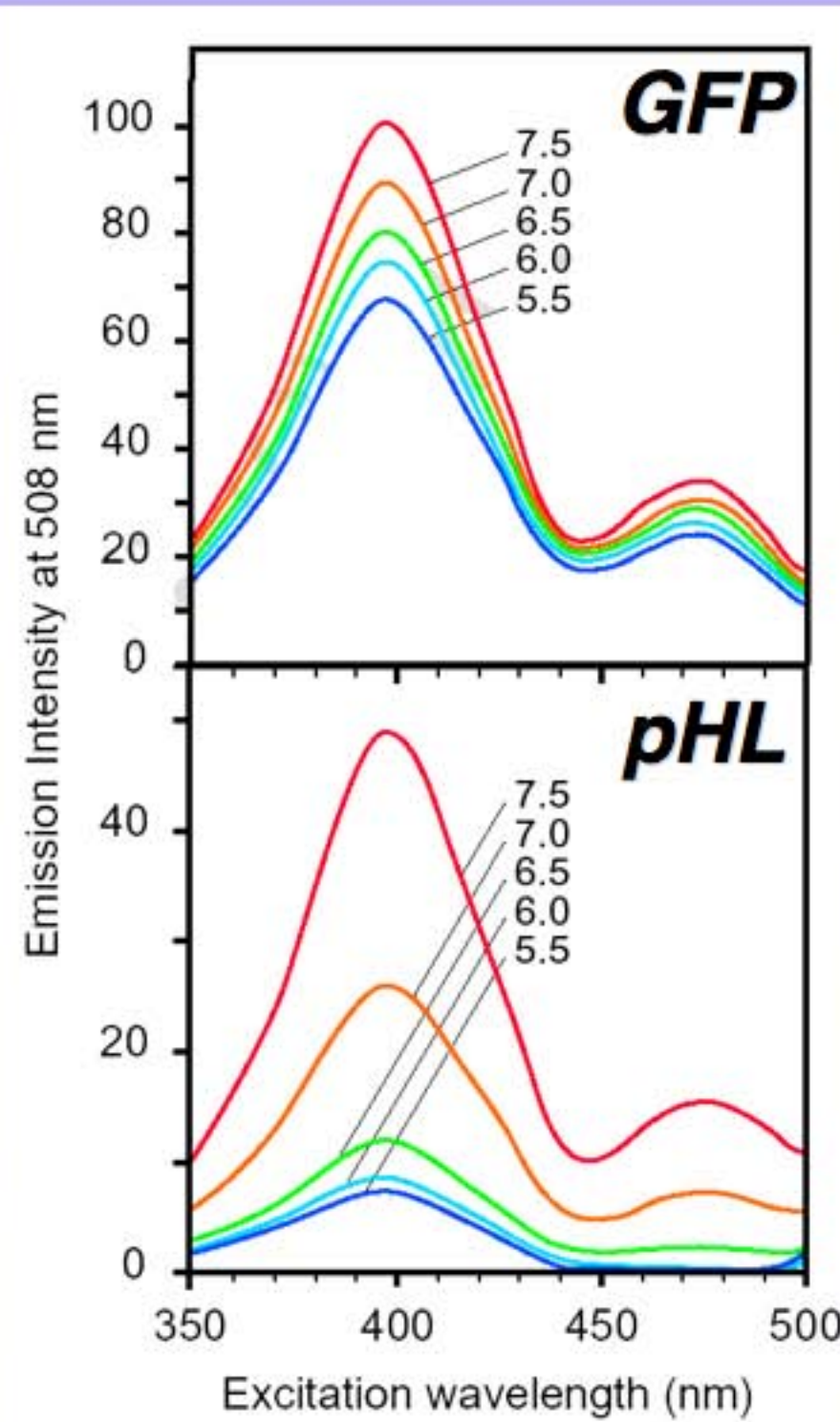
Ex: Syt1 prolonge le PSF, Syt4 le diminue.

Réserve, Amorçage, Fusion



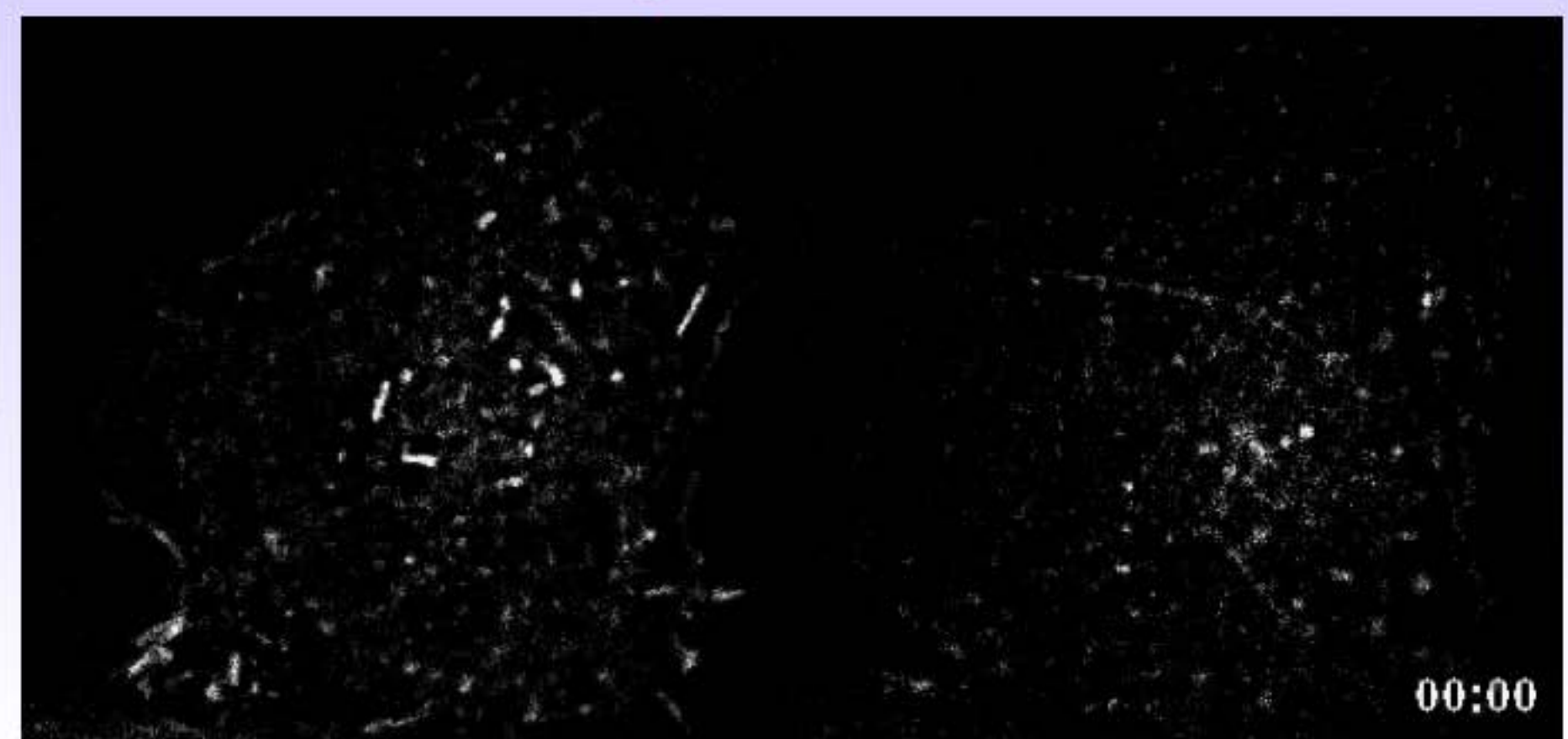
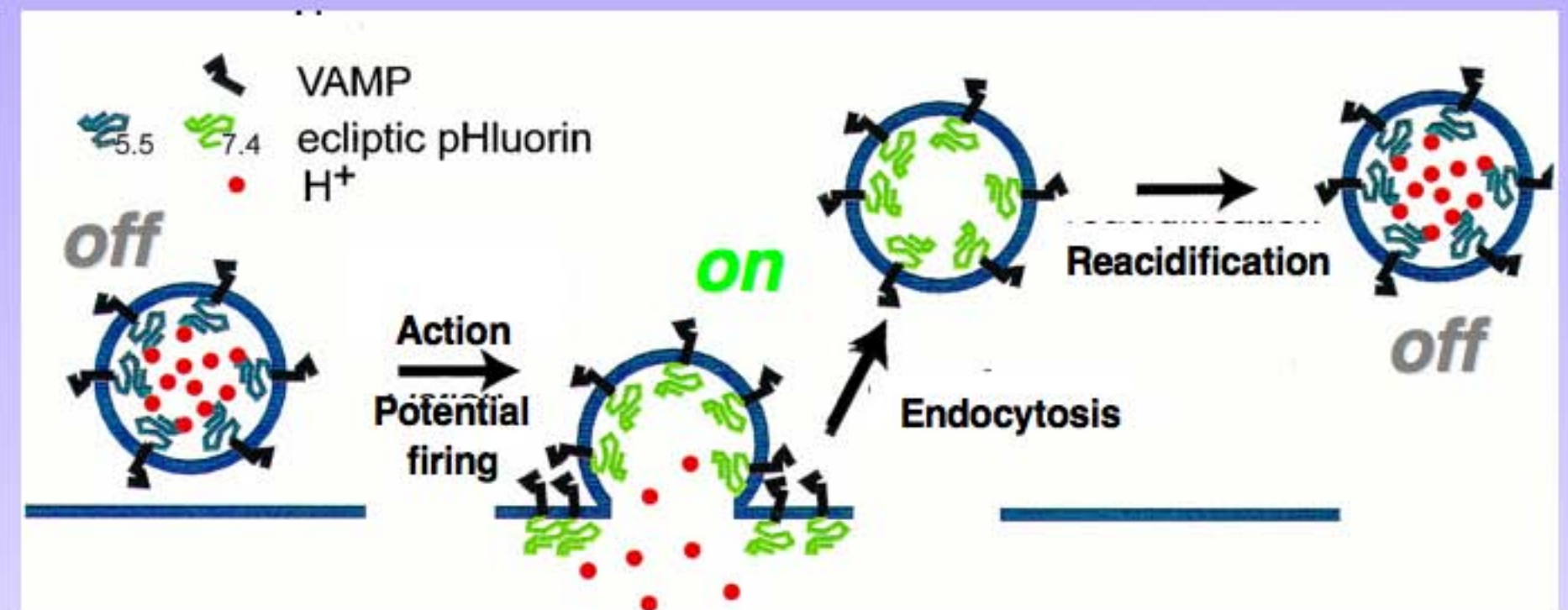
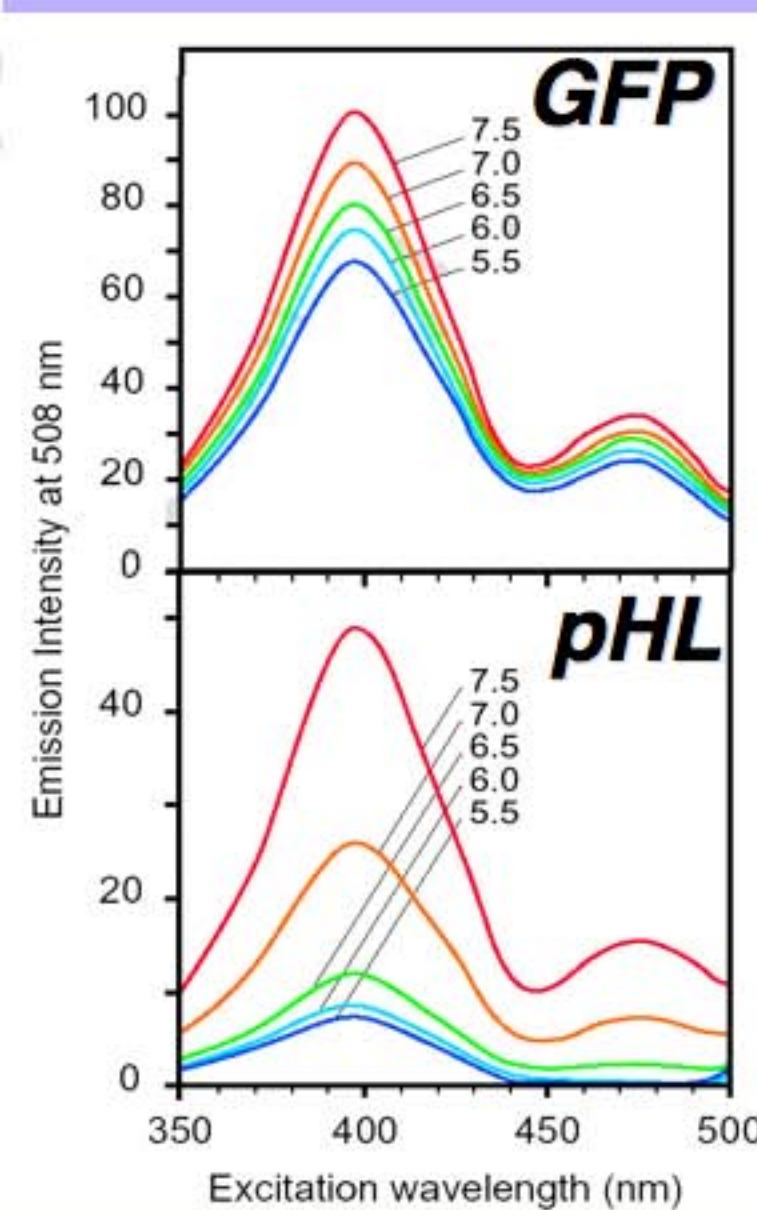
Comment mesurer l'exocytose ?

3) Mesure de fluorescence avec la GFP sensible au pH : la pHluorin



Comment mesurer l'exocytose ?

3) Mesure de fluorescence avec la GFP sensible au pH : la pHluorin

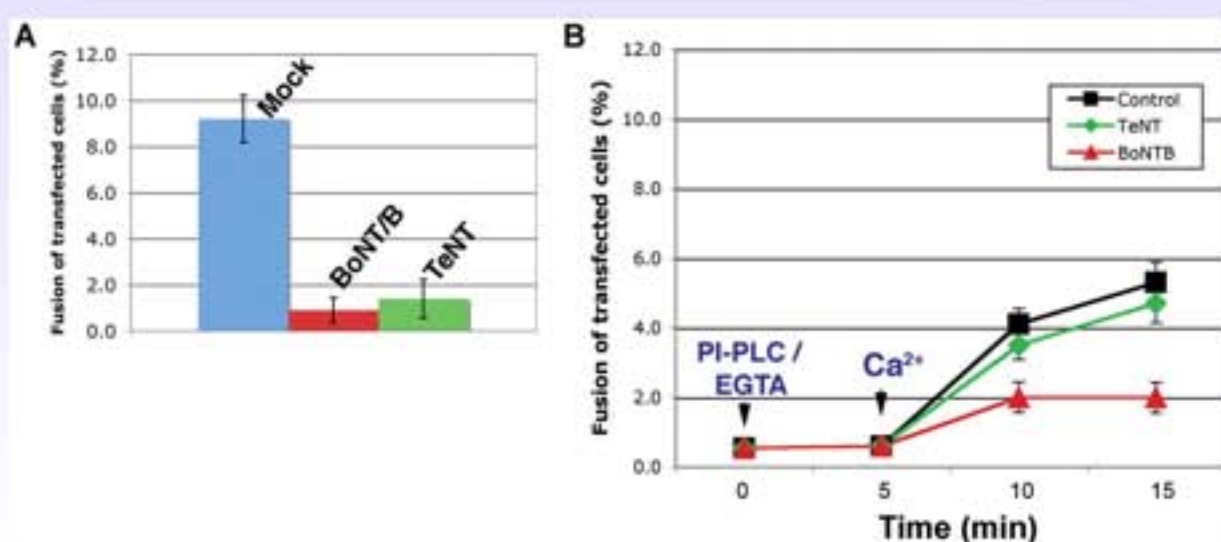
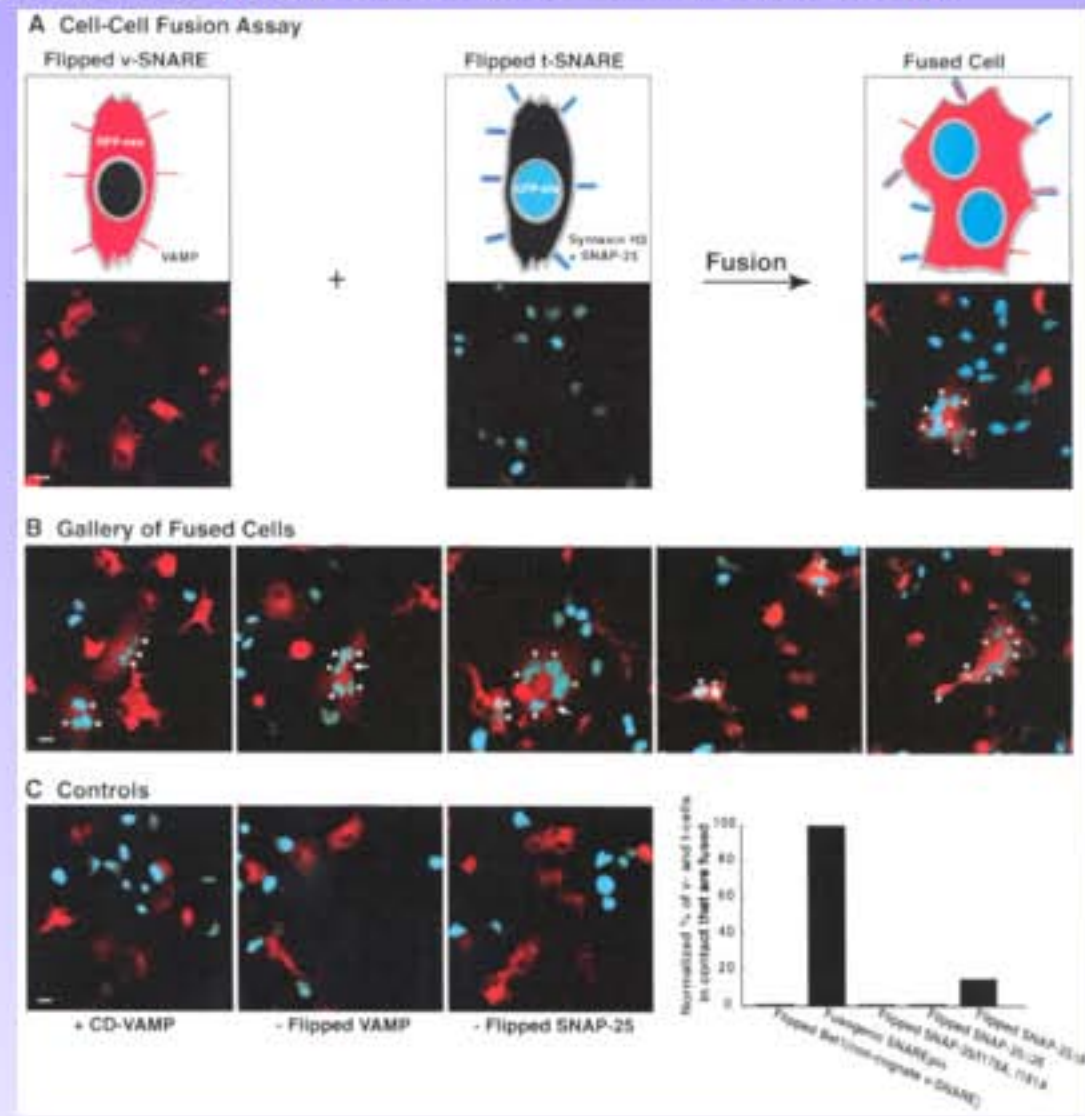
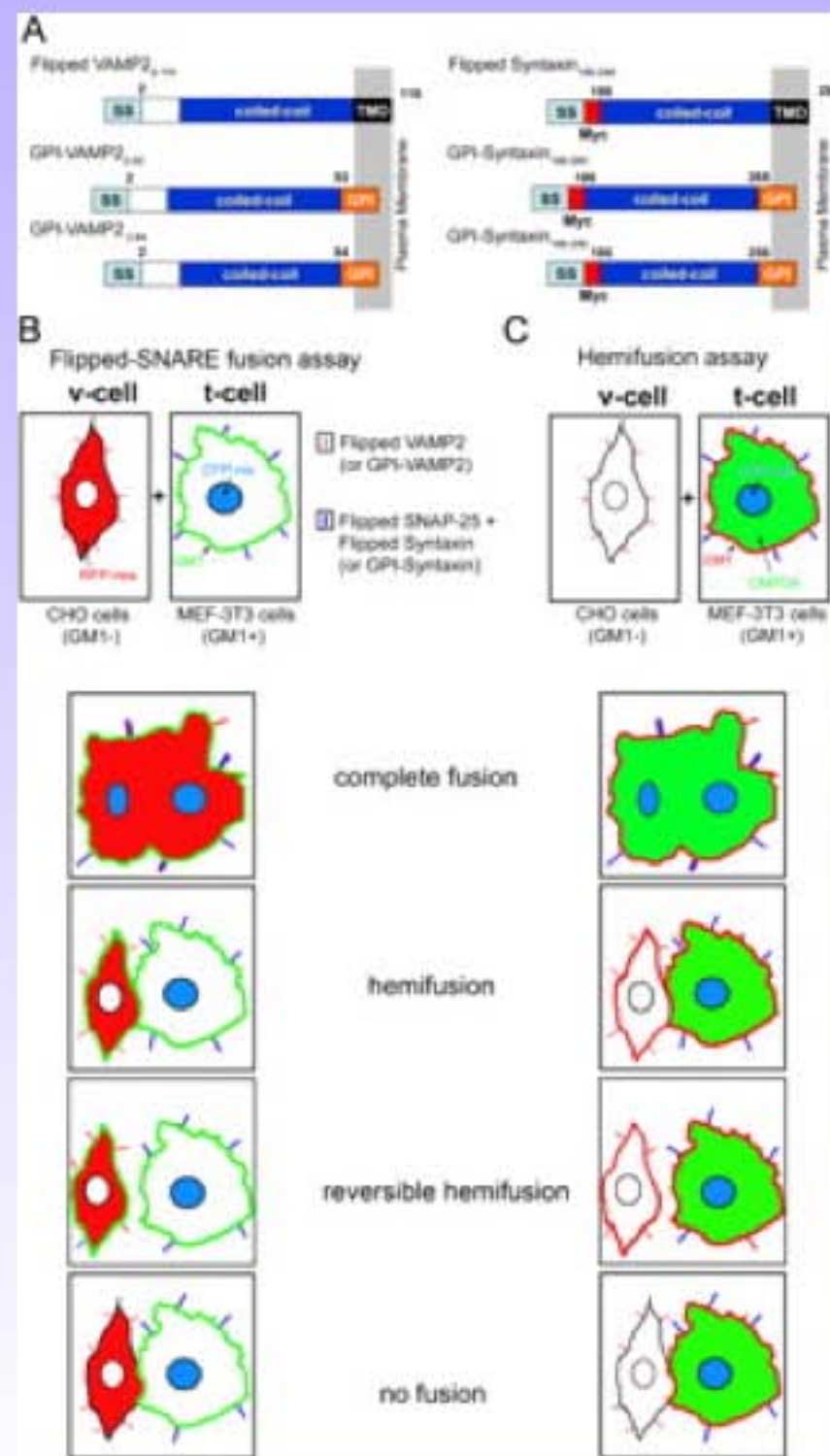


00:00



Comment mesurer l'exocytose ?

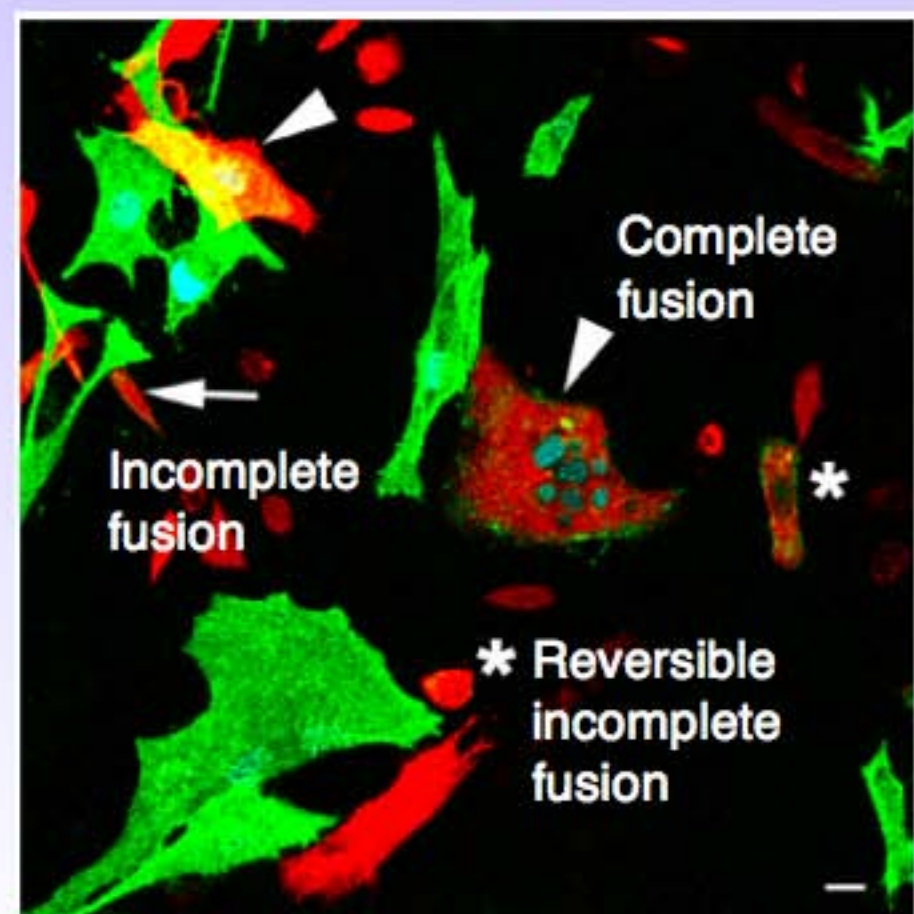
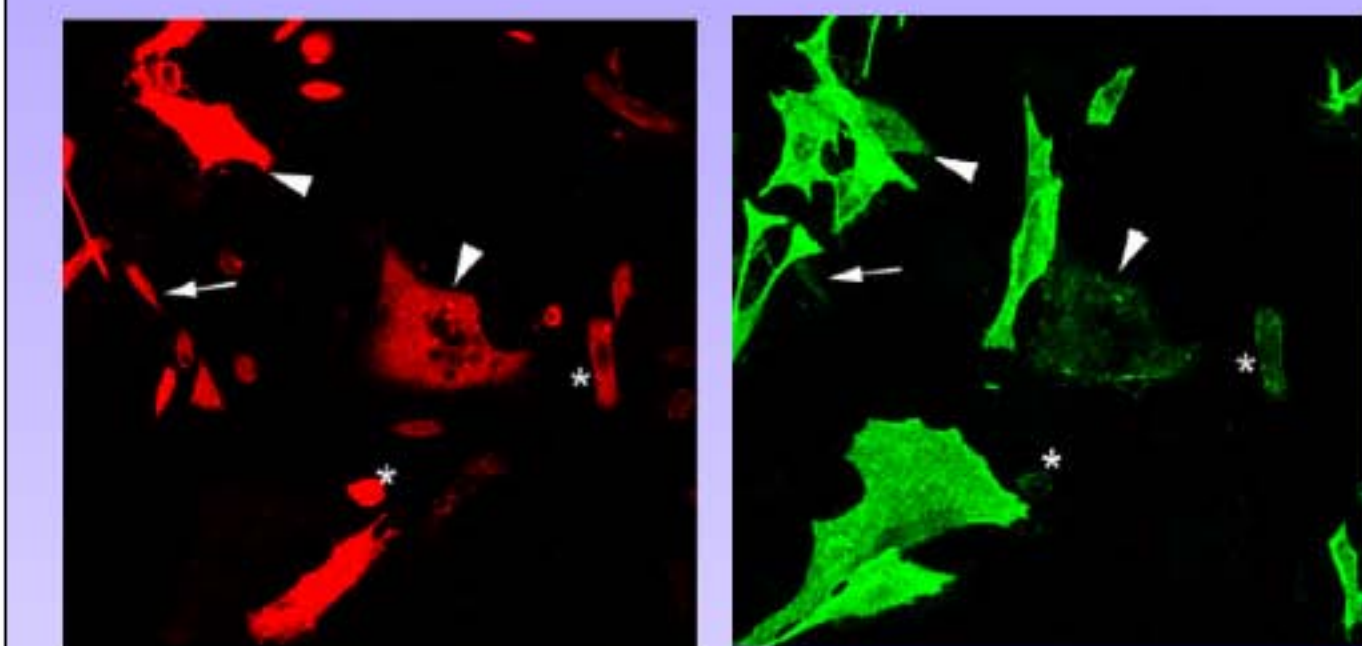
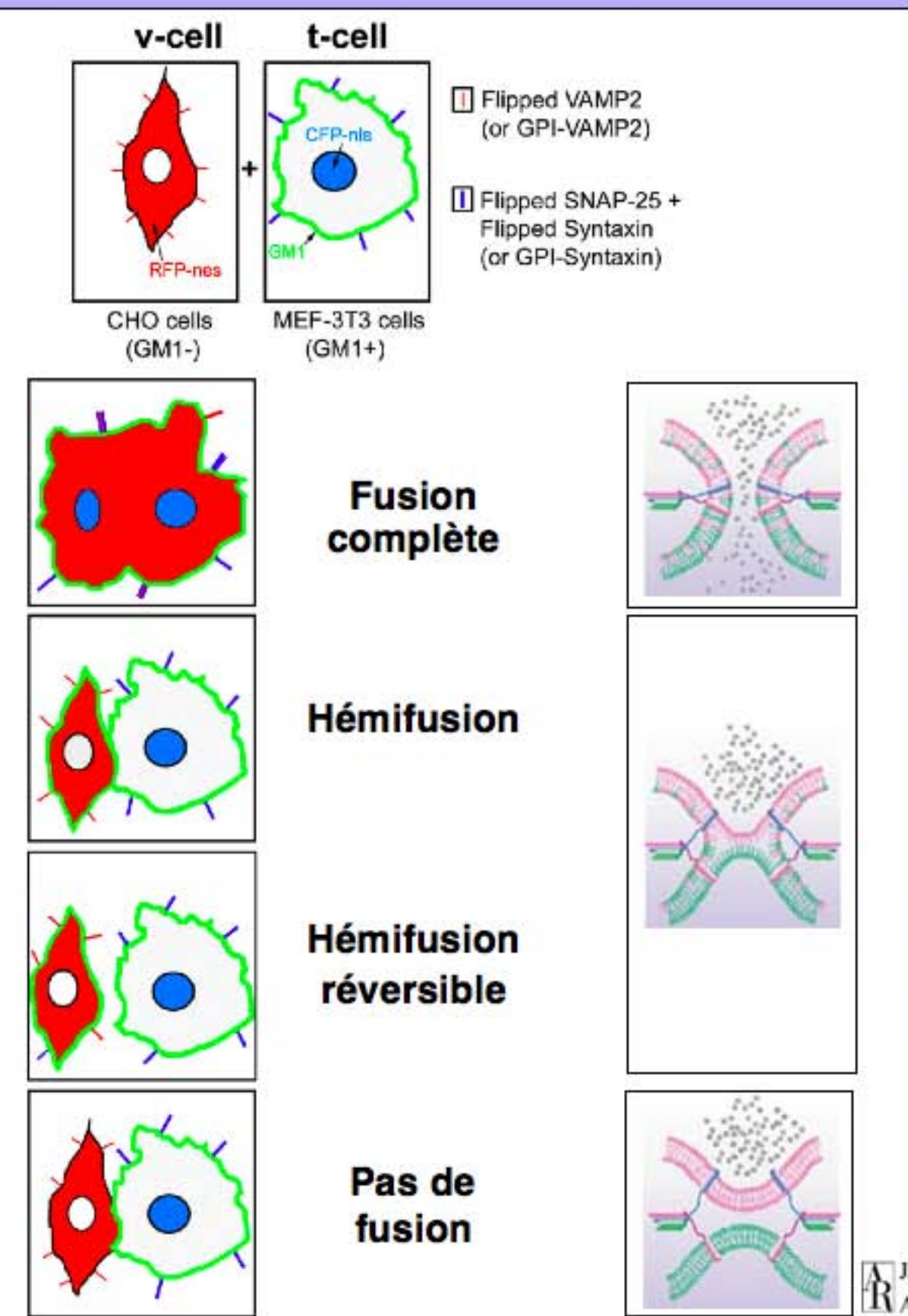
4) Mesure de fusion par la technique des SNARE inversées (flipped SNARE fusion assay)





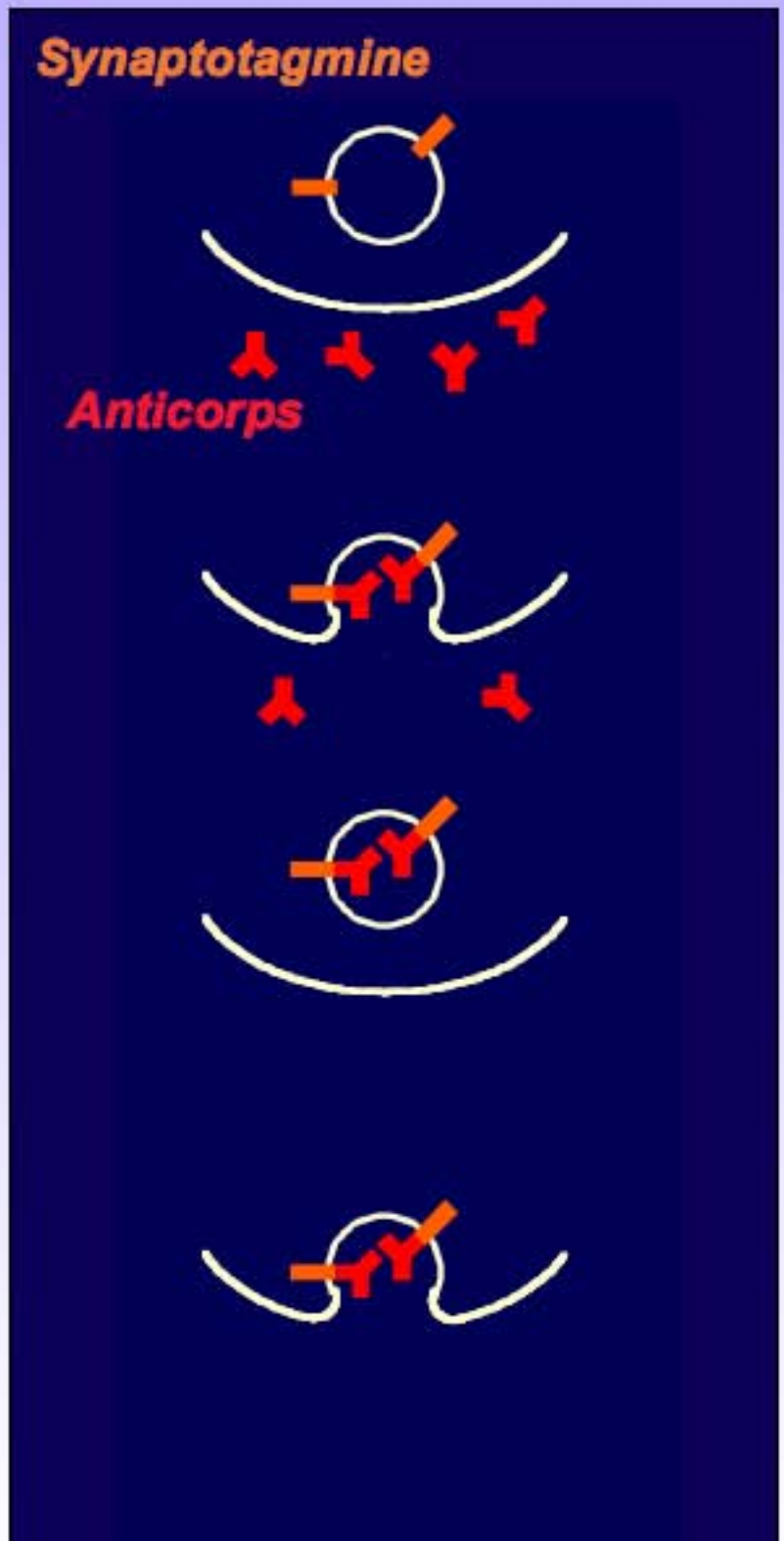
Comment mesurer l'exocytose ?

4) Evaluer la fusion par la technique des SNARE inversées (flipped SNARE fusion assay)

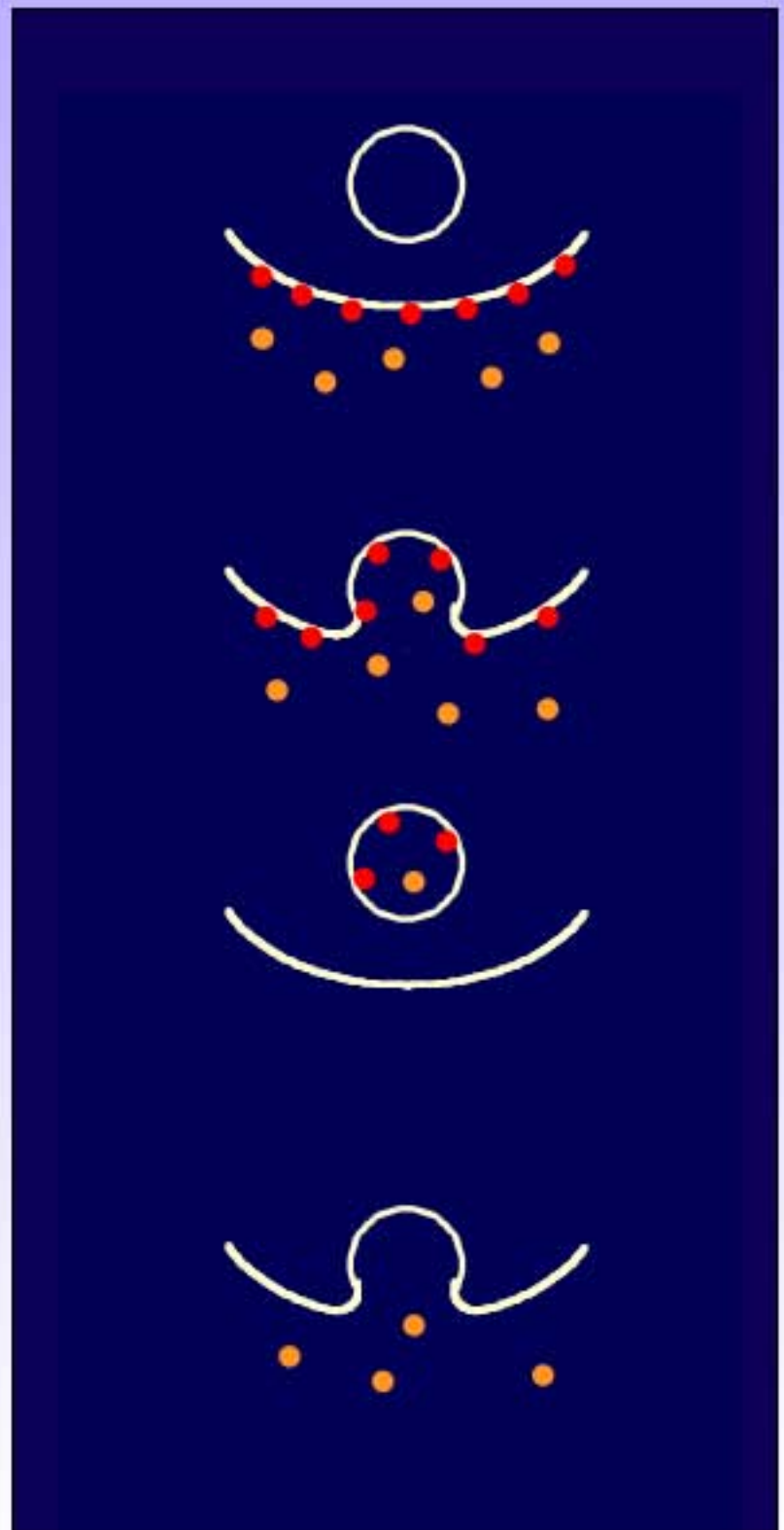


Comment mesurer le recyclage ?

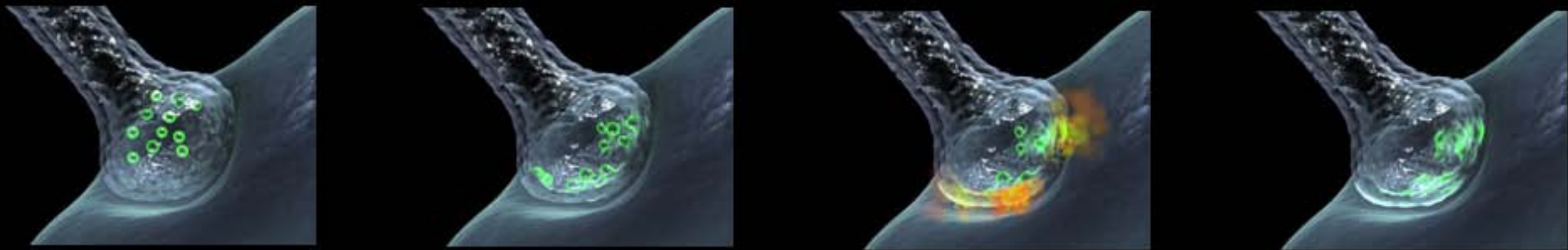
1) L'utilisation d'anticorps anti-synaptotagmine



2) L'utilisation de sondes fluorescentes (FM Dyes)

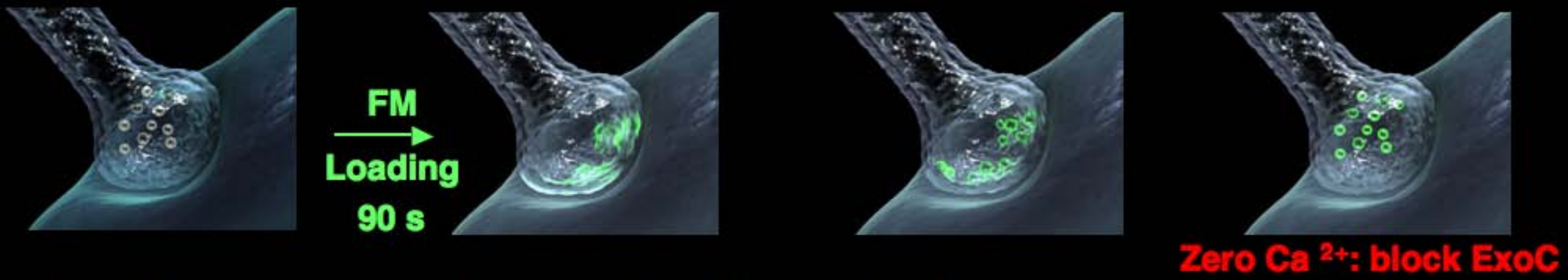


Neuronal transmission: exocytosis



FM experiments

1. Loading of fluorescent dyes



2. Measurement of the unloading of FM dyes



Basic properties of the FM dyes

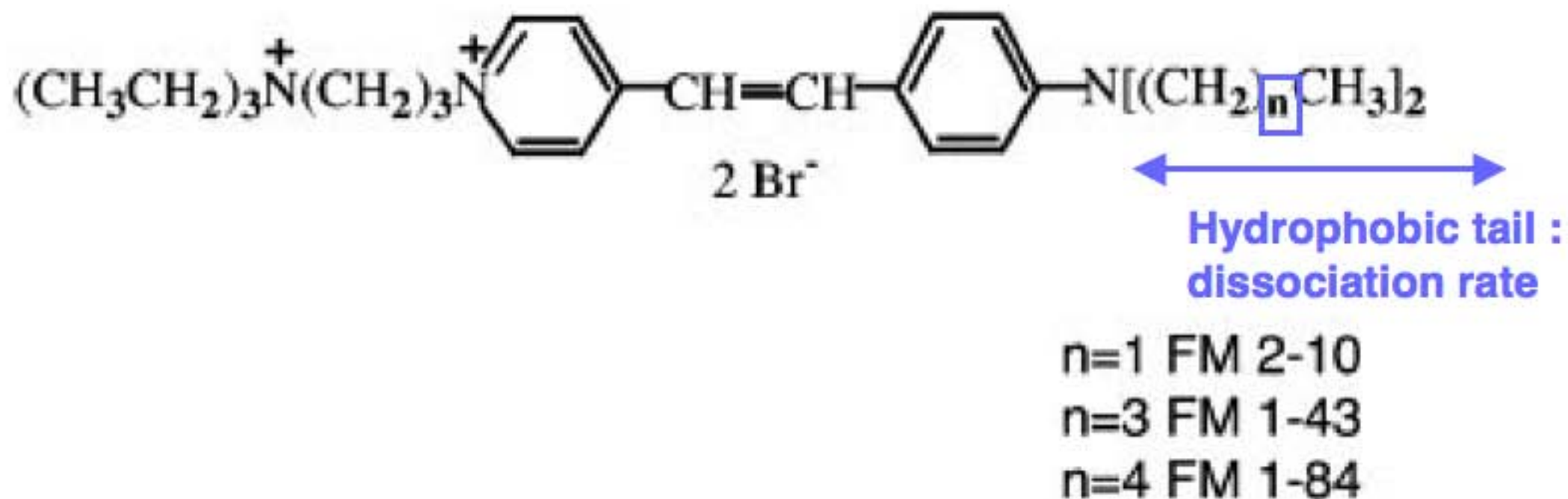
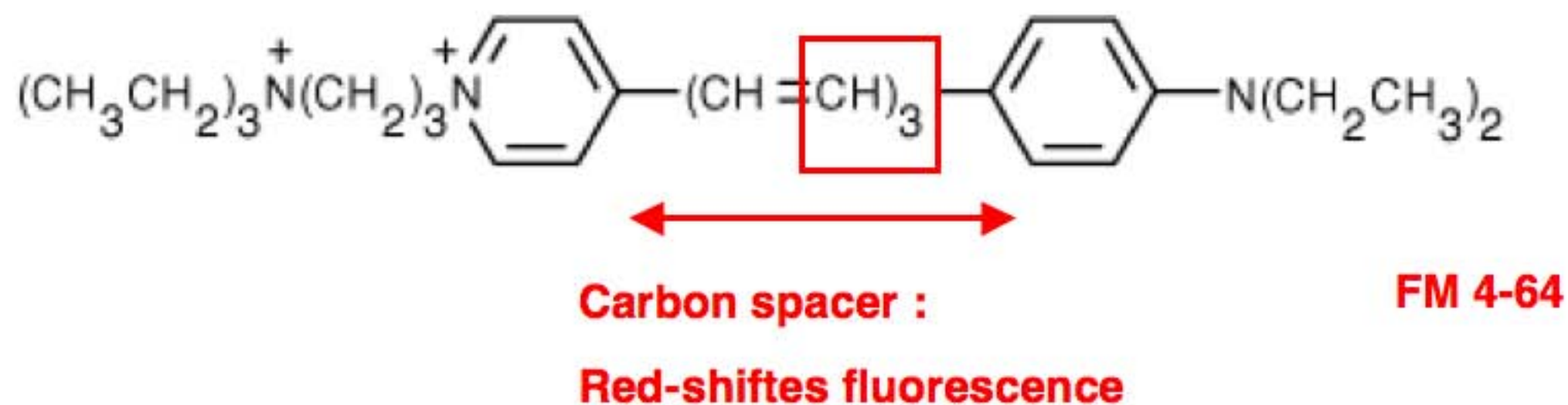


FIG. 1. Chemical structures of FM 2-10, FM 1-43, and FM 1-84.



Basic properties of the FM dyes

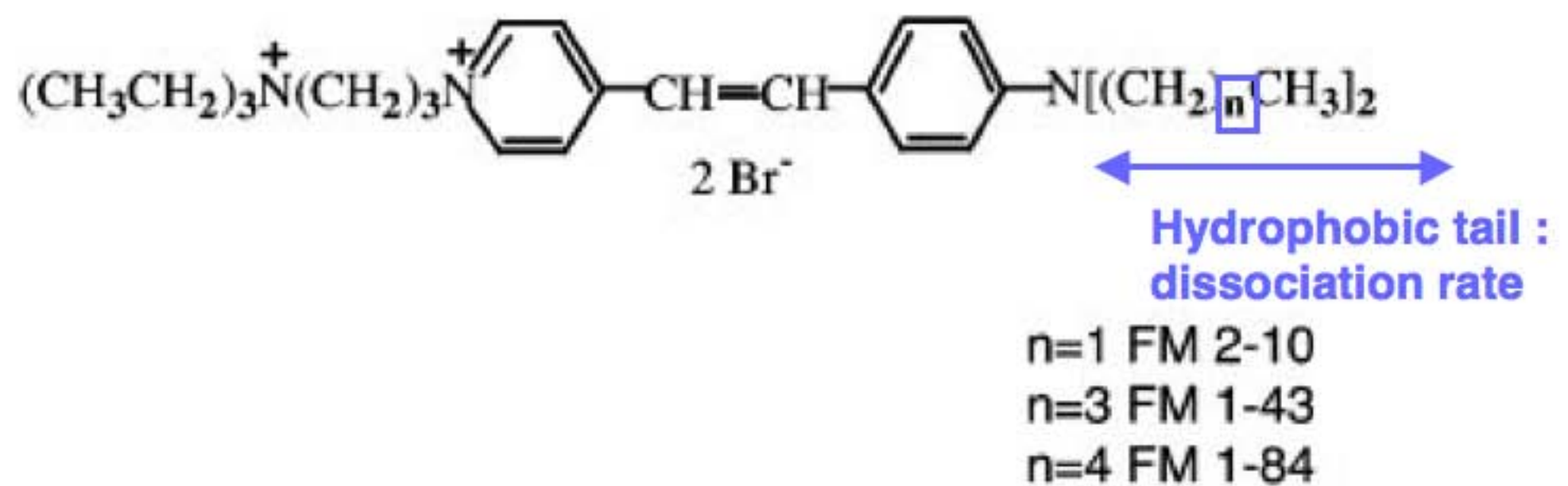
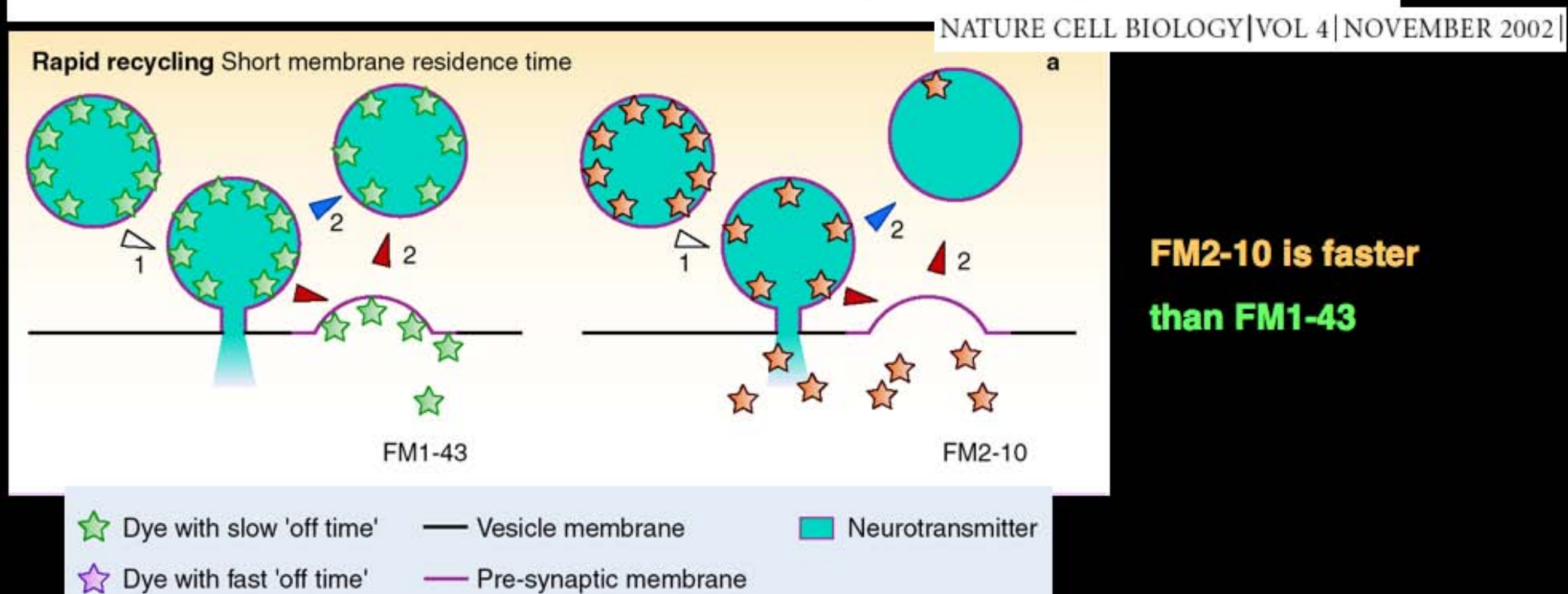
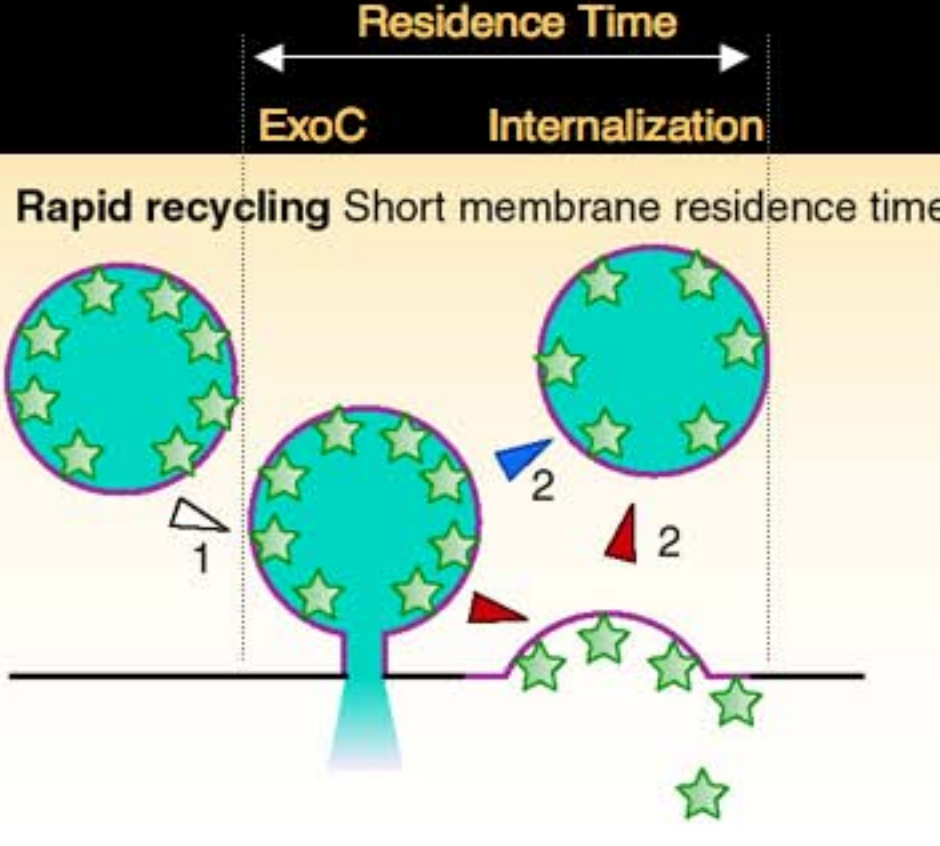


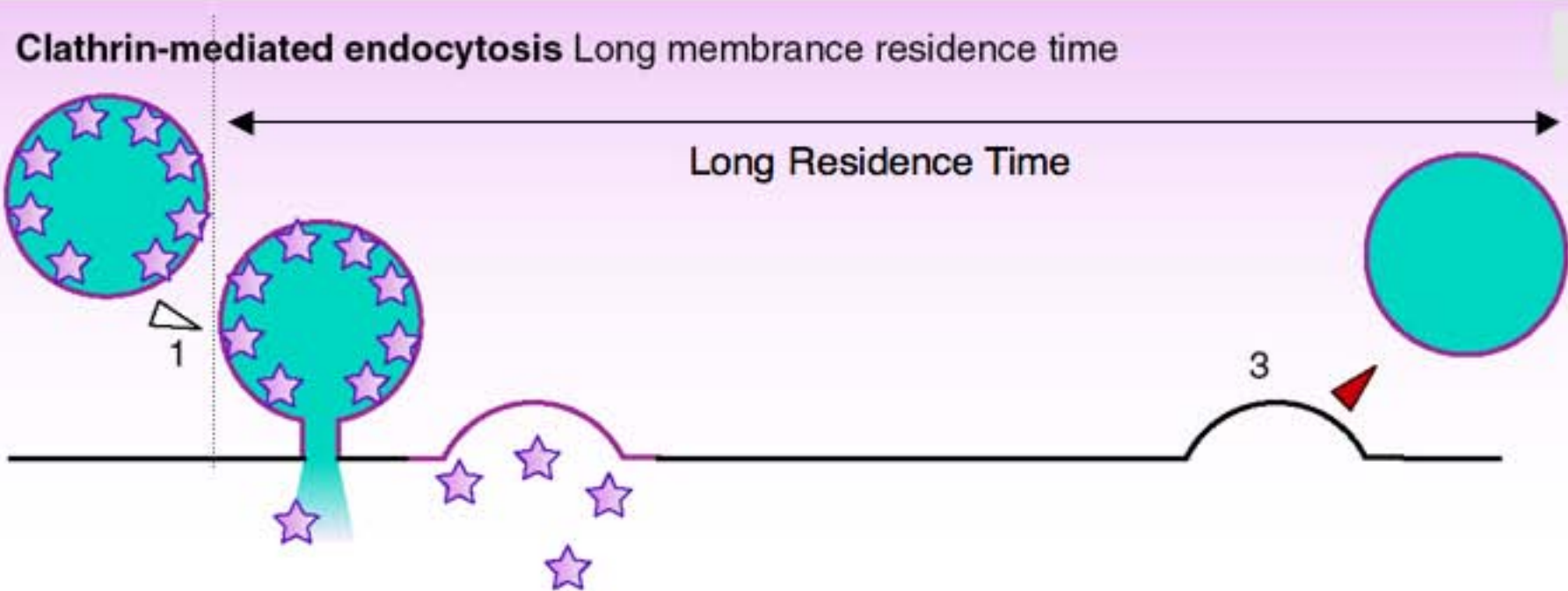
FIG. 1. Chemical structures of FM 2-10, FM 1-43, and FM 1-84.





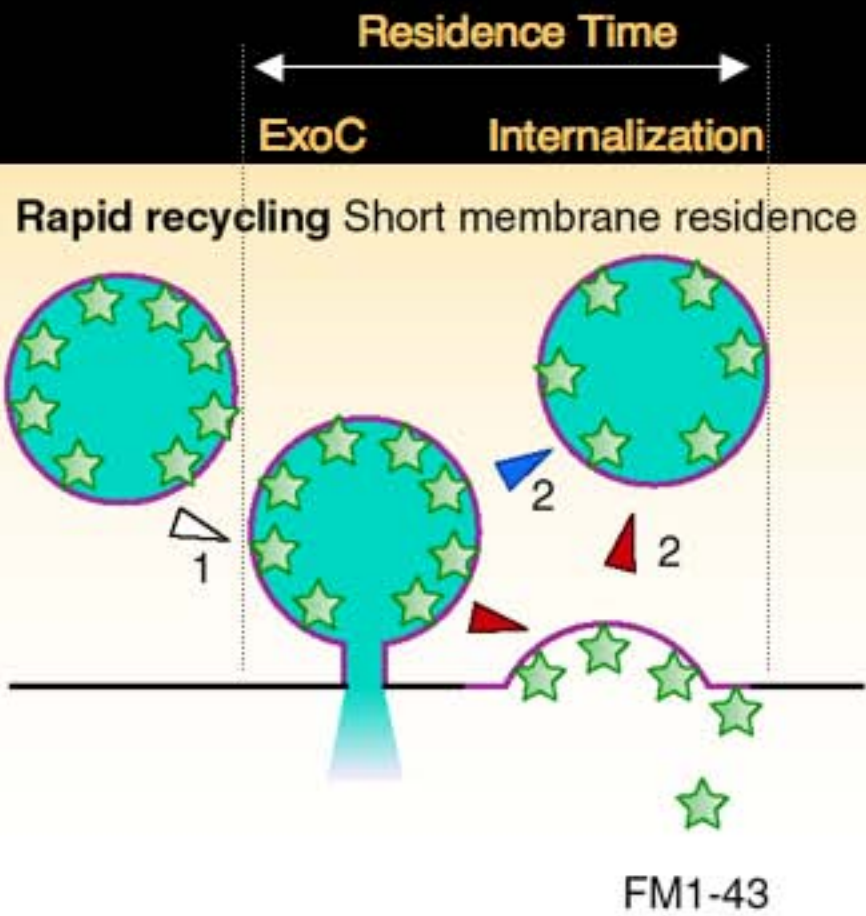
How to discriminate between Kiss & run and Endocytosis

Kiss and run :
Short Residence time (Res.T)



Clathrin mediated endocytosis:
Long Residence time

- ★ Dye with slow 'off time'
- Vesicle membrane
- Neurotransmitter
- ☆ Dye with fast 'off time'
- Pre-synaptic membrane



Kiss and run :

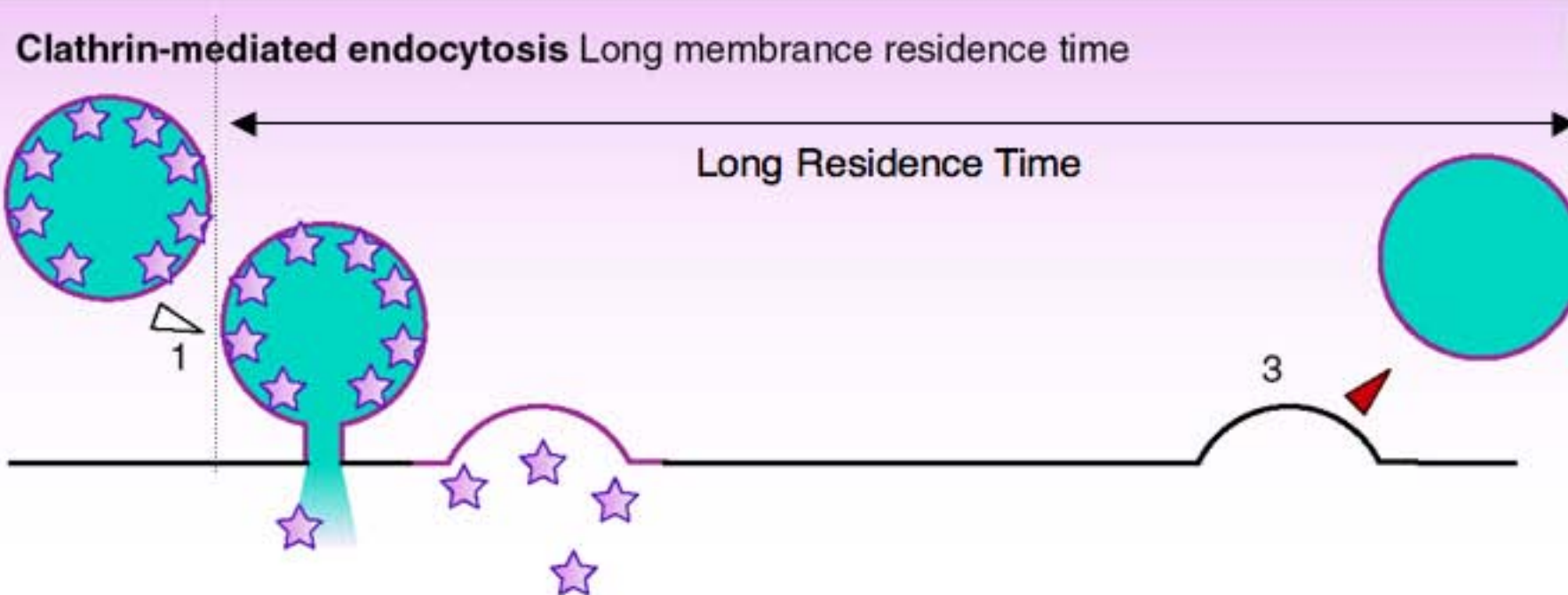
Short Residence time (Res.T)

$$FM2-10 < \text{Res. T} < FM 1-43$$

FM2-10 is faster than FM1-43 :

« Off time »

$$FM2-10 < FM 1-43$$



Clathrin mediated endocytosis:

Long Residence time

Residence time >> FM off time

Res. T >> FM 1-43 > FM2-10

There is no difference between FM2-10 and FM1-43

Both can dissociate before internalization

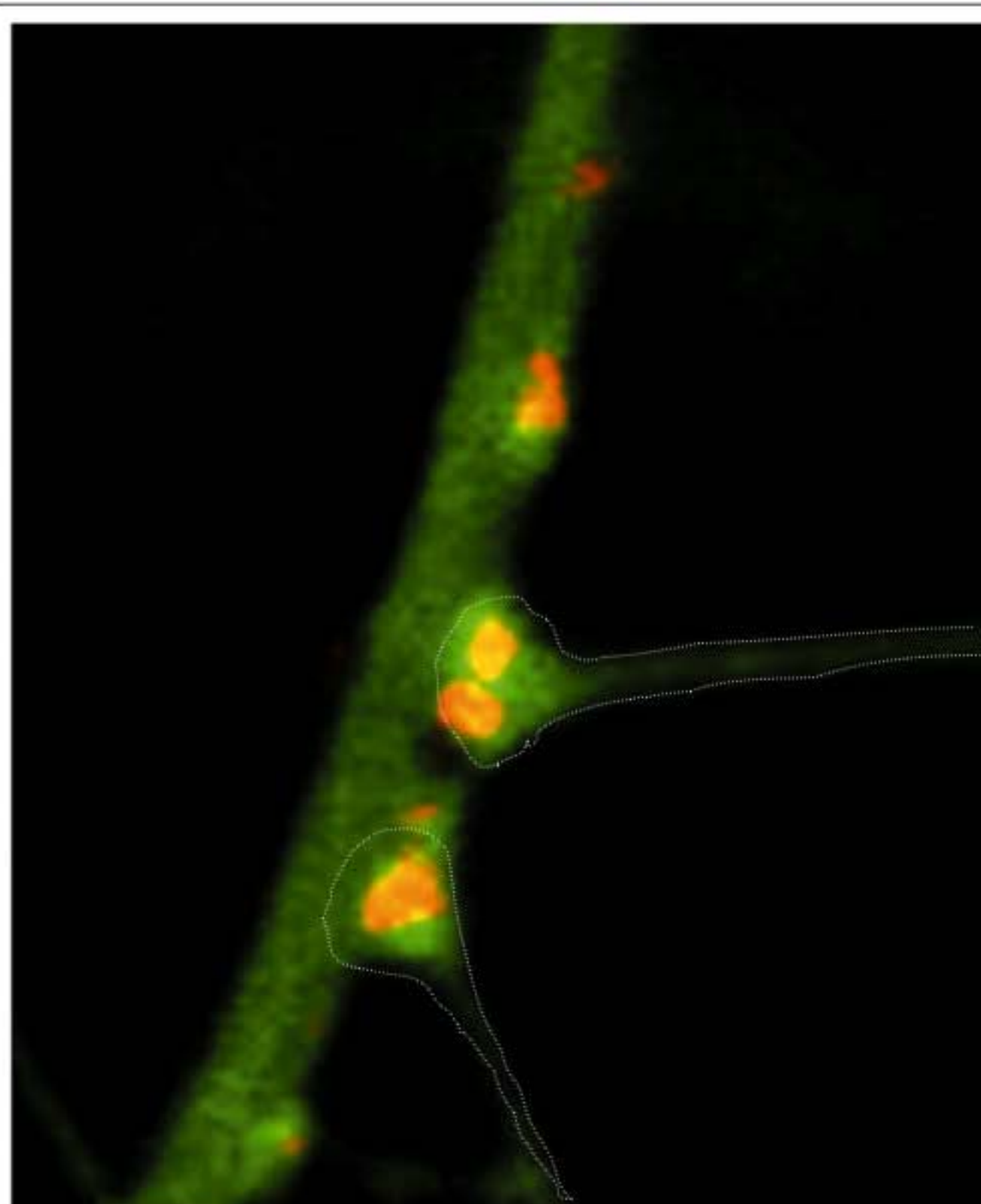
★ Dye with slow 'off time'

— Vesicle membrane

■ Neurotransmitter

☆ Dye with fast 'off time'

— Pre-synaptic membrane



Current Opinion in Neurobiology

FM 4-64 labeling of synaptic vesicle clusters in hippocampal neurons.
FM 4-64, which is a red-shifted variant of FM 1-43, was applied during AP firing to hippocampal neurons in cell culture. Two GFP-expressing cells that form an axo-dendritic contact containing two clusters of recycling vesicles labeled by FM 4-64 are shown.

Evidence for a Role of Dendritic Filopodia in Synaptogenesis and Spine Formation

Noam E. Ziv and Stephen J Smith Neuron, Vol. 17, 91–102, July, 1996.

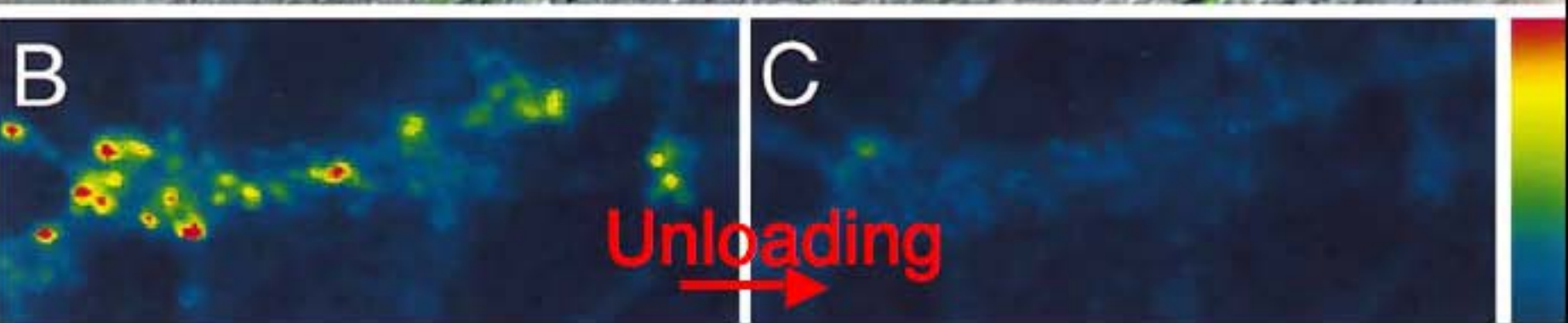
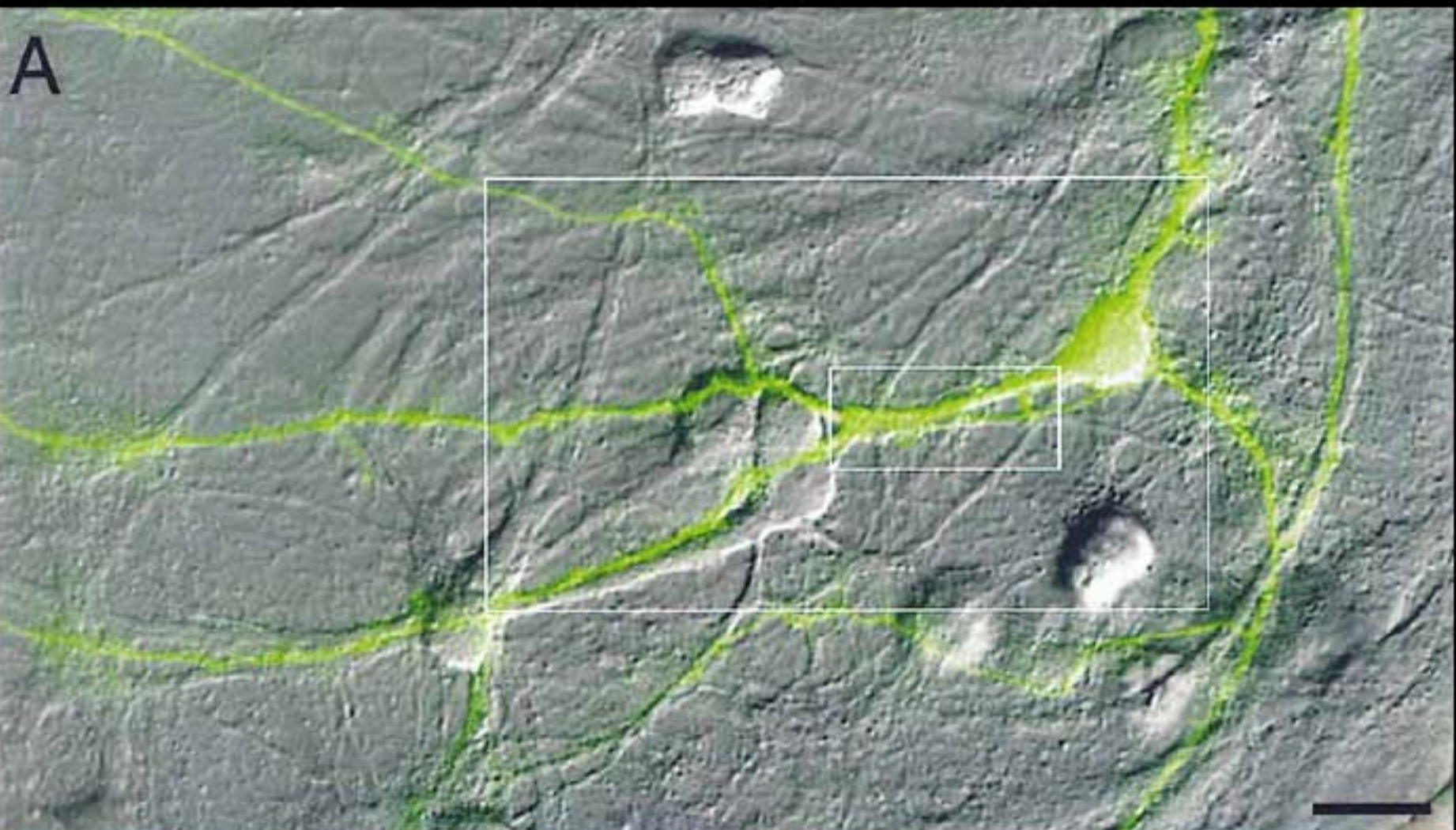


Figure 1. Imaging of Dendritic Structure and Presynaptic Boutons in Live Cultured Hippocampal Neurons

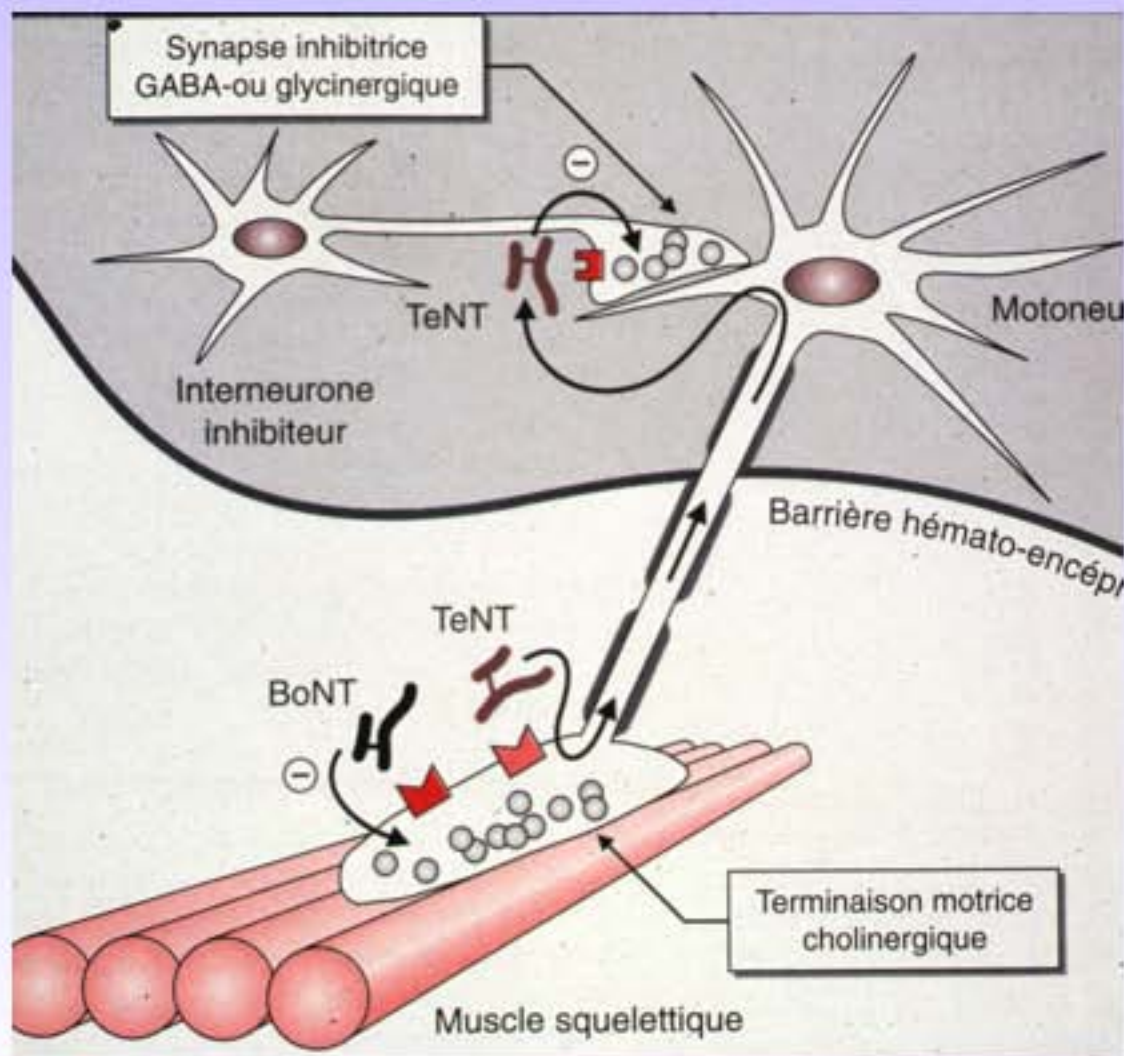
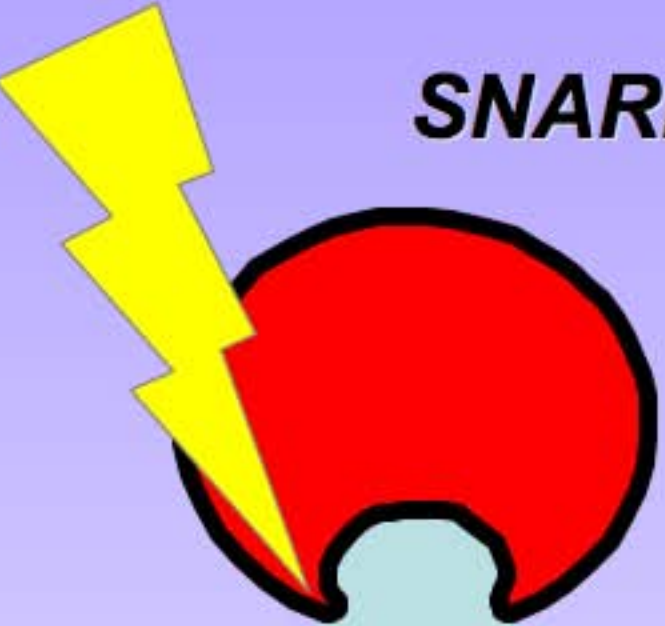
(A) A fluorescence image of a single pyramidal neuron labeled with FAST DiO, digitally overlaid on a DIC image of the same field. The neurons shown in this figure were grown for 13 DIV prior to the experiment.

(B) A pseudocolor fluorescence image of presynaptic boutons loaded with FM 4-64. The area shown corresponds to the inner rectangle in (A). Fluorescence intensity is coded according to color bar on far right.

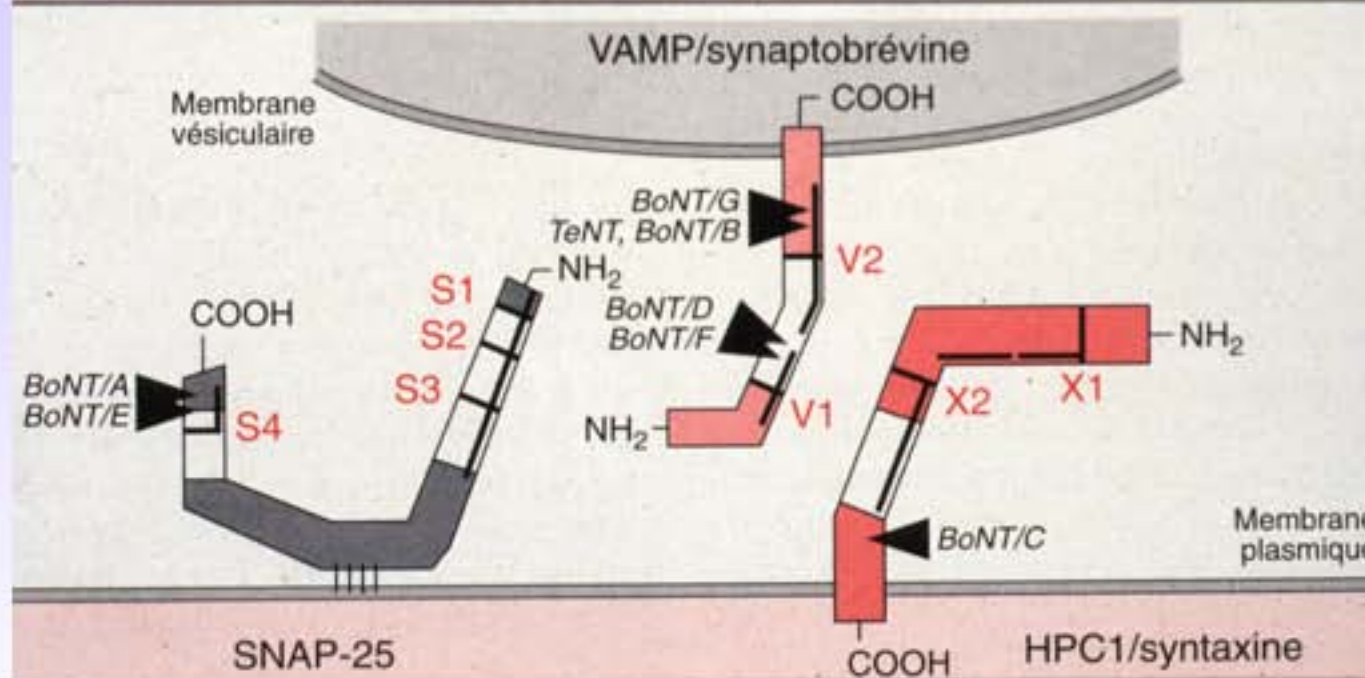
(C) The same field shown in (B) after the dye was unloaded by stimulating the neurons to fire action potentials for 60 s at 10 Hz.

(D) Digital superposition of the FM 4-64 difference image (red), created by subtracting the image in (C) from that in (B), onto the fluorescence image of the FAST DiO-labeled neuron (green). Area shown corresponds to outer rectangle in (A). Scale bars, 20 μ m (A) and 10 μ m (D).

SNAREs: cibles des neurotoxines clostridiales



Toxine	Cible	Site de reconnaissance	Site de clivage
TeNT	VAMP	V2 : ELDDRADALQ	AS QFETS
BoNT/B	VAMP	V2 : ELDDRADALQ	AS QFETS
BoNT/D	VAMP	V1 : QVDEVVDIMR	D QKLS E
BoNT/F	VAMP	V1 : QVDEVVDIMR	R DQKLSE
BoNT/G	VAMP	V2 : ELDDRADALQ	E SAAKLK
BoNT/A	SNAP-25	S4 : EMDENLEQVSG	A NQRATK
BoNT/E	SNAP-25	S4 : EMDENLEQVSG	K TRIDEA
BoNT/C	Syntaxine	X2 : ELEDMLESGN	T KAVKY
motif consensus		xh--xh-xhp	



Applications des Neurotoxines ...

Dysport
TOXINE BOTULIQUE TYPE A • 500 UNITÉS SPEYWOOD

La maîtrise biopharmaceutique...

Une action focalisée sur la clé synaptique

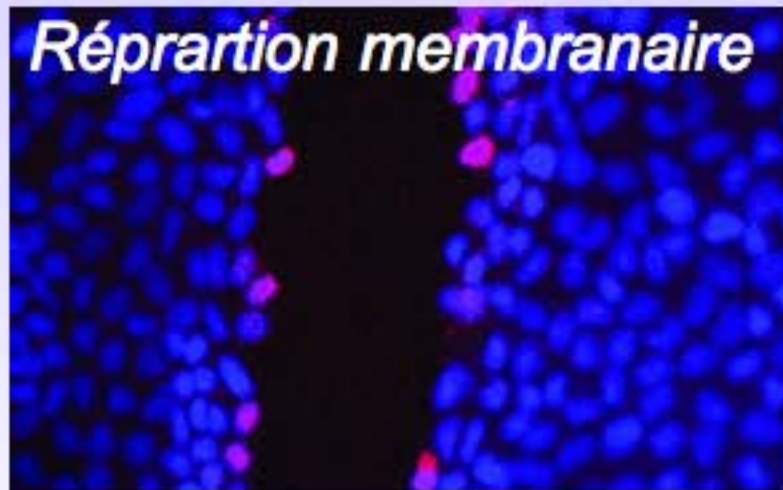
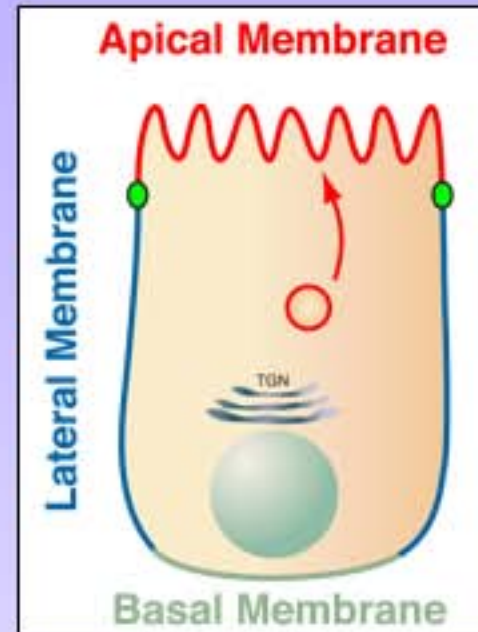
... au service des Dystonies

TraITEMENT DES DYSTONIES (hypercontractions musculaires involontaires et douloureuses).

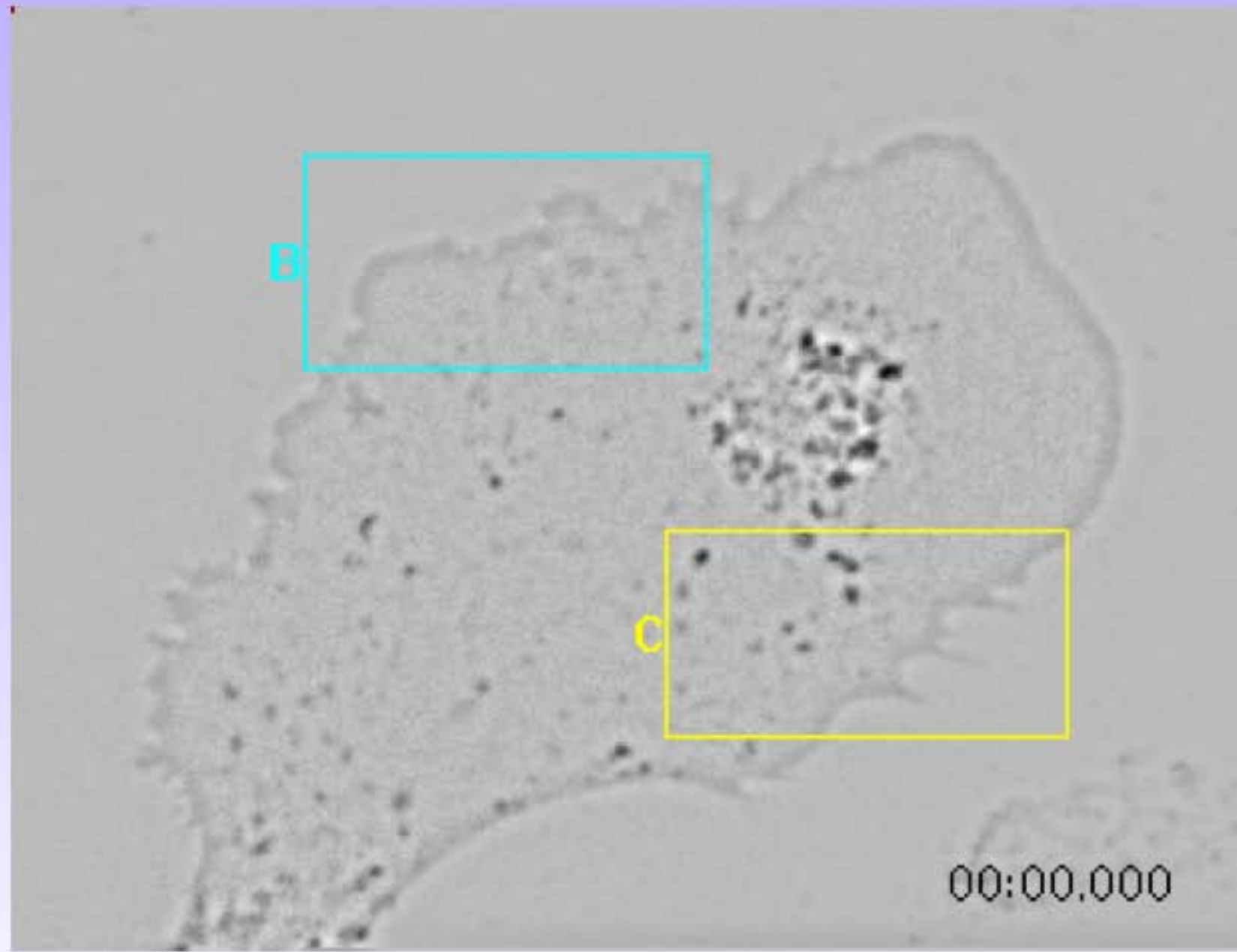


Esthétique: injection de « BOTOX »:
Paralysie musculaire pendant 5 à 6 mois.

La cellubrevine est nécessaire à la réparation membranaire et la migration des cellules épithéliales

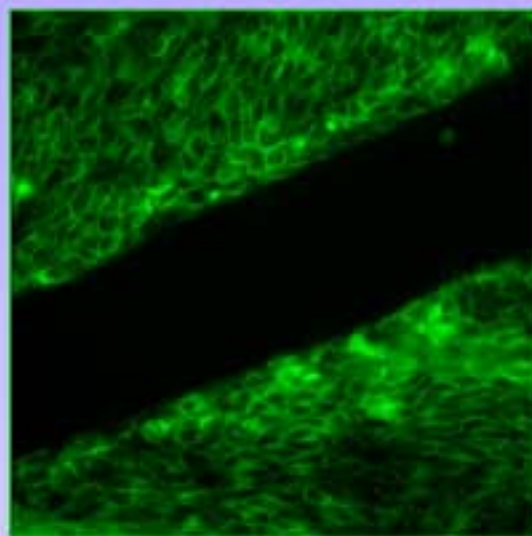


(Proux-Gillardeaux, 2007)



Proux-Gillardeaux & al, PNAS 2005

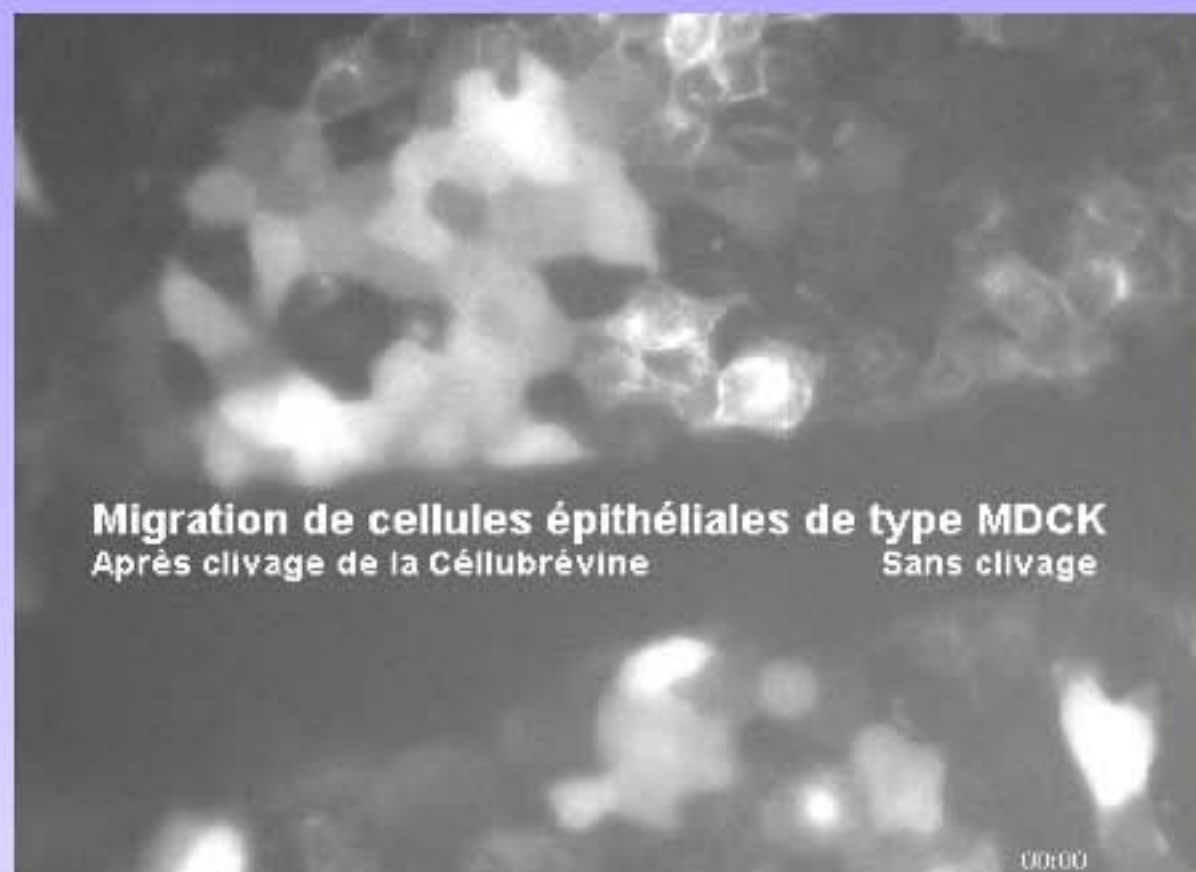
La toxine tétanique clive la cellubrévine et ralentit la migration les cellules épithéliales



Blessure réalisée sur un tapis de cellule épithéliale :
-> favorise la migration

GFP-Cb

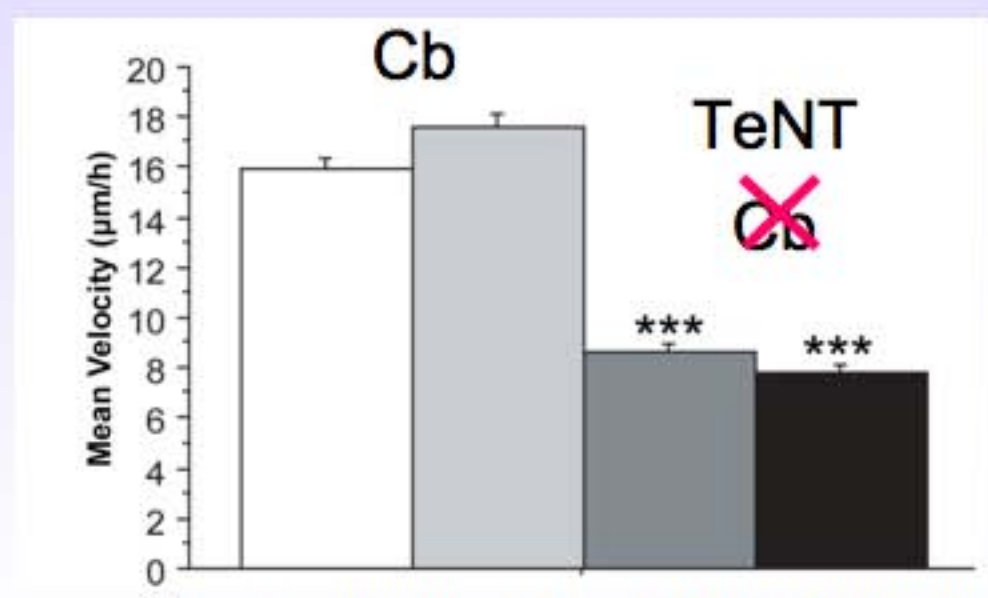
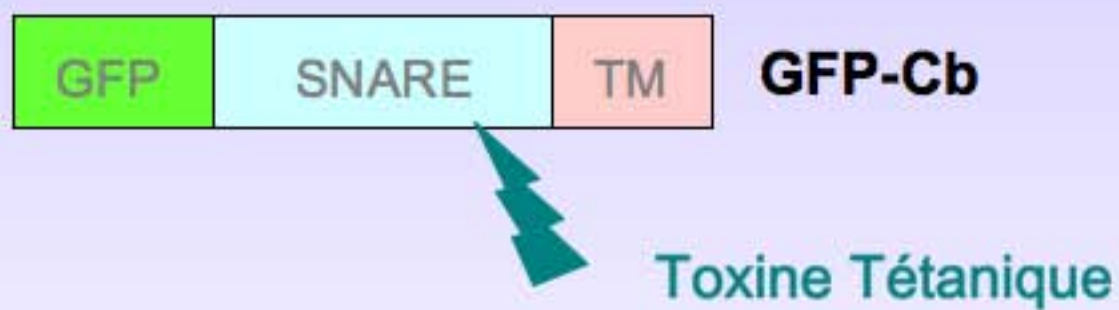
Proux-Gillardeaux & al, PNAS 2005, BoC 2007



Migration de cellules épithéliales de type MDCK
Après clivage de la Céllubrévine

Sans clivage

00:00

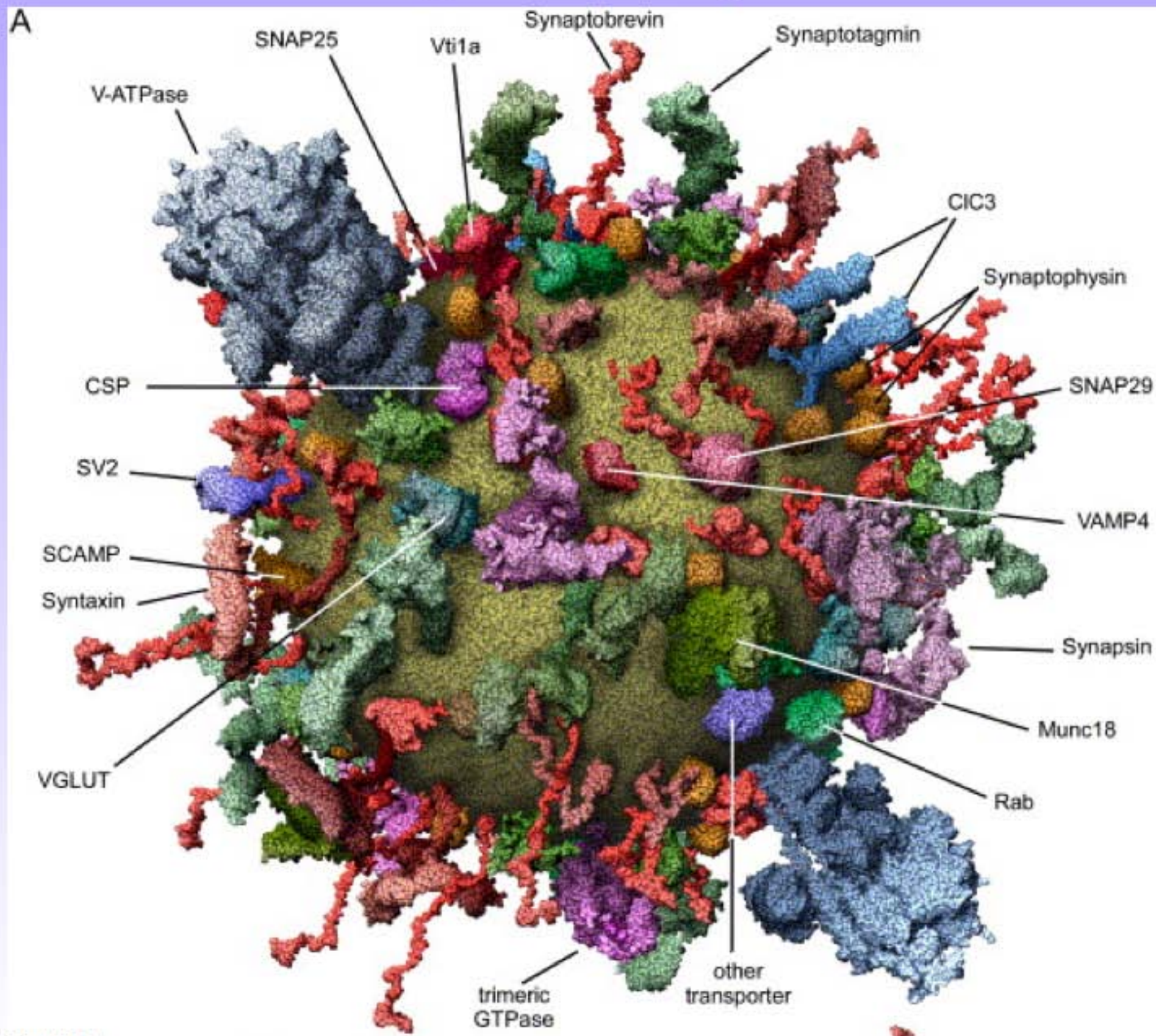


Proux-Gillardeaux & al, PNAS 2005, BoC 2007

Vésicules Synaptiques

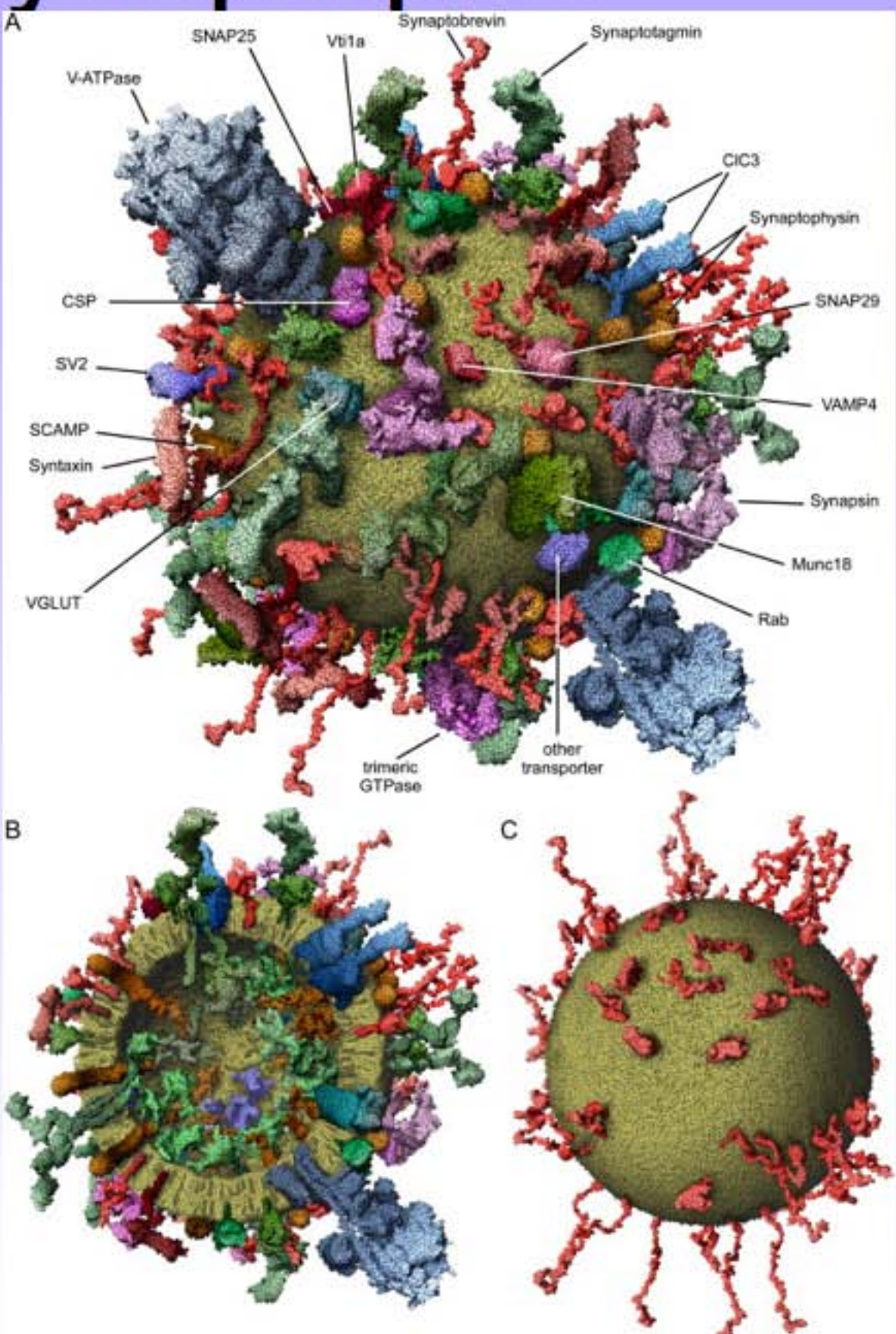


R. Jahn

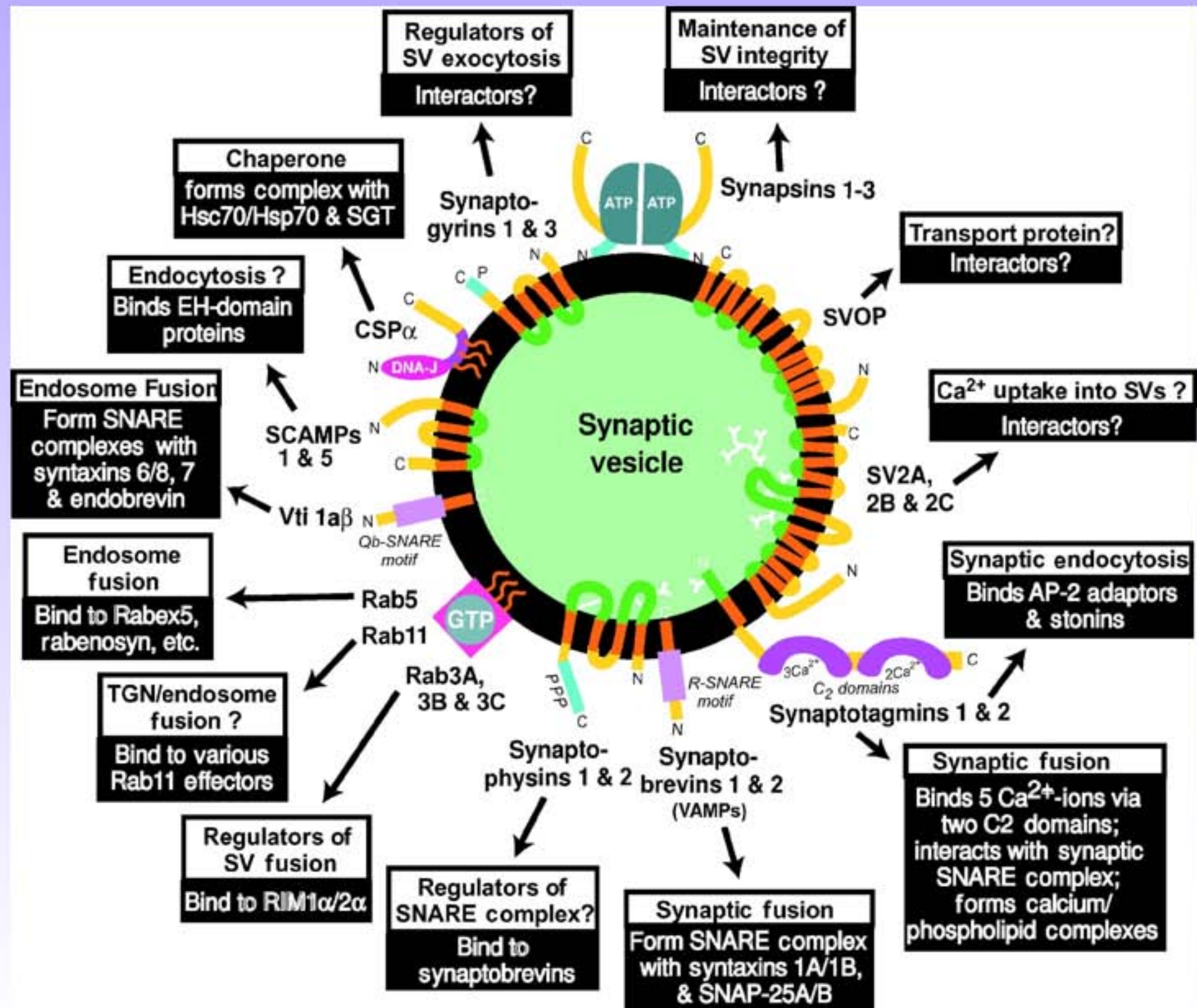


Vésicules Synaptiques

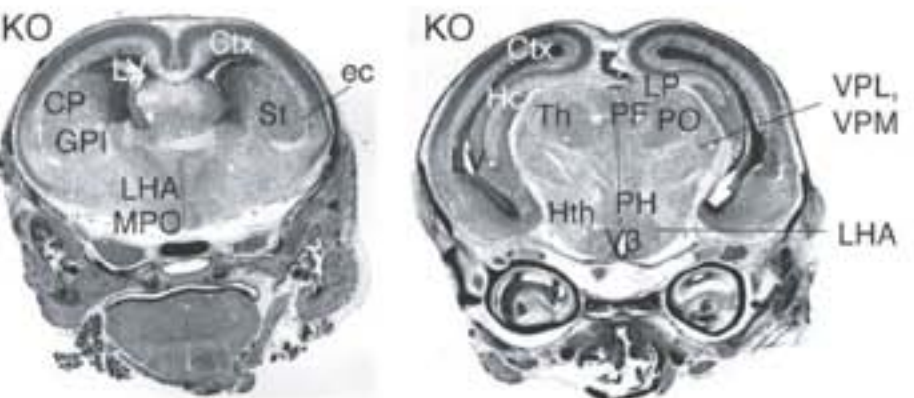
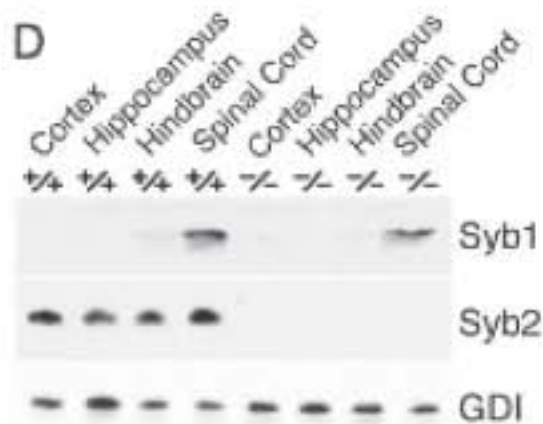
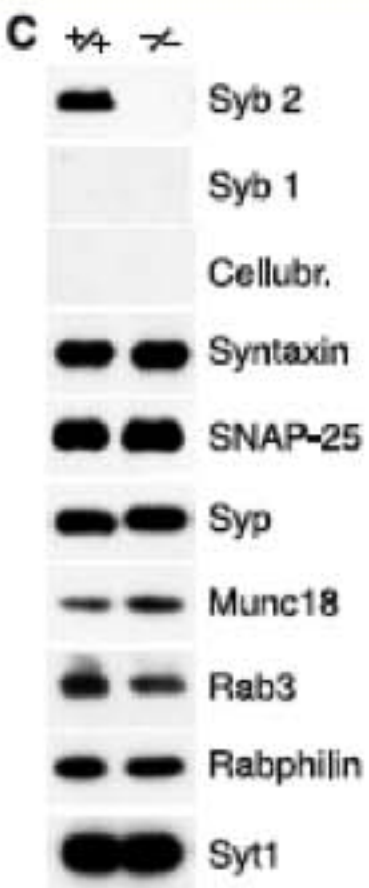
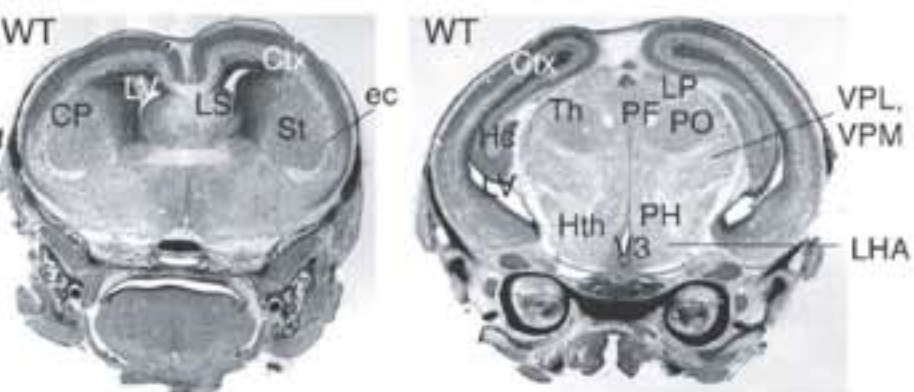
Protein	% of total SV proteins
Synaptophysin	10.20 ± 1.54 ^(1,4)
Synaptobrevin 2	8.60 ± 1.55 ⁽¹⁾
Syntaxin 1	2.00 ± 0.27 ^(1,5)
SNAP25	0.40 ± 0.06 ^(1,6)
Synapsins	6 ^(2,3)
Rab3A	2.5 ⁽²⁾
Synaptotagmin 1	7 ⁽³⁾
Synaptogyrin 1	0.5 ⁽²⁾
SV2	1.4 ⁽²⁾
SCAMP	0.3 ⁽²⁾
CSP	0.6 ⁽²⁾
VGLUT1	5.36 ± 1.11 ^(1,7)
VGLUT2	9.01 ± 2.31 ^(1,7)
V-ATPase V1-B subunit	1.15 ± 0.21 ⁽¹⁾



Fonction des protéines des VS



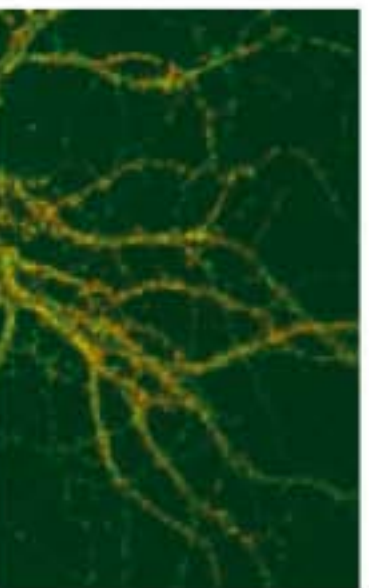
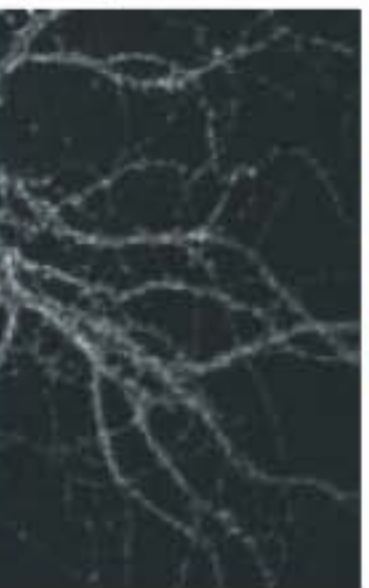
Synaptobrevin2 (Syb2) KO

**A****control**

synapsin 1

synaptobrevin 2

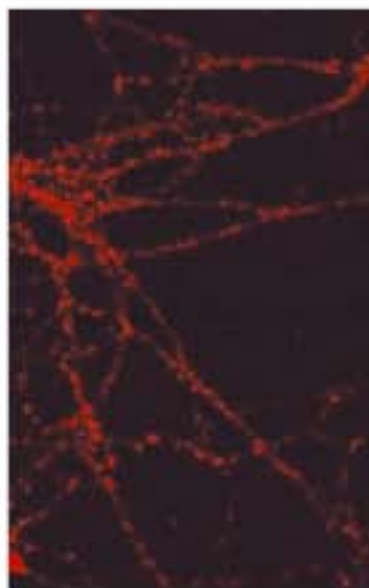
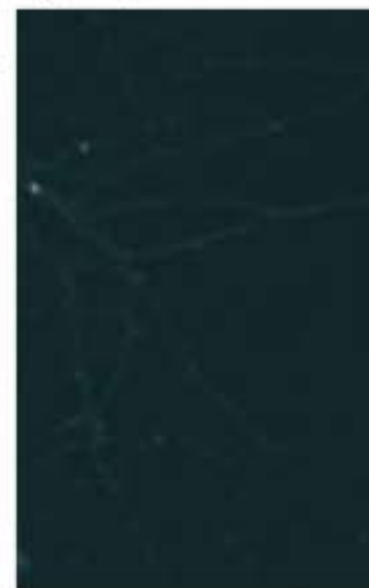
co-localization



synapsin 1

synaptobrevin 2

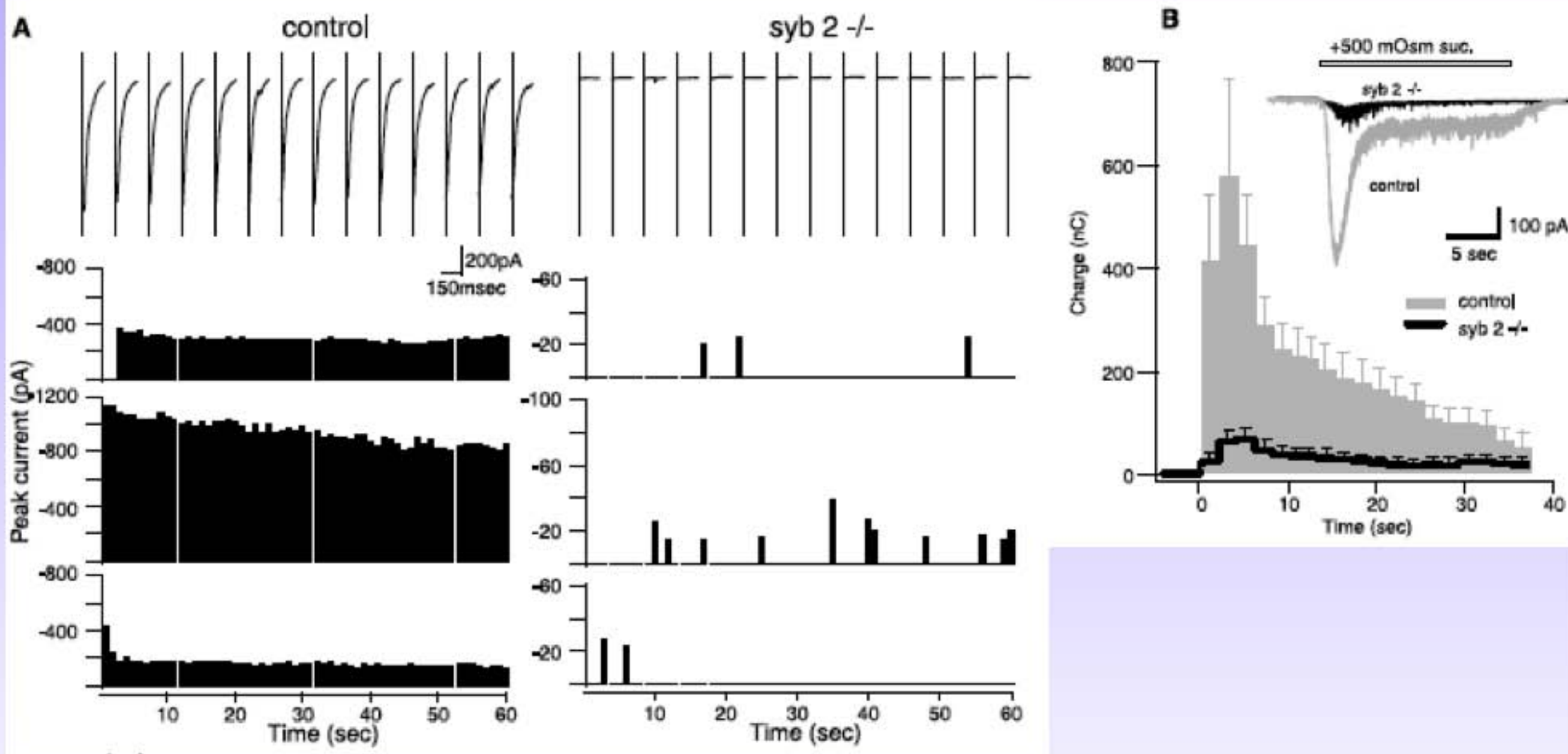
co-localization



10 µm

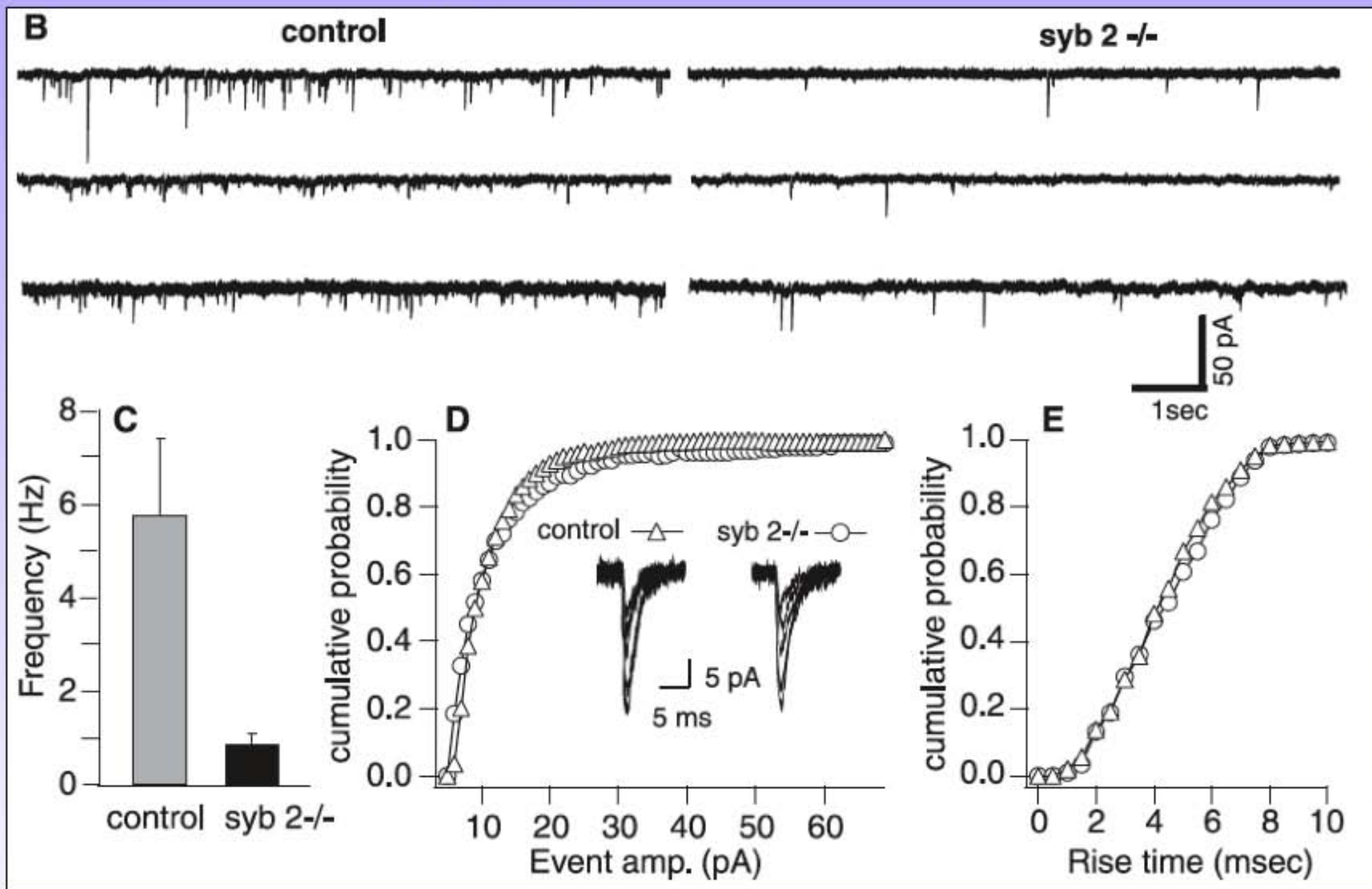
En l'absence de Syb2, les synapses sont toujours présentes, le cerveau se forme normalement mais les animaux meurent à la naissance.

Synaptobrevin2 (Syb2) KO



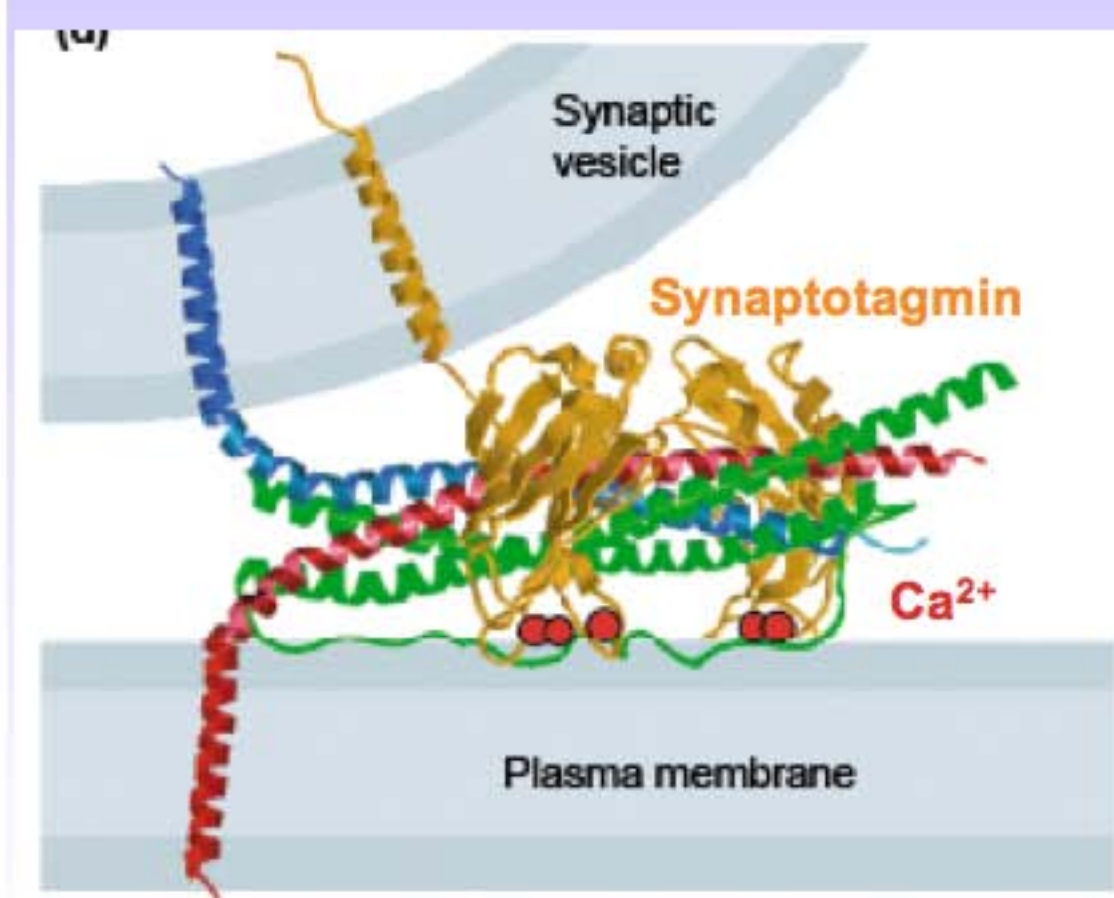
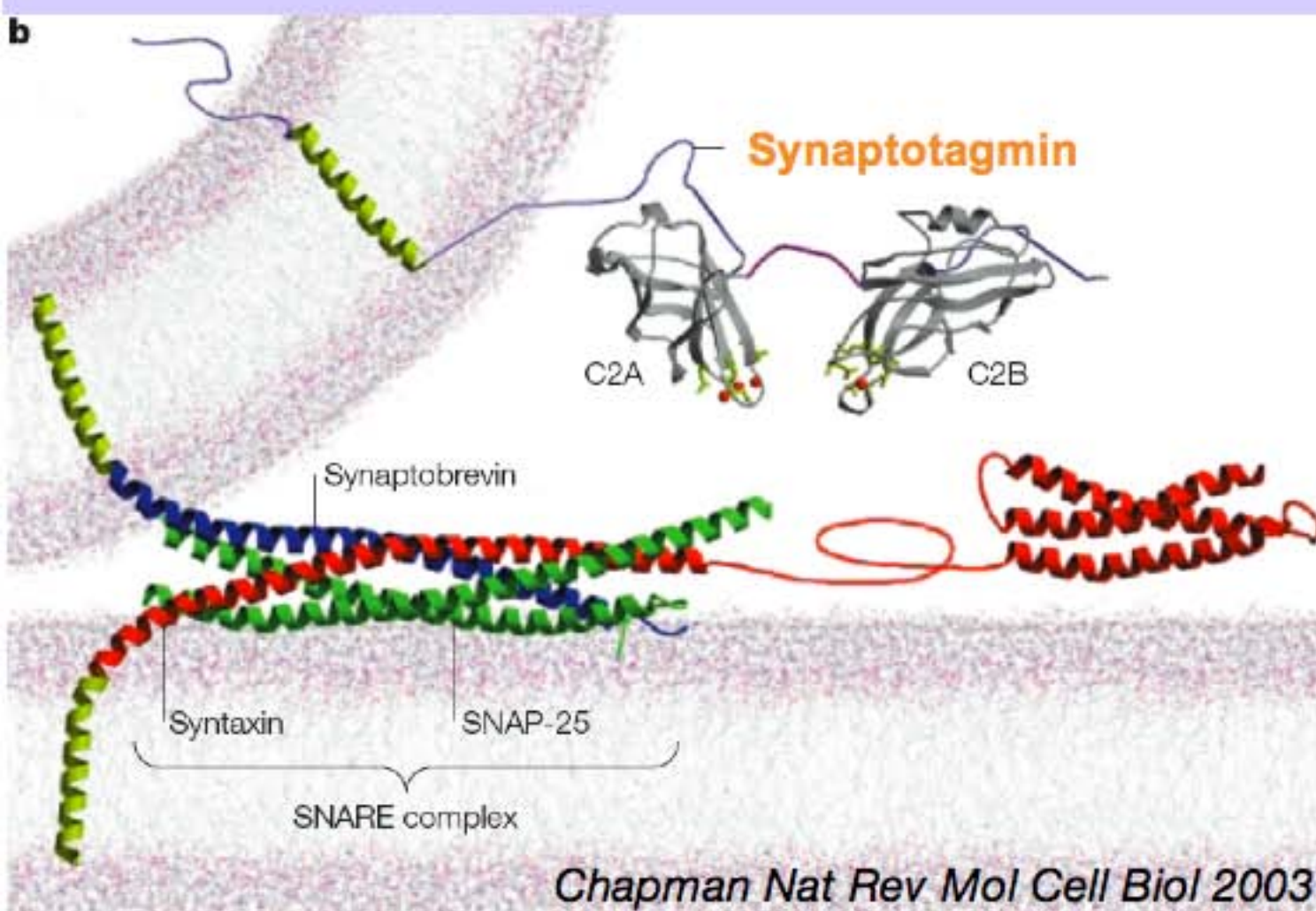
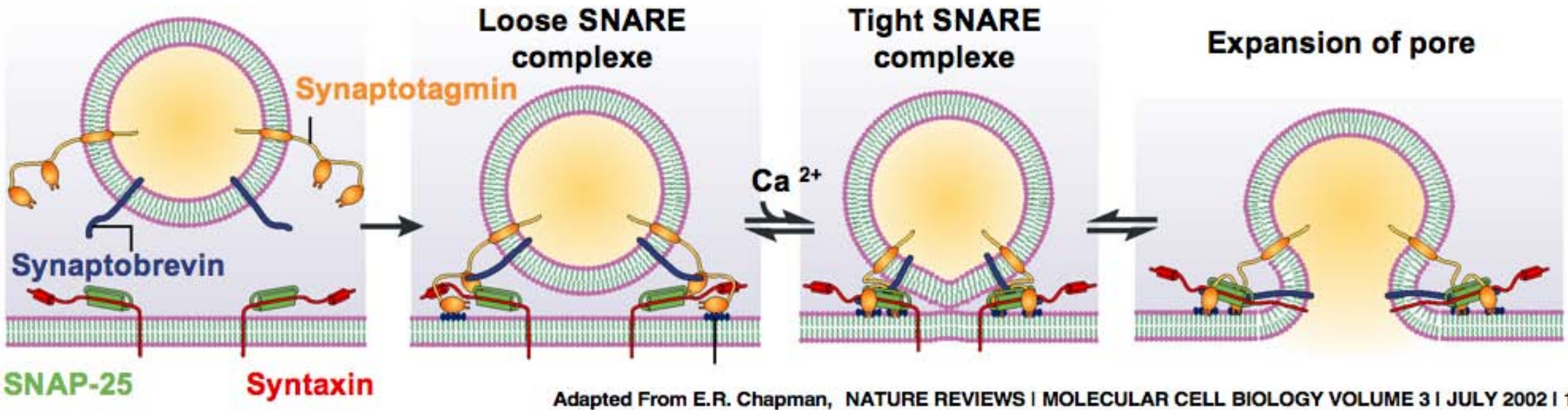
En l'absence de Syb2, la réponse évoquée est réduite d'un facteur 100.

Synaptobrevin2 (Syb2) KO

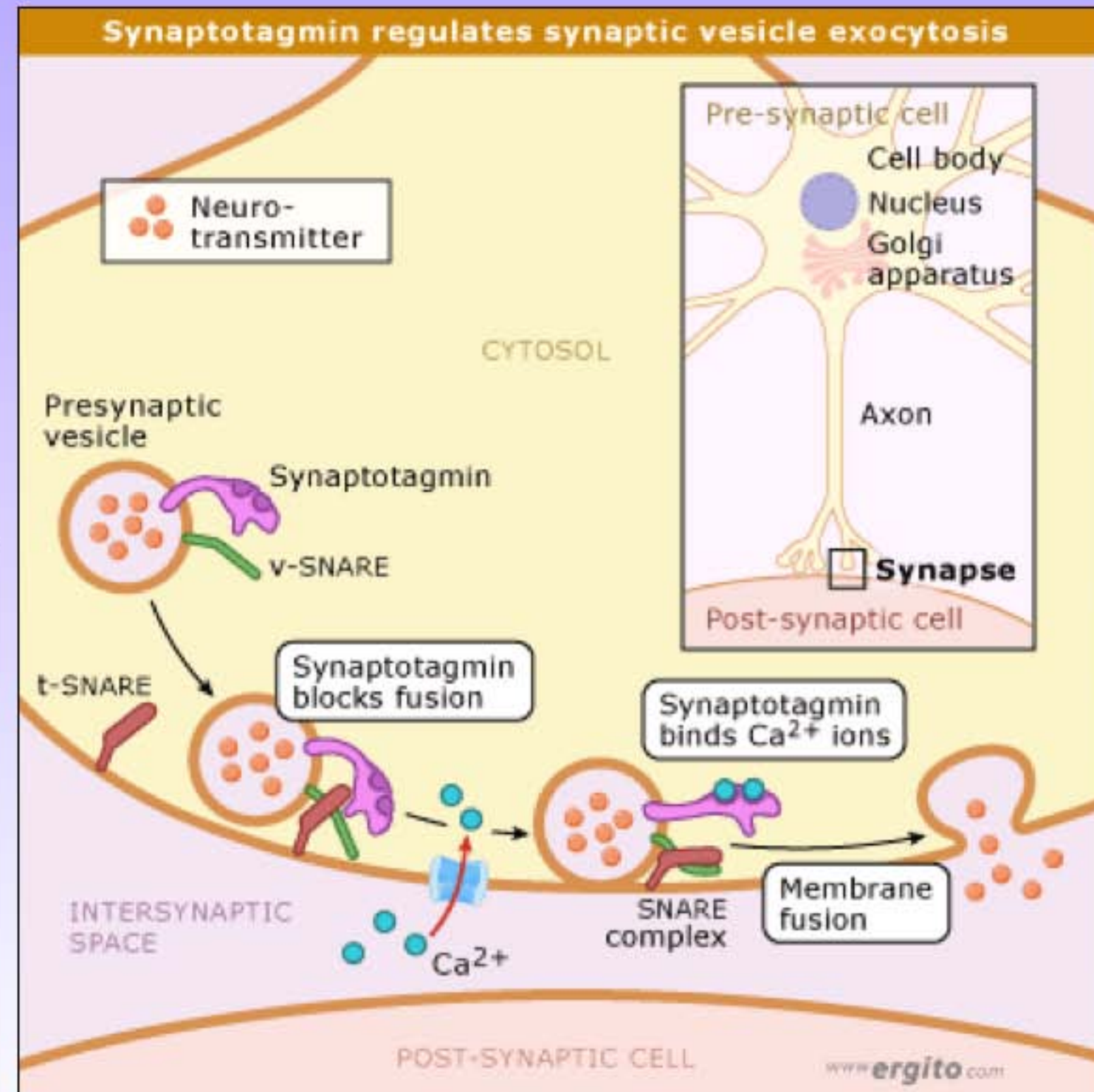
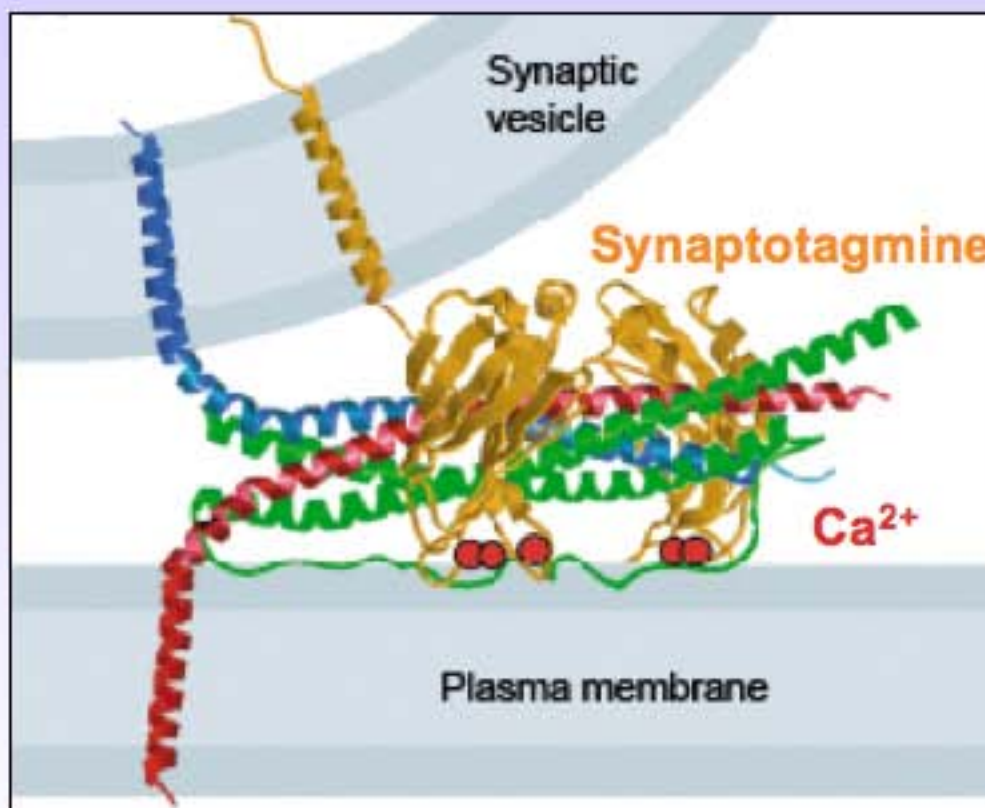
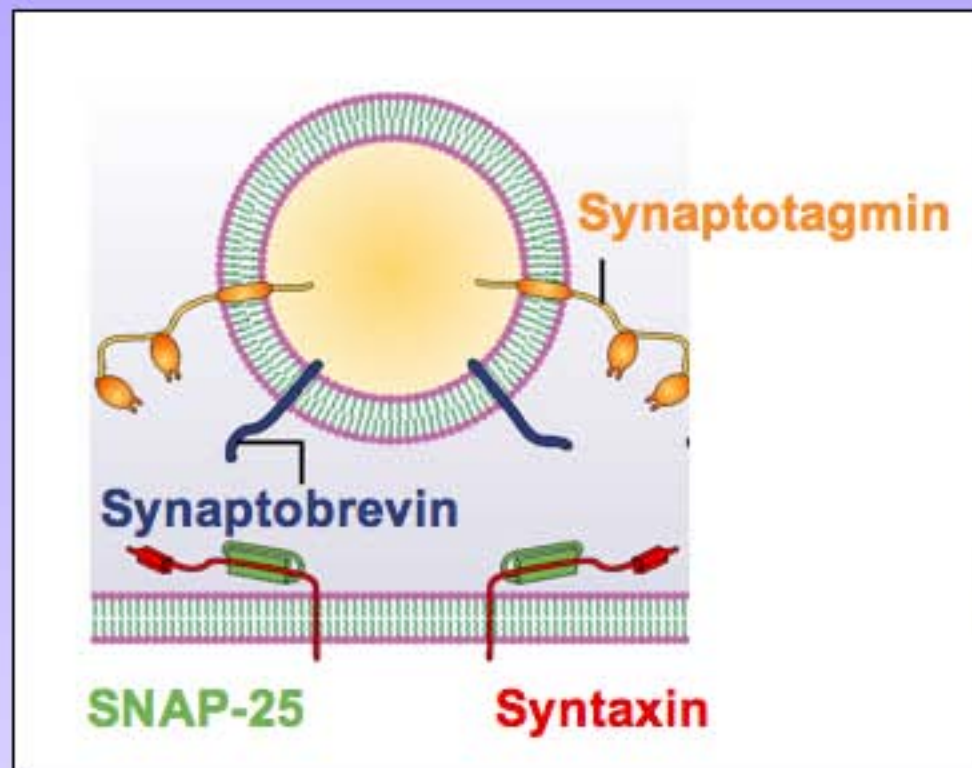


En l'absence de Syb2, la réponse spontanée est réduite d'un facteur 10.

Régulation de l'exocytose par la synaptotagmine



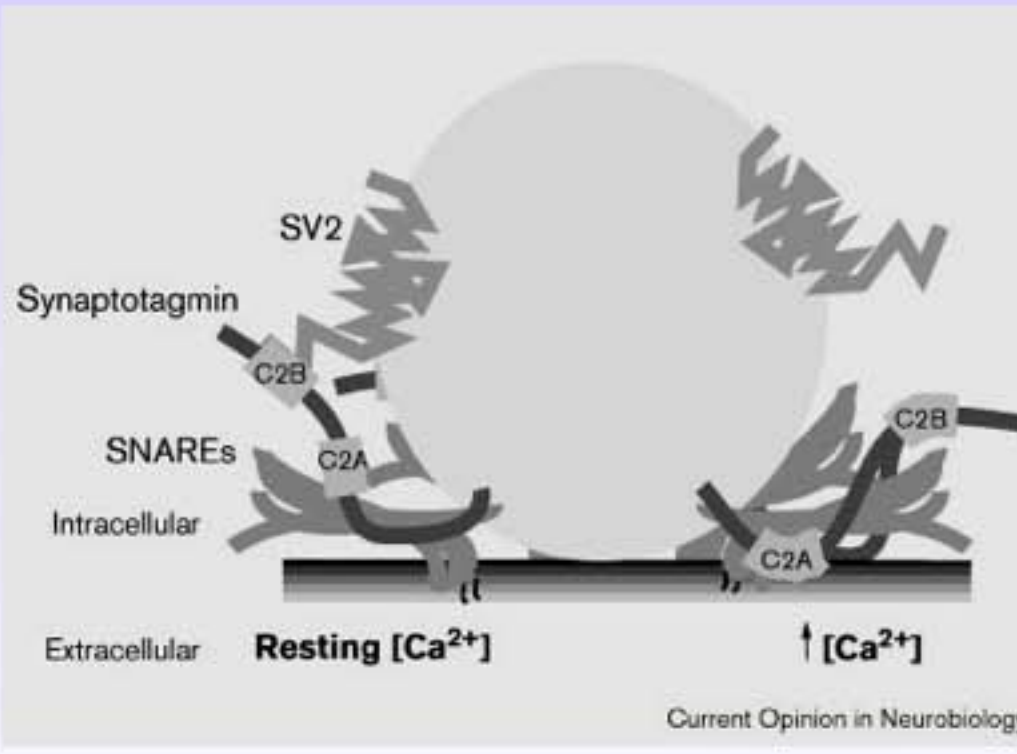
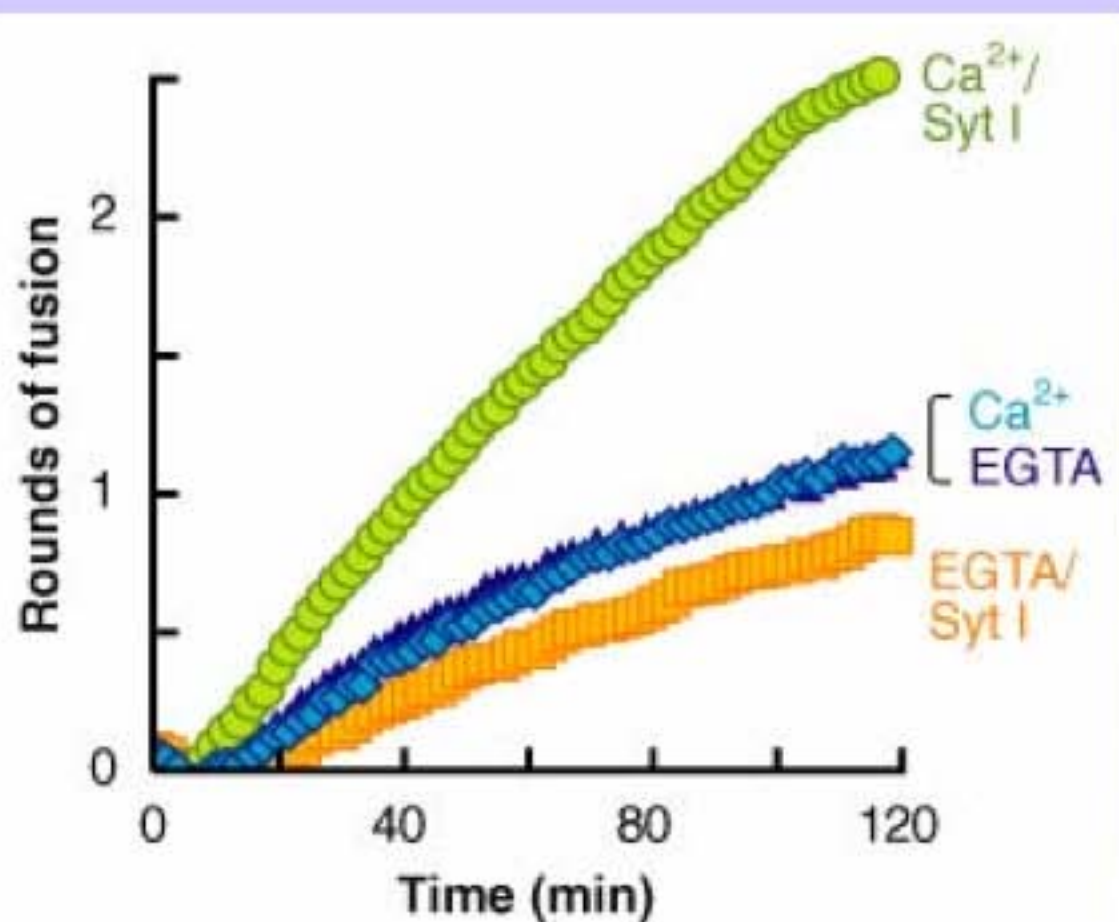
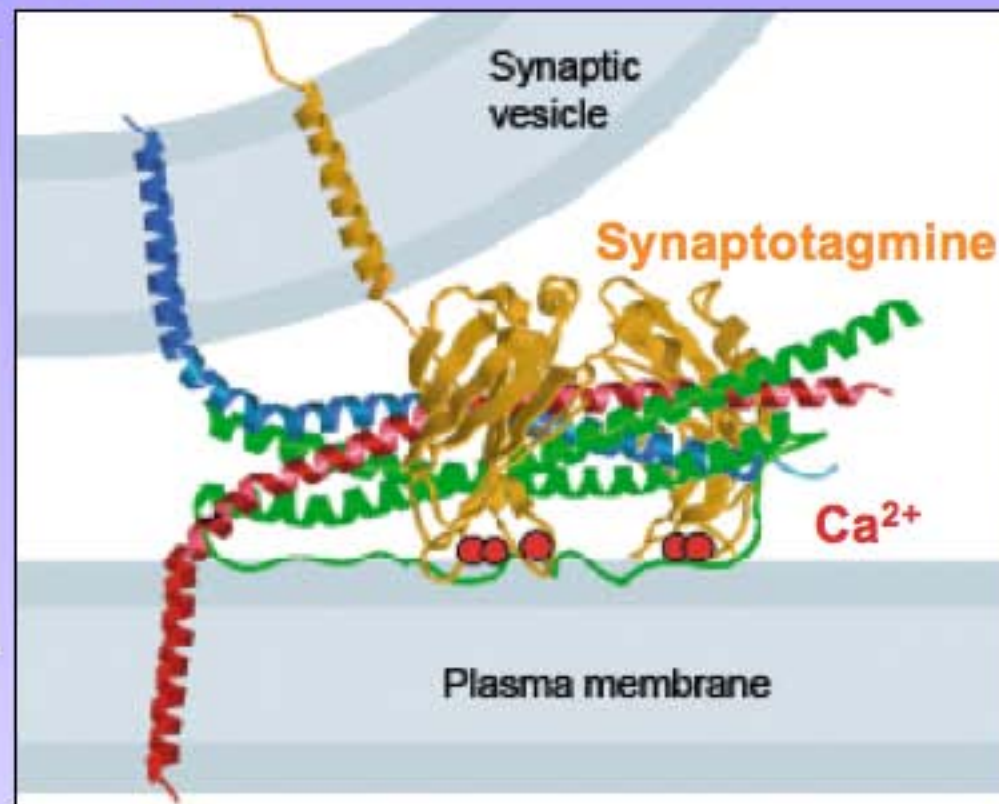
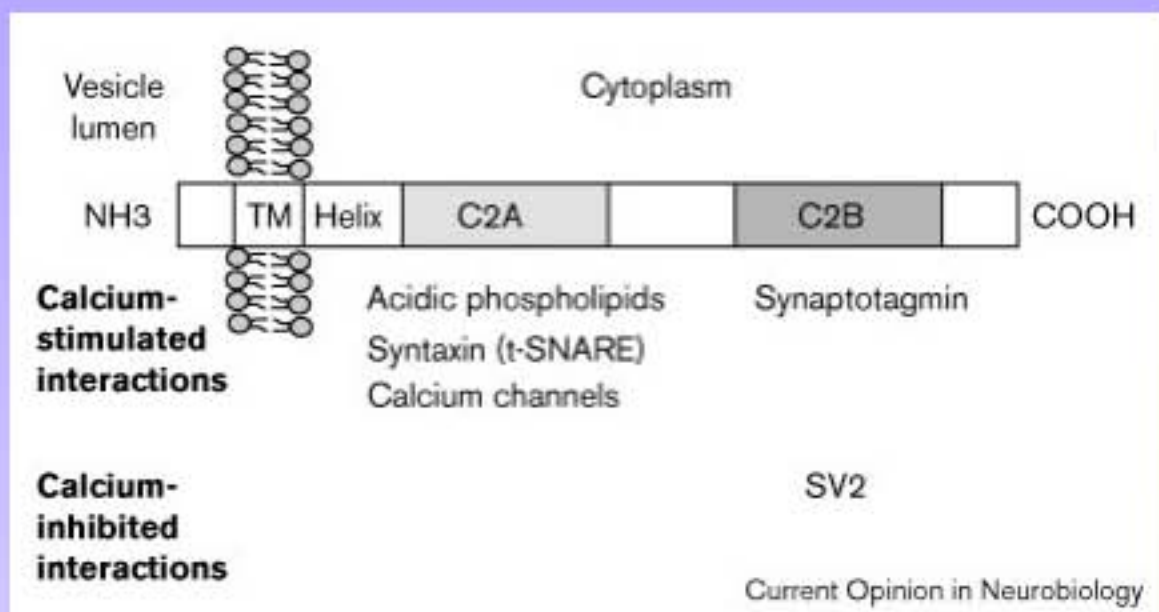
Régulation de l'exocytose par la synaptotagmine



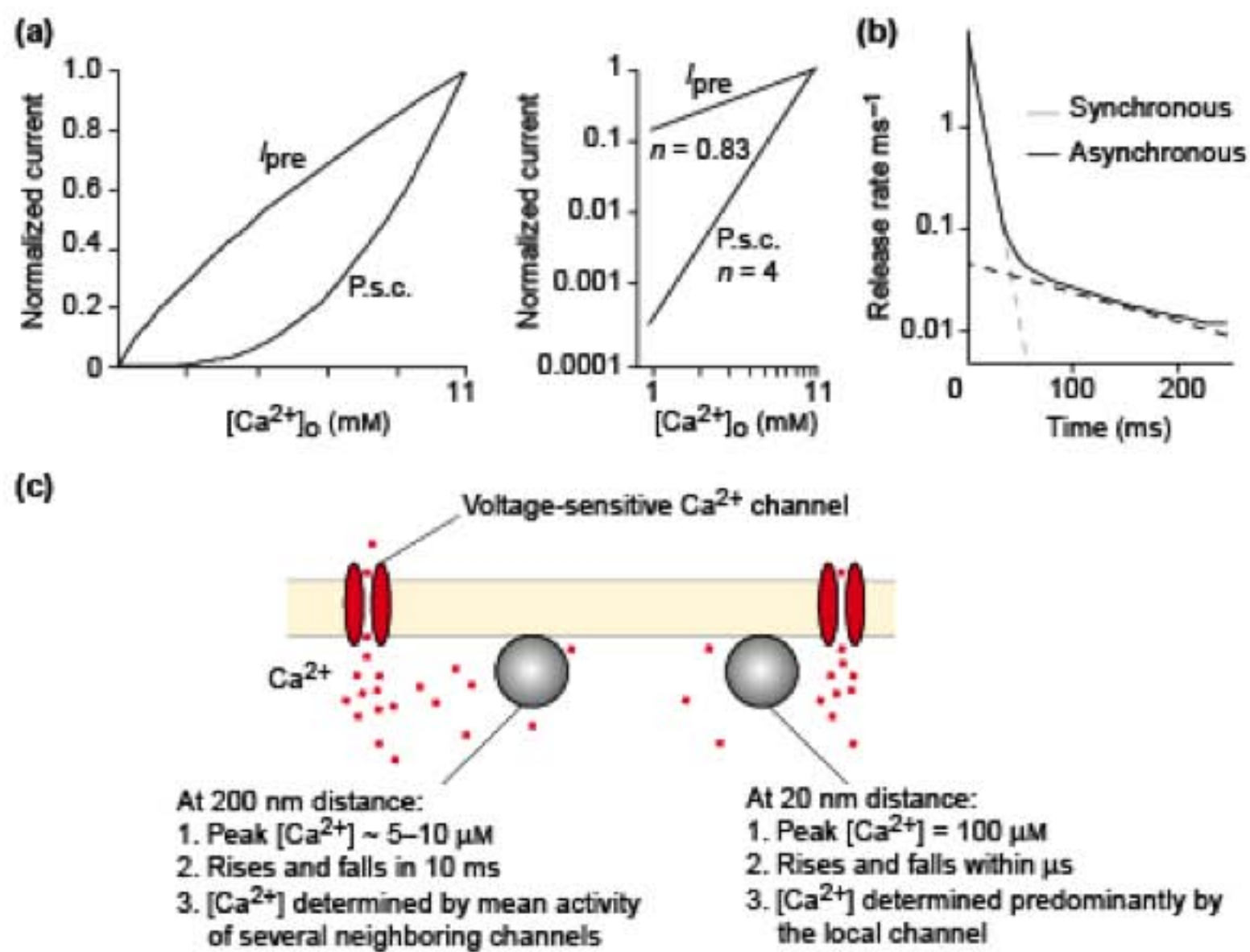
Régulation de l'exocytose par le calcium



Edwin Chapman



Calcium et exocytose

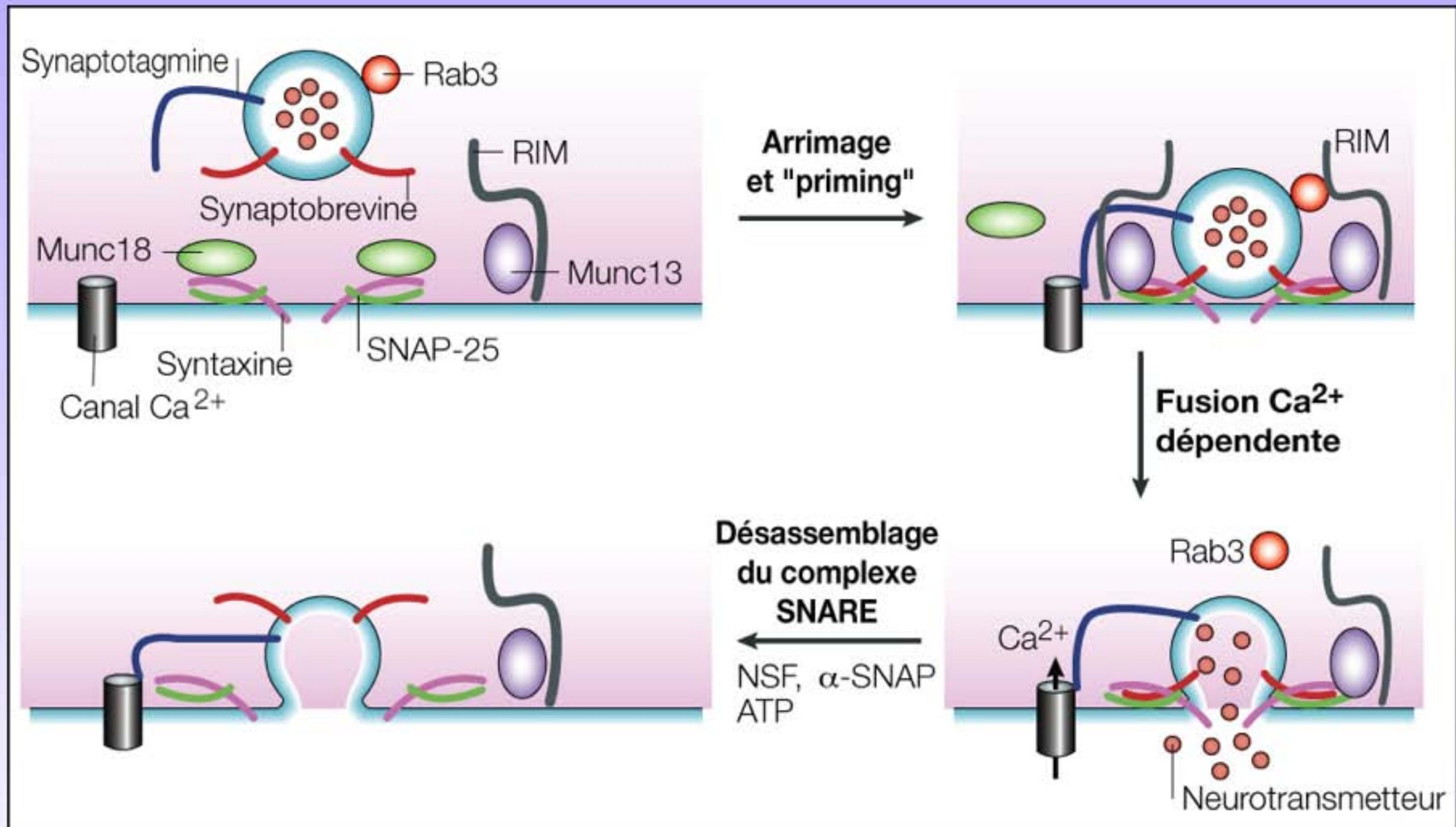


TRENDS In Neurosciences

Fig. 1. Ca^{2+} cooperativity and biphasic neurotransmitter release. (a) Relationships of presynaptic Ca^{2+} current (I_{pre}) and postsynaptic current (P.s.c.) with external Ca^{2+} concentration, $[Ca^{2+}]_0$ [4]. Adapted, with permission, from Ref. [4]. The same data are represented schematically on linear (left) and log-log (right) coordinates. The exponential function (n) next to each log-log plot is a measure of the Ca^{2+} -dependent cooperativity of neurotransmitter release (see main text). Note that the differences in the slopes of I_{pre} and P.s.c. indicate that the cooperativity is mediated by binding sites downstream of the Ca^{2+} channel – that is, inside the terminal. (b) Under normal conditions, neurotransmitter release at a hippocampal synapse consists of a rapid, synchronous phase followed by a delayed, asynchronous phase. Using data from Ref. [6]. (c) Properties of Ca^{2+} domains around a Ca^{2+} channel. Small red circles represent Ca^{2+} and the gray spheres represent synaptic vesicles docked on the presynaptic membrane. Using data from Ref. [14].

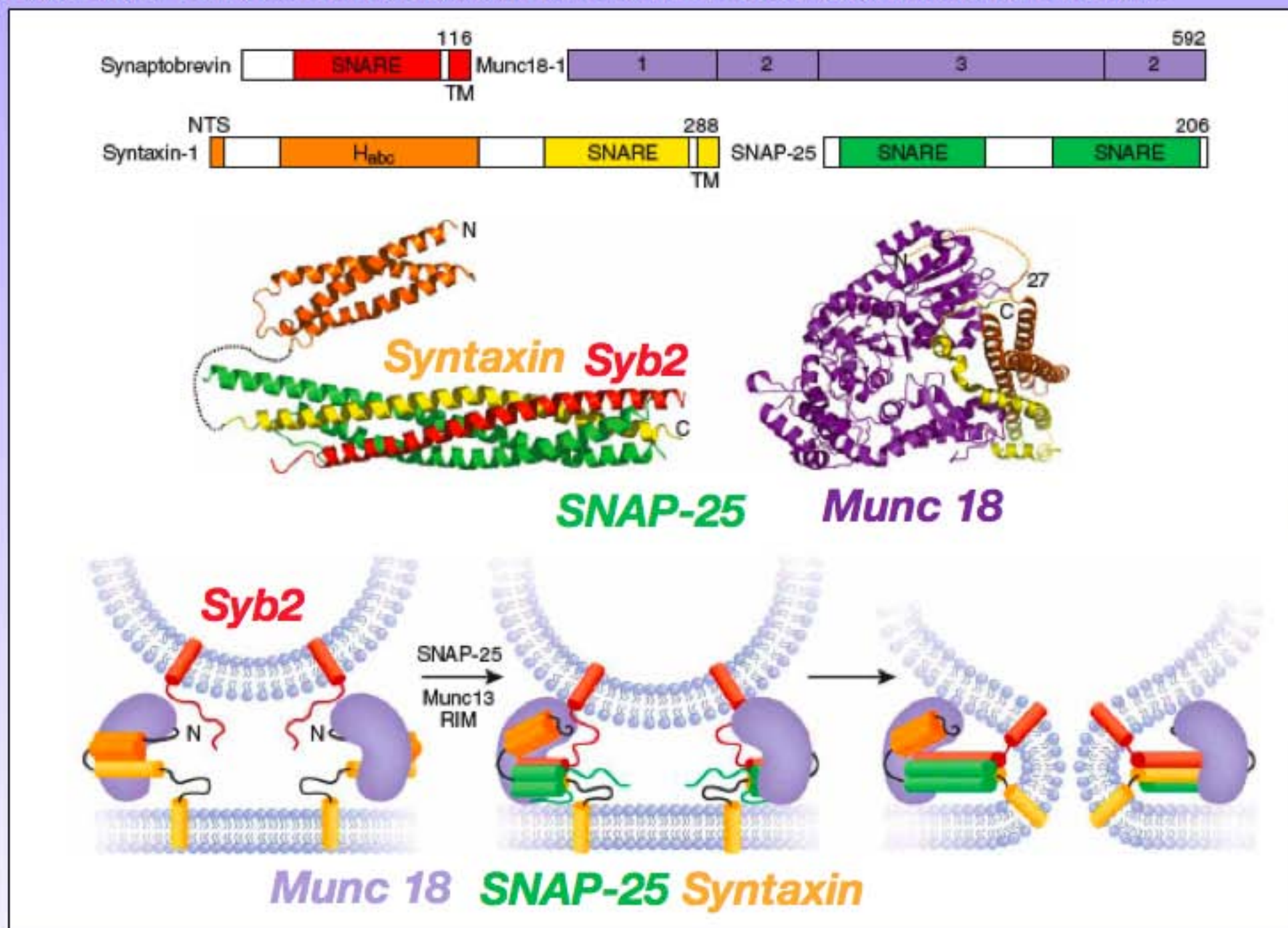
Ca^{2+} current (I_{pre}) and postsynaptic current (P.s.c.) with external Ca^{2+} concentration, $[Ca^{2+}]_0$ [4]. The same data are represented schematically on linear (left) and log-log (right) coordinates. The exponential function (n) next to each log-log plot is a measure of the Ca^{2+} -dependent cooperativity of neurotransmitter release (see main text). Note that the differences in the slopes of I_{pre} and P.s.c. indicate that the cooperativity is mediated by binding sites downstream of the Ca^{2+} channel – that is, inside the terminal. (b) Under normal conditions, neurotransmitter release at a hippocampal synapse consists of a rapid, synchronous phase followed by a delayed, asynchronous phase. Using data from Ref. [6]. (c) Properties of Ca^{2+} domains around a Ca^{2+} channel. Small red circles represent Ca^{2+} and the gray spheres represent synaptic vesicles docked on the presynaptic membrane. Using data from Ref. [14].

Régulation de l'exocytose par différentes protéines



Regulation par Munc18

SM proteins = Sec1 /Munc 18: découverte sur un screen génétique (levure, c.elegans) pour des défauts dans le trafic mBR et la sécrétion. Ont un rôle essentiel dans la fusion.

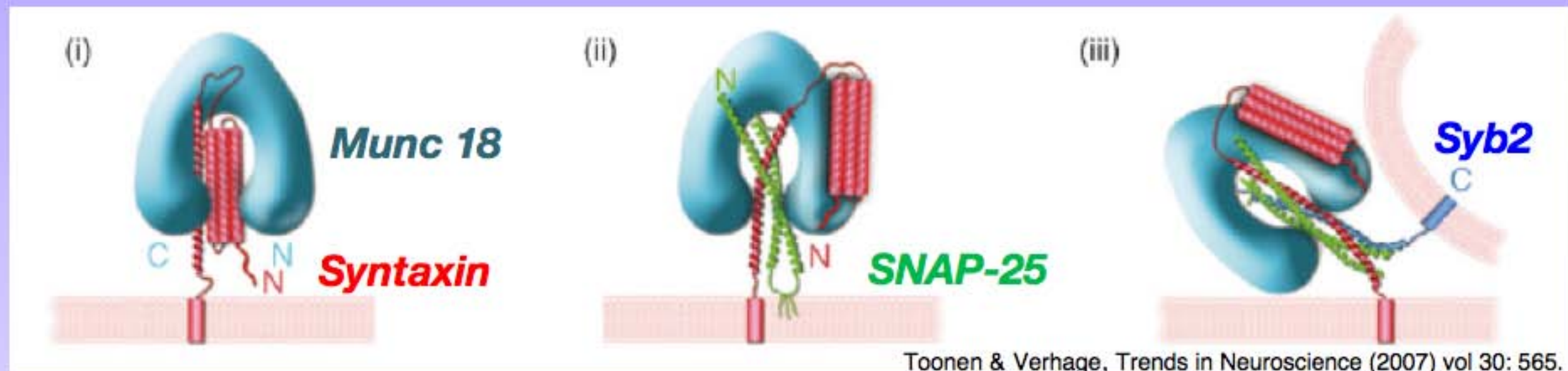


VOLUME 15 NUMBER 7 JULY 2008 NATURE STRUCTURAL & MOLECULAR BIOLOGY

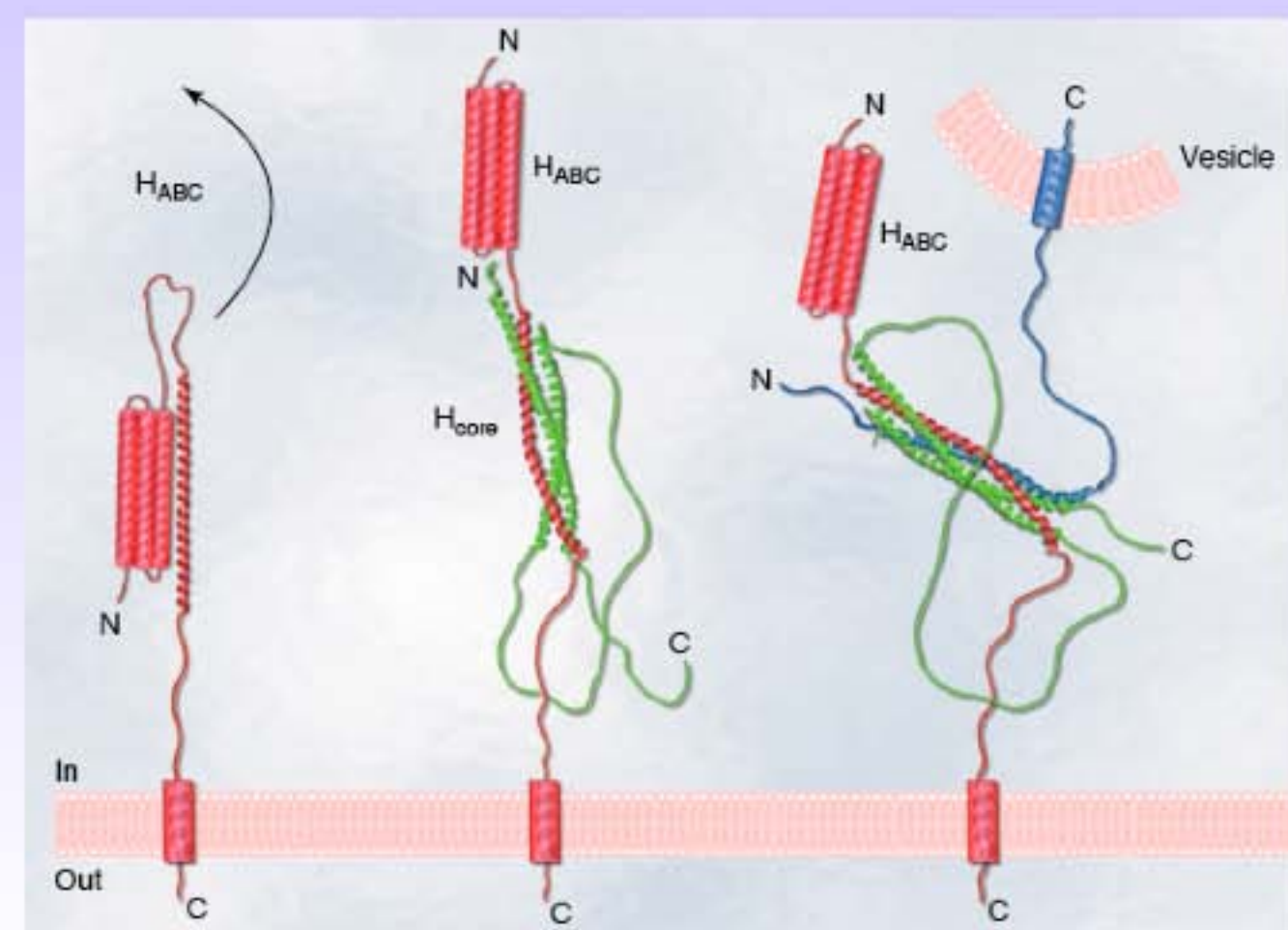
Munc 18 lie la syntaxine 1 ainsi que le complexe SNARE et promeut son assemblage en introduisant une vérification des couples de SNAREs (Peng & Gallwitz 2002).

Regulation par Munc18

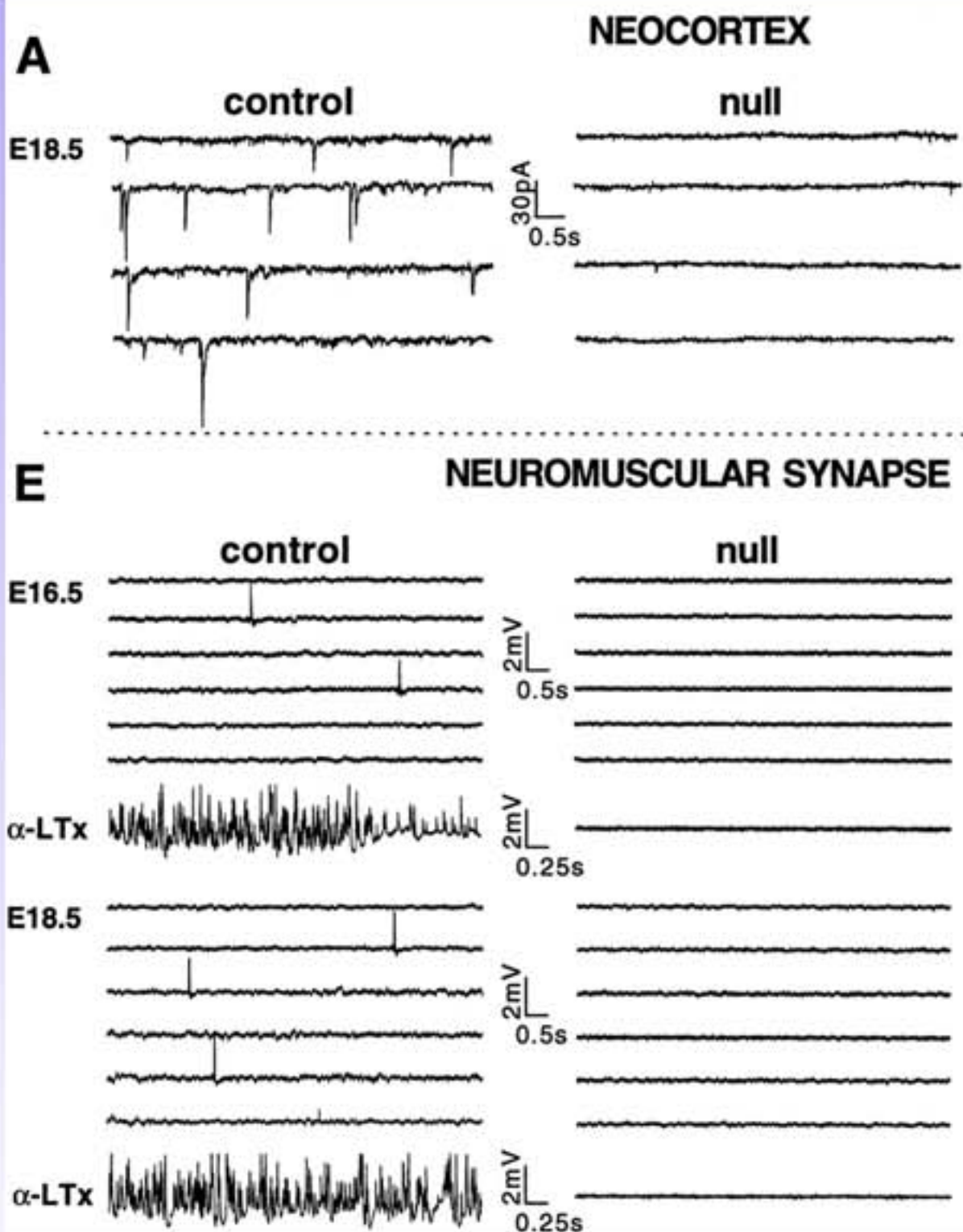
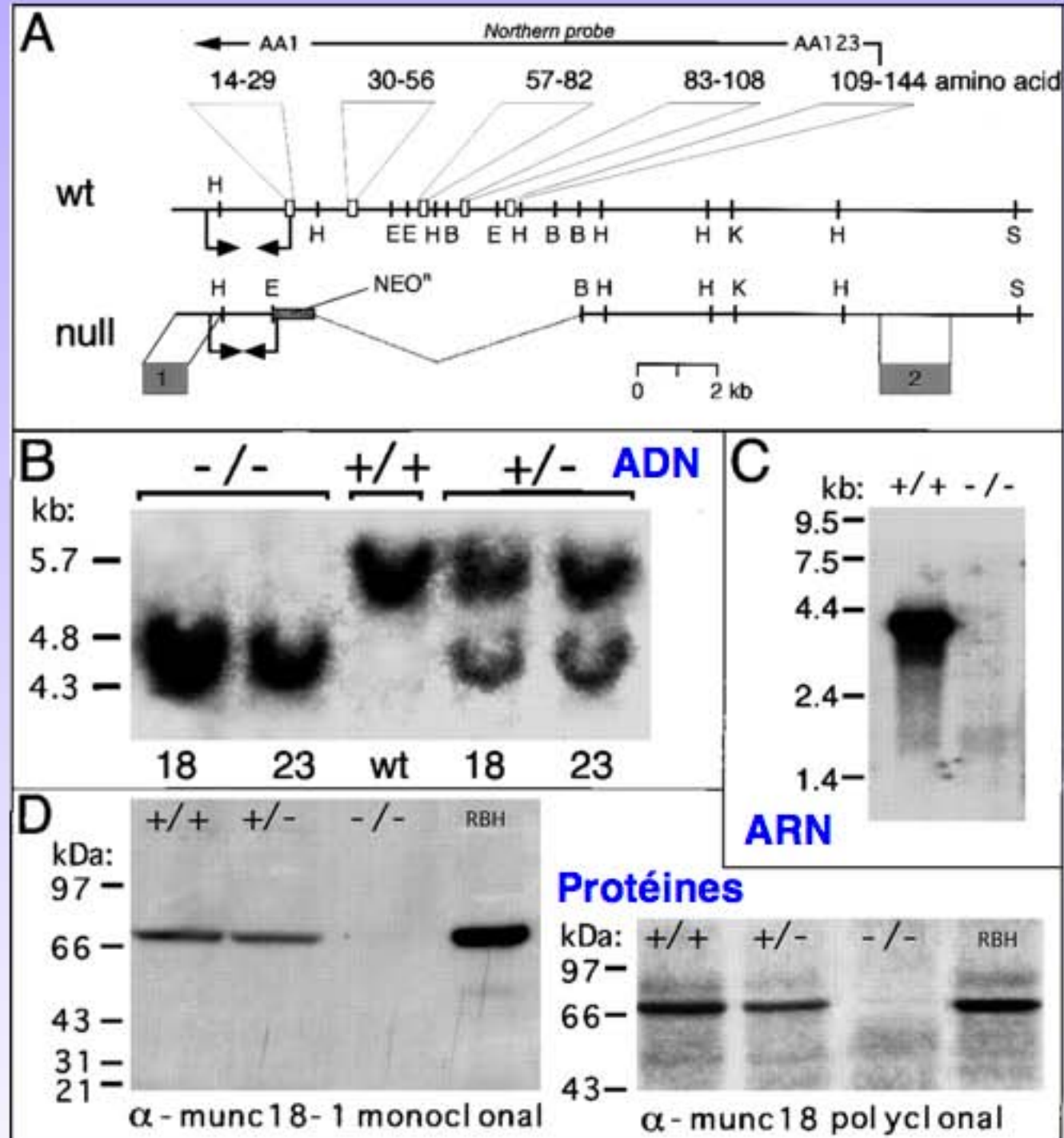
SM proteins = Sec1 /Munc 18: découverte sur un screen génétique (levure, c.elegans) pour des défauts dans le trafic mBR et la sécrétion. Ont un rôle essentiel dans la fusion.



Ouverture de la syntaxine

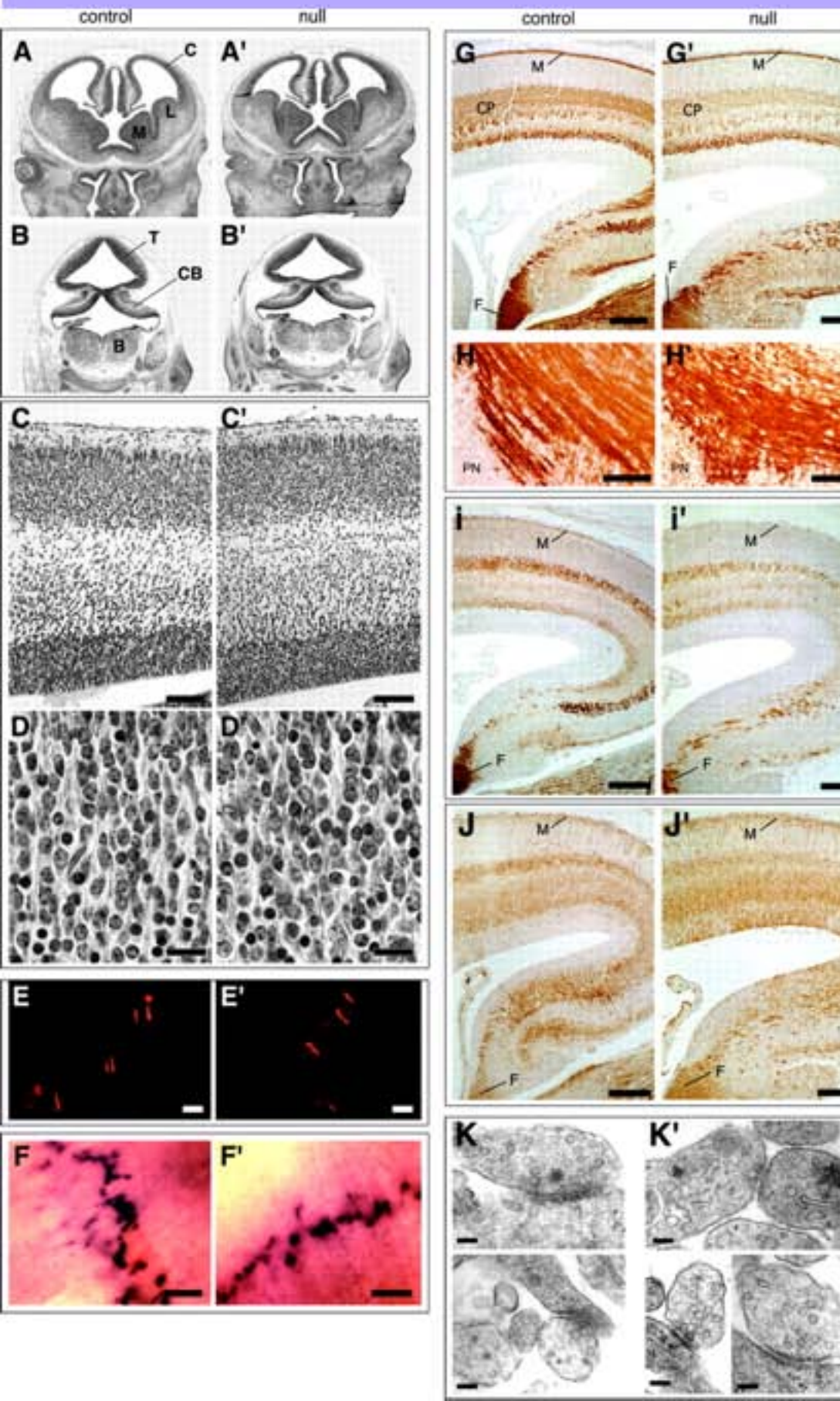


Munc18 KO



Les synapses sont totalement silencieuses:
pas de libération de neurotransmetteur.

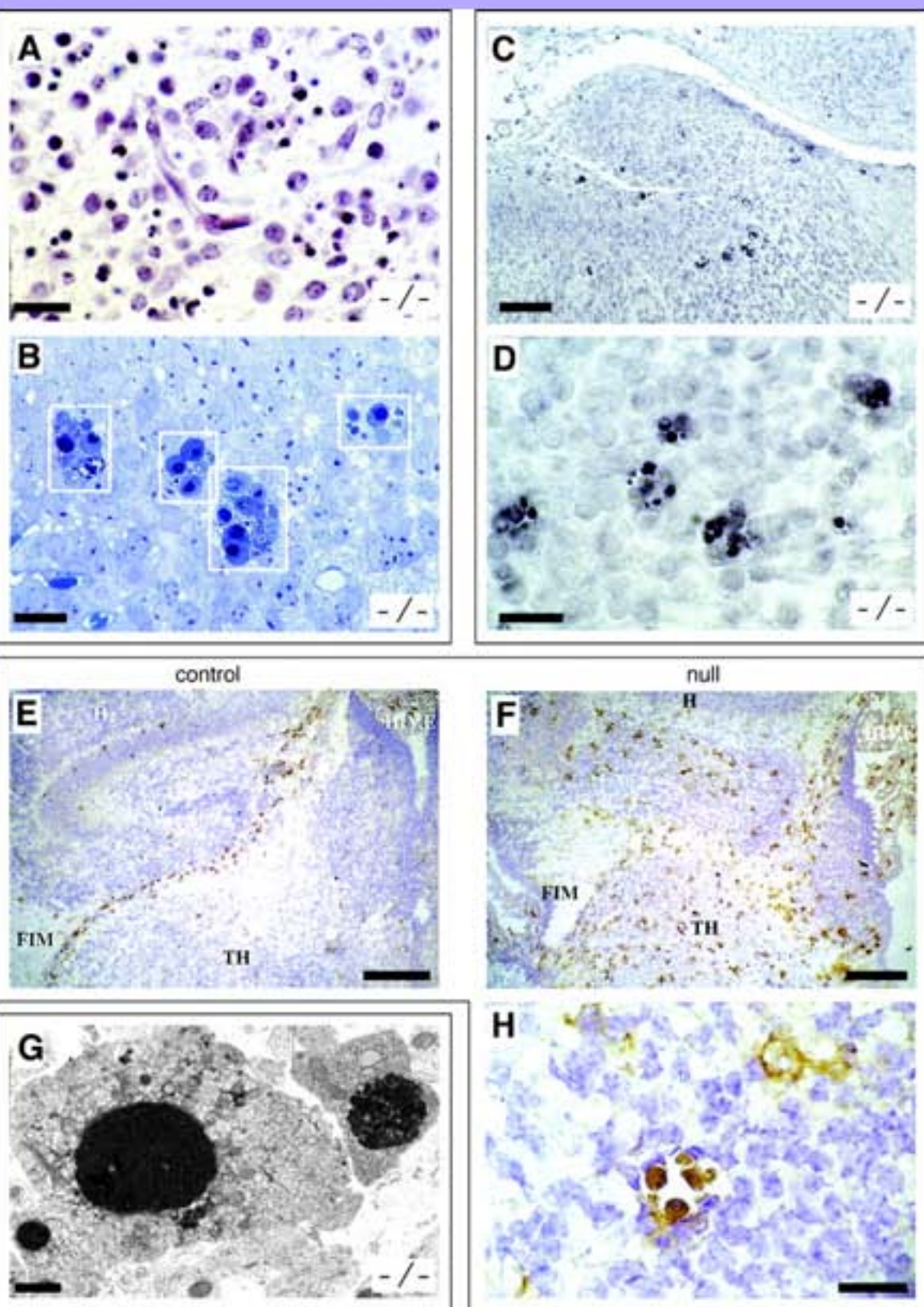
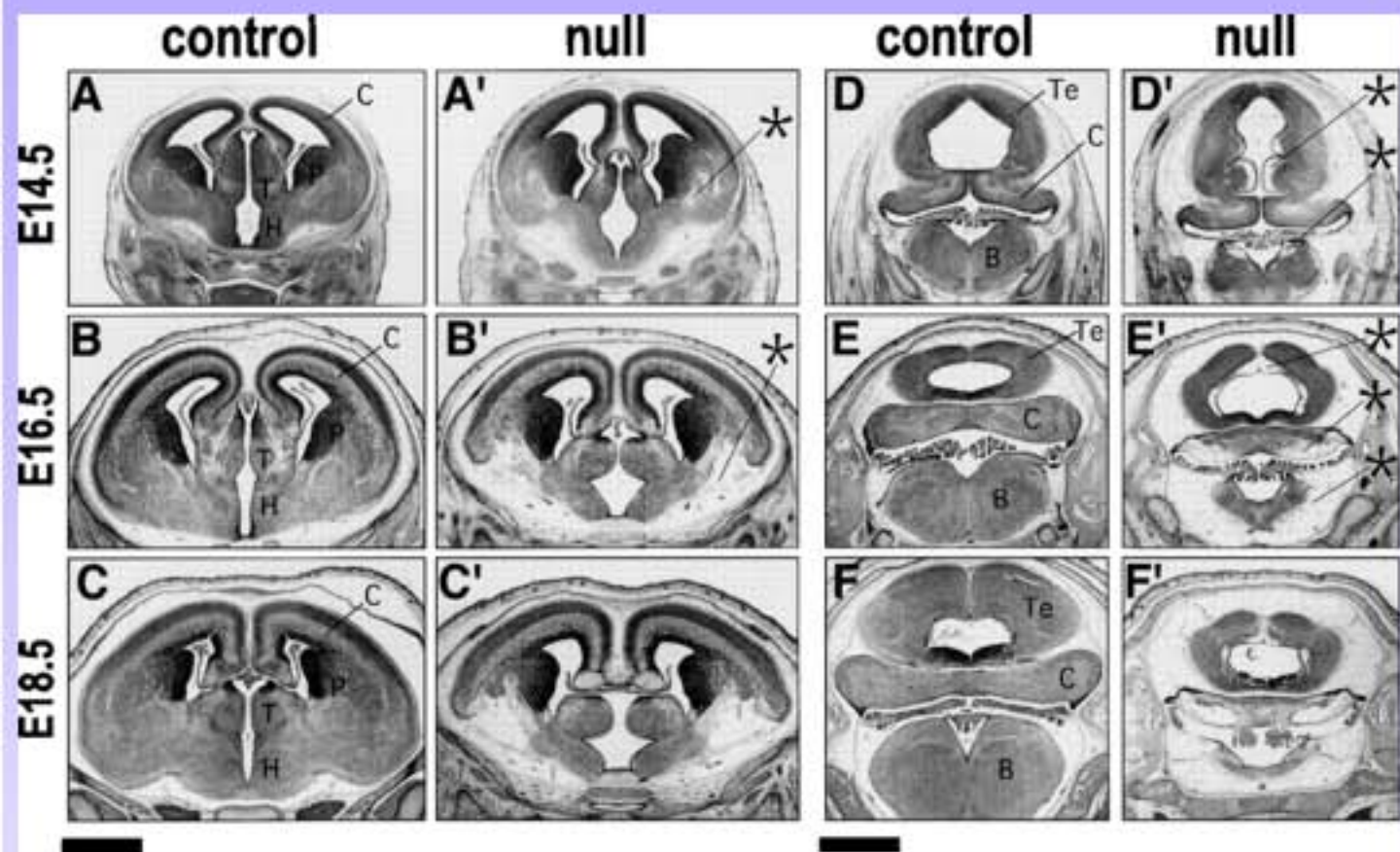
Munc18 KO



Matthijs Verhage

Le développement cérébral est normal même en absence de sécrétion de neurotransmetteur. On constate qu'on a bien: la formation de structures en couches, les tractus de fibres sont présents, les synapses sont morphologiquement définies.

Munc18 KO

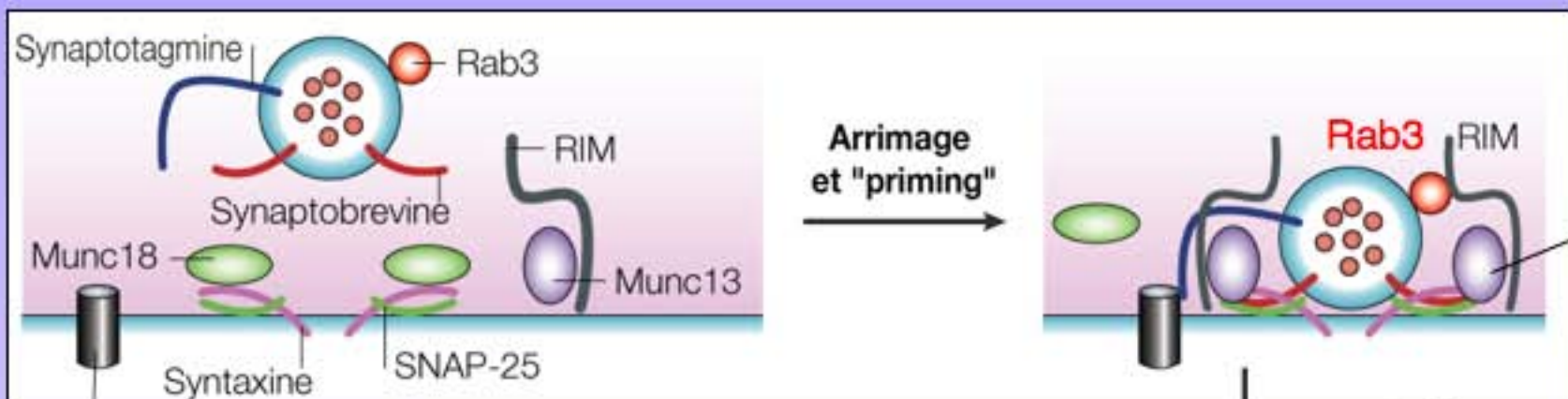
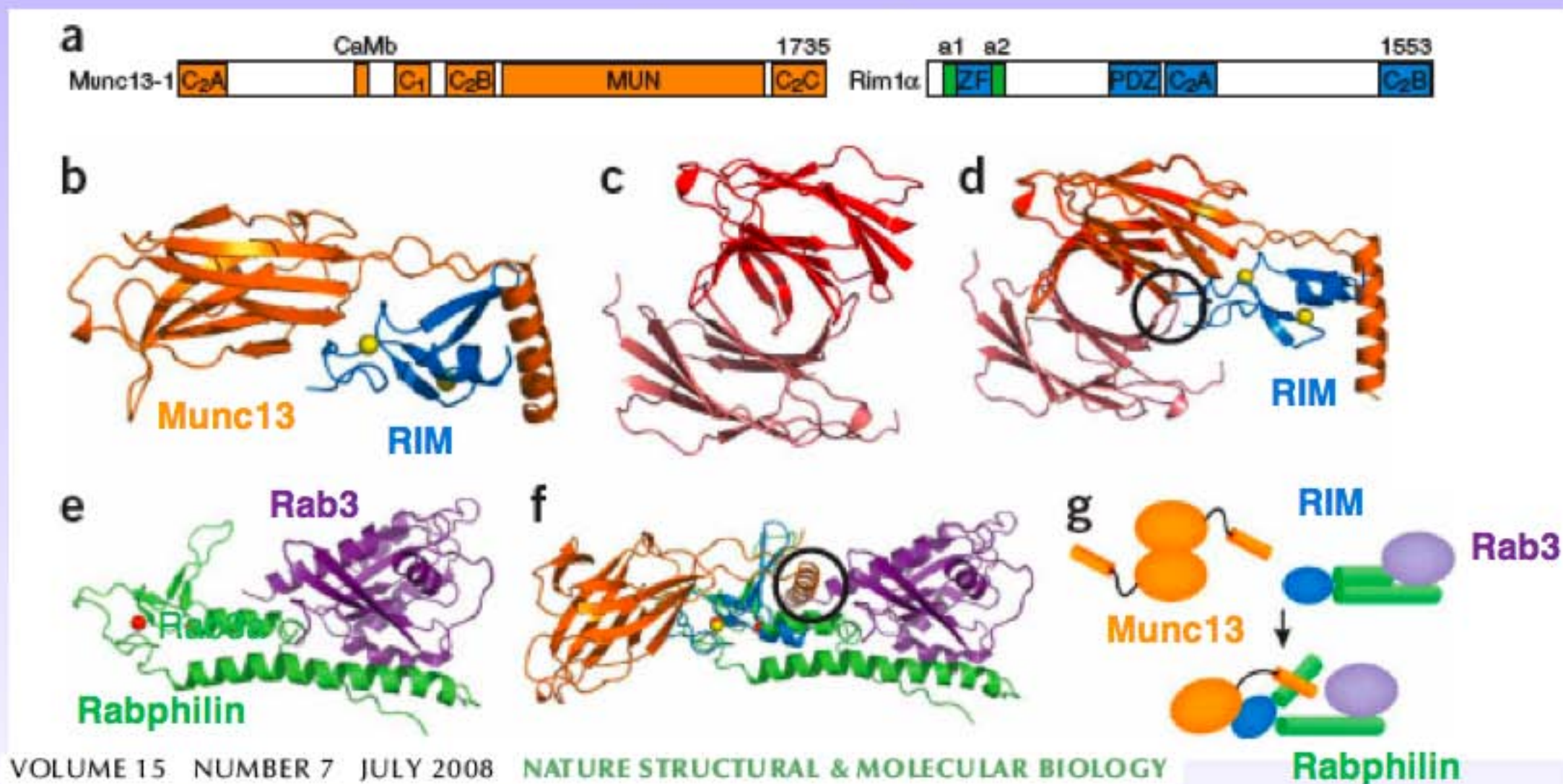


Par contre, après formation du système, les neurones subissent une apoptose massive suivi d'une dégénérescence massive (marquée d'une *).

Conclusion: La connectivité synaptique ne dépend pas de la sécrétion de NT, mais la maintenance du système nécessite la sécrétion de neurotransmetteurs.

Apoptose massive après la synaptogenèse.

Régulation par Munc13

**Munc13**

Munc 13 est essentiel pour le priming. Le double KO Munc 13/Syntaxine est « sauvé » par la présence de syntaxine ouverte: d'où l'hypothèse que munc13 permettrait l'ouverture de la syntaxine '(Brunger 2005). Formation d'un complexe tripartite avec Munc13, Rab3a et Rim.



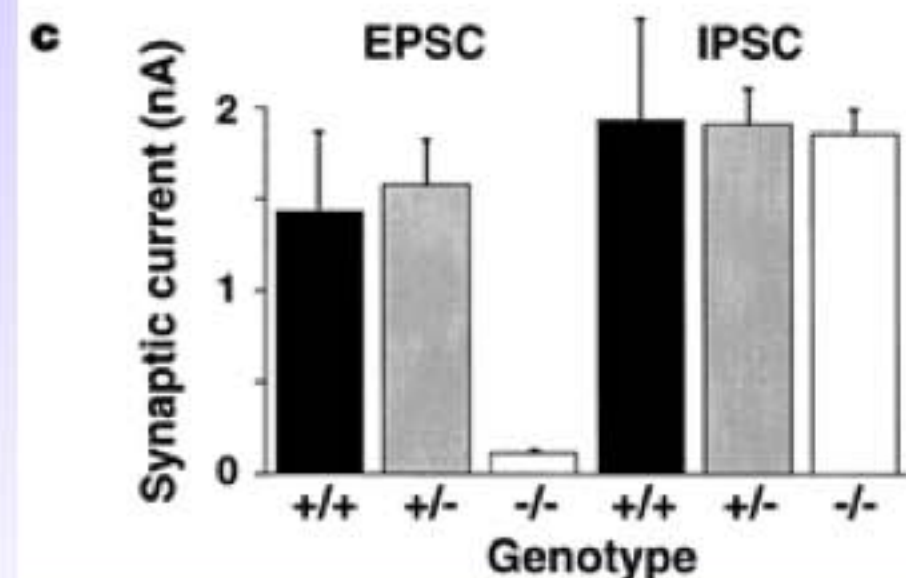
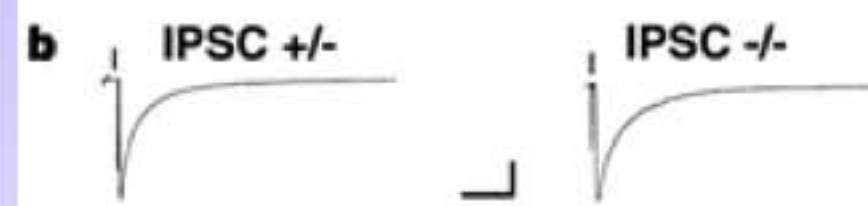
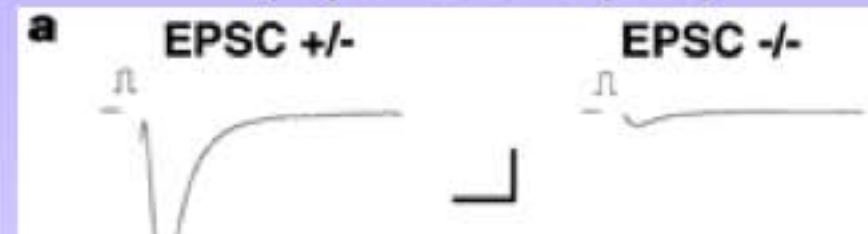
Nils Brose

Munc13 KO

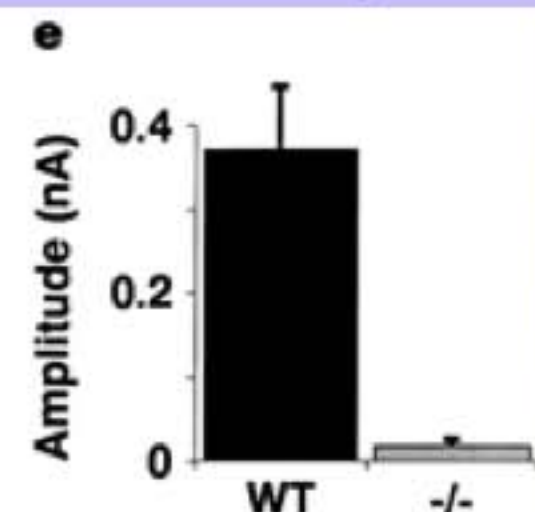
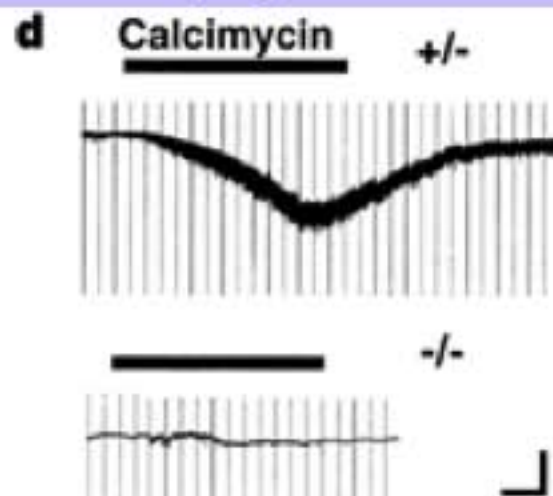
Munc13-1 is essential for fusion competence of glutamatergic synaptic vesicles.

Augustin I, Rosenmund C, Südhof TC, Brose N. Nature. 1999; 400(6743):457-61.

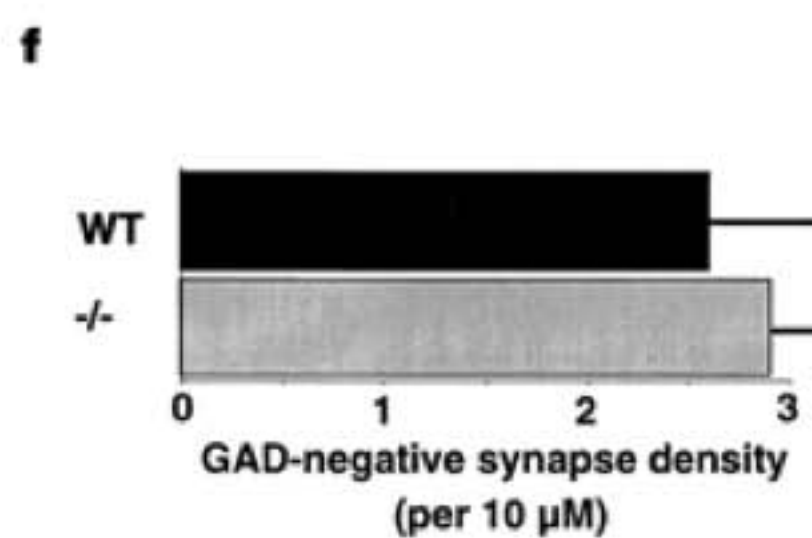
**Stimulation par potentiel d'action
(réponse évoquée)**



**Stimulation par ionophore calcique
(augmente le calcium intracellulaire)**

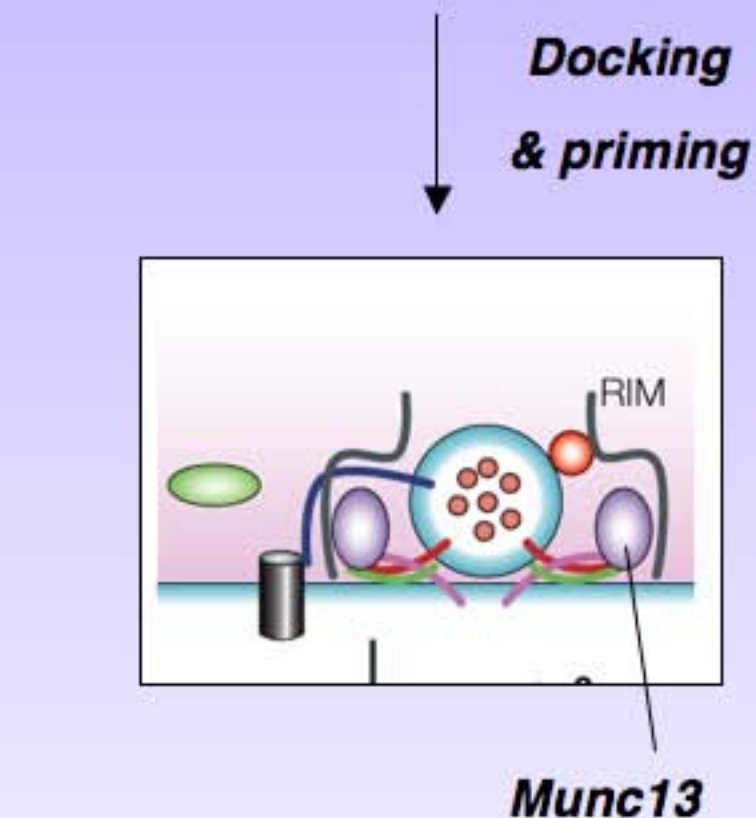
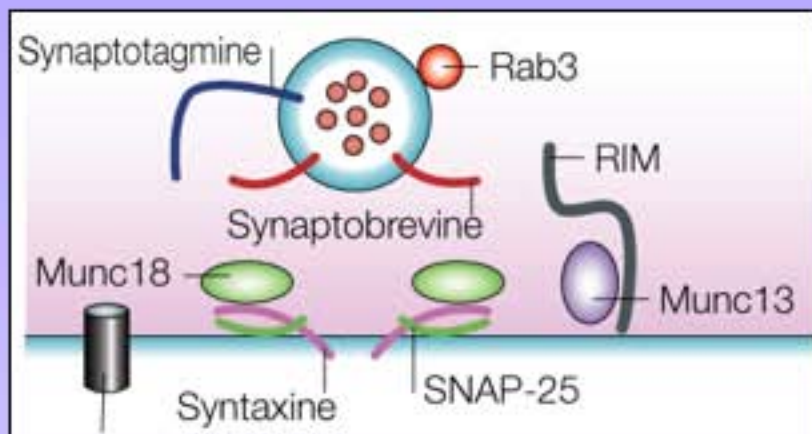
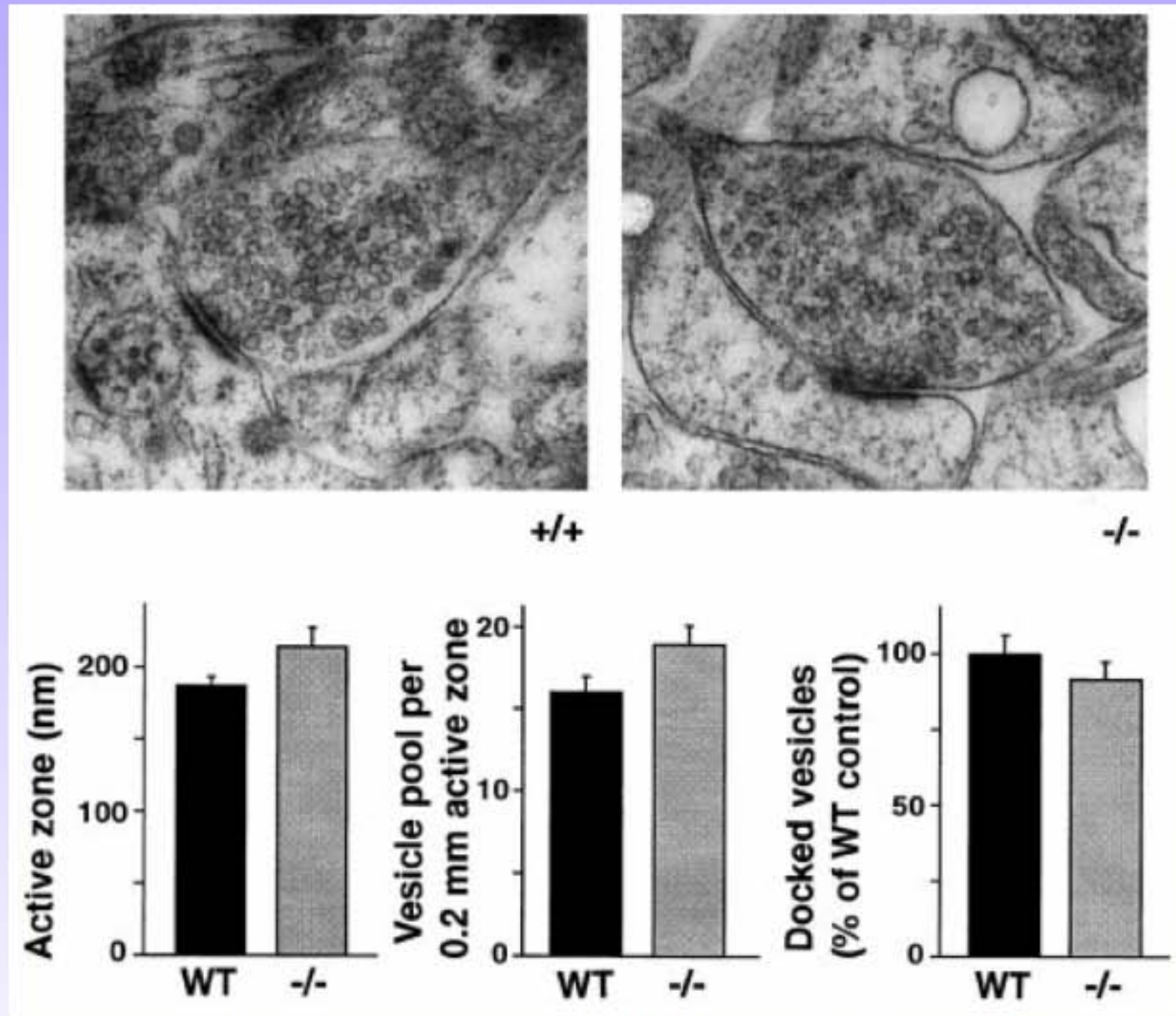


Calcimycin:
Ionophore calcique
qui déclenche la
libération des NT.



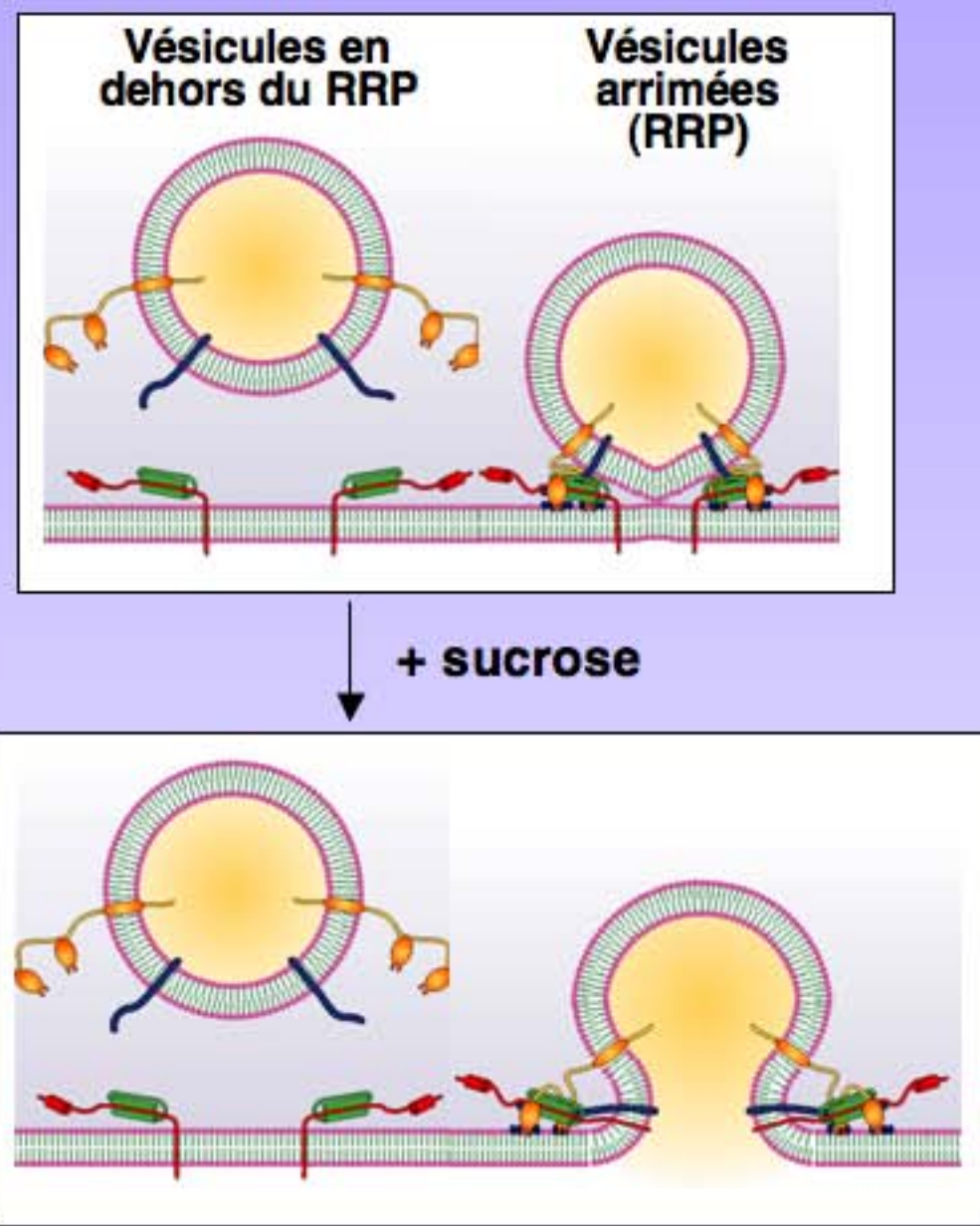
La libération des NT est bloquée dans les synapses glutamatergiques: on ne peut ni la déclencher par des potentiels d'action, ni par des ionophores calciques. Les synapses inhibitrices ne sont pas atteintes.

Munc13 KO



Les neurones d'hippocampe de souris KO Munc13-1 forment des synapses normales au niveau ultra structurales. En l'absence de munc13, la formation du RRP est compromise, le priming est donc altéré dans les synapses excitatrices. Les synapses inhibitrices ne sont pas atteintes.

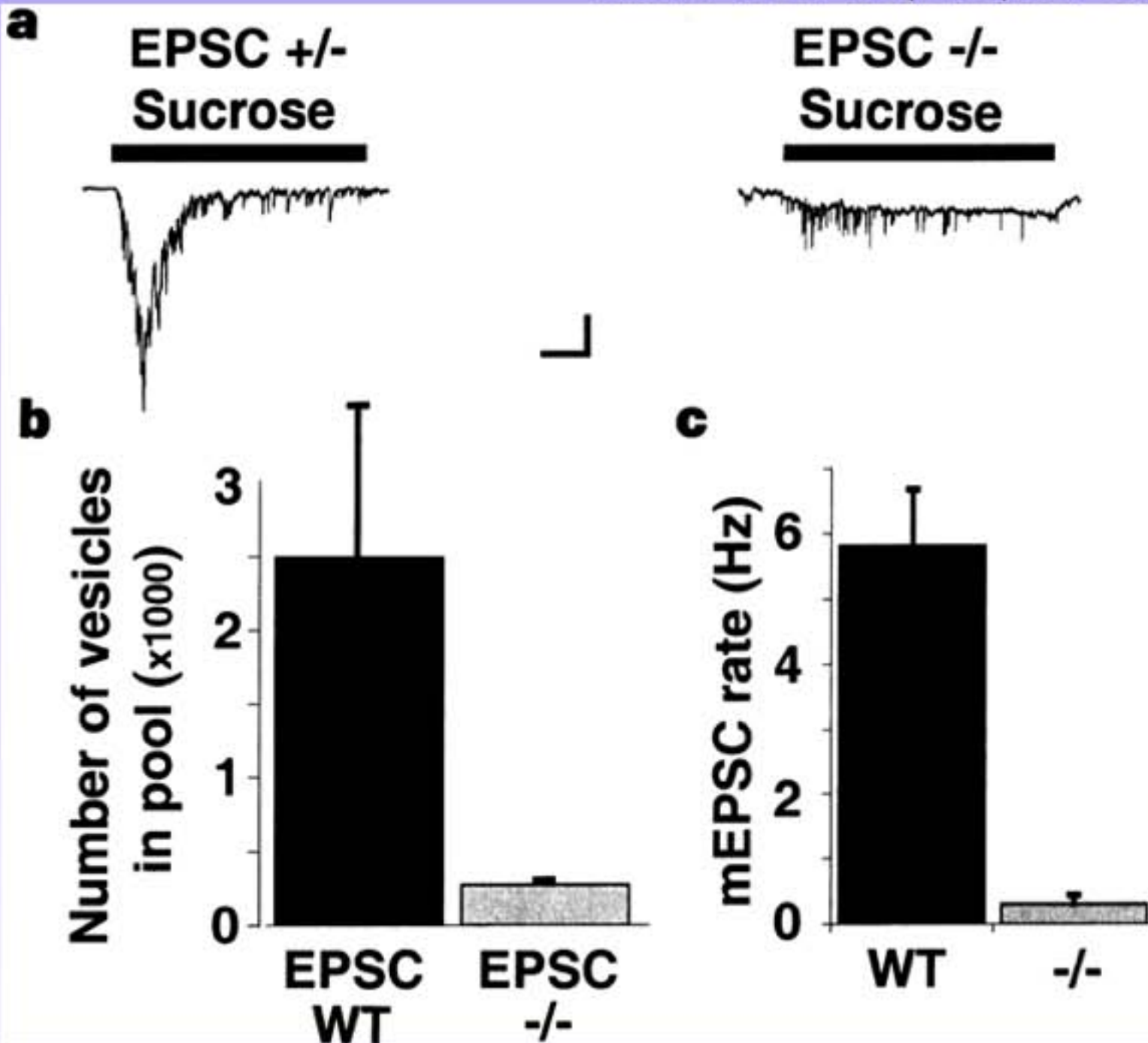
Munc13 KO



Seules les vésicules déjà arrimées (appartenant au RRP) fusionnent de manière Ca^{2+} indépendante. Permet d'évaluer le nombre de vésicules dans le RRP.

Cf. Rosenmund, C., and Stevens, C. F. (1996)
Neuron 16, 1197–1207 & Lonart and Sudhof (2000)
, JBC 275 : 27703-27707.

Nature. 1999: 400(6743):457-61.



La libération ne peut pas être déclenchée par le sucre: le RRP est donc très limité. En l'absence de munc13, le priming est donc altéré dans les synapses excitatrices.

Régulation de l'exocytose

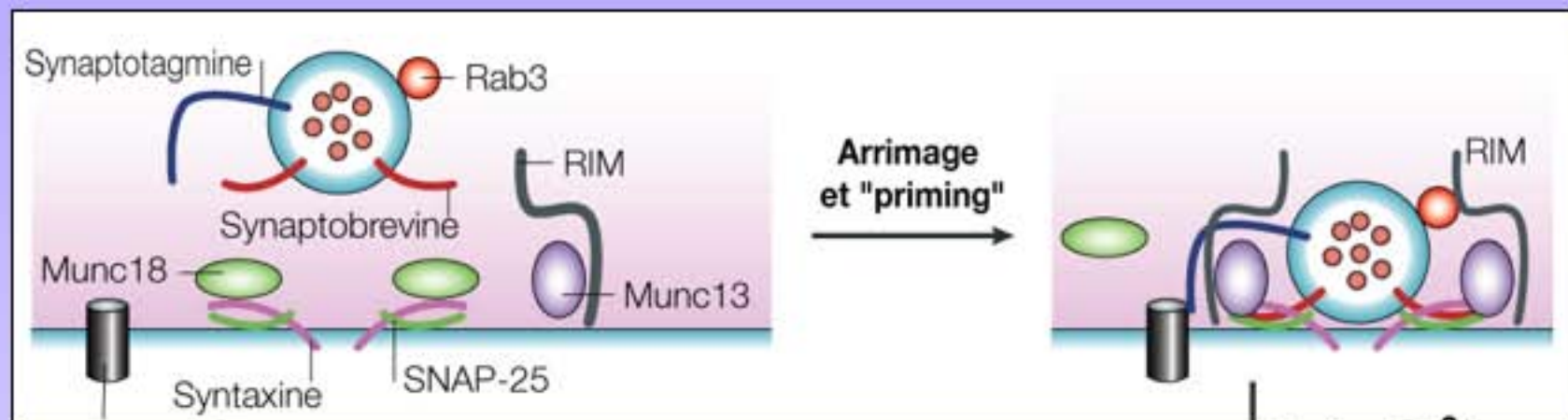
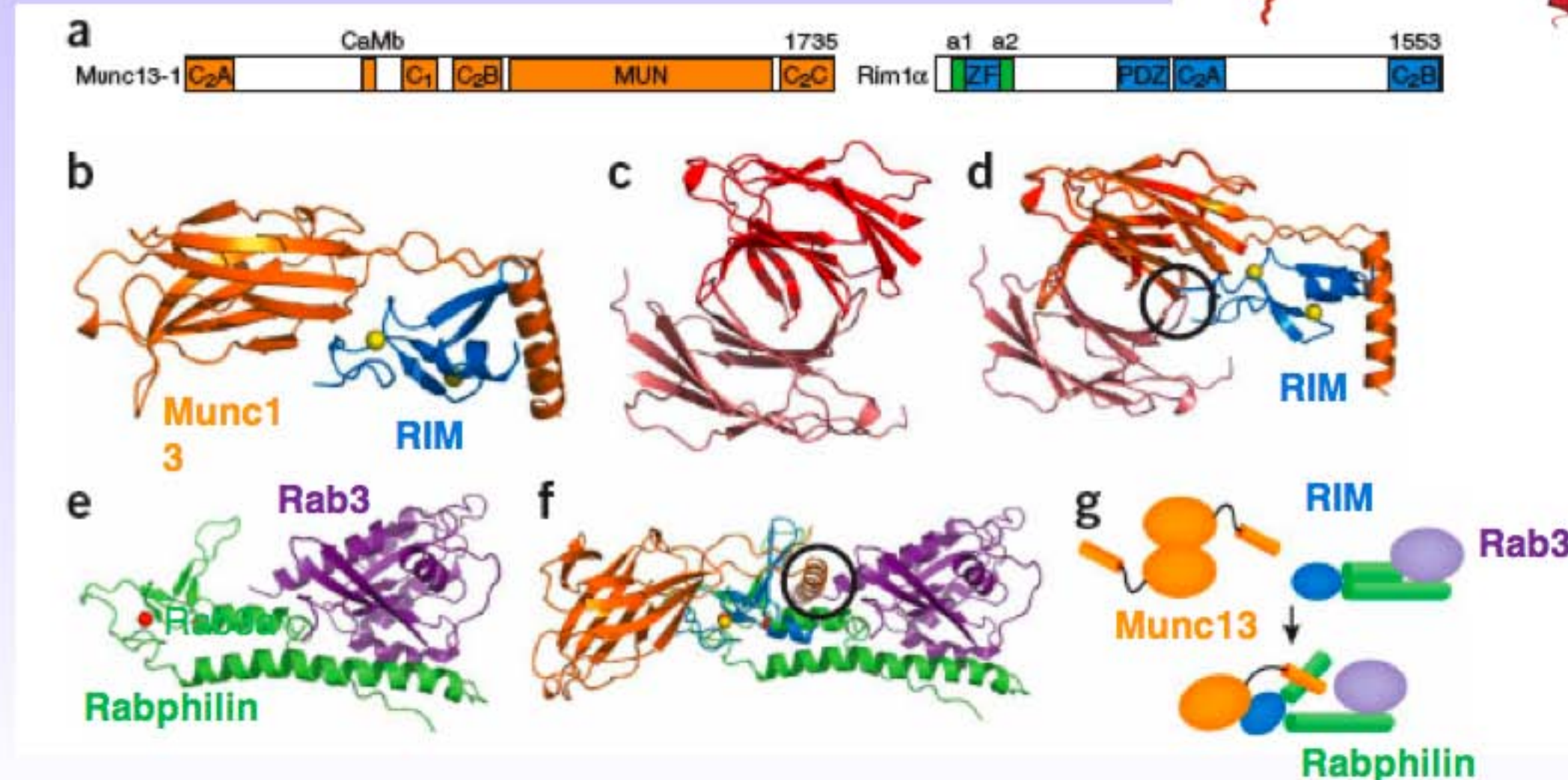
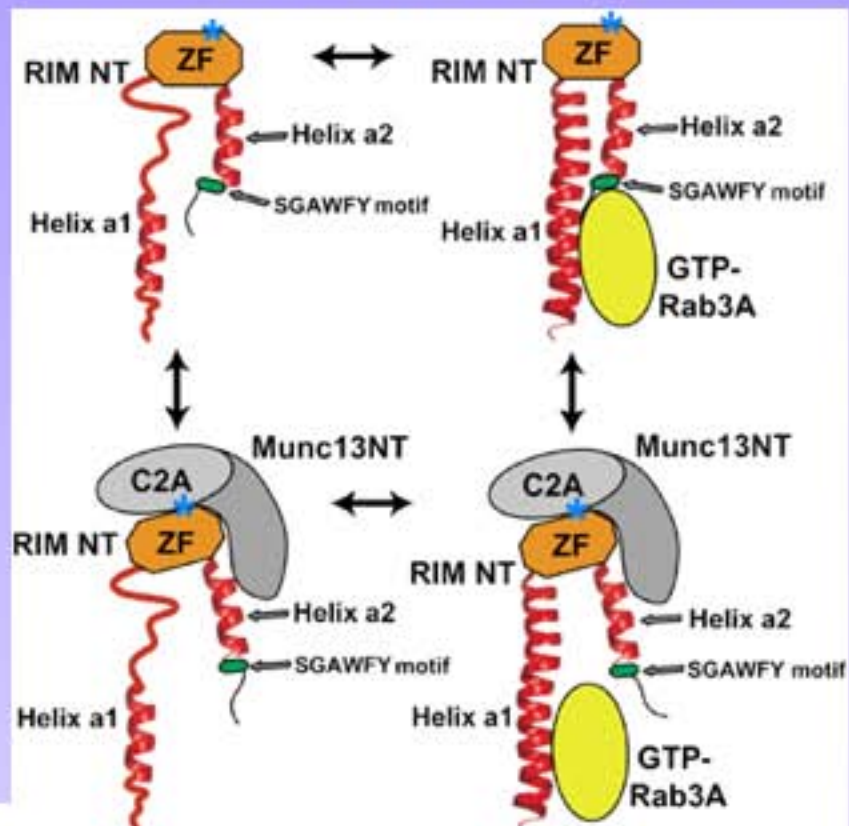
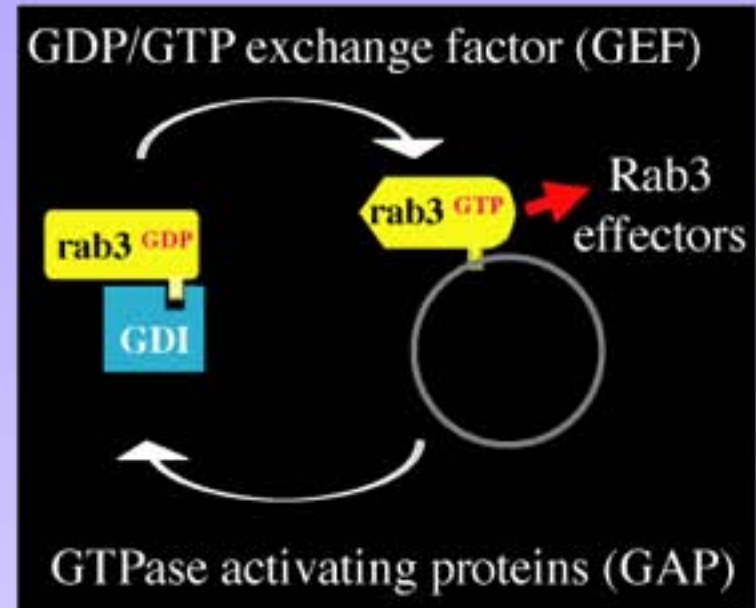
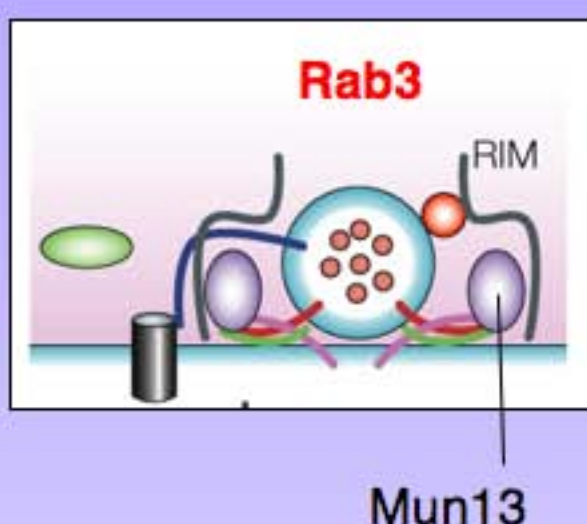


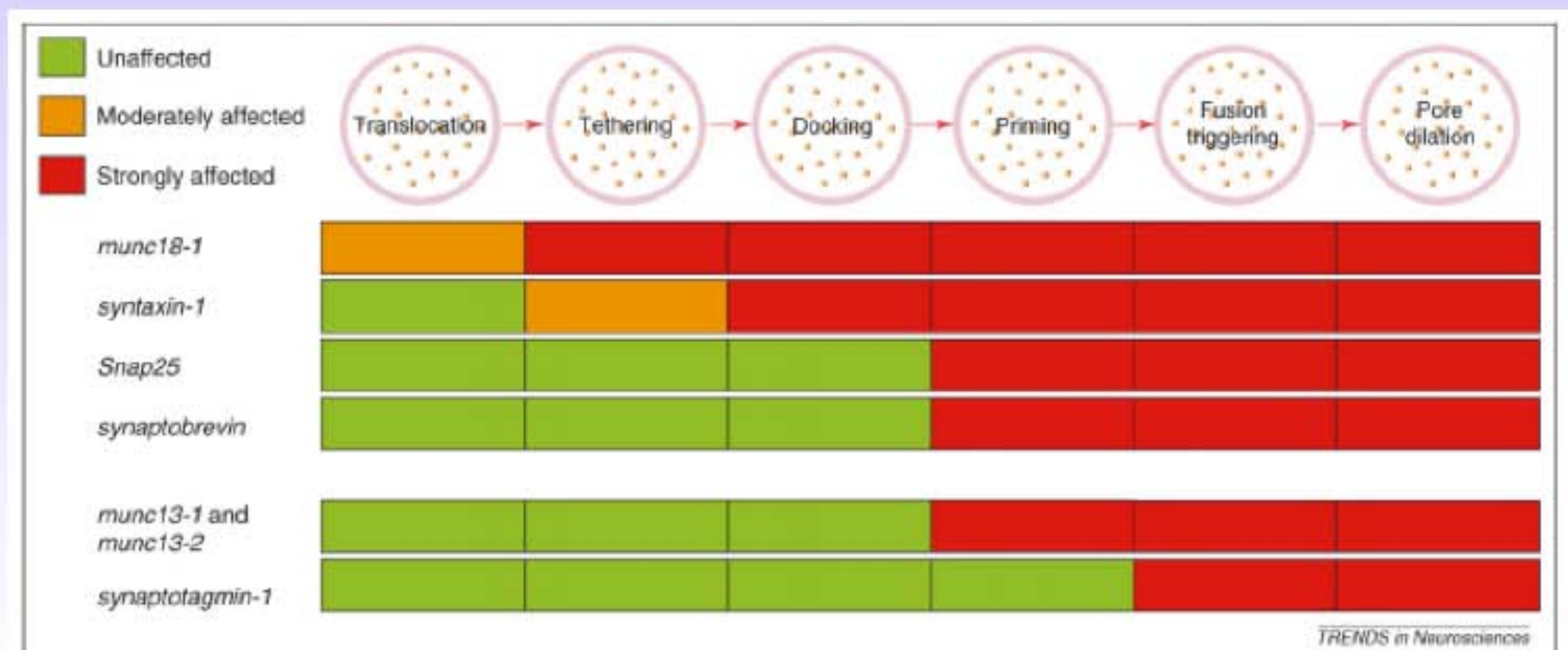
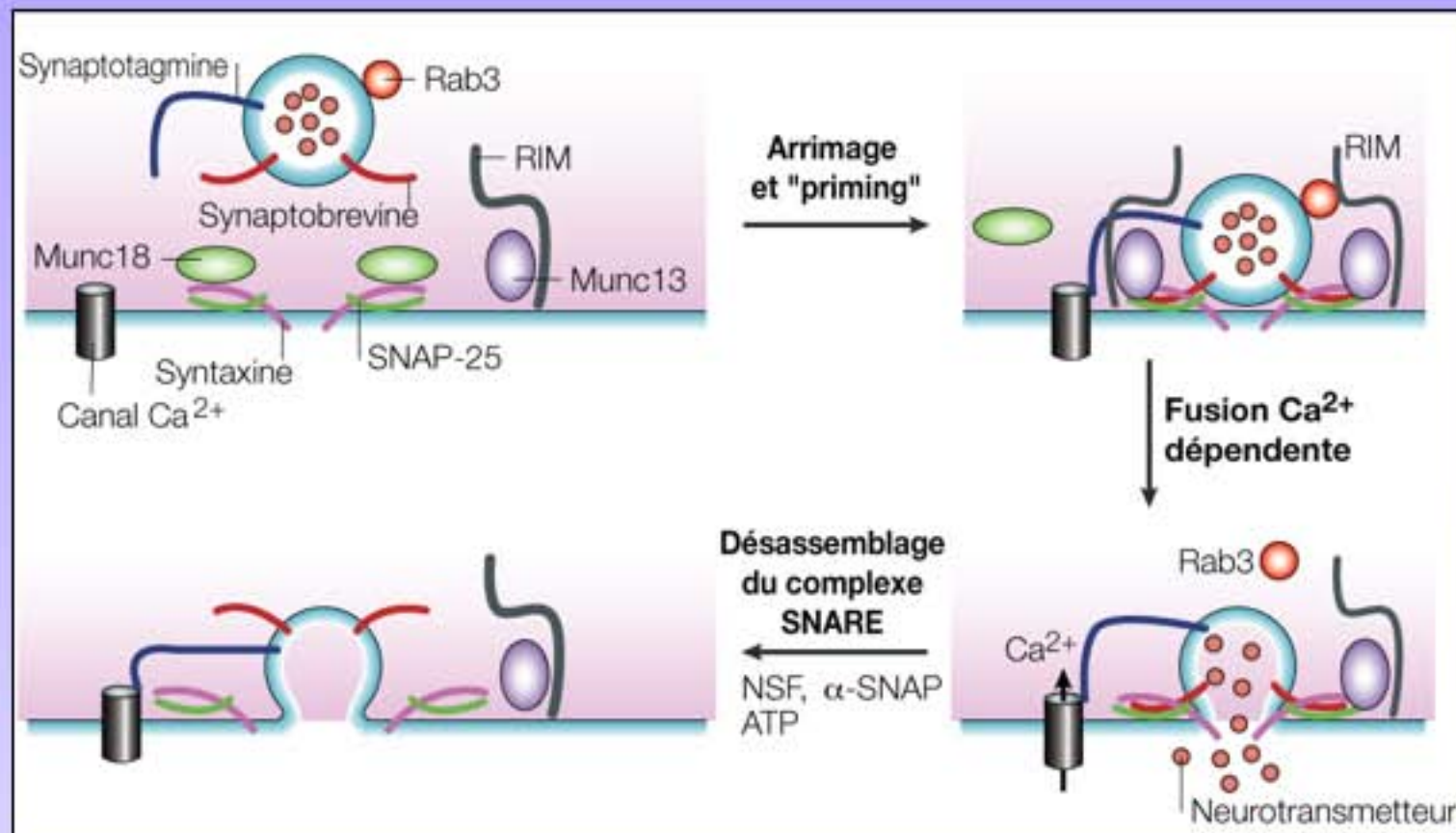
Figure 2. Overview of the steps in the secretory vesicle cycle that are affected by deletion of the respective genes. Deletion of *munc18-1* affects all steps in the cascade. Deletion of the SNARE genes (reviewed in [1]) results in priming defects with *syntaxin-1* sharing a more upstream (docking) phenotype with *Munc18-1* [25]. Deletion of *munc13-1* and *munc13-2* [68] and *synaptotagmin-1* [72] does not affect vesicle harboring at the membrane, but results in priming and fusion triggering defects, respectively.

Régulation par la GTPase Rab3



Formation d'un complexe tripartite avec Munc13, Rab3a et Rim.

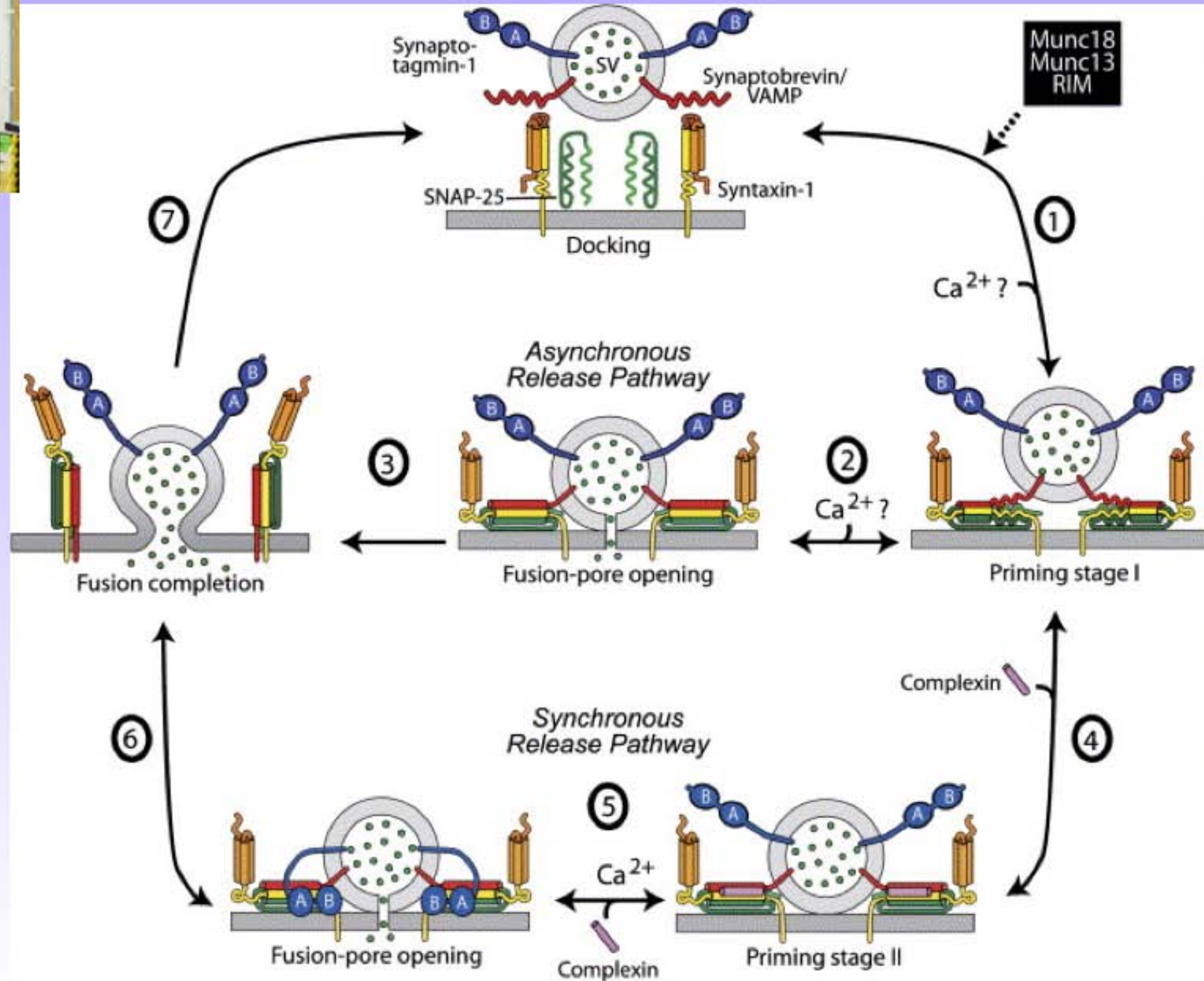
Régulation de l'exocytose



Régulation par la complexine



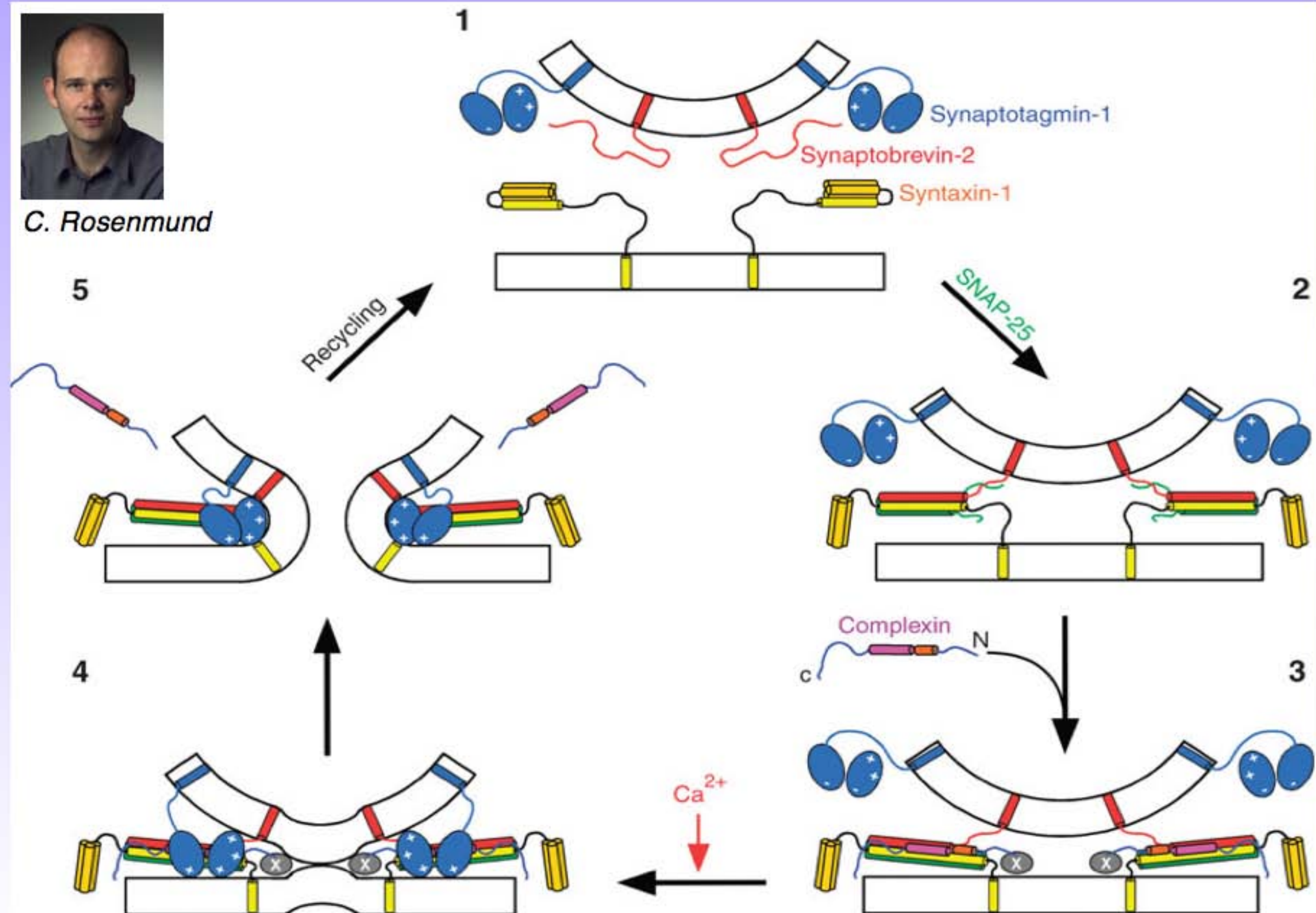
T. Sudhof



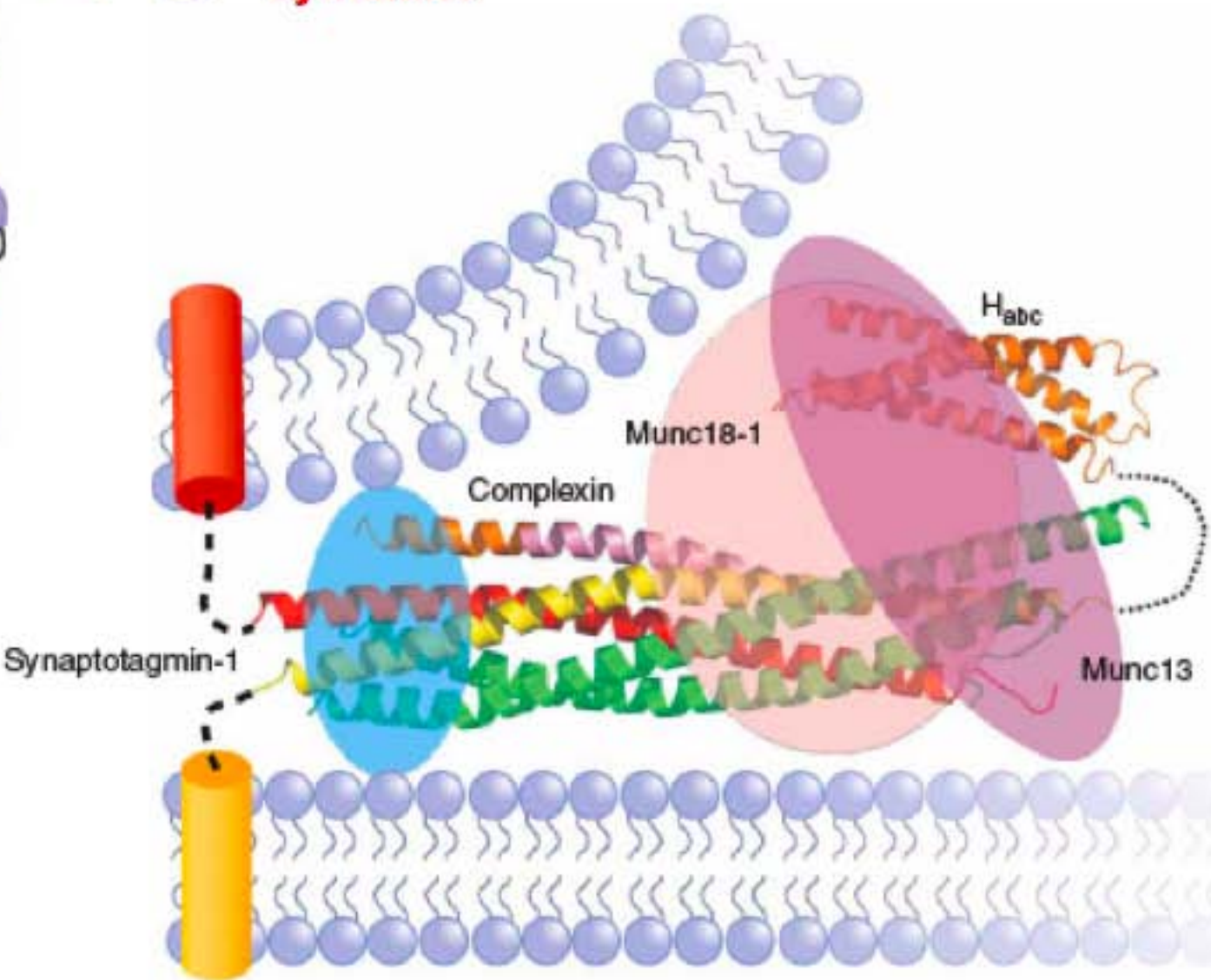
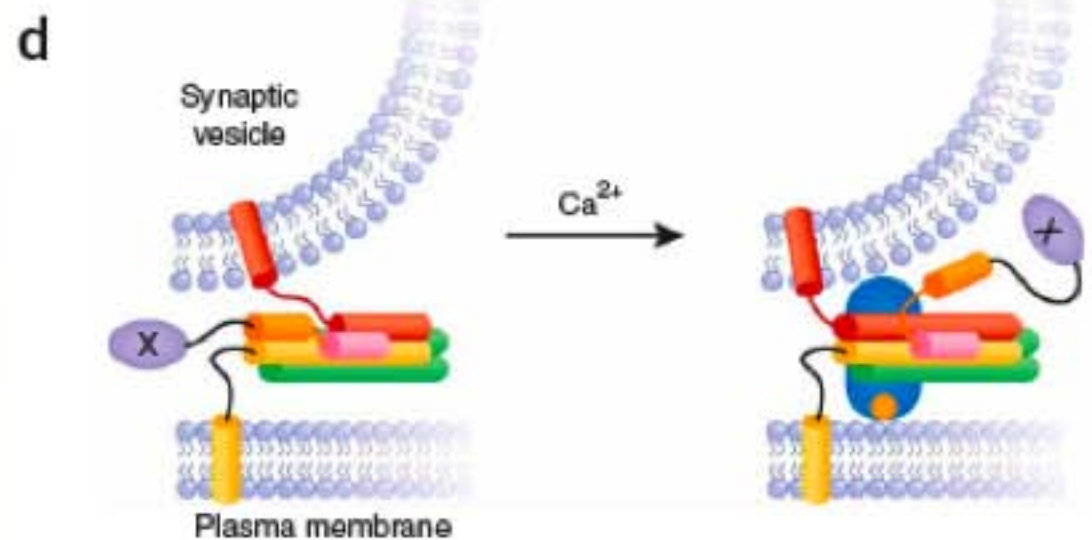
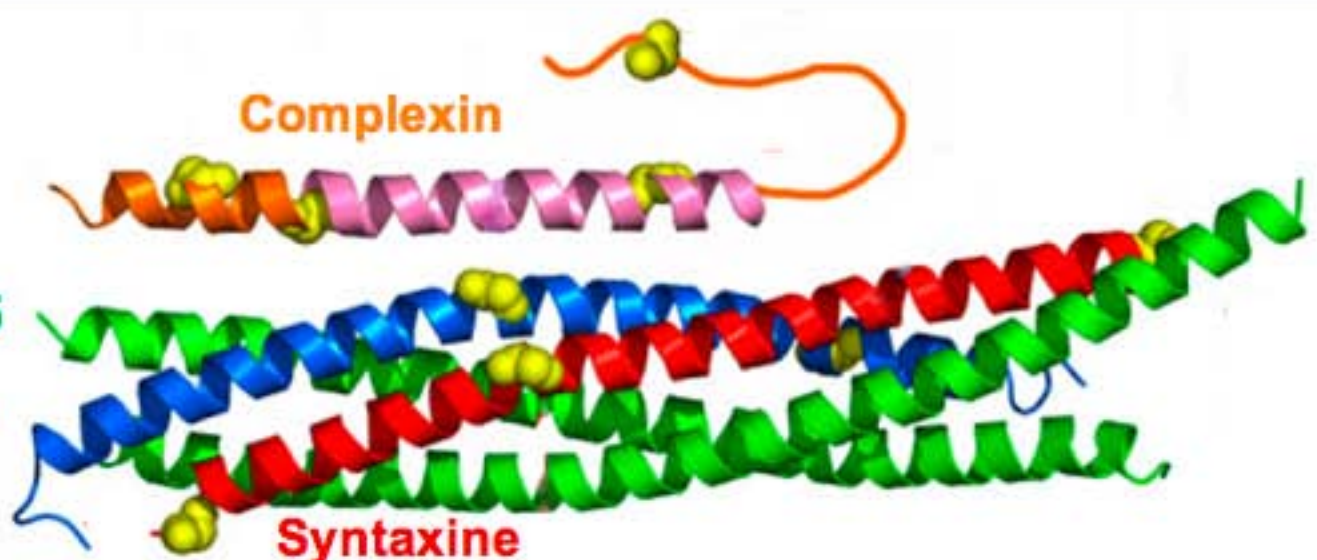
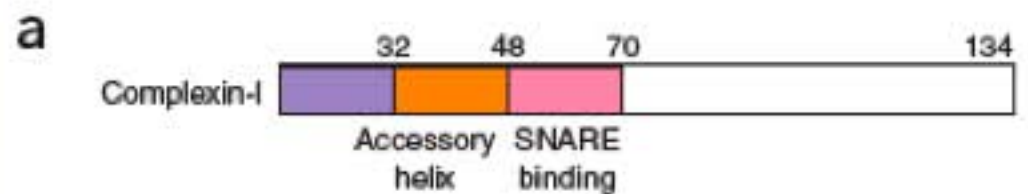
Régulation par la complexine



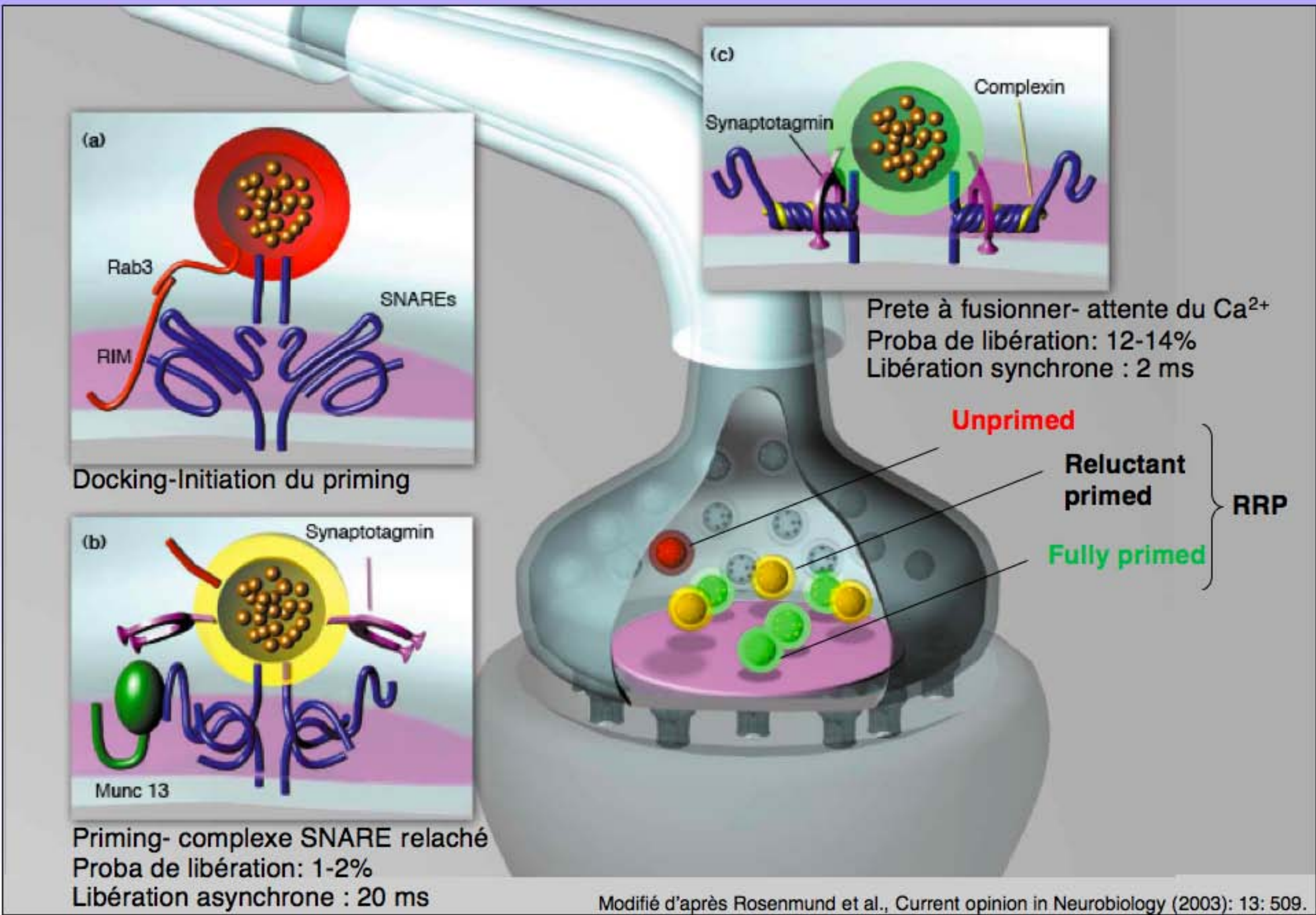
C. Rosenmund



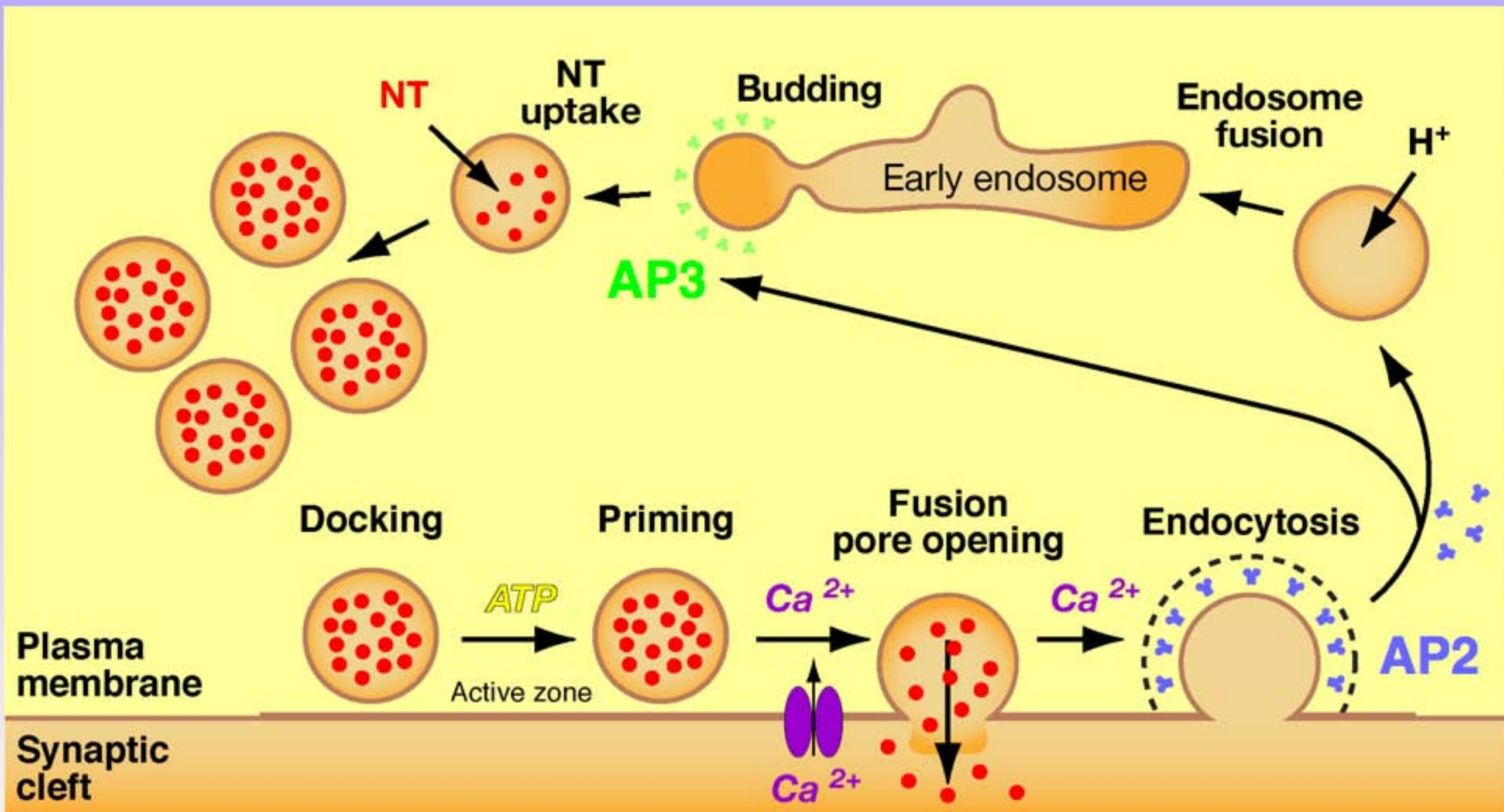
Régulation par la complexine



Régulation de l'exocytose



SV recycling



AP3 est un complexe adaptateur heterotétramerique



Functions d' AP3:

Ciblage de certaines protéines vers les:

- melanosomes,
- granules contenant les plaquettes,
- vésicules synaptiques

Sont des mutants nuls pour AP3 δ :
suppression du complexe AP3

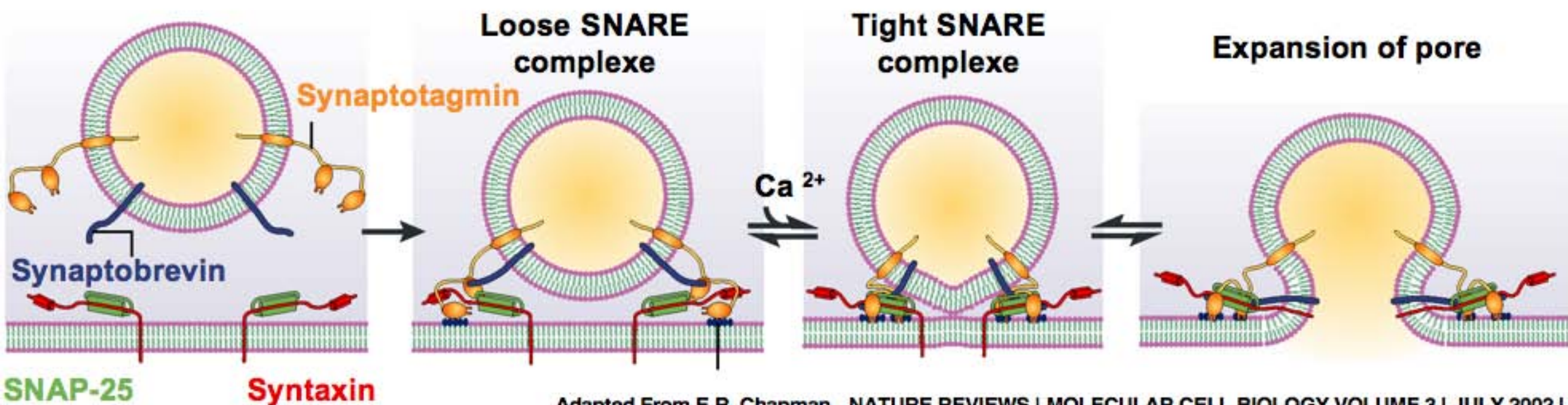
Les souris MOCHA (mh)

- décoloration des yeux et des poils
- coagulation retardée (déficience du pool des granules (plaquettes)).
- hyperactives
- rythme theta altéré dans l'electrocorticogramme (hypersynchronisation).
- crises épileptiques



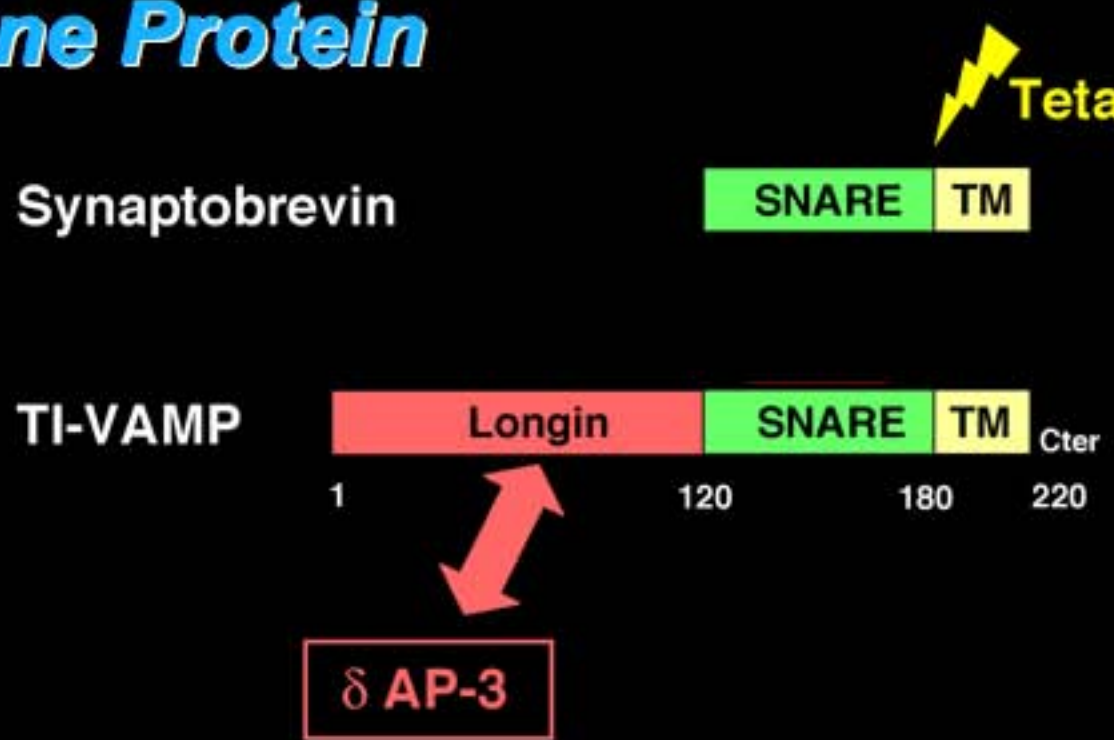
SNARE proteins AND Exocytosis

Master2 Neurosciences - Paris6 - Lydia Danglot - Complexes SNARE



TI-VAMP : Tetanus Neurotoxin-Insensitive Vesicle Associated Membrane Protein

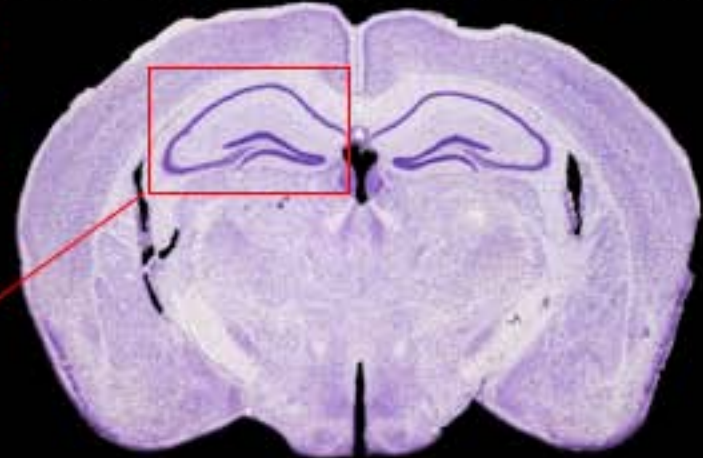
- gène lié au X
- v-SNARE de 25kDa
- ubiquitaire
- Ciblé via AP3
- Insensible aux Neurotoxines
- Presente dans les terminaisons des fibres moussues.



The mossy fiber-pyramidal cell synapse



Transversal
slice



hippocampus

CA1

Pyramidal
cell

CA3

Fimbria

Septum

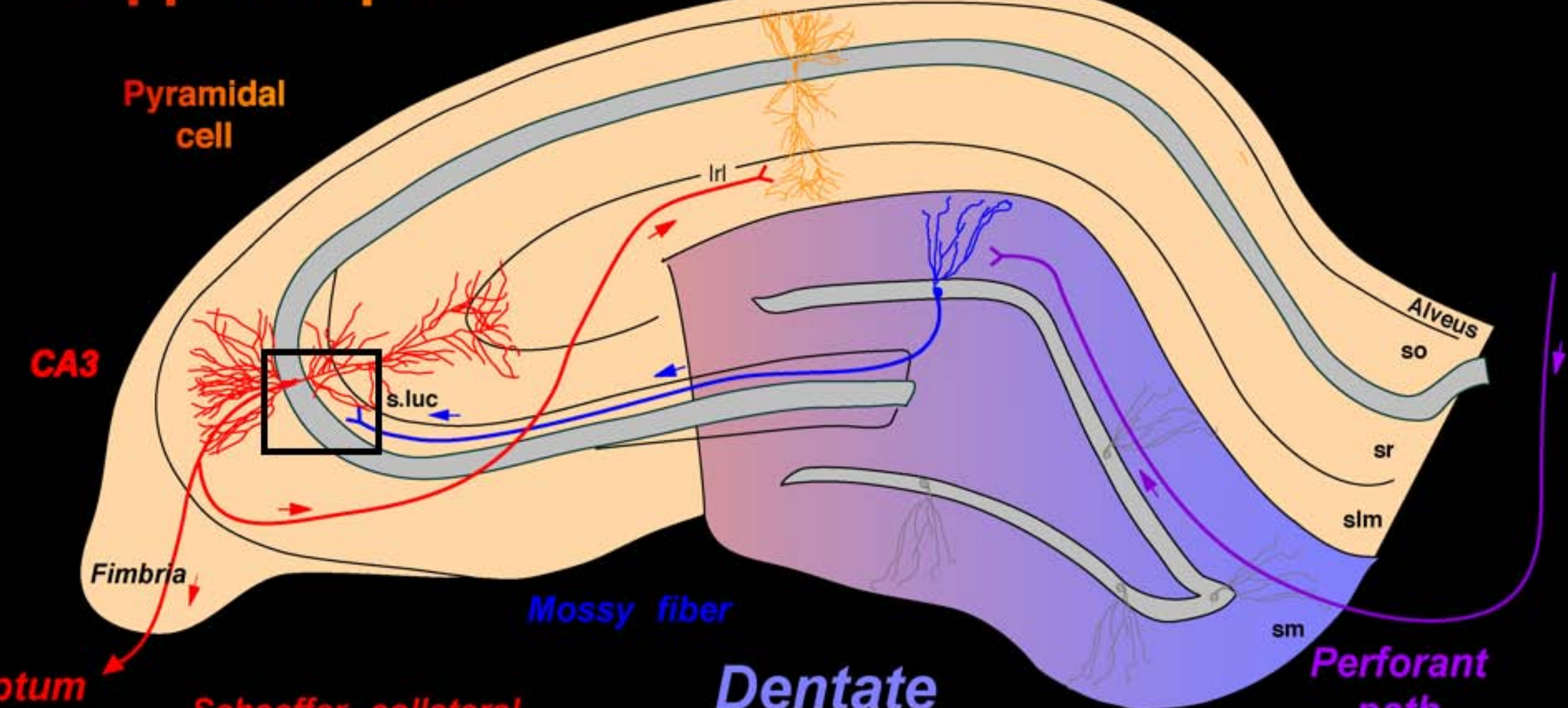
Schaeffer collateral

Mossy fiber

Dentate
gyrus

Granule cell

Perforant
path
(subiculum
entorhinal cortex)

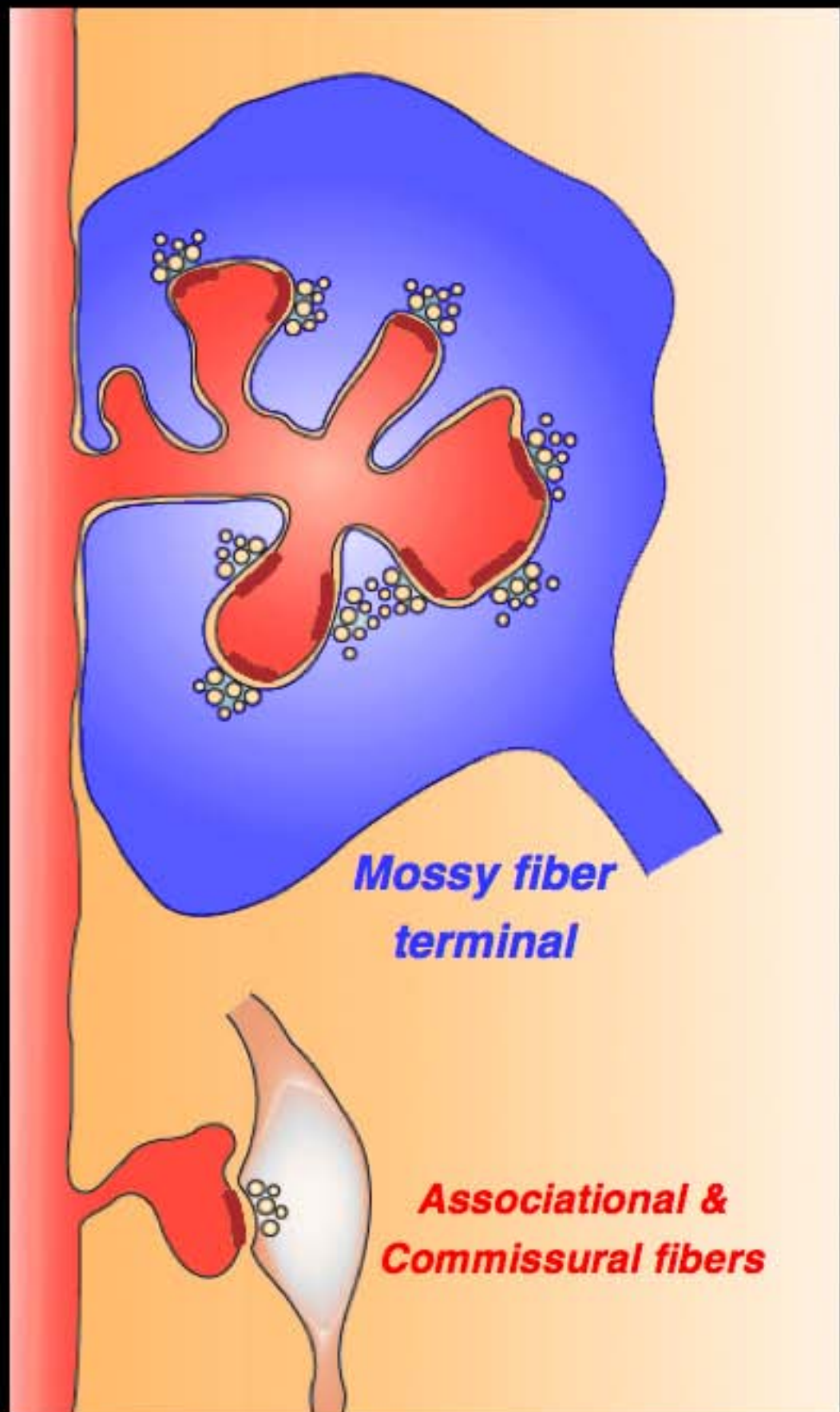


The mossy fiber-pyramidal cell synapse

**Thorny
excence**

**PYRAMIDAL
CELL**

**Classical
spine**



hippocampus

Pyramidal cell

CA3

Fimbria

Septum

Schaeffer collateral

Mossy fiber

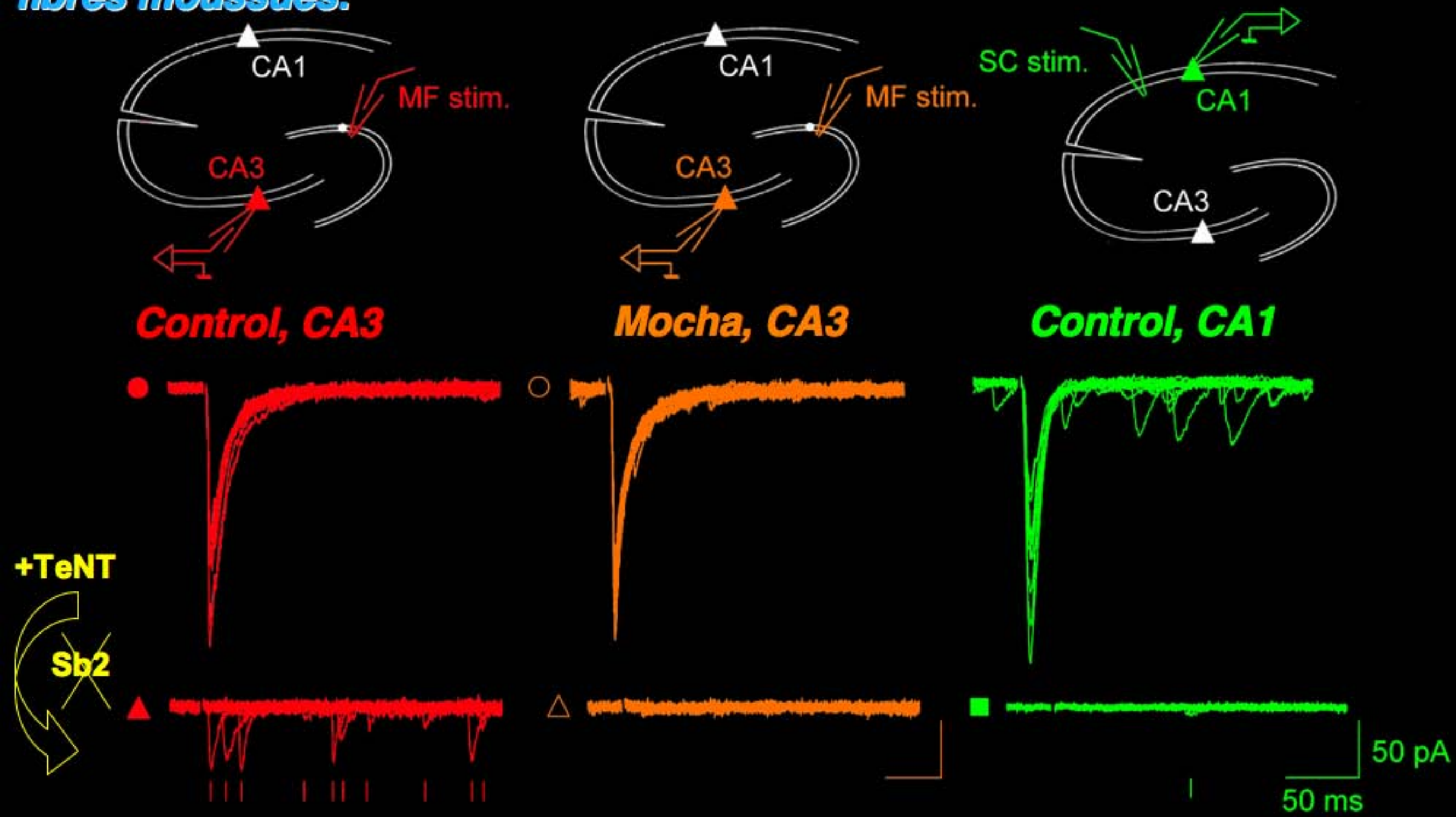
Dentate gyrus

Granule cell

Perforant path
(subiculum: entorhinal cortex)

**GRANULE
CELL**

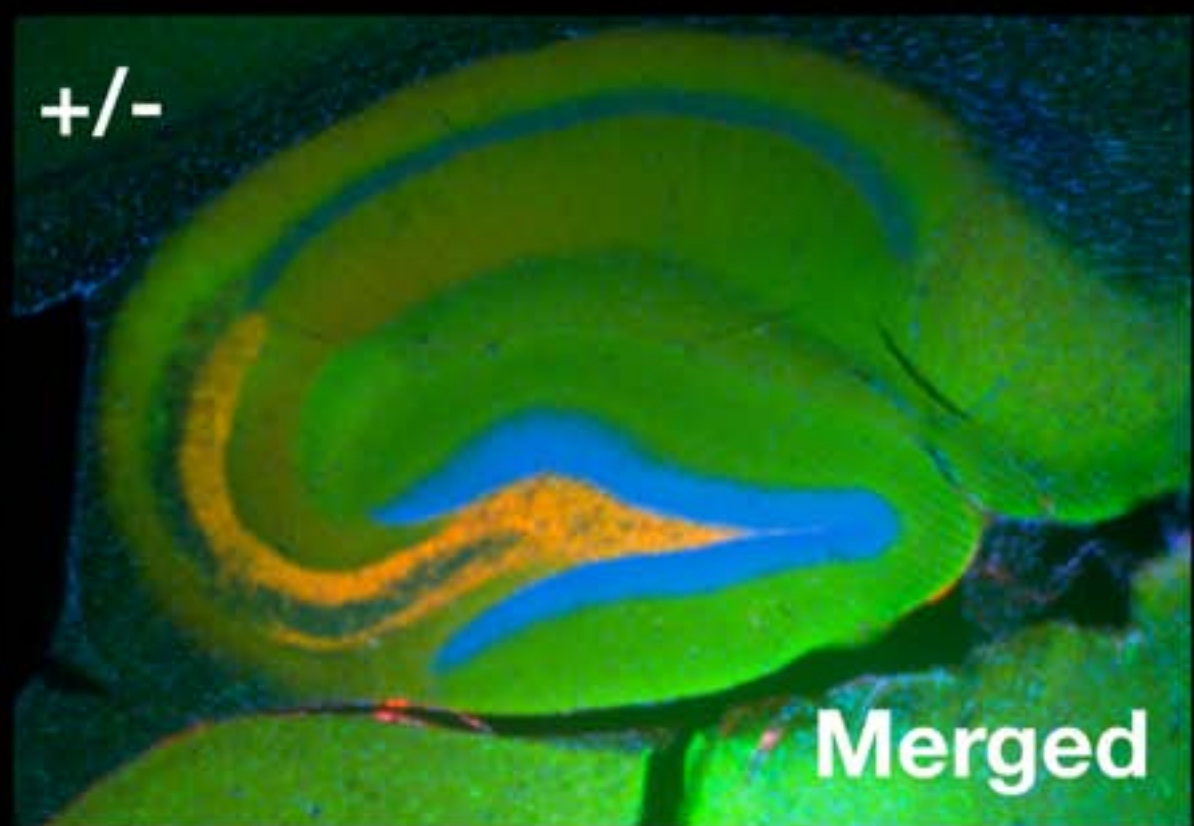
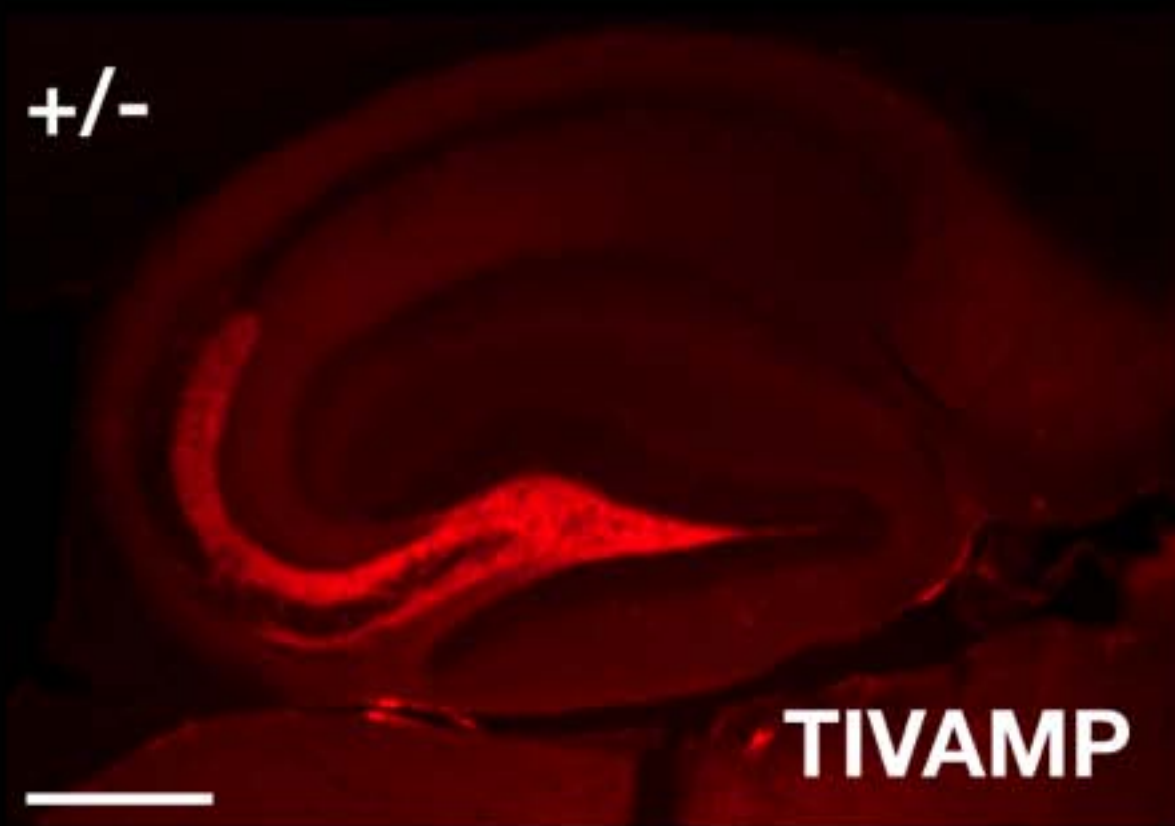
Libération Ca^{2+} -dépendante évoquée par la stimulation des fibres moussues.



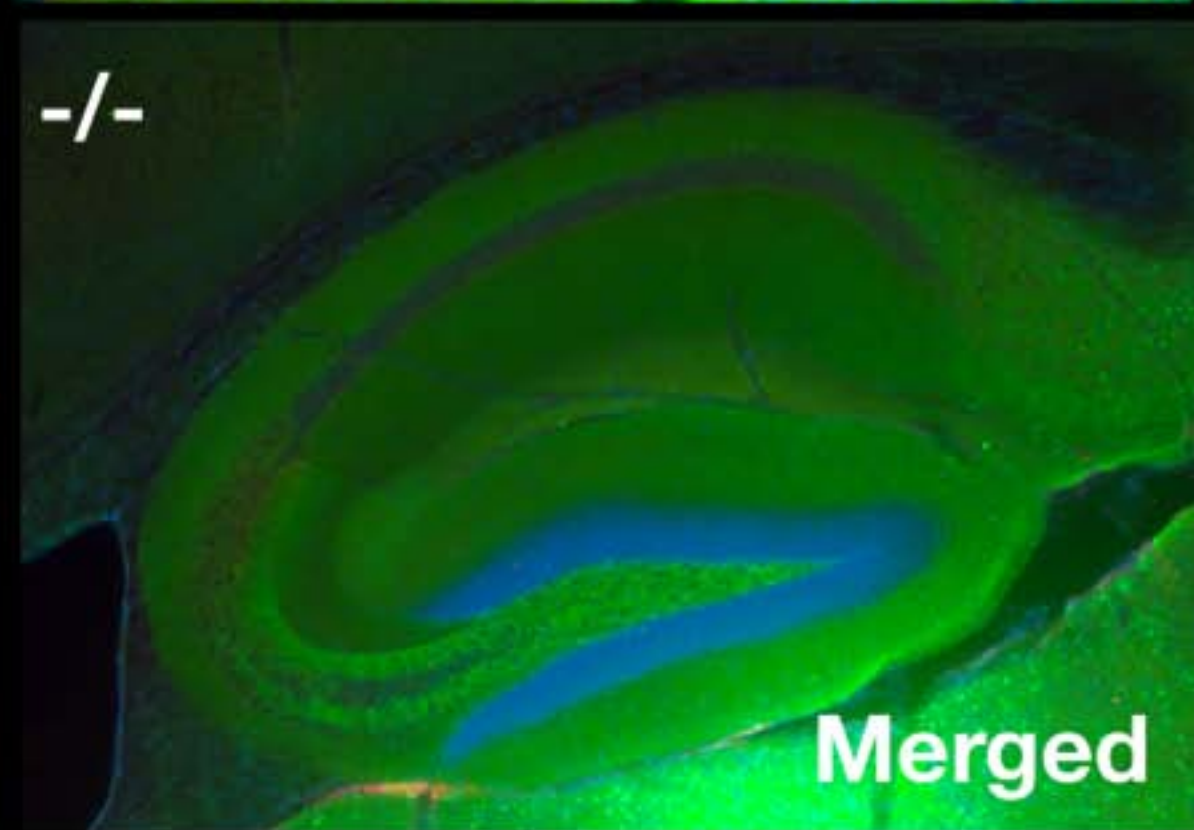
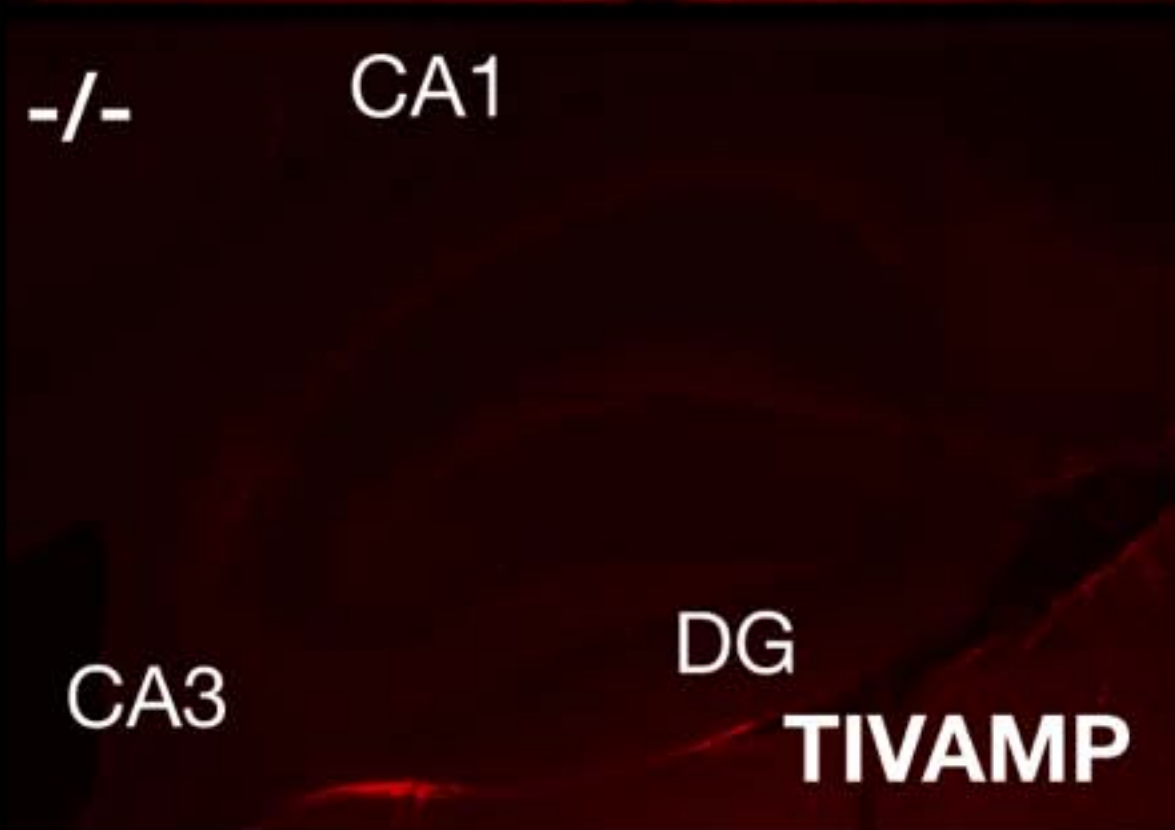
- La TeNT causes une réduction dramatique de la libération des NT stimulée par PA.
- La libération est asynchrone, dépendante d'AP-3 et spécifique de CA3.

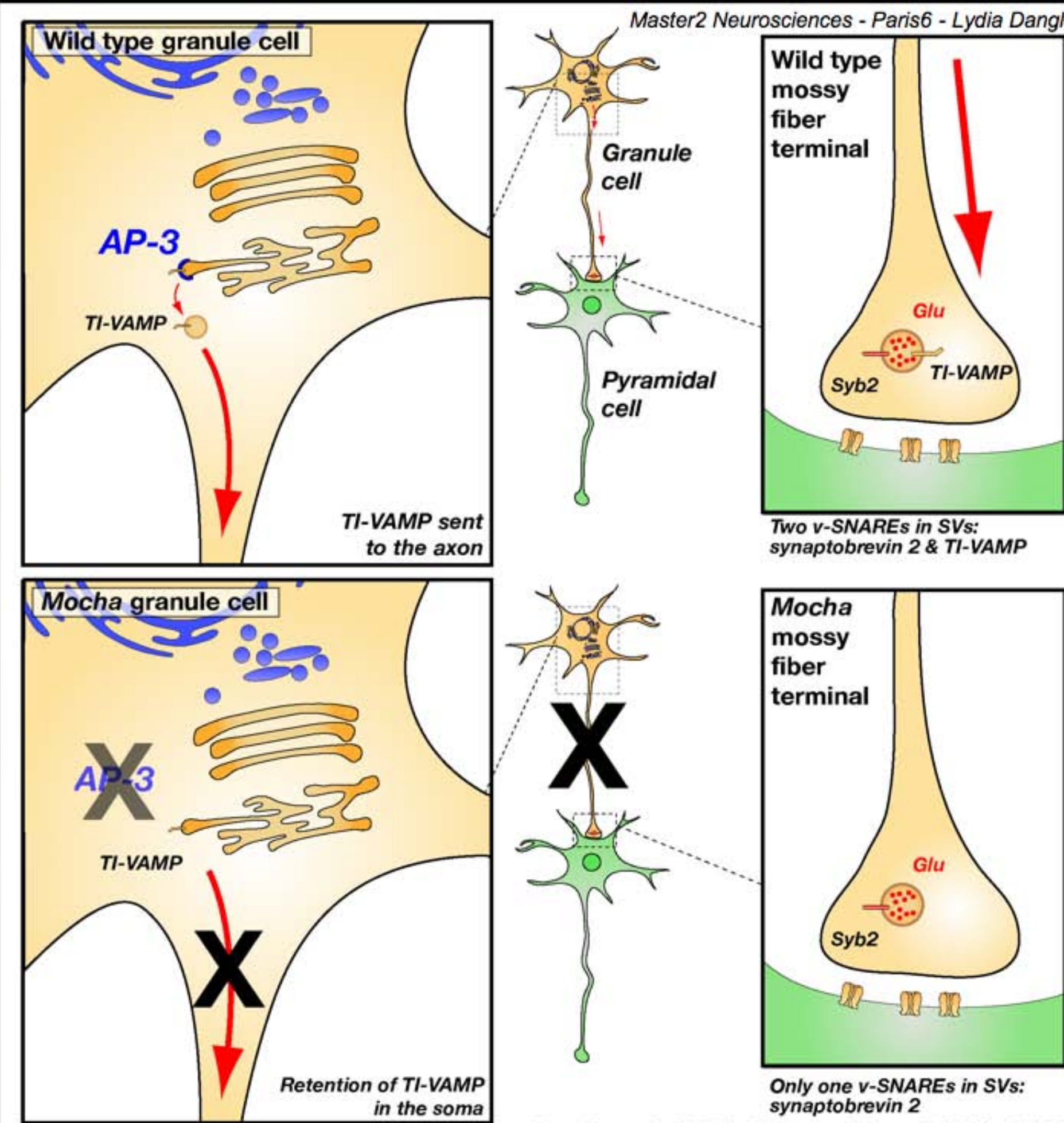
TI-VAMP est dans le Golgi des grains des mocha.

Control mice

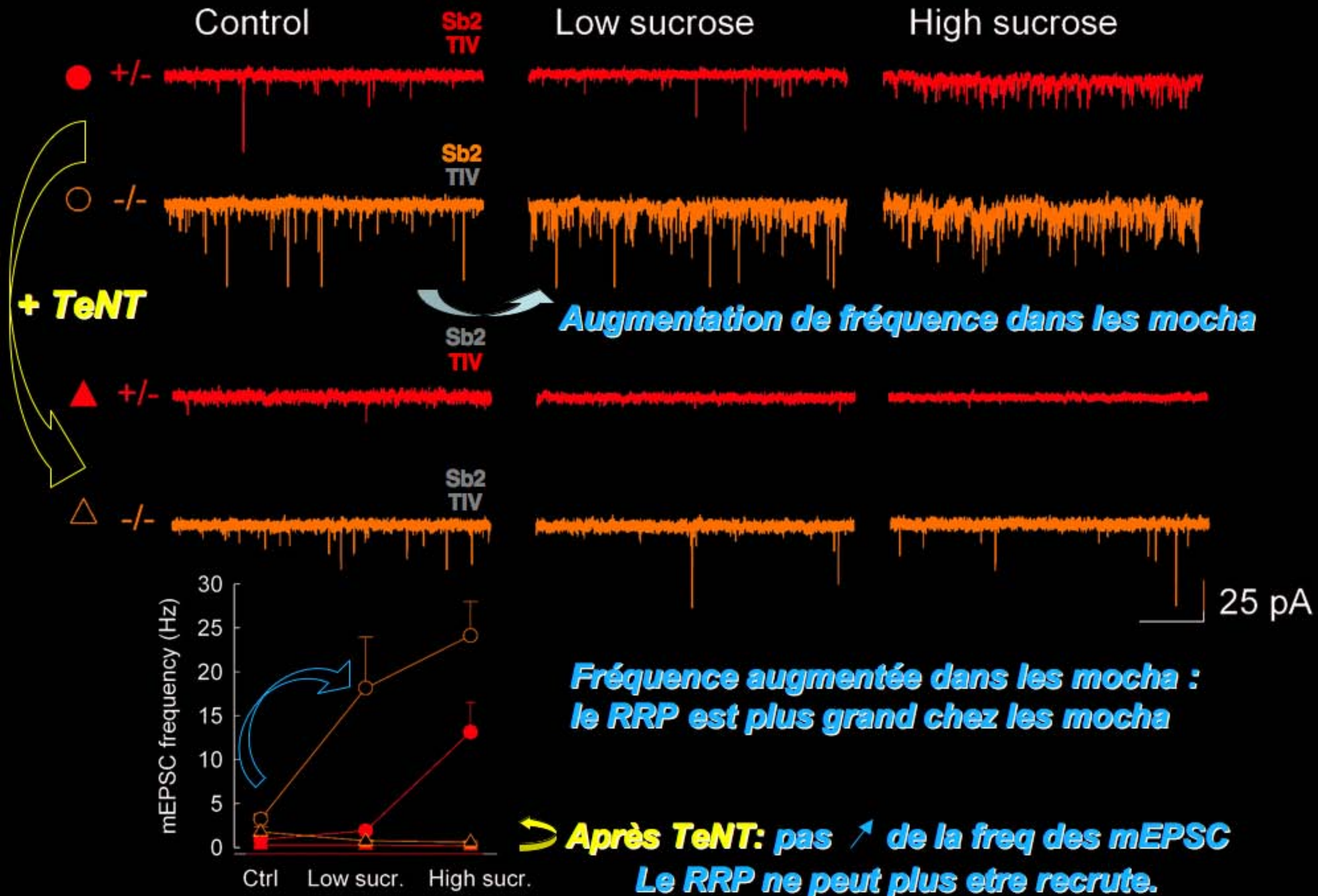


Mocha mice

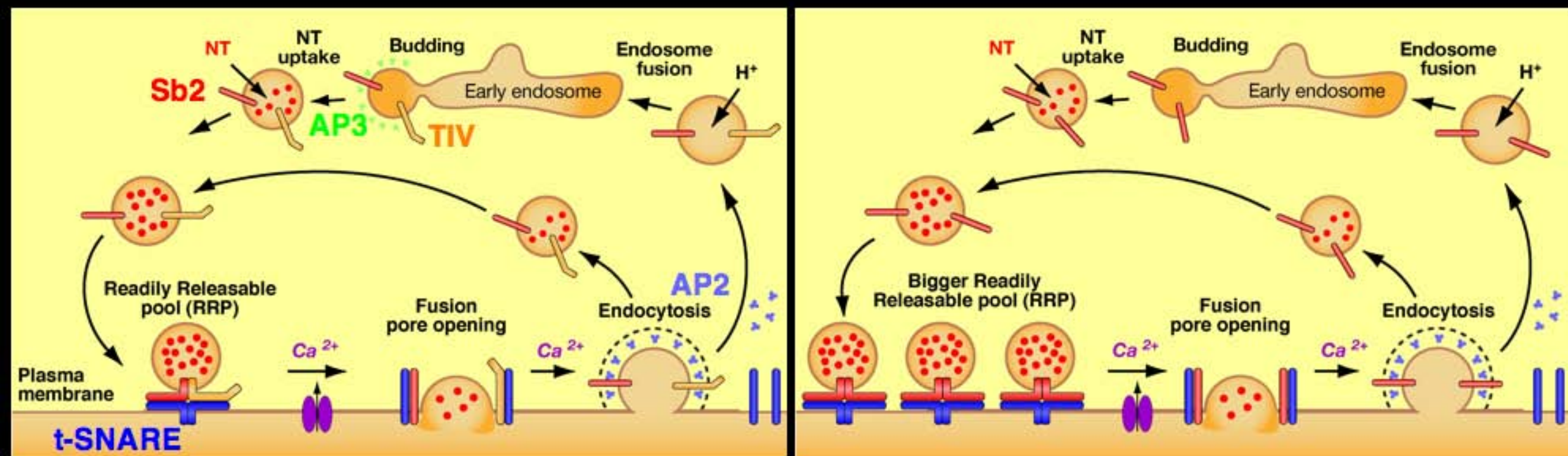




Augmentation du RRP dans les souris mocha



A la fois TI-VAMP & Sb2 medient la libération basale & évoquée aux terminaisons des fibres moussues



Souris control

Souris mocha

En l'absence de TI-VAMP dans les terminaisons des fibres moussues (souris mocha) :

- le RRP devient plus important. La probabilité de libération basale augmente.
- La libération évoquée asynchrone, résistante à la TeNT, est perdue.

Si vous avez des questions ...

Contact

<http://lydia.danglot.free.fr>

Les plus visités - Google ISI PubMed-CNRS BIBLIOINSERM Biblio - Fournisseurs - IJM/PRG - Séminaires - BM - Souris - Pratic - Inserm - concours - Imagerie - Formation -

Contact +



Lydia Danglot web page
Life Science & Imaging

October 31, 2010

Research
Publications
Teaching
Favorite links
CONTACT

 French  English

Contact

Lydia DANGLOT, PhD
[Institut Jacques Monod, CNRS UMR7592](#)
Inserm U950 [Thierry Galli](#):
"Membrane traffic and epithelial and neuronal morphogenesis"
15 rue Hélène Brion, Bâtiment Buffon, room 316B
Paris Diderot University
75 013 Paris, FRANCE.
Phone: 33 1 57 27 80 37
email: danglot@ijm.univ-paris-diderot.fr
ou lydia.danglot@inserm.fr

  
Inserm

Pour télécharger le cours ...

<http://lydia.danglot.free.fr/cours>

Firefox Fichier Édition Affichage Historique Marque-pages Outils Fenêtre Aide

Page de démarrage Mozilla Firefox

Lydia Danglot - Cours de neurosciences et de biologie cellulaire

http://lydia.danglot.free.fr/cours

Les plus visités - Google ISI PubMed-CNRS BIBLIOPNFSR Biblio - Fournisseurs - IJM/PRG - Séminaires - BM - Souris - Pratic - Inserm

Web Img

Lydia Danglot - Cours de neurosc... +

Terminé Terminé

Lydia Danglot web page
Life Science & Imaging

October 31, 2010

MANUEL DE COURS

Thème de recherche

Publications

Enseignement

Liens favoris

CONTACT

French English

Enseignement

Cours

- Master2 de Neurosciences - UE [Synapse et synaptogénèse](#) (code UE : MBIP5019) - Université Pierre et Marie Curie (Paris 6): Planning [Neuritogénèse et polarité neuronale](#).
- Master2 de Neurosciences - UE [Communication Cellulaire](#) (code UE : MBIP6003) - Université Pierre et Marie Curie (Paris 6): [Les protéines SNARE et l'exocytose](#) : classification des SNAREs, rôle de recyclage des Vb, comment mesurer l'exocytose, comment mesurer le recyclage, les protéines régulant l'assemblage des SNARE (Munc18, munc13, Syt, complexine), souris KO Syb2, souris mocha,...
- Master2 de Génétique - Université Paris Diderot (Paris 7), UE Neurobiologie cellulaire et développementale. [Développement de l'hippocampe et synaptogénèse](#): Neuroanatomie générale, présentation du SNC, présentation du téloscéphale et de l'hippocampe, développement de l'hippocampe, migration des neurones excitateurs et inhibiteurs, modèle des neurones dissociés d'hippocampe en culture, polarité neuronale, formation des synapses.
- Ecole doctorale Frontières du Vivant (Universités Paris V, VI, VII) Club Neurobiologie & Optique: [Diversité et usage des protéines fluorescentes en Neurosciences](#).
- Master2 de Biothérapies Tissulaires Cellulaires et Génétique- Faculté de Médecine Hôpital Henri Mondor (Paris12).
[1. Animaux mutants: identifications, entretien, analyses](#),
[2. Modèles en psychiatrie: addiction, schizophrénie, hyperactivité et trouble de l'attention, et anxiété](#).
- Master1 de Biologie - Ecole Normale Supérieure, UE Du neurone au système, Module Neurobiologie n°2: [La machinerie d'exocytose](#).

Travaux pratiques

- Master2 de Génétique - Université Paris Diderot (Paris 7), UE Neurobiologie cellulaire et développementale. Travaux pratiques d'imagerie: microscope à épifluorescence, trajet optique, présentation des filtres dichroïques, acquisition d'images. Mesure d'exocytose (FM1-43) par vidéo-microscope.

Travaux dirigés

Master2- Paris 6 Neuritogénèse et polarité neuronale. Download

Master2- Paris 6 Complexes SNARE et communication cellulaire. Download

Master2- Paris 7 Développement de l'hippocampe et synaptogénèse. Download

Doctorat-Paris 5, 6, 7 Usage et diversité des protéines fluorescentes en Neurosciences. Download

Master1- ENS- N2 Machinerie d'exocytose. Download